

Vol 132 (1958) +18124 2/R
АКАДЕМИЯ НАУК СССР

ЖУРНАЛ ФИЗИЧЕСКОЙ ХИМИИ

PTI
ТОМ
XXXII

ВЫПУСК 1

ЯНВАРЬ

ИЗДАТЕЛЬСТВО АКАДЕМИИ НАУК СССР
МОСКВА · 1958

ЖУРНАЛ ФИЗИЧЕСКОЙ ХИМИИ

Редакционная коллегия:

В. Я. АНОСОВ, К. В. АСТАХОВ, А. И. БРОДСКИЙ, Г. К. БОРЕСКОВ,
Я. И. ГЕРАСИМОВ, С. В. ГОРБАЧЕВ, Г. С. ЖДАНОВ,
Л. А. НИКОЛАЕВ, Н. Н. СЕМЕНОВ, А. Н. ТЕРЕНИН, А. Н. ФРУМКИН,
К. В. ЧМУТОВ

Главный редактор Я. И. ГЕРАСИМОВ

Заместители главного редактора С. В. ГОРБАЧЕВ, К. В. ЧМУТОВ

Отв. секретарь Л. А. НИКОЛАЕВ

Ж У Р Н А Л Ф И З И Ч Е С К О Й Х И М И И

Редакционная коллегия:

В. Я. АНОСОВ, К. В. АСТАХОВ, А. И. БРОДСКИЙ, Г. К. БОРЕСКОВ,
Я. И. ГЕРАСИМОВ, С. В. ГОРБАЧЕВ, Г. С. ЖДАНОВ,
Л. А. НИКОЛАЕВ, Н. Н. СЕМЕНОВ, А. Н. ТЕРЕНИН, А. Н. ФРУМКИН,
К. В. ЧМУТОВ

Главный редактор Я. И. ГЕРАСИМОВ

Заместители главного редактора С. В. ГОРБАЧЕВ, К. В. ЧМУТОВ

Отв. секретарь Л. А. НИКОЛАЕВ

32 ТРТ'

Том XXXII, 1958 г.

СТРУКТУРА И СВОЙСТВА ВОДНЫХ РАСТВОРОВ СИЛЬНЫХ
ЭЛЕКТРОЛИТОВ

М. Д. Лагунов

В большинстве работ по теории растворов при учете распределения ионов растворитель рассматривают как однородную среду, в которой, ориентируясь лишь друг относительно друга, располагаются ионы или сольваты ионов. Влияние структуры растворителя на распределение ионов обычно не учитывается.

Многочисленные исследования (см., например, [1, 2]) показывают, что ионы в растворах не слишком высоких концентраций не дают своего спектра рассеяния рентгеновских лучей, но лишь увеличивают интенсивность максимумов рассеяния воды, несущественно изменяя их расположение. Это явление можно объяснить, принимая, что ионы в водных растворах не могут занимать произвольные положения, но лишь замещают молекулы в квазирешетке воды, несколько видоизменяя ее.

В основу настоящей работы положены представления о строении жидкой воды и водных растворов сильных электролитов, развитые в основном Берналем и Фаулером [3], согласно которым молекулы воды в жидкой воде образуют лабильную пространственную решетку, преимущественно тетраэдрической координацией молекул. В растворах галогенидов щелочных металлов, по этим представлениям, около каждого иона расположены четыре молекулы воды.

Энергия сольватации ионов

Прежде чем устанавливать зависимость энергии взаимодействия ионов с окружающими частицами от состава раствора, найдем, какие силы определяют энергию взаимодействия ионов с окружающими частицами в бесконечно разбавленном растворе, т. е. энергию сольватации ионов. При модельных расчетах энергию сольватации обычно сводят к энергии взаимодействия заряда иона с диполями соседних молекул растворителя, видоизмененными полем иона.

Расстояние между частицами зависит от величины и природы сил взаимодействия между ними. Теплота сольватации ионов по величине близка к энергии кристаллической решетки растворяемой соли, обе имеют сходный вид зависимости от радиусов ионов; следовательно, силы взаимодействия ионов со средой и силы взаимодействия между ионами в кристалле — величины одного порядка. В дальнейшем за радиусы ионов будут приняты кристаллографические радиусы ионов по Гольдшмидту, за радиус молекулы воды — радиус в кристаллической решетке льда (1,38 Å).

Как известно, дипольный момент молекулы воды представляет собой векторную сумму двух диполей, моменты которых равны $1,51 \cdot 10^{-18}$ электростатических единиц, угол между ними 105° . Эти параметры мало изменяются даже при замене одного из атомов водорода на другие атомы и радикалы, что дает право считать их неизменными в поле иона.

Протоны, вызывающие эти диполи, расположены на расстоянии 0,97—0,98 Å от ядра кислорода. Если бы атомы водорода были связаны с атомом кислорода чисто ковалентной связью, вероятности нахождения пары электронов связи на орбитах атома водорода и атома кислорода были бы равны. Дипольный момент каждой группы О—Н был бы равен нулю. Если бы эта связь была чисто ионная и электронная оболочка ионов кислорода не была деформирована полем протона, оба электрона связи находились бы на орбитах иона кислорода. Дипольный момент каждой группы ОН был бы равен произведению расстояния от протона до ядра кислорода на заряд электрона.

Наблюдаемый дипольный момент можно представить как произведение величины дипольного момента, который можно было бы ожидать при чисто ионной связи (4,66 ед. ст. ед.) на вероятность такого состояния, когда оба валентных электрона находятся у атома кислорода. Назовем эту величину вероятности существования диполя или, по Полингу, долей ионной связи.

Be. M12813
8796
10K

Определяемая таким образом вероятность существования каждой из двух составляющих дипольного момента молекулы воды d равна 0,323.

Длина диполя равна расстоянию между протоном и ядром кислорода, т. е. 0,97 Å. Пренебрегать такой величиной по сравнению с межмолекулярными расстояниями и пользоваться соответственно упрощенными расчетами нельзя.

Применяя обычные уравнения электростатики, можем выразить зависимость энергии взаимодействия заряда иона с зарядами, образующими диполь молекулы воды, уравнением

$$E^1 = \pm e^2 d \left(\frac{1}{r_2} + \frac{1}{r_3} - \frac{2}{r_1} \right), \quad (1)$$

где e — заряд электрона, r_2 и r_3 — расстояние от иона до протонов, r_1 — до центра молекулы воды. Вероятность существования этих зарядов равна вероятности существования диполя. Положительное значение выражения соответствует взаимодействию молекул воды с катионами, отрицательное — с анионами.

Расстояние от иона до протонов зависит от ориентации молекул воды. Последняя в кристаллической решетке льда и жидкой воды определяется водородными связями. Так, в кристаллической решетке льда соседние молекулы воды расположены друг относительно друга, как вершины тетраэдра относительно центра. Области максимальной вероятности нахождения протонов расположены на расстоянии 0,97 Å от центров молекул; вблизи прямой, соединяющей эти центры. Таким образом строение отдельной молекулы воды в кристалле льда подобно тетраэдру, в вершинах которого на расстоянии 0,97 Å от центра с вероятностью, равной половине, расположены четыре протона (модель Полинга).

Подобная, хотя и гораздо менее четкая, ориентация молекул сохраняется в жидкой воде. Ион, замещающий молекулу воды, мало изменяет расположение ее непосредственных соседей, однако равновероятное распределение протонов по всем четырем направлениям в соседних с ионом молекулах воды несомненно, нарушится. Так, в наиболее близкой к аниону области максимальной вероятности нахождения протона эта вероятность окажется близкой к единице, вблизи же катиона — к нулю.

Среднее число протонов в молекулах воды обычно равно двум, поэтому в трех дальних, равноудаленных от аниона областях максимальной вероятности нахождения протонов следовало бы ожидать наличия в среднем одного протона, в молекулах, соседних с катионом, — двух. Однако в полях иона водородные связи могут поляризоваться, это ведет к изменению среднего числа протонов в соседних с ионом молекулах воды.

Чтобы детальнее познакомиться с этим явлением, рассмотрим поляризацию сплошной изотропной массы льда в однородном поле плоского конденсатора.

Число водородных связей в некотором объеме диэлектрика равно удвоенному числу молекул воды. Изменение направления связей, т. е. изменение ориентации молекул под воздействием поля, не характерно для кристаллических веществ и его влиянием на диэлектрические свойства этих веществ можно пренебречь. Безынерционную поляризуемость электронных оболочек молекул воды можно рассчитать из рефрактометрических данных. Поскольку она оказывается во много десятков раз меньше поляризуемости водородных связей, приближенно можно принять, что диэлектрическая постоянная льда целиком определяется поляризуемостью водородных связей.

Выделим какую-либо одну из связей. При переносе протона от первой молекулы воды ко второй в присутствии поля энергия системы изменится прежде всего на величину работы переноса протона и связанных с ним электронов из первого состояния во второе; следовательно, при наложении поля равновероятное распределение протонов по концам связи нарушится. Это явление поляризации водородных связей и определяет аномально высокую диэлектрическую постоянную веществ, образующих водородные связи.

Если напряженность поля не слишком велика, поляризация связи пропорциональна составляющей напряженности электрического поля направления связи. Если молекула воды находится вдали от границ раздела, где поле однородно, при такой поляризации связей среднее число протонов в молекуле воды, независимо от ее ориентации, остается равным; работы против сил, препятствующих диссоциации молекул воды на ионы, не производится, и единственными силами, препятствующими перераспределению протонов, оказываются статистические силы теплового колебания протона вдоль связи.

Рассмотрим это явление количественно. Представим полную энергию системы \mathcal{E} как сумму энергии взаимодействия частиц с внешним полем \mathcal{E}_a энергии \mathcal{E}_b межмолекулярного взаимодействия. Чтобы определить, как при поляризации связи изменится часть энергии системы, обусловленная межмолекулярным взаимодействием, выделим две связи, лежащие на одной прямой у противоположных граней диэлектрика, и цепочку связей, к которым избыточный протон может быть передан от одной грани к другой (усредняя, не учитывая ветвления цепи). Очевидно, что ввиду ветвления цепи каждую связь можно рассматривать как общее звено бесконечно множества цепей и колебания протонов на каждой связи — как независимые от колебаний на соседних связях рассматриваемой цепи.

Если внешнее поле отсутствует, вероятность нахождения протона на концах связи одинакова; следовательно, при переносе протона из одного положения в другое не происходит изменения части энергии системы, обусловленной межмолекулярным взаимодействием. При поляризации диэлектрика в однородном поле изменение внутреннего поля по одну сторону молекулы компенсируется таким же изменением по другую сторону. Заметьте, что изменения части энергии системы, обусловленной взаимодействием молекул цепи с остальными молекулами диэлектрика, наблюдаться не будет.

Если бы рассматриваемая цепь молекул была замкнута, то при одинаковом смещении равновесного распределения протонов на всех связях все молекулы цепи остались бы электронеутральны. Рассматриваемая цепь разомкнута, при изменении распределения протонов на связях такой цепи происходит диссоциация молекул воды. При смещении распределения протонов на всех связях цепи из неполяризованного состояния в одно из крайних изменение части энергии системы, обусловленной межмолекулярным взаимодействием, равно половине теплоты диссоциации двух молекул воды на два иона. Поскольку связи равноценны и их колебания независимы, это изменение энергии поровну распределится на все связи цепи и может быть выражено уравнением

$$\Delta \mathcal{E}_b = \frac{b}{2n} = \frac{ba \cos \varphi}{2h}, \quad (2)$$

где b — изменение энергии системы при диссоциации двух молекул воды на ионы, n — число связей в цепи, h — расстояние между обкладками конденсатора, a — расстояние между центрами соседних молекул воды, φ — угол между направлением связи и направлением силовых линий.

При достаточно большом расстоянии h величина $\Delta \mathcal{E}_b$ исчезающе мала, и влияние на распределение протонов можно не учитывать.

Часть энергии системы, обусловленная взаимодействием частиц с внешним полем в состоянии первом и втором различается на работу переноса зарядов в поле из первого состояния во второе. В данном случае перенос зарядов складывается из передачи избыточных протонов от одной молекулы к другой и изменяющейся в связи с этим ориентацией диполей. Рассматривая две молекулы воды, соединенные водородной связью, легко находим суммарное смещение зарядов вдоль связи при переносе протона из среднего, неполяризованного состояния в одно из крайних

$$el = \left(\frac{ea}{2} - \mu' \right), \quad (3)$$

где e — заряд протона, a — расстояние между центрами соседних молекул воды, μ' — одна из двух составляющих дипольного момента молекулы воды во льду.

Работа $\Delta \mathcal{E}_a$, производимая против сил однородного поля при переносе протона из неполяризованного состояния в одно из крайних, равна произведению смещения зарядов, происходящего при этом переносе, на слагающую напряженности поля в направлении связи:

$$\Delta \mathcal{E}_a = e l H \cos \varphi, \quad (4)$$

где H — напряженность поля в диэлектрике, φ — угол между направлением силовых линий и направлением связи.

Колебательное движение имеет две степени свободы; функции распределения вероятностей по импульсам и координатам для колеблющейся частицы совершенно симметричны и независимы. Изменение вероятности нахождения протона у первой и второй молекул воды можем выразить как функцию работы переноса протона из неполяризованного состояния, когда вероятность нахождения протона у каждой молекулы равна половине, в одно из крайних, уравнением

$$\Delta W = W_2 - W_1 = A(e^{+\Delta \mathcal{E}_a/2kT} - e^{-\Delta \mathcal{E}_a/2kT}), \quad (5)$$

где A — нормирующий множитель, который легко определяется при учете, что сумма вероятностей нахождения протона в первом и втором состояниях практически равна единице.

Если напряженность поля не слишком велика, $\Delta \mathcal{E}_a$ несоизмеримо меньше kT . Разлагая экспоненциальные выражения в ряд, в первом приближении находим

$$\Delta W = \frac{\Delta \mathcal{E}_a}{2kT}. \quad (6)$$

Работа против сил поля при переносе протона, следовательно, и смещение вероятностей пропорциональны слагающей напряженности поля в направлении связи.

Суммарное смещение зарядов в направлении поля при поляризации связи пропорционально слагающей смещения вероятности в направлении поля. Используя уравнения (4) и (6), находим смещение зарядов δ в направлении поля напряженности H под его воздействием

$$\delta = \frac{e^2 l^2 H \cos^2 \varphi}{2kT}. \quad (7)$$

По условию все направления связей равновероятны и не зависят от направления и силы поля. Усредняя по всем возможным значениям угла φ (от $\varphi = 0$ до $\varphi = \pi/2$), находим среднее смещение зарядов в направлении поля

$$\bar{\delta} = \frac{e^2 l^2 H}{6kT}. \quad (8)$$

Рассмотрим некоторый тонкий слой в диэлектрике с площадью основания 1 см^2 и высотой m , направленной вдоль силовых линий. Число связей в слое равно удвоенному числу молекул. При поляризации диэлектрика полями зарядов, расположенных на каждой из обкладок, в граничном слое диэлектрика образуется σ' зарядов на 1 см^2 площади обкладок. Используя уравнение (8), находим, какова должна быть напряженность поля в слое, чтобы перенести на расстояние m суммарный поток смещения, имеющий плотность σ' :

$$H = \frac{3v_b \sigma' kT}{e^2 l^2}, \quad (9)$$

где v_b — объем, приходящийся на одну молекулу воды.

Рассматривая слой как плоский конденсатор, можем выразить напряженность поля в нем H как функцию плотности зарядов на обкладках реального конденсатора σ^0 и плотности наведенных зарядов в граничном

диэлектрика σ' уравнением

$$H = 4\pi(\sigma^0 - \sigma'). \quad (10)$$

Решая совместно уравнения (9) и (10), можем освободиться от одного из неизвестных σ' или H . Так, например,

$$\sigma' = \frac{4\pi\sigma^0}{4\pi + \frac{3v_b kT}{e^2 l^2}}. \quad (11)$$

Диэлектрическая постоянная в данном случае может быть связана с плотностями σ^0 и σ' уравнением:

$$\frac{1}{D} = \frac{\sigma^0 - \sigma'}{\sigma^0}. \quad (12)$$

Решая совместно (11) и (12), находим:

$$D = 1 + \frac{4\pi e^2 l^2}{3v_b kT}. \quad (13)$$

Из параметров, входящих в это уравнение, неизвестно l , поскольку неизвестна величина слагающей дипольного момента молекулы воды во льду, однако замена этой величины слагающей дипольного момента газовой молекулы воды ($\mu' = 1,51 \cdot 10^{-18}$ эл. ст. ед.) едва ли может вызвать возражения. Сравним диэлектрические постоянные льда, полученные экспериментально [4], с вычисленными по уравнению (13).

Таблица 1

T, °K	273,2	262,4	252,3	241,2	228,5	216,4	207,4
Вычислено	88,9	92,4	95,9	100,2	105,5	111,2	115,8
Найдено	91,5	95,0	97,4	100,0	104	114	123

Как видно из таблицы, при температурах выше 210° К рассчитанные величины хорошо согласуются с полученными экспериментально.

Отсутствие надежных экспериментальных данных для более низких температур не дает возможности однозначно выявить природу нарастающего отклонения. По-видимому, увеличивается влияние иного механизма смещения, обусловленного одновременным возбуждением двух связей (процесс утечки). При таком процессе несущественно, какая именно из связей окажется возбужденной одновременно с рассматриваемой, и энергия активации процесса может оказаться равной половине энергии активации процесса, рассмотренного выше.

Интересно отметить, что энергия активации разобранного выше процесса (13,2 ккал/моль), определяемая из температурной зависимости времени релаксации диэлектрической постоянной, в пределах погрешности эксперимента равна теплоте диссоциации воды.

При плавлении льда строгая координация молекул нарушается, изменяются углы между связями, часть связей обрывается. Все эти изменения ведут к уменьшению диэлектрической постоянной. Напротив, увеличение межмолекулярных расстояний при повышении температуры ведет к некоторому ее увеличению. Сколько-нибудь точно учесть, как сами факторы, так и степень их влияния на величину диэлектрической постоянной кажется довольно трудным. Однако, поскольку общая картина поляризации воды и льда одинакова, применим для расчета диэлектрической постоянной воды уравнение (13).

Таблица 2

T, °K	273	283	293	303	313	323	333	353	373
Вычислено	97,8	94,4	91,1	87,8	84,8	81,9	79,0	73,6	68,0
Найдено	88,0	84,2	80,3	76,7	73,4	70,1	67,2	61,9	57,8

Как видно из табл. 2, расхождение между найденными экспериментально и вычисленными величинами довольно велико. Если расхождение результатов объяснять только обрывом водородных связей, то число оборванных связей должно составлять 10% от числа всех связей при 0°С и 15% при 100°С.

Тафт и Сислер [5], сравнивая теплоты плавления и испарения веществ, содержащих водородные связи и не содержащих таковых, определили что число оборванных водородных связей в воде составляет 11% от числа всех связей при 0°С и 27% при 100°С. По-видимому, при высокой температуре диэлектрическая постоянная воды в заметной степени определяется изменением ориентации диполей воды, которое нами не было учтено.

Примерно также отличаются от вычисленных по уравнению (13) диэлектрические постоянные других жидкостей, содержащих водородные связи.

Вернемся к интересующей нас задаче.

Рассмотрим поле вокруг иона, находящегося в растворе. Напряженность поля вокруг заряда, расположенного внутри диэлектрика, складывается из напряженности поля самого заряда, напряженности поля наведенных зарядов, образованных при поляризации диэлектрика этим зарядом вокруг него, вблизи его границы, и напряженности поля зарядов, компенсирующих наведенные, которые будем считать равновероятно распределенными по сфере бесконечно большого радиуса. Поскольку напряженность поля заряда в диэлектрике, т. е. суммарная напряженность всех трех полей, в D раз меньше, чем в пустоте, величина наведенного и равного ему компенсирующего заряда определится уравнением

$$q = \frac{e}{D} \left(1 - \frac{1}{D} \right),$$

где e — величина заряда, вызывающего поляризацию, в данном случае — заряда иона.

Энергия взаимодействия между зарядами обратно пропорциональна расстоянию между ними, поэтому энергию взаимодействия заряда иона с компенсирующими зарядами можно не учитывать.

Энергия взаимодействия заряда ионов с наведенными зарядами определится уравнением:

$$E^{\text{II}} = \frac{e^2}{2r} \left(1 - \frac{1}{D} \right),$$

где r — расстояние от иона до наведенных зарядов.

Определим это расстояние.

С точностью, достаточной для этой части работы, можем принять, что диэлектрическая постоянная не зависит от напряженности и степени неоднородности поляризующего поля. Водородные связи, соединяющие соседние с ионом молекулы воды с молекулами второго слоя, поляризованы так, что переносят весь поток смещения; все избыточные протоны расположены в соседних с ионами молекулах воды в дальних от иона местах максимальной вероятности нахождения протонов.

Присоединение к атому кислорода как первого, так и каждого последующего протона вызывает образование примерно равного диполя. Если бы атомы кислорода и водорода были связаны чисто ионной связью и присоединение протона к молекуле воды не сопровождалось перераспределением электронов, расстояние от ионов до наведенных зарядов было бы равно расстоянию до дальних от иона мест максимальной вероятности нахождения протонов в соседних с ионами молекул воды. Рассчитывая энергию взаимодействия ионов с наведенными зарядами, в том и другом случае можем выразить, учитывая вероятность этих состояний, энергию взаимо-

действия ионов с компенсирующими зарядами как функцию расстояния иона до центров соседних с ионом молекул воды r_3 и до дальних центов максимальной вероятности нахождения протонов в этих молекулах уравнением

$$E^{\text{II}} = \frac{e^2}{2} \left(1 - \frac{1}{D}\right) \left(\frac{d}{r_2} + \frac{1-d}{r_3}\right), \quad (14)$$

где d — вероятность существования диполя.

Как легко можно убедиться, это уравнение справедливо для расчета энергии взаимодействия наведенных зарядов как с анионами, так и с катионами.

Кроме энергии взаимодействия ионов с диполями соседних молекул с наведенными зарядами, для расчета полной энергии сольватации ионов необходимо учесть небольшое изменение дипольного момента, вследствие поляризации молекул воды полем иона, энергию борновского отталкивания между ионами и молекулами воды и энергию обрыва водородных связей, соединяющих замещаемую ионом молекулу воды с ее соседями.

При малых отклонениях относительно равновесного состояния поляризация электронных оболочек атомов и молекул прямо пропорциональна напряженности поляризуемого поля. Отсюда энергию взаимодействия ионов с диполями, индуцированными этими ионами, можно рассчитывать, используя широко известное уравнение:

$$E^{\text{III}} = \frac{\alpha e^2}{2\pi r^4}, \quad (15)$$

где α — поляризуемость электронной оболочки молекулы воды, равная $45 \cdot 10^{-24} \text{ см}^3$, r — расстояние между центрами иона и соседней молекулы воды.

Несравнимо труднее учесть энергию отталкивания между ионами и молекулами воды ввиду крайней чувствительности этой величины к точности определения равновесного расстояния между центрами иона и соседних молекул воды. Определение этой величины как суммы кристаллографических радиусов ионов и молекул воды недостаточно точно.

Наличие протонов вблизи прямой, соединяющей центры анионов и соседних молекул воды, еще более усложняет задачу, поскольку становится неопределенным, какое же расстояние является определяющим — до протонов или до ядер кислорода.

Не пытаясь в рамках настоящей работы точно определить энергию отталкивания между ионами и соседними молекулами воды, примем, что в равновесном состоянии эта энергия подобно энергии отталкивания между ионами в кристаллах, равна $1/9$ энергии притяжения.

Число водородных связей в некотором объеме равно удвоенному числу молекул воды. Замещение молекулы воды ионом сопровождается обрывом четырех водородных связей; следовательно, при добавлении иона в раствор число связей в растворе уменьшается на две. Энергия водородных связей между молекулами воды равна $4,5 \text{ ккал/моль}$; следовательно, энергия обрыва водородных связей при сольватации ионов

$$E^{\text{V}} = -9 \text{ ккал/моль}. \quad (16)$$

Полную энергию взаимодействия ионов со средой найдем, суммируя все полученные значения энергий. Так, для катионов находим:

$$E_{\text{K}} = \frac{8e^2}{9} \left[8d \left(\frac{1}{r_1} - \frac{1}{r_2} \right) + \right. \\ \left. + \frac{1}{2} \left(1 - \frac{1}{D} \right) \left(\frac{d}{r_2} + \frac{1-d}{r_1} \right) + \frac{2\alpha}{\pi r_1^4} \right] - 9, \quad (17)$$

подобно для анионов:

$$E_a = \frac{8e^2}{9} \left[4d \left(\frac{1}{r_2} + \frac{1}{r_3} - \frac{2}{r_1} \right) + \frac{1}{2} \left(1 - \frac{1}{D} \right) \left(\frac{d}{r_2} + \frac{1-d}{r_1} \right) + \frac{2\alpha}{\pi r_1^4} \right] - 9. \quad (18)$$

Величины r_1 , r_2 и r_3 можно выразить через радиусы ионов r_i , молекул воды r_B и расстояния от ядер кислорода до протонов m уравнениями:

$$r_1 = r_i + r_B, \quad (19)$$

$$r_3 = r_i + r_B - m,$$

$$r_2 = \sqrt{(r_i + r_B)^2 + m^2 - m(r_i + r_B) \cos \alpha},$$

где α — угол Н—О—Н в молекуле воды (105°). Замена этого угла углом тетраэдра ($109^\circ 28'$) приводит к несколько лучшему согласию с экспериментом, но кажется мало оправданной.

Подставляя значения констант и расстояний r_1 , r_2 и r_3 в уравнения (17) и (18), находим теплоты сольватации ионов, приведенные в табл. 3 (в ккал/моль).

Таблица 3

Li	Na	K	Rb	Cs	F	Cl	Br	J
113,2	95,8	74,6	67,4	61,3	113,4	81,5	74,5	65,3

Непосредственно из экспериментальных данных рассчитать энергии сольватации отдельных ионов нельзя.

Энергии сольватации солей довольно хорошо известны. В табл. 4 в строке *A* приведены энергии сольватации солей, полученные суммированием энергии сольватации ионов, рассчитанные по уравнениям (17) и (18); в строке *B* — приводимые в работе К. П. Мищенко [6].

Таблица 4

	LiF	NaF	KF	RbF	CsJ	LiCl	NaCl	KCl	RbCl	CsCl
<i>A</i>	227	209	188	181	175	195	177	156	150	143
<i>B</i>	238	213	193	186	180	201	178	159	153	143

	LiBr	NaBr	KBr	RbBr	CsBr	LiJ	NaJ	KJ	RbJ	CsJ
<i>A</i>	188	170	149	142	136	178	161	140	133	127
<i>B</i>	194	170	152	145	136	184	161	143	136	128

Как можно видеть из таблицы, рассчитанные энергии сольватации солей, содержащих крупные ионы, удовлетворительно согласуются с найденными. Несколько хуже согласие для солей, содержащих маленькие ионы Li, однако это отступление, вероятно, вызвано недостаточно точным определением расстояния между центром иона и соседних молекул воды.

Выводы

1. Показано, что энергии сольватации ионов галоидных солей щелочных металлов могут быть рассчитаны с удовлетворительной точностью на основании представлений Бернала и Фаулера о структуре воды и водных

растворов электролитов и модели молекулы воды, предложенной Полингом [7].

2. Предложен новый метод расчета диэлектрической постоянной, примененный к веществам, образующим водородные связи.

Ленинградский государственный
университет
им. А. А. Жданова

Поступила
29.III.1956

ЛИТЕРАТУРА

1. J. B e c k, Phys. Zeit., 40, 474, 1939.
2. A. P r i n s, Zs. Phys., 56, 617, 1929.
3. J. D. B e r n a l, R. H. F o w l e r, Journ. Chem. Phys., 1, 515, 1933.
4. R. P. A u t y, R. H. C o l e, Journ. Chem. Phys., 20, 1309, 1952.
5. R. W. T a f t, H. H. S i s l e n, Journ. Chem. Education, 24, 175, 1947.
6. К. П. М и щ е н к о, Журн. физ. химии, 26, 1736, 1952.
7. Л. П о л и н г, Природа химической связи, Госхимиздат, 1947.

THE STRUCTURE AND PROPERTIES OF AQUEOUS SOLUTIONS OF STRONG ELECTROLYTES

M. D. Lagunov (Leningrad)

S u m m a r y

It has been shown in the report that the hydration energies of the alkali metal halides may be calculated with satisfactory accuracy on the basis of the Bernal and Fowler conceptions on liquid water structure and of the model of the water molecule according to Pauling. Special attention has been paid to the calculation of the energy due to the properties of water as a dielectric. The anomalously high dielectric constant of water and of other substances forming hydrogen bonds is determined by the polarizability of these bonds.

ТЕПЛОВЫЕ ЭФФЕКТЫ ПРИ ПЛАВЛЕНИИ В СИСТЕМЕ
СВИНЕЦ — ОЛОВО — ВИСМУТ

1. ДИАГРАММА РАВНОВЕСИЯ ТРОЙНОЙ СИСТЕМЫ Pb — Sn — Bi

Р. Б. Гершман

До настоящего времени диаграммы равновесия тройных металлических сплавов определяются исключительно экспериментальным путем, и для их построения привлекаются лишь некоторые общие термодинамические положения.

Между тем на основании термодинамических соотношений можно осуществить полный расчет тройной диаграммы равновесия, т. е. получить аналитические выражения для поверхностей, разделяющих области существования разных фаз, если известна зависимость энергии и энтропии фаз системы от концентраций.

Приближенный расчет диаграмм равновесия простейших двойных металлических систем, в которых не образуются новые фазы, был осуществлен Б. Я. Пинесом [1, 2]. В основу расчета положено выражение для энергии и энтропии раствора в так называемом «конфигурационном» приближении. Величины энергий смешения, фигурирующие в расчете, как показано было в дальнейших работах, являются не только константами диаграммы, но и реальными физическими константами двойных сплавов, определяющими их тепловые свойства [3], поверхностное натяжение [4] и др.

Расчет, проведенный для двойных сплавов [5], показал, что имеет место простая зависимость теплот плавления сплавов и дополнительной теплоемкости в области расслоения от энергии смешения в соответствующих фазах. На основании расчета экспериментальные значения теплот плавления и теплоемкости были использованы для определения энергий смешения. Найденные таким образом энергии смешения были успешно применены для построения диаграмм равновесия простейших бинарных металлических систем [3].

Представляет интерес распространить методы расчета диаграмм двойных металлических систем на системы с большим числом компонентов, в частности на системы с тремя компонентами.

В настоящей работе осуществлено измерение теплот плавления и температурной зависимости теплоемкости сплавов тройной системы свинец — олово — висмут с целью проверки возможности распространения «конфигурационного» приближения на тройные металлические системы и определения энергетических констант, необходимых для расчета поверхностей, разделяющих области диаграммы данной тройной системы.

Экспериментальная часть

Измерения проводились в высокотемпературном адиабатическом калориметре [5—7]. Свинец, олово и висмут для приготовления сплавов брались химически чистые. Всего было исследовано 48 сплавов. Для каждого сплава определялась температурная зависимость теплоемкости в области расслоения, полная теплота плавления, теплоты перехода через области тройной эвтектики и перитектики, теплоты перехода через поверхности двойных эвтектик и теплота нагрева в области расслоения.

Для того чтобы иметь возможность систематически проследить закономерности, определяющие зависимость энергетических характеристик сплавов от концентраций, все поле концентрационного треугольника было разделено восемью политермическими сечениями, параллельными стороне свинец — олово, с постоянным содержанием висмута в пределах каждого сечения.

В дальнейшем сечения мы будем нумеровать римскими, а сплавы в пределах данного политермического сечения — арабскими цифрами, так что сечению I будет соответствовать постоянное содержание Bi 5 вес. %; II — 10 вес. % III — 20 вес. %; IV — 30 вес. %; V — 40 вес. %; VI — 50 вес. %; VII — 60 вес. % и VIII — 70 вес. %. Составы сплавов в пределах политермического сечения приводятся под рисунками.

Данные о температурах скачков теплоемкости использовались для построения элтермических сечений.

На рис. 1 приводятся кривые температурной зависимости теплоемкости $C = C(t)$ для восьми сплавов политермического сечения I.

Первые два сплава относятся к области существования тройного α -раствора свинец — олово — висмут. На кривых $C = C(t)$ отчетливо видны по два пика, соответствующих переходу через поверхности ликвидуса и солидуса.

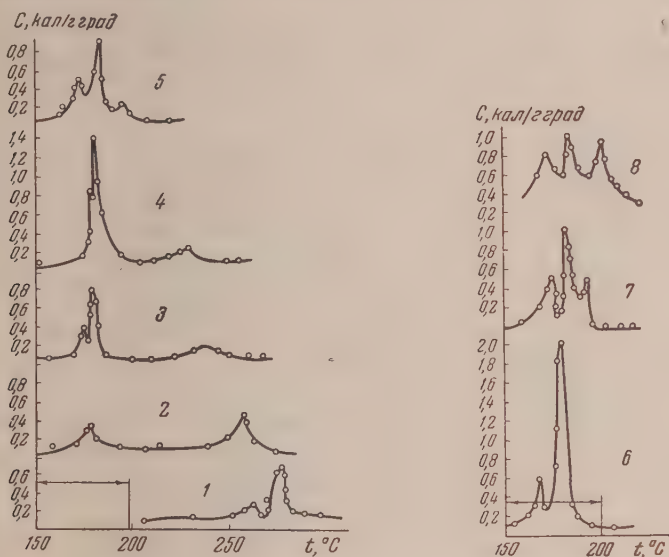


Рис. 1. Зависимость $C = C(t)$ для сплавов в пределах сечения I: 1 — 79% Pb — 16% Sn — 5% Bi; 2 — 66,5% Pb — 29% Sn — 4,5% Bi; 3 — 55% Pb — 40% Sn — 5% Bi; 4 — 44% Pb — 52% Sn — 4% Bi; 5 — 33% Pb — 63% Sn — 4% Bi; 6 — 25% Pb — 71% Sn — 4% Bi; 7 — 19% Pb — 78% Sn — 3% Bi; 8 — 7% Pb — 91% Sn — 2% Bi

Концентрации сплавов I 3—8 соответствуют области существования смеси двух роинных твердых растворов $\alpha + \delta$. На кривых $C = C(t)$ для этих сплавов, за исключением сплава I 6, имеется по три скачка, соответствующих переходу через поверхность двойной эвтектики и поверхность ликвидуса. На кривой $C = C(t)$, для сплава I 6 имеются два скачка, соответствующих переходу через поверхность двойной эвтектики, так как концентрация сплава соответствует линии пересечения поверхности двойной эвтектики с поверхностью ликвидуса.

Заметим, что по мере приближения к сплаву I 6 первые два скачка растут, а третий уменьшается.

На рис. 2 приведена диаграмма политермического сечения I, построенная на основании данных измерений температурных зависимостей скачков теплоемкости.

В политермическом сечении II, как и в сечении I, были измерены температурные зависимости теплоемкости в области расслоения для восьми сплавов. Кривые $C = C(t)$ приведены на рис. 3.

Сплав II 1 относится к области существования тройного α -раствора. Концентрации всех остальных сплавов соответствуют области существования смеси двух фаз $\alpha + \delta$. Характер температурной зависимости теплоемкости аналогичен характеру кривых $C = C(t)$ сечения I. По сравнению с сечением I пики теплоемкости, соответствующие переходу через поверхность двойной эвтектики, уменьшаются.

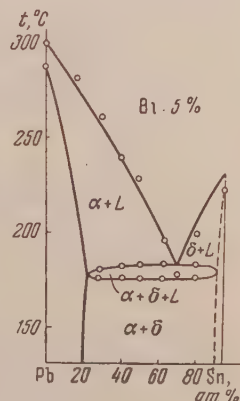


Рис. 2. Политермическое сечение I

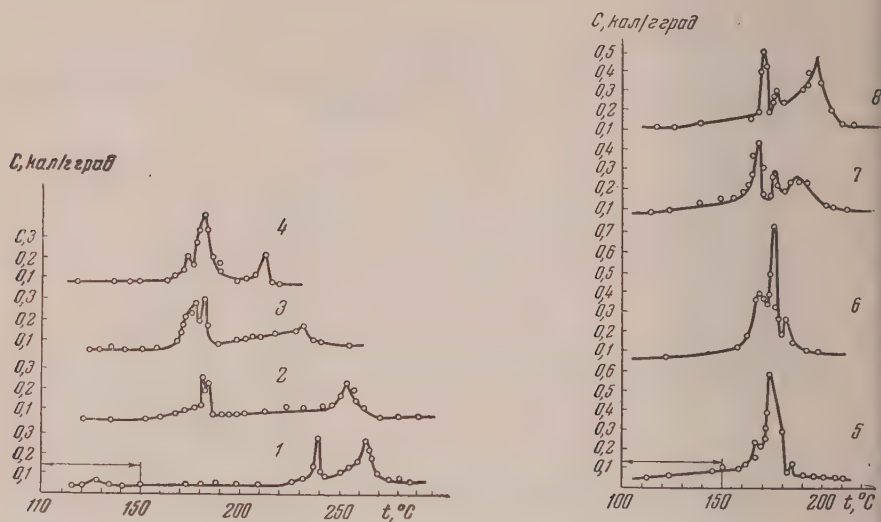


Рис. 3. Зависимость $C = C(t)$ для сплавов в пределах сечения II:
 1—76% Pb—14,5% Sn—9,5% Bi; 2—63% Pb—27,5% Sn—9,5% Bi; 3—52% Pb—39% Sn—9% Bi; 4—42% Pb—49,5% Sn—8,5% Bi; 5—33% Pb—59% Sn—8% Bi; 6—24% Pb—69% Sn—7% Bi; 7—17,5% Pb—75,7% Sn—7% Bi; 8—14,5% Pb—78,5% Sn—7% Bi

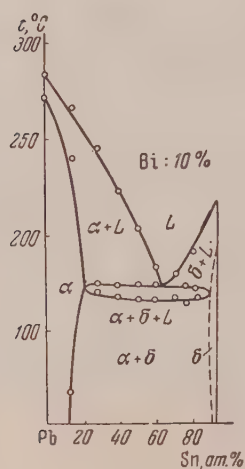


Рис. 4

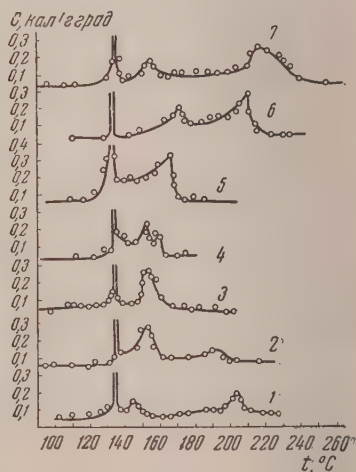


Рис. 5

Рис. 4. Политермическое сечение II

Рис. 5. Зависимость $C = C(t)$ для сплавов сечения III:
 1—57% Pb—25% Sn—18% Bi; 2—48% Pb—35% Sn—17% Bi; 3—39% Pb—45% Sn—16% Bi; 4—31% Pb—54% Sn—15% Bi; 5—22% Pb—63% Sn—15% Bi; 6—17% Pb—69% Sn—14% Bi; 7—11% Pb—76% Sn—13% Bi

Диаграмма политермического сечения II приведена на рис. 4. Заметим, что сплавы сечений I и II можно рассматривать как двойные сплавы свинец — олово с малыми добавками висмута. Однако кривые температурной зависимости теплоемкости, как и следовало ожидать, изменяются по сравнению с кривыми для двойных сплавов. Вместо одного бесконечного скачка при постоянной температуре на кривых $C = C(t)$ для двойных сплавов появляются два конечных скачка, соответствующих переходу через поверхность двойной эвтектики.

На рис. 5 приведены результаты измерения температурной зависимости теплоемкости для семи сплавов сечения III.

На кривых $C = C(t)$ для сплавов III 2, 4, 6, 7 отчетливо видны по три скачка: бесконечный — при постоянной температуре 138°C , соответствующий переходу через плоскость тройной перитектики, и два конечных, соответствующих переходу через поверхность двойных эвтектик и ликвидуса.

На кривой $C = C(t)$ для сплавов III 3, 5 имеются два скачка: бесконечный — при температуре 138° , соответствующий переходу через плоскость тройной эвтектики, и конечный, соответствующий переходу через поверхность ликвидуса. Заметим, что по мере приближения к сплаву III 5 с двух сторон второй скачок увеличивается, а третий — уменьшается.

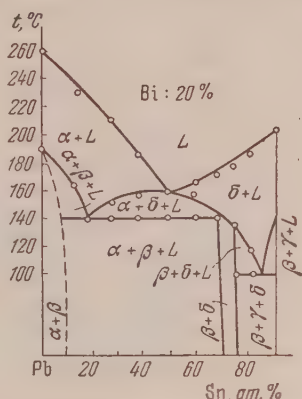


Рис. 6. Политермическое сечение III

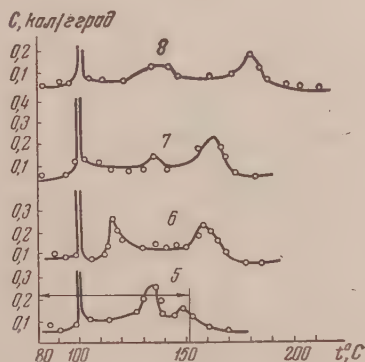
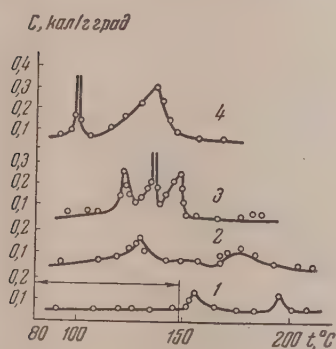


Рис. 7. Зависимость $C = C(t)$ для сплавов в пределах сечения IV: 1 — 60% Pb — 12% Sn — 28% Bi; 2 — 50% Pb — 23% Sn — 27% Bi; 3 — 43% Pb — 31% Sn — 26% Bi; 4 — 35% Pb — 40% Sn — 25% Bi; 5 — 28% Pb — 48% Sn — 24% Bi; 6 — 20% Pb — 57% Sn — 23% Bi; 7 — 15% Pb — 63% Sn — 22% Bi; 8 — 10% Pb — 69% Sn — 21% Bi

По характеру кривых $C = C(t)$ можно сделать заключение, что концентрации сплавов III соответствуют области существования перитектического четырехугольника.

Диаграмма политермического сечения III приведена на рис. 6.

На рис. 7 приведены кривые зависимости теплоемкости от температуры для восьми сплавов сечения IV.

На кривых $C = C(t)$ для сплавов IV 1 и 2 имеется по два пика, соответствующих переходу через поверхности солидуса и ликвидуса; для сплава IV 3 — три скачка (конечный, соответствующий переходу через поверх-

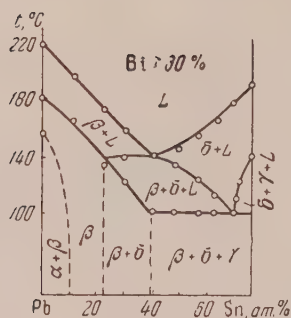


Рис. 8

Рис. 8. Политермическое сечение IV

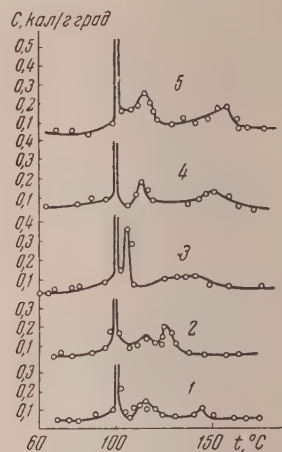


Рис. 9

Рис. 9. Зависимость $C = C(t)$ для сплавов в границах сечения V: 1 — 44% Pb — 19% Sn — 37% Bi; 2 — 30% Pb — 35% Sn — 33% Bi; 3 — 24% Pb — 43% Sn — 33% Bi; 4 — 17% Pb — 52% Sn — 31% Bi; 5 — 9% Pb — 62% Sn — 29% Bi

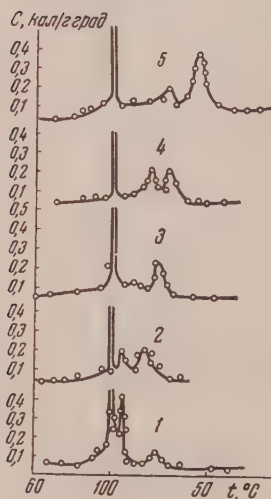


Рис. 10

Рис. 10. Зависимость $C = C(t)$ для сплавов в границах сечения VI: 1 — 37,5% Pb — 16,5% Sn — 46% Bi; 2 — 26% Pb — 30% Sn — 44% Bi; 3 — 21% Pb — 37% Sn — 42% Bi; 4 — 16% Pb — 43% Sn — 41% Bi; 5 — 8% Pb — 54% Sn — 38% Bi

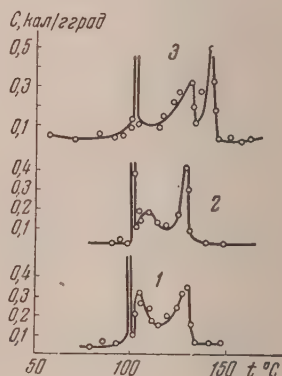


Рис. 11

Рис. 11. Зависимость $C = C(t)$ для сплавов в границах сечения VII: 1 — 30% Pb — 14% Sn — 56% Bi; 2 — 18% Pb — 30% Sn — 52% Bi; 3 — 6% Pb — 46% Sn — 48% Bi

сть солидуса, бесконечный, соответствующий переходу через плоскость тройной перитектики, и конечный при переходе через поверхность ликвидуса).

На кривой $C = C(t)$ для сплава IV 4 обнаружены два скачка: бесконечный, при 100° , соответствующий переходу через плоскость тройной эвтектики, и конечный, соответствующий переходу через поверхность ликвидуса.

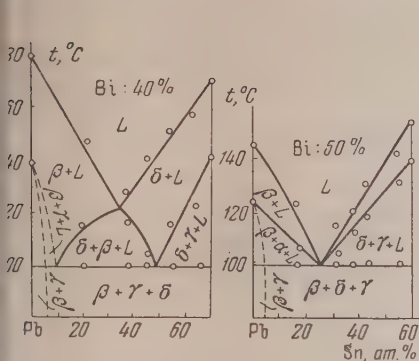


Рис. 12. Политермические сечения V и VI

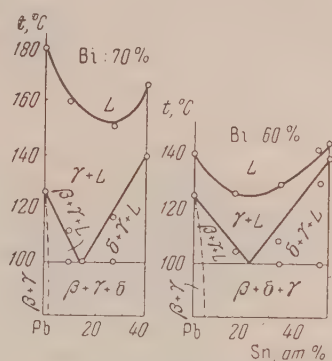


Рис. 13. Политермические сечения VII и VIII

На кривых зависимости теплоемкости от температуры для сплавов 5—8 обнаружено по три скачка (бесконечный, соответствующий переходу через плоскость тройной эвтектики, и два конечных, соответствующих переходу через поверхности двойных эвтектик и ликвидуса).

Диаграмма сечения IV приведена на рис. 8. Концентрации всех исследованных нами сплавов сечений V и VIII принадлежат к области эвтектического треугольника.

Были измерены температурные зависимости теплоемкости для пяти сплавов сечения V, пяти сплавов сечения VI, трех сплавов сечения I и двух сплавов сечения VIII (рис. 9—11).

На всех кривых $C = C(t)$ имеется по три скачка, соответствующих переходу через плоскость тройной эвтектики, поверхности двойных эвтектик и поверхности ликвидуса.

Температуры скачков теплоемкости использовались для построения политермических сечений, приведенных на рис. 12 и 13.

В пределах данного сечения границы фаз были установлены по экспериментальным данным о концентрационной зависимости эвтектических перитектических теплот сплавов.

По известным политермическим сечениям было построено изотермическое сечение тройной диаграммы при комнатной температуре (рис. 14), которая вполне удовлетворительно согласуется с диаграммой, приведенной в работе [7,8].

Выражаю глубокую благодарность Б. Я. Пинесу за предложенную тему и постоянный интерес к работе, а также Я. Е. Гегузину за ценную критику.

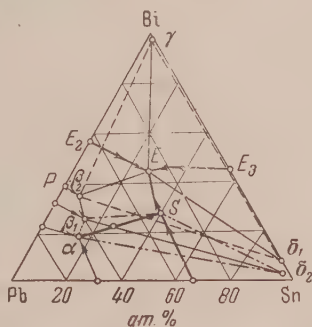


Рис. 14. Изотермическое сечение тройной диаграммы

Выводы

1. Проведены измерения теплот плавления и температурной зависимости теплоемкости в области расслоения для 48 сплавов тройной системы свинец — олово — висмут.

2. Найденные температурные зависимости теплоемкости сплавов различных концентраций и концентрационные зависимости теплот переход через эвтектическую и перитектическую плоскости были использованы для построения диаграммы равновесия свинец — олово — висмут.

Поступила
7.VI.1956

ЛИТЕРАТУРА

1. Б. Я. Пинес, ЖЭТФ, **11**, 411, 1943.
2. Б. Я. Пинес, Изв. Сектора физ.-хим. анализа, **14**, 64, 1943.
3. Я. Е. Гегузин и Б. Я. Пинес, ДАН, **75**, 10, 1950.
4. Р. В. Бакарадзе и Б. Я. Пинес, Журн. техн. физики, **23**, 1953.
5. Я. Е. Гегузин и Б. Я. Пинес, Журн. физ. химии, **25**, 1228, 1951.
6. C. Sykes, Proc. Roy. Soc., **A149**, 422, 1935.
7. Р. Б. Гершман, Журн. физ. химии, **31**, 1573, 1957.
8. Teh-Hsuan, W. Hoffmann, H. Hanemann, Zeitschr. f. Metallkunde, **44**, 127, 1953.

HEAT EFFECTS DURING MELTING IN THE SYSTEM LEAD-TIN-BISMUTH

1. THE EQUILIBRIUM DIAGRAM OF THE TERNARY SYSTEM LEAD-TIN-BISMUTH

R. B. Gershman (Novosibirsk)

Summary

Data have been presented on the heats of melting and the temperature dependence of the specific heat in the region of separation for 48 alloys of the ternary system lead-tin-bismuth.

The temperature dependence of the specific heats of alloys of different concentrations and the concentration dependence of the heats of transition through the eutectic and peritectic planes were used to construct equilibrium diagrams for the system lead-tin-bismuth.

ТЕОРИЯ СТЕКЛЯННОГО ЭЛЕКТРОДА

VII. ВЛИЯНИЕ ПОСТОРОННИХ ИОНОВ НА НАТРИЕВУЮ И КАЛИЕВУЮ ФУНКЦИЮ СТЕКЛЯННЫХ ЭЛЕКТРОДОВ

Б. П. Никольский, М. М. Шульц и Н. В. Пешехонова

Стеклообразные электроды с водородной функцией получили широкое распространение в научно-исследовательской и производственной практике. Вместе с тем ряд авторов указывает на возможность получения стеклянных электродов обладающих калиевой, натриевой или литиевой функцией, также электродов, обратимых по отношению к двухвалентным ионам [1—9].

Строгое экспериментальное доказательство существования стеклянных электродов, обладающих натриевой функцией, выполнено одним из авторов [10], который непосредственным сравнением натриевых амальгамных и стеклянных электродов показал, что определенной области составов растворов электроды из натриевого стекла обладают натриевой функцией и что один и тот же стеклянный электрод может при определенных условиях переходить от полной водородной к полной натриевой функции.

Существенный интерес представляет исследование влияния состава стекла и состава раствора на переход стеклянного электрода от одной металлической функции другой и исследование этих функций в свете ионообменной теории [11].

Как с принципиальной, так и с практической точки зрения при исследовании влияния состава растворов важно изучить влияние различных катионов на натриевую функцию стеклянных электродов. Этому последнему вопросу посвящена работа М. М. Шульца и Т. М. Овчинниковой [12], которые исследовали при комнатной температуре стеклянные электроды из стекла состава: 72% SiO_2 , 3% Al_2O_3 , 11% BaO , 15% Na_2O .

Авторы показали, что стеклянный электрод из такого стекла сохраняет натриевую функцию в смешанных растворах хлористого натрия с хлористым калием, барием, кальцием, магнием и аммонием в определенных пределах концентраций.

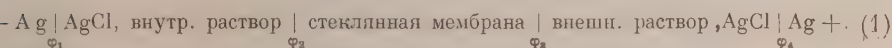
В плане решения вопроса о практическом применении стеклянных электродов с натриевой функцией существенно важно изучить также влияние температуры на эти стеклянные электроды, о чем в литературе не встречается никаких данных.

На основании изложенного выше в настоящей работе изучены следующие вопросы:

1. Влияние посторонних ионов на натриевую функцию стеклянных электродов при разных температурах.
2. Наличие калиевой функции у стеклянных электродов из калиевых стекол и влияние на калиевую функцию различных катионов при нескольких температурах.

Экспериментальная часть

Методика исследования. В целях строгого исследования термодинамических свойств натриевого стеклянного электрода мы применили гальванический элемент без переноса:



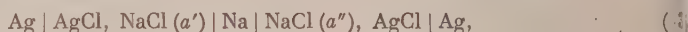
Здесь φ с соответствующим индексом означает величину скачка потенциала на границе двух соприкасающихся фаз. В качестве внутреннего внешнего раствора употреблялись растворы хлорида натрия.

Если стеклянная мембрана ведет себя по отношению к обоим растворам как натриевый стеклянный электрод во всем диапазоне концентраций рас-

творов хлористого натрия, то э. д. с. нашего элемента определяется отношением активностей растворов внутри и снаружи электрода:

$$E = 9 \lg \frac{a_{\text{NaCl}} (\text{внутри электрода})}{a_{\text{NaCl}} (\text{снаружи электрода})} + \varphi_{\text{ас}}. \quad (2)$$

Рассмотрим теперь значение э. д. с. гальванического элемента с идеальным натриевым электродом:



э. д. с. такого элемента, обозначаемая нами ΔE_p , будет, очевидно, равна

$$\Delta E_p = 29 \lg \frac{m'_{\text{NaCl}} \gamma'_{\pm \text{NaCl}}}{m''_{\text{NaCl}} \gamma''_{\pm \text{NaCl}}}, \quad (4)$$

где m — молярность раствора, под которой мы понимаем число молекул растворенного вещества на тысячу грамм растворителя, γ_{\pm} — средний коэффициент активности электролита. Величину ΔE_p можно сопоставить с величиной разности э. д. с. ΔE , полученной для двух гальванических элементов (1) при различных активностях внешнего раствора и неизменной активности внутреннего раствора. Очевидно, если стеклянная мембрана функционирует как натриевый электрод в некотором диапазоне концентраций, то значения ΔE_p и ΔE будут равны между собой. Графическое изображение ΔE как функции ΔE_p должно дать при этом прямую линию, проходящую под углом 45° через начало координат.

Условимся, что в дальнейшем все расчеты ΔE_p производятся при значении $m' = 1$, а значение ΔE вычисляется как разность $E' - E''$, причем E' является значением э. д. с. элемента (1), у которого молярность внешнего раствора тоже равна единице. Экспериментальные прямые, полученные для чистых растворов хлористого натрия, мы называем в дальнейшем калибровочными прямыми.

Если же значения э. д. с. элемента (3) рассчитываются для случая смешанного раствора хлорида натрия с другой солью MCl , концентрация которой в серии опытов остается постоянной, а измерение ΔE элемента (1) производится тоже в смешанном растворе, то

$$\Delta E_p = 9 \lg \frac{m'_{\text{NaCl}} (m'_{\text{NaCl}} + m_{\text{MCl}})}{m''_{\text{NaCl}} (m''_{\text{NaCl}} + m_{\text{MCl}})} + 29 \lg \frac{\gamma'_{\pm \text{NaCl}} (\text{MCl})}{\gamma''_{\pm \text{NaCl}} (\text{MCl})}. \quad (5)$$

Для вычисления второго слагаемого этого уравнения мы воспользовались методом А. В. Сторонкина и М. Д. Лагунова [13].

Если присутствующий в растворе посторонний ион не влияет на натриевую функцию стеклянного электрода, то и здесь $\Delta E_p = \Delta E$ и опытная прямая будет во всем диапазоне концентраций совпадать с калибровочной прямой. В том случае, когда посторонний ион в той или иной степени влияет на натриевую функцию стеклянного электрода $\Delta E_p \neq \Delta E$, тогда опытная кривая начинает отклоняться от калибровочной прямой в той области концентраций, где это влияние становится заметным. Величина отклонений будет тем больше, чем сильнее влияние постороннего иона. Степень этого влияния на натриевую функцию электрода удобно (и с точки зрения ионообменной теории вполне обосновано) характеризовать величиной отношения концентраций добавленного иона и основного иона в точке, соответствующей началу отступлений* экспериментальной кривой от калибровочной прямой.

* За начало отступлений принималась точка, отстоящая от прямой, по крайней мере, на 2 мВ.

Измерение э. д. с. производилось по обычной компенсационной схеме с электротом Комптона в качестве нуль-инструмента, с точностью до 0,5 mV.

Для измерения э. д. с. при различных температурах мы термостатировали исследуемый гальванический элемент, воспользовавшись для этой цели воздушным термостатом, в оригинальную конструкцию которого, предложенную Г. П. Авсеевичем, были внесены нами небольшие изменения. Устройство термостата показано на рис. 1. Температура внутри кабины поддерживалась с точностью до $\pm 0,3^\circ \text{C}$ и измерялась термометром, погруженным в исследуемый раствор.

В работе применялись стеклянные электроды шарикового типа, изготовленные по общепринятой методике [14—16]. Сразу после изготовления электроды заполнялись 0,1 М раствором хлористого натрия. Вторым электродом служил, как указано в схеме (1), хлоросеребряный электрод (практически их было в каждом опыте два: один во внешнем, другой во внутреннем растворе). Для работы применялись только такие хлоросеребряные электроды, разность потенциалов между которыми не превышала 0,5 mV.

Применявшиеся в работе стеклянные электроды были изготовлены из стекол, состав которых указан в табл. 1.

Каждый опыт состоял из двух частей: измерения ΔE для элемента (1) в чистых растворах хлористого натрия (калибровки электрода) и измерения ΔE в смешанных растворах.

Результаты опытов. Исследование влияния различных катионов на натриевую функцию стеклянных электродов. Были исследованы поведение натриевых стеклянных электродов в смешанных растворах хлористого натрия с хлоридами водорода, калия, лития, рубидия, аммония, магния и кальция* при 20, 35, 60, 65°C .

Во всех опытах концентрация добавляемого хлорида была постоянной (кроме опытов с HCl и CaCl₂) равной 0,1 М. Концентрация хлористого натрия изменялась в каждой серии от 2,0 или 1,0 М до 0,001 М.

Рис. 2 относится к результатам, полученным при 20°C , а рис. 3 иллюстрирует данные опытов при 65°C (для Mg²⁺ при 50°C). Кружками обозначены калибровочные прямые, а крестиками — опытные кривые.

Следует отметить, что калибровочные прямые практически имеют угол наклона несколько меньше чем 45° , так как ΔE обычно ниже по величине, чем ΔE_p . Это связано с различной величиной утечки тока при измерениях с разными стеклянными электродами. Таким образом значения $\Delta E/\Delta E_p$ получаются для натриевых стеклянных

электродов 0,97 — 0,98 вместо предполагаемой в идеальном случае единицы. Из рисунков видно, что наиболее сильное влияние на натриевую функцию стеклянного электрода оказывает ион водорода, затем располагаются по убывающему влиянию ионы калия, лития, рубидия, магния, кальция. В табл. 2 обобщены данные этих опытов для 20°C .

Положение иона лития среди щелочных катионов оказывается аномальным с точки зрения влияния его на натриевую функцию стеклянного электрода.

* Опыты по влиянию ионов кальция на натриевое стекло, а также опыты с кальцием в смешанных растворах хлористого калия с хлористым барием и кальцием выполнены студенткой ЛГУ М. Ю. Гориной.

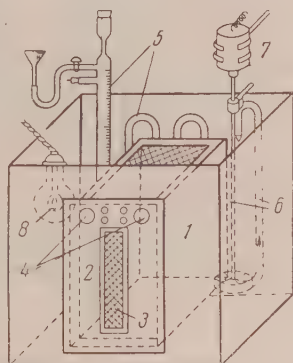


Рис. 1. Устройство термостата. 1 — кабина термостата; 2 — дверца; 3 — смотровая щель; 4 — отверстия для проводов; 5 — терморегулятор; 6 — турбинка; 7 — мотор; 8 — нагреватель

Таблица 1

Состав стекол в мол. %

№ стекла	SiO ₂	Al ₂ O ₃	B ₂ O ₃	Na ₂ O
1	75	3	11	11
2	71	3	11	15

Таблица 2

Посторонний ион M^+	Последняя экспериментальная точка, лежащая на прямой $[M^+]/[Na^+]$	Отношение $[M^+]/[Na^+]$ в начале отступления	Величина отступления в мВ
H^+	1:50	1:10	8—10
K^+	1:10	1:1	1—2
Li^+	2:1	10:1	1—2
Rb^+	20:1,5	20:1	3—4
NH_4^+	20:1	30:1	1—2
Mg^{2+}	100:5	100:1	3—4
Ca^{2+}	50:1	—	—

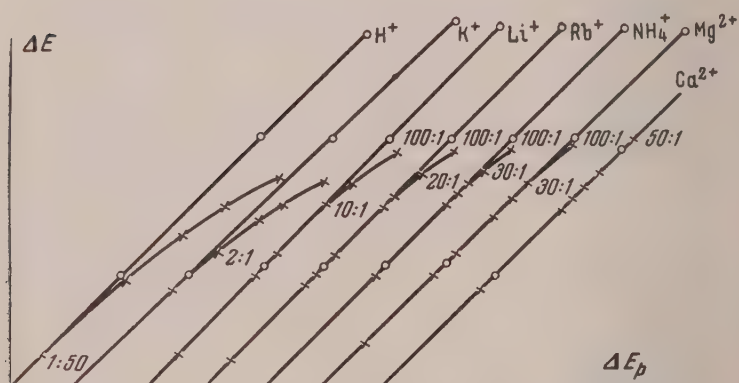


Рис. 2. Влияние различных катионов на натриевую функцию стеклянных электродов при 20°C: и 60 $c_{H^+} = 0,01 M$; $c_{K^+} = c_{Li^+} = c_{NH_4^+} = c_{Rb^+} = c_{Mg^{2+}} = 0,1 M$; $c_{Ca^{2+}} = 0,05 M$

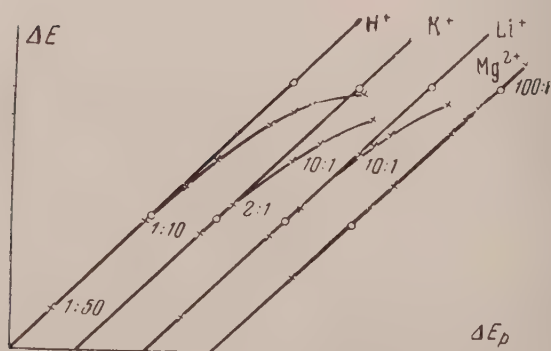


Рис. 3. Влияние различных катионов на натриевую функцию стеклянных электродов при 65°C: $c_{H^+} = 0,01 M$; $c_{K^+} = c_{Li^+} = c_{Mg^{2+}} = 0,1 M$

как ион лития обладает малым радиусом, то можно было ожидать, что он будет влиять на натриевую функцию сильнее, чем ион калия. Подробный анализ аномально малого влияния иона лития на натриевую функцию с точки зрения ионообменной теории будет дан в следующей статье.

Для полук количественной характеристики влияния температуры на натриевую функцию стеклянного электрода в чистых растворах натриевых солей можно сопоставить между собой теоретический коэффициент $\Phi = 2,3 RT/F$ в уравнении для стеклянного электрода и экспериментальную величину Φ_a^* , т. е. угловой коэффициент наклона прямой $E = f(\lg a_{NaCl})$. Если температура влияет на свойства стеклянного электрода соответственно теоретическому уравнению, то $\Phi_a = dE/d \lg a_{NaCl} = \Phi$. Для примера приведем подобное сопоставление на нескольких электродах.

В табл. 3 указаны температура опыта, номер электрода, рассчитанное значение $\Phi = 2,3 RT/F$ для каждой температуры и, наконец, величина Φ/Φ (иначе говоря, процент выполнения натриевой функции).

Таблица 3

Температура	20° ($\Phi = 58$)		35° ($\Phi = 61$)		50° ($\Phi = 64$)	
$\Phi = \frac{RT}{F} 2,3$	Φ_a	$\frac{\Phi_a}{\Phi} \cdot 100$	Φ_a	$\frac{\Phi_a}{\Phi} \cdot 100$	Φ_a	$\frac{\Phi_a}{\Phi} \cdot 100$
стекло № 2. Электрод № 1	56,4	97	60,3	98,4	63,2	98,7
стекло № 2. Электрод № 2	56,1	96,5	59,8	97,9	63,0	98,2
стекло № 1. Электрод № 1	55,8	96,1	60,1	98,2	63,2	98,7

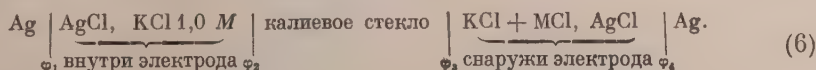
Сопоставление экспериментальных значений Φ_a с теоретическими для натриевого стекла показывает, что влияние температуры на разницу Φ и Φ_a невелико и что имеется тенденция к сближению этих величин при повышении температуры. Это связано, по-видимому, с тем, что повышение температуры, понижая сопротивление стекла, уменьшает роль утечки тока и улучшает воспроизводимость измерений.

С другой стороны, можно рассматривать влияние температуры на поведение стеклянных электродов в смешанных растворах, т. е. проследить, как влияет изменение температуры на начало отклонений, вызываемых тем или иным катионом, от собственной электродной функции стекла.

Приведенные на рис. 2 и 3 экспериментальные кривые $\Delta E = f(\Delta E_p)$ позволяют сделать предварительное заключение о том, что повышение температуры в большинстве случаев несколько увеличивает область основной электродной функции. Чтобы дать влиянию температуры количественную оценку, мы подсчитали отклонения экспериментальной кривой от калибровочной прямой при каждой температуре и установили, что повышение температуры, действительно, несколько уменьшает отклонения экспериментальной кривой от калибровочной, т. е. расширяет область основной электродной функции. Это можно наглядно проследить на примере опытов в смешанных растворах $NaCl + MgCl_2$: при 20° натриевые стеклянные электроды дают в этих растворах небольшие отклонения, а при 0° этих отклонений вовсе не наблюдается.

Исследование калиевой функции стеклянных электродов. Состав калиевых стекол, из которых изготавливались электроды, приведен в табл. 4 (см. стр. 24).

Гальванический элемент, применявшийся для исследования калиевых стеклянных электродов, построен по схеме



* Значения Φ_a определялись по формуле $\Phi_a = \Phi \Delta E / \Delta E_p$.

Применение гальванического элемента без переноса и наличие точных данных о коэффициентах активности хлористого калия в чистых растворах сделали возможность с достаточной строгостью проверить наличие калиевой функции у электродов из калиевых стекол № 3 и № 4.

Результаты наших опытов с калиевыми электродами в чистых растворах KCl показывают, что для данных составов стекол калиевая функция которой обладает электрод, составляет около 94% от той теоретической

Таблица 4

Состав стекол в мол. %

№ стекла	SiO ₂	Al ₂ O ₃	B ₂ O ₃	K ₂ O
3	71	3	11	15
4	66	5	9	20

функции, которой обладал бы идеальный калиевый электрод. Иными словами, тангенс угла наклона калибровочной прямой с осью абсцисс составляет в среднем 0,94 вместо теоретического значения, равного единице.

По-видимому, большие отклонения калибровочных прямых от теоретического наклона для стеклянных электродов из калиевых стекол вызываются большей величиной утечек тока, чем у

натриевых стекол. Указанные составы калиевых стекол являются не очень удачными по своим техническим свойствам. Оба стекла очень тугоплавки, имеют сравнительно короткий интервал размягчения, что сильно

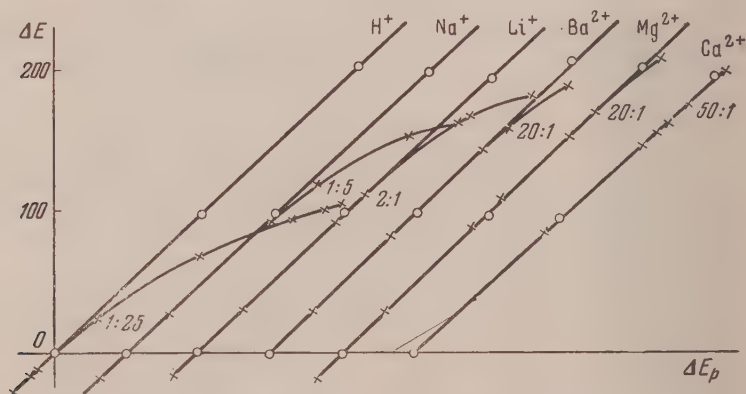


Рис. 4. Влияние различных катионов на калиевую функцию стеклянных электродов при 20° C: $c_{H^+} = 0,02M$; $c_{Na^+} = 0,01M$; $c_{Li^+} = c_{Mg^{2+}} = c_{Ba^{2+}} = 0,1M$; $c_{Ca^{2+}} = 0,05M$

затрудняет изготовление электродов. Электроды обладают большим сопротивлением и сильно поляризуются; кроме того, имеют большой и сравнительно непостоянный асимметрический потенциал.

Таблица 5

Посторонний ион	Последняя экспериментальная точка, лежащая на прямой	Отношение M^+/K^+ в начале отступления	Величина отступления в мВ
H^+	1 : 50	1 : 10	15
Na^+	1 : 50	1 : 10	1—2
Li^+	1 : 5	1 : 1	1—2
Mg^{2+}	100 : 5	100 : 1	10
Ca^{2+}	50 : 1	—	—
Ba^{2+}	10 : 1	20 : 1	—

Остановимся теперь на вопросе о влиянии различных катионов на калиевую функцию стеклянных электродов. Поведение калиевых стеклянных электродов было исследовано в смешанных растворах хлористого калия с хлоридами водорода, натрия, лития, магния, кальция и бария.

Результаты опытов с калиевыми стеклами, изображенные на рис. 4 и 5, свидетельствуют о том, что и в этом случае наиболее сильно влияет на электродную функцию калиевого стекла ион водорода, затем идут ионы натрия, лития, бария, кальция.

Для более наглядной иллюстрации указанного обстоятельства мы представили ниже сводную табл. 5, построенную аналогично табл. 2.

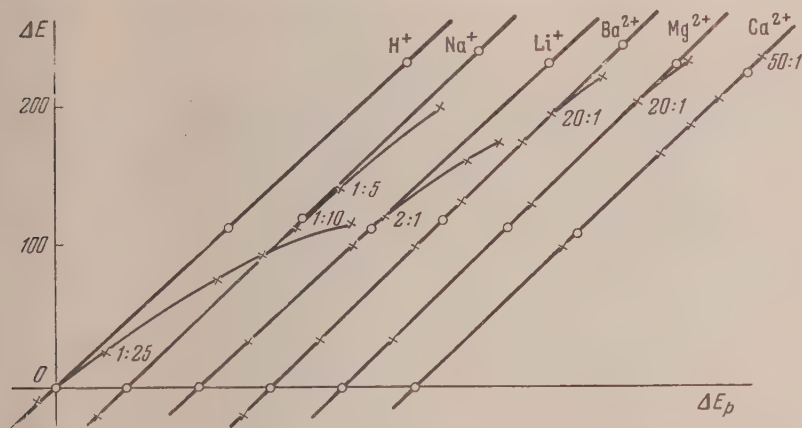


Рис. 5. Влияние различных катионов на калиевую функцию стеклянных электродов при 65° С; $c_{H^+} = 0,02M$; $c_{Na^+} = 0,01M$; $c_{Li^+} = 0,1 M$; $c_{Mg^{2+}} = c_{Ba^{2+}} = 0,1M$; $c_{Ca^{2+}} = 0,05M$

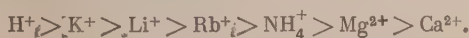
Величины, указанные в табл. 5, относятся к 20° С. Повышение температуры не оказывает заметного влияния на пределы калиевой функции.

Сравнивая данные табл. 5 и табл. 2, можно заключить, что присутствие посторонних ионов значительно заметнее влияет на калиевую функцию, чем на натриевую, что, вероятно, связано с большими размерами калиевого иона. Так же как и в случае натриевого стекла, ион лития аномально сильно влияет на калиевую функцию стеклянных электродов.

Выводы

1. Исследованы алюмоборосиликатные стекла, состав которых колебался в узких пределах. Эти стекла сильно отличаются от стекла ЭС-1, употребляемого для изготовления стеклянных электродов с водородной функцией, в том отношении, что в алюмоборосиликатных стеклах водородная функция проявляется гораздо слабее.

2. Исследование поведения стеклянных электродов из натриевых стекол в смешанных растворах солей показывает, что изученные нами катионы в определенных пределах концентраций оказывают различное влияние на натриевую функцию стеклянных электродов и могут быть расположены по уменьшению этого влияния в следующий ряд:



3. Подтверждено с достаточной определенностью наличие калиевой функции у стеклянных электродов из калиевых стекол в чистых растворах калиевых солей.

4. Влияние посторонних катионов на калиевую функцию можно охарактеризовать следующим рядом: $H^+ > Na^+ > Li^+ > Ba^{2+} > Mg^{2+} > Ca^{2+}$.

5. Изучение влияния температуры на металлическую функцию стеклянных электродов позволяет заключить, что область основной электродной функции несколько расширяется при повышении температуры, т. е. что посторонние катионы с повышением температуры меньше влияют на собственную электродную функцию стекла, чем при комнатной температуре.

Ленинградский государственный
университет им. А. А. Жданова

Поступила
6.VII.1956

ЛИТЕРАТУРА

1. K. Horowitz, Zs. f. Phys., **105**, 369, 1923.
2. H. Schiller, Ann. d. Phys., **74**, 105, 1924.
3. K. Horowitz, Zs. phys. Chem., **115**, 424, 1925.
4. С. И. Соколов и А. Г. Пасынский, Журн. физ. химии, **3**, 131, 1932.
5. T. Urban and E. Steiner, Journ. Phys. Chem., **35**, 3058, 1931.
6. B. Lenguel and A. Blum, Trans. Farad. Soc., **30**, 461, 1934.
7. Б. П. Никольский и Т. А. Толмачева, Журн. физ. химии, **10**, 504, 513, 1937.
8. B. Lenguel and A. Sammt, Zs. phys. Chem. (A), **181**, 55, 1937.
9. H. Naugaard, Nature, **140**, 66, 1936.
10. М. М. Шульц, Уч. зап. ЛГУ, **169**, ОХН, Акад. наук СССР. серия хим., № 13, 80, 1953.
11. Б. П. Никольский, Журн. физ. химии, **10**, 495, 1937.
12. М. М. Шульц и Т. М. Овчинникова, Вестн. ЛГУ, № 2, 129, 1954.
13. А. В. Сторонкин и М. Д. Лагунов, Вестн. ЛГУ, № 11, 161, 1953.
14. Haber u. Klemensiewicz, Zs. phys. Chem., **67**, 385, 1909.
15. W. S. Hughes, Journ. Amer. Chem. Soc., **44**, 2860, 1922; Journ. Chem. Soc., London, 491, 1928.
16. Б. П. Никольский и К. С. Евстропьев, Журн. физ. химии, **1**, 729, 1930.

THE THEORY OF THE GLASS ELECTRODE

VII. THE EFFECT OF FOREIGN IONS ON THE SODIUM AND POTASSIUM FUNCTIONS OF GLASS ELECTRODES

B. P. Nikol'skiĭ, M. M. Shulz and N. V. Peshekhonova (Leningrad)

Summary

An investigation was made of aluminoborosilicate glasses the composition of which varied within narrow limits. These glasses differ from the glass ES-1 used for the production of electrodes with a hydrogen function in that the former possess a hydrogen function to a much less extent.

A study of the behavior of glass electrodes made of sodium glass in solutions of mixed salts showed that for given concentration limits the cations investigated exert different effects on the sodium function of the electrodes, diminishing according to the series: $H^+ > K^+ > Li^+ > Rb^+ > NH_4^+ > Mg^{++} > Ca^{++}$.

The existence of a potassium function has been confirmed for electrodes of potassium glasses in pure solutions of potassium salts.

The effect of foreign cations on the potassium function may be characterized by the following series: $H^+ > Na^+ > Li^+ > Ba^{++} > Mg^{++} > Ca^{++}$. In either cases lithium has an anomalously small effect on the electrode function proper.

О ВЛИЯНИИ ТЕРМИЧЕСКОЙ ОБРАБОТКИ НАТРОВООБОРОСИЛИКАТНЫХ СТЕКОЛ НА ПОРИСТУЮ СТРУКТУРУ ПРОДУКТОВ ИХ ВЫЩЕЛАЧИВАНИЯ В КИСЛОТЕ

Д. П. Добычин и Н. Н. Киселева

Вопрос о связи структуры пористых стекол, получаемых обработкой щелочноборосиликатных стекол растворами кислот [1—5], термообработкой исходных щелочноборосиликатных стекол представляет особый интерес для суждения о строении последних и о природе процессов, протекающих в них при термической обработке. С другой стороны, Л. А. Качур [6] и С. П. Ждановым [7] отмечалась вытекающая и из данных Г. П. Худа и М. Е. Нордберга [3] возможность управления структурой пористого стекла посредством изменения условий термообработки исходного стекла и его выщелачивания. В первых работах [6, 7], посвященных этому вопросу, результаты адсорбционных измерений рассматривались на основе представлений о существовании стабильной структуры стекла, пришедшего к состоянию, равновесному при данной температуре отжига.

Однако сопоставление результатов исследований аномальных изменений плотности и показателя преломления этих стекол при их термической обработке [8, 9] и теплового эффекта их взаимодействия с кислотой [10] с данными адсорбционных [6, 7], рентгеноструктурных [11] и оптических [12] исследований, а также с данными о процессах в сложных щелочноборосиликатных стеклах, связанных с вязким течением и сопровождающихся энергией активации от 50 до 150 ккал/моль (в среднем около 90 ккал/моль [13—16]), свидетельствует о недостаточности такого подхода. Нами было показано [17], что радиусы пор пористого стекла, полученного выщелачиванием образцов стекла Na-7/23*, подвергнутых длительной термообработке при 530°С, не достигают какого-либо постоянного значения, но продолжают расти по мере увеличения времени термообработки исходного стекла. Оказалось [18], что термическая обработка стекла Na-7/23 при температурах до 585° вызывает, по крайней мере, два структурных процесса: первый (более быстрый), проявляющийся в уменьшении величины радиуса и общего объема пор, и второй (медленный) вызывающий непрерывный рост радиуса пор и увеличение общего их объема до некоторого значения, зависящего от температуры. О первом (быстром) процессе было высказано предположение, что он связан с разрушением имевшихся (при наличии предварительной термообработки) областей химической неоднородности и перестройкой пространственной сетки стекла и переориентировкой химических связей, вызывающими лишь небольшие смещения элементов сетки. Напротив, медленный процесс, вызывающий непрерывный рост размера пор пористого стекла, оказался связанным с переносом вещества диффузионным процессом роста крупных боронатриевых областей за счет исчезновения мелких, хорошо подчиняющимся кинетическому закону переконденсации [19]:

$$\frac{1}{N} = \frac{1}{N_0} + kt, \quad (1)$$

* Здесь и ниже Na-7/23 означает 7 мол. % Na₂O, 23 мол. % B₂O₃ и 70 мол. % SiO₂.

N и N_0 — число частиц в единице объема системы в момент времени и в начальный момент времени; k — константа скорости процесса, связанная с коэффициентом диффузии диффундирующих частиц, поверхностной свободной энергией, растворимостью и суммарной концентрацией переконденсировавшегося компонента в системе, его молекулярным весом и молярным объемом. Считая, что структура пористого стекла в значительной степени отображает строение исходного стекла, мы вычисляли число пор (и, следовательно, число выщелоченных областей химической неоднородности) в 1 см^3 пористого стекла по формуле:

$$N = \frac{V_s}{\frac{4}{3} \pi r^3} \cdot \frac{1}{\frac{1}{\Delta} + V_s}, \quad (2)$$

где V_s — общий объем, r — радиус пор исследуемого пористого стекла; $\Delta = 2,18 \text{ г/см}^3$ — удельный вес кварцоида (остеклованного пористого стекла), который мы считаем наиболее близким к истинному удельному

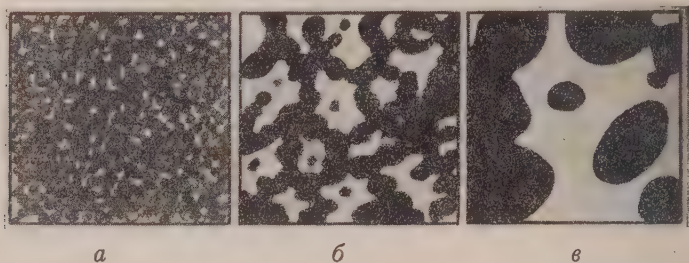


Рис. 1. Иллюстрация процесса переконденсации

весу пористого стекла. Рис. 1 служит качественной иллюстрацией протекающего процесса. Кинетическая закономерность выражена резко. Даже грубое сопоставление величин r^3 и t обнаруживает близкую к линейной зависимость среднего объема единичной поры от времени, являющуюся

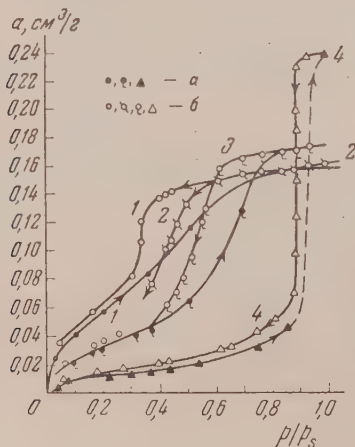


Рис. 2. Изотермы адсорбции воды на пористых стеклах: 1 — исходное стекло, закалено от 850°C (А [18]); а — адсорбция, б — десорбция; 2 — стекло А выдержано $1/2$ часа при 530°C , б — десорбция; 3 — то же — 2 часа; а — адсорбция, б — десорбция; 4 — то же — 16 суток; а — адсорбция, б — десорбция

приближенной формой закона переконденсации [19]. Движущей силой его является стремление разделяющейся системы к минимуму поверхностной

энергии и потому его теоретическим пределом является полное разделение стекла на две области химической неоднородности.

В табл. 1 приводятся данные, показывающие изменение радиуса r , общего объема V_s и числа пор в 1 см^3 N в пористом стекле, а также его удельной поверхности S и единичного объема $1/N$ при увеличении продолжительности термической обработки исходного стекла Na - 7/23, предварительно закаленного от 850°C (тип А [18]). На рис. 2 приведены изотермы сорбции паров воды на некоторых из этих пористых стекол.

Таблица 1

Влияние длительности термической обработки при 530°C стекла Na - 7/23, закаленного от 850°C , на структуру пористого стекла, полученного из него выщелачиванием в $3N \text{ HCl}$ при 50°C

t , час	0	$\frac{1}{2}$	1	2	8	24	72	169,5	313	384
$V_s, \frac{\text{см}^3}{\text{г}}$	0,160	0,161	0,171	0,175	0,196	0,200	0,224	0,231	0,231	0,241
$r, \text{\AA}$	~ 8	11—12	16	17	23—24	30	45	71,5	79	85,5
$S, \frac{\text{м}^2}{\text{г}}$	221	164	125	118	83,5	79,5	65	44	33	41,5
$7 \cdot 10^{-18}, \text{см}^{-3}$	121	35,8—46,5	15,8	13,4	4,49—5,84	2,69	0,85	0,218	0,162	0,131
$\frac{1}{N_4} \cdot 10^{18}, \text{см}^3$	0,0083	0,0215—0,028	0,0633	0,0745	0,171—0,243	0,372	1,18	4,58	6,17	7,62

Среднее значение величины кажущейся энергии активации процесса переконденсации в интервале $485—530^\circ \text{C}$ оказалось близким 90 ккал/моль . Интересно, что, судя по частным значениям энергии активации (рис. 3), вычисленным для участков $485—510^\circ$ и $510—530^\circ \text{C}$, величина ее в этом довольно узком интервале падает от 50 до 155 ккал/моль . Увеличение энергии активации при повышении температуры, вообще говоря, необычно, но отмечено в литературе (см. [13], стр. 92). Не рассматривая полученные значения как точные, порядок величины кажущейся энергии активации процесса переконденсации в стекле Na-7/23 можно считать установленным достаточно достоверно. В целом же, наблюдаемая картина является прямым доказательством того, что кремнеземистый скелет [2]

выщелачиваемые борнатриевые области после выщелачивания — поры — предсоздаются в стекле в процессе его термической обработки в виде двух взаимопронизывающих сетчатых структур. Это означает, что строение пористого стекла определяется, в основном, разделением исходного стекла на области химической неоднородности, но не заetchиванием пор в процессе выщелачивания единой системы однородного стекла, как то считает акад. Н. В. Белов [20].

Исходя из величины $1/N$ — единичного объема стекла, приходящегося на одну пору (находящуюся в пределах этого объема), можно приближенно оценить как ближнее расстояние между соседними порами (а), так и линейный размер (б) выщелачиваемой области (стенка скелета), как максимальное расстояние между соседними порами для данного образца. Так, например, для образца, выдержанного 384 часа при 530°C (радиус пор $85,5 \text{\AA}$), эти величины определяются, если моделировать объем $1/N$

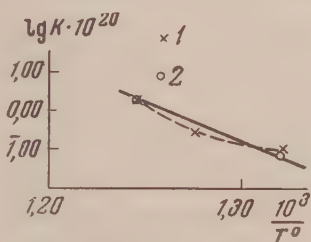


Рис. 3. График $\lg K \cdot 10^{20} - 10^3/T$ для процесса переконденсации в стекле Na - 7/23; 1 — стекло серии А закалено от 850°C ; 2 — стекло серии Б заводской отжиг при падающей температуре [18]

кубом, ребро которого

$$l = \sqrt[3]{1/N} = 197 \text{ \AA}, \text{ как}$$

$$a = \sqrt[3]{\frac{1}{N}} - 2r = 26 \text{ \AA};$$

$$b = \sqrt[3]{3} \sqrt[3]{\frac{1}{N}} - 2r = 171 \text{ \AA};$$

или, моделируя объем $1/N$ октаэдром, ребро которого

$$l = \sqrt[3]{\frac{1/N}{0,4714}} = 253 \text{ \AA},$$

получим

$$a = \left(\frac{l}{\sqrt{2} \cdot \sqrt[3]{3}} - r \right) 2 = 30 \text{ \AA};$$

$$b = l \sqrt{2} - 2r = 186 \text{ \AA}.$$

Из этих оценочных подсчетов следует, что пустоты и сплошности исследованного образца пористого стекла имеют близкие линейные размеры: поры $\sim 170 \text{ \AA}$, а утолщения стенок $170 \sim 185 \text{ \AA}$.

Объемы их относятся, как

$$\frac{4}{3} \pi r^3 : \left(\frac{1}{N} - \frac{4}{3} \pi r^3 \right) = 2,62 \cdot 10^{-18} : (7,62 - 2,62) \cdot 10^{-18} = 1 : 1,9;$$

т. е. различаются между собой почти в два раза.

Средние линейные размеры пустот и стенок (если считать, что стенки состоят из частиц, сходных по форме с порами) относятся между собой

примерно как $1 : \sqrt[3]{1,9} = 1 : 1,24$.

Около 585°C было найдено критическое значение (или узкая область) температуры, разграничивающей области термообработки стекла по свойствам получаемых из него пористых стекол. При температурах выше 585°C достаточно непродолжительной термообработки исходного стекла (при $650^\circ \text{C} - 1/2$ часа), чтобы величина радиуса пор получаемого из него кислотным выщелачиванием пористого стекла приняла постоянное значение, не меняющееся при дальнейшем увеличении длительности, но падающее с ростом температуры термообработки исходного стекла [17, 18]. Если из стекла, термообработанного при 590°C , получается пористое стекло с порами радиусом $18-20 \text{ \AA}$, то из стекла, закаленного от 850°C , — с порами $\sim 8 \text{ \AA}$. Согласно нашим представлениям, содержание двуокиси кремния в боронатриевых областях химической неоднородности с температурой растет и при 585°C становится достаточным, чтобы внутри них начал строиться непрерывный кремнеземистый скелет, не разрушаемый кислотой, что и приводит к образованию пористых стекол со своеобразной двойной каркасной структурой: мелкая сетка, заполняющая крупные полости. Величина радиуса и общего объема пор пористых стекол, полученных из образцов, термообработанных при 780°C , в отличие от термообработанных при 530°C , оказалась не зависящей от условий выщелачивания в кислоте [17]. Так, было показано, что удаляемая в опытах С. П. Жданова и Е. А. Порай-Кошица щелочью из «высокотемпературного» пористого стекла мелкопористая кремнеземистая сетка не является «вторичной кремнекислотой», скоагулировавшей в порах при выщелачивании стекла в кислоте [21, 22]. В табл. 2 приводятся дополнительные данные по этому вопросу, подтверждающие нашу точку зрения (см. также табл. 3).

Независимость структуры пористых стекол, полученных из «высокотемпературных» образцов стекла, от концентрации кислоты и температуры при выщелачивании свидетельствует о том, что коагуляция кремне-

Таблица 2

Влияние условий выщелачивания на структуру пористых стекол, получаемых из исходных стекол, термообработанных при температурах выше и ниже «критической» 585°С

Условия термообработки	Условия выщелачивания *		$V_s \frac{\text{см}^3}{\text{г}}$	$r, \text{Å}$
70°С — 5 суток и 575°С — 1 сутки	3 N HCl	50°С	0,214	Бидисперсен: 40 и 88 и выше
70°С — 5 суток	3 N HCl	50°С	0,148	10—11
70°С — 5 суток и 530°С — 1 сутки	0,1 N HCl	18—20°С	0,249	Бидисперсен: 100 и 200
70°С — 5 суток	0,1 N HCl	18—20°С	0,168	8—10
60°С — 1 сутки	3 N HCl	50°С	0,195	14—16
	0,1 N HCl	18—20°С	0,201	12—15
60°С — 4 1/2 суток	3 N HCl	50°С	0,202	19—20
	0,1 N HCl	18—20°С	0,202	20

* Выщелачивался порошок фракции 100—150 μ .

кислоты в порах в этом случае практически не происходит, в отличие от того, что имеет место при выщелачивании образцов стекла, термообработанных при температурах ниже 585°С. При высоких температурах на поверхности образцов появляется растрескивающийся слой продуктов кристаллизации (при 60°С, например, за 5 суток), отстающий и легко удаляющийся механическим путем у достаточно долго термообработывавшихся образцов (при 620°С, например, за 10—11 суток). Стабильность величины радиуса пор у пористых стекол, полученных из стекол, термообработанных при высоких температурах (выше 585°), обеспечивает достаточно близкое совпадение результатов наших измерений с данными С. П. Жданова [7], полученными на стекле другой варки (ис. 4). Напротив, кинетический характер величины радиуса пор пористого стекла, полученного выщелачиванием в 3 N HCl при 50°С порошков образцов стекла Na - 7/23, термообработывавшихся при температурах ниже 585°С, лишает физического смысла попытки сопоставления результатов измерений в этой области без идентификации термической предыстории исходного стекла. Изменением условий выщелачивания стекла, термообработывавшегося ниже 585°С, структуру пористого стекла можно регулировать лишь в известных пределах. Термообработка предопределяет максимальные значения размеров и общего объема пор, которые могут быть достигнуты посредством изменения условий выщелачивания.

На основании полученных результатов рост размеров областей химической неоднородности представляется процессом переконденсации, единым для всех температур ниже верхней границы опалесценции (около 75°С). С этой точки зрения, различие в пористой структуре продуктов выщелачивания в кислоте стекол, термообработывавшихся выше и ниже 585°С, как связанное с внутренним строением боронатриевых областей, имеет подчиненный характер.

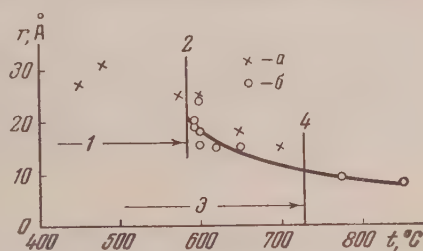


Рис. 4. Зависимость радиуса пор пористого стекла от температуры термообработки исходного стекла Na - 7/23: 1 — область роста размеров пор; 2 — граница роста размеров пор 585°С; 3 — область опалесценции; 4 — граница опалесценции; а — данные С. П. Жданова [7]; б — наши результаты

Изучение кинетики и природы процессов, протекающих в стекле Na-7/2 при его термообработке, позволяет получать пористые стекла с желаемой структурой, причем не только моно-, но и бидисперсные. Весьма эффективна последовательная термообработка, связанная с использованием структур, созданных при температурах выше 585°C . Термообработка такого стекла при температурах ниже 585°C быстро разрушает в течени

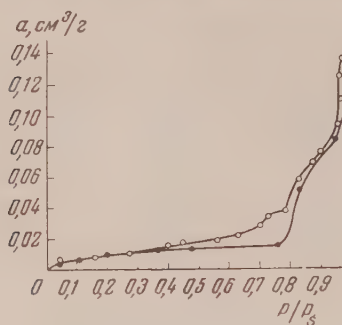


Рис. 5

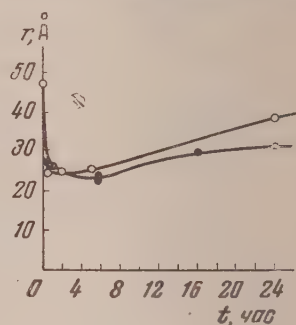


Рис. 6

Рис. 5. Изотерма адсорбции воды на бидисперсном пористом стекле

Рис. 6. Начальные участки кинетических кривых изменения величины радиуса пор пористого стекла в зависимости от длительности термообработки исходного стекла Na-7/23; \circ — при 485°C ; \bullet — при 530°C

первого процесса мелкую сетку кремнезема внутри боронатровых областей, которые в целом, однако, не исчезают. Затем происходит образование областей химической неоднородности, соответствующее этой более низкой температуре. В результате выщелачивания такого стекла в кислоте получается пористое стекло бидисперсной структуры. Так, из

Таблица 3

Газопроницаемость пластинок пористого стекла

Характеристика образцов		Общий объем пор $V_s, \frac{\text{см}^3}{\text{г}}$	Преоблад. радиус пор $r, \text{Å}$	Объемная доля пор $r \geq 100^{\circ}\text{Å}, \%$	Константа газопроницаемости $\frac{\text{см}^3 \cdot \text{мм}}{\text{см}^2 \cdot \text{мин}}$
термообработка	выщелачивание				
530°С — 3 суток и отжиг	3 N HCl 50°С	0,175—0,200	25—30	—	0,15—0,68
	0,1 N HCl 18—20°С	0,192—0,215	32—35	8,4—12,5	0,34—0,93
575°С — 15 суток и отжиг	3 N HCl 50°С	0,185—0,188	53—59	8,5	0,4—1,2
	0,1 N HCl 18—20°С	0,217—0,237	>200 и 18	29—36	0,16—0,61
580°С — 15 суток и отжиг	3 N HCl 50°С	0,159—0,182	41—48	—	0,44
	0,1 N HCl 18—20°С	0,21	Крупные и 15—17	20	0,17—0,3
$V_{\text{усоч}}$ № 7930	Пересчет данных Ф. А. Шверца [23]				0,144
Широкопористое стекло		0,600—0,857	Около 1000	До 95,8	30—70

стекла Na-7/23, выдержанного 2 недели при 650°C и 3 суток при 530°C , выщелачиванием в 3 N HCl при 50°C в виде порошка фракции 100—150 μ было получено пористое стекло с общим объемом пор 0,140 $\text{см}^3/\text{г}$, удельной поверхностью 24,8 $\text{м}^2/\text{г}$ и бидисперсной структурой: большая часть пор с радиусами $> 300 \text{ Å}$ и дополнительно около 35 Å (см. также табл. 2). Объемная доля пор с радиусами от 100 Å и выше у этого стекла равна 47%. Изотерма адсорбции воды на нем изображена на рис. 5. На

видны две гистерезисные петли, отвечающие двум группам пор разного размера. Термообработка ниже 585°C стекла, предварительно выжженного при температуре выше 585°C , действует на него подобно своеобразному «проявителю»: неразрушавшаяся кислотой мелкочаеистая сетка, заполнявшая крупные борнонатриевые области, исчезает. Ранее это показано, как термообработка при $485\text{--}530^{\circ}\text{C}$ стекла, сперва размягченного до того при падающей температуре (стекло Б [18]), разрушает имевшуюся сетку борнонатриевых областей. Быстрое уменьшение r в течение первого (быстрого) процесса иллюстрируется рис. 6. Второй процесс происходит и здесь, в основном в пределах борнонатриевых областей. Затем трехсуточная термообработка при 530°C вызывает образование пор радиусом порядка $4\text{--}40\text{ \AA}$, близких к тем, которые можно было бы ожидать согласно нашим результатам (см. табл. 1 и [18]). Муждавшие данные (наши и других авторов) относятся к случаю выщелачивания стекла в виде порошка. Осложнения, возникающие при переходе к сплошному стеклу, являются предметом отдельного рассмотрения. Однако можно сообщить, что использование полученных результатов помогло нам разработать способ приготовления пленки из пористого стекла с газопропускаемостью, более чем на два порядка превышающей таковую у обычных плотных стекол (табл. 3).

Разработанное нами широкопористое стекло обладает константой газопропускаемости порядка $30\text{--}70 \frac{\text{см}^3 \cdot \text{мм}}{\text{см}^2 \cdot \text{мин} \cdot \text{атм}}$ и выше, в то время как у обычного мелкопористого стекла ее величина колеблется от 0,15 до $0,7 \frac{\text{см}^3 \cdot \text{мм}}{\text{см}^2 \cdot \text{мин} \cdot \text{атм}}$. Изотерма адсорбции воды на широкопористом стекле приведена на рис. 7.

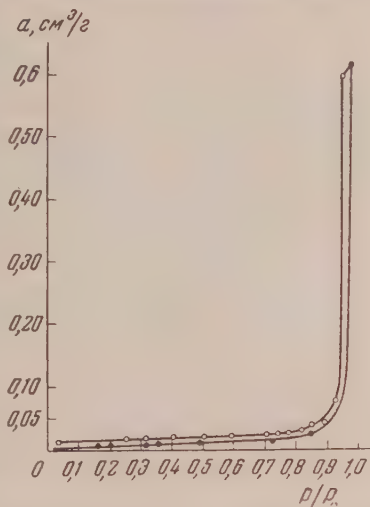


Рис. 7. Изотерма адсорбции воды на широкопористом стекле

Выводы

1. Путем адсорбционного исследования пористых стекол обнаружено, что при термообработке стекла Na-7/23 в нем протекают, по крайней мере, два процесса.
2. Первый обнаруживается на стеклах, предварительно термообработанных ниже 730°C , вызывает уменьшение общего объема и радиуса пор и быстро завершается. Предположительно трактуется, как переориентировка химических связей.
3. Второй проявляется в непрерывном увеличении размеров борнонатриевых областей и является переоконденсацией.
4. Около 585°C обнаружена «критическая» температура (или узкая ее область) выше которой, согласно трактовке, внутри борнонатриевых областей строится непрерывная кремнеземная сетка, не разрушающаяся при выщелачивании в кислоте.
5. Полученные результаты позволяют получать пористые стекла с желаемой структурой.

Поступила
9.VII.1956

ЛИТЕРАТУРА

1. И. В. Гребенщиков и Т. А. Фаворская, Труды ГОИ, 7, № 72, 193.
2. И. В. Гребенщиков, Материалы совещания по стеклообразному состоянию, Л., 1939.
3. H. P. Hood, M. E. Nordberg, Glass Industry, 21, 482, 1940.
4. И. В. Гребенщиков и О. С. Молчанова, Журн. общ. химии, 12, 56, 1942.
5. О. С. Молчанова, Диссертация, Л., 1943.
6. Л. А. Качур, Диссертация, Л., 1946.
7. С. П. Жданов, Диссертация, Л., 1949.
8. О. С. Молчанова и М. В. Серебрякова, Труды ГОИ, 23, № 141, 1953.
9. Л. А. Пафимова, Труды ГОИ, вып. 145, 201, 1956.
10. О. С. Молчанова и Л. А. Пафимова, Труды ГОИ, 23, № 141, 13, 195.
11. Е. А. Порай-Кошиц, Изв. АН СССР, сер. физ., 15, 195, 1951.
12. Д. И. Левин, С. П. Жданов и Е. А. Порай-Кошиц, Изв. АН СССР ОХН, № 3, 287, 1956.
13. В. А. Флоринская, Труды ГОИ, 19, № 131, 1950.
14. В. А. Поспелов, Диссертация, Л., 1944.
15. N. W. Taylor, P. S. Dear, Journ. Amer. Ceram. Soc., 20, 296, 1937.
16. N. W. Taylor, Journ. Amer. Ceram. Soc., 21, 85, 1938.
17. Д. П. Добычин, Труды Совещания по строению стекла, Л., 1953, Изд-во АН СССР, 1955, стр. 176.
18. Д. П. Добычин и Н. Н. Киселева, ДАН, 113, 372, 1957.
19. О. М. Тодес, Диссертация, М., 1944; Проблемы кинетики и катализа 7, 13, 1949; Колл. журн., 15, 391, 1953.
20. Н. В. Белов, Труды Совещания по строению стекла Л., 1953, Изд-во АН СССР, 1955, 344.
21. Е. А. Порай-Кошиц, С. П. Жданов и Д. И. Левин, Изв. АН СССР ОХН, № 3, 395, 1955.
22. С. П. Жданов, Труды Совещания по строению стекла, Л., 1953, Изд-во АН СССР, 1955, стр. 162.
23. F. A. Schwartz, Journ. Amer. Ceram. Soc., 32, 390, 1949.

THE EFFECT OF THE THERMAL TREATMENT OF SODIUM BOROSILICATE GLASSES ON THE POROUS STRUCTURE OF THEIR RESULTANTS FROM ACID LEACHING

D. P. Dobychin and N. N. Kiseleva (Leningrad)

Summary

Thermal transitions in the anomalous sodium borosilicate glass Na-7/23 have been investigated at temperatures below the opalescence limit (730°) by adsorption studies of the porous glass structure. At least two processes have been shown to take place during the thermal treatment. The first and more rapid one is associated with a reorientation of the chemical bonds and insignificant shifts of the lattice (network) elements of the rotational type, whereas the second, slower one, with mass diffusion transport in the glasses.

A critical temperature (or narrow temperature region) has been revealed at about 585°C .

At all temperatures below 730° the opalescence of the glass increases with increasing duration of the heat treatment. No break was observed in the course of the growth of opalescence in the region of the critical temperature 585°C .

The temperature limit near 585°C is regarded as the temperature at which the silicic acid content in the sodium borate regions of the chemical heterogeneity becomes sufficient for the formation of a silica skeleton within these regions that does not disintegrate on leaching in the acid. Acid leaching of the Na-7/23 glass heat treated at temperatures between 590 and 730°C leads to the formation of a double skeleton structure, where large regions separated from each other by big walls are filled in the interior with a fine silica network.

The rate of the second (slow) process of continual pore radius growth of the porous glass, due to the thermal treatment of the original glass at temperatures below 585°C , follows the recondensation equation, i. e. the continual growth of large regions at the expense of the small ones.

ОПРЕДЕЛЕНИЕ ХИМИЧЕСКОГО СОСТАВА ТОНКОДИСПЕРСНЫХ ТВЕРДЫХ ФАЗ В МНОГОКОМПОНЕНТНЫХ СИСТЕМАХ ПО МЕТОДУ ИНДИФФЕРЕНТНОГО КОМПОНЕНТА

В. Ф. Бойко

Определение состава сложных соединений в тонкодисперсных многокомпонентных системах представляет весьма трудную задачу. Причинами затруднений, возникающих при исследовании тонкодисперсных фаз являются в первую очередь невозможность выделения их в чистом виде из системы без изменения состава; значительная сорбционная способность по отношению к другим компонентам системы; способность удерживать большие количества воды. Вследствие этого методы прямого химического анализа для большинства тонкодисперсных фаз оказываются неприменимыми.

Методы физико-химического анализа, позволяющие определить состав твердой фазы без выделения ее в чистом виде из системы, также во многих случаях не дают правильных результатов. Между тем преодоление указанных затруднений имело бы большое значение, например, при решении такого спорного в химии вопроса, каким является вопрос о составе многих основных солей слабых кислот (борной, цианистоводородной, сероводородной, фосфорной), надкислот, перекисей и др., а также при исследовании таких практически важных объектов, какими являются почва, цемент, каучук, целлюлоза, белки и т. п.

Обоснование метода индифферентного компонента. Поскольку изменение состояния тонкодисперсных фаз всегда отражается на измеримых свойствах системы, то, очевидно, диаграмма состав — свойство для исследования тонкодисперсных систем является недостаточной: для характеристики этих систем необходима диаграмма состав — состояние — свойство.

Следовательно, устранение препятствий для распространения методов физико-химического анализа на тонкодисперсные системы сводится к тому, чтобы найти способ внешнего выражения состояния тонкодисперсной фазы на данное время.

Определяющими факторами состояния тонкодисперсной фазы являются степень дисперсности и степень упорядоченности отдельных скоплений молекул. Трудность измерения этих величин препятствует непосредственному их использованию для характеристики состояния и построения необходимой диаграммы.

Изменение факторов, определяющих состояние тонкодисперсной фазы, неизбежно отразится на ее сорбционной способности. Из этого вытекает, что сорбционную способность можно использовать для характеристики состояния тонкодисперсной фазы.

Внешним выражением сорбционной способности может служить величина практической предельной адсорбции данного, известного компонента, достигнутая на поверхности раздела твердое тело — жидкость. Эта величина и может фигурировать на диаграмме состав — состояние — свойство.

П. Т. Данильченко [1, 2] использовал сорбционную способность твердой фазы для исследования тонкодисперсных бинарных систем «окисел — вода». Определяя содержание стехиометрически связанной воды в коллоидных гидратах окислов, П. Т. Данильченко показал, что задача может быть успешно решена введением в систему третьего компонента, адсорбирующегося твердой фазой.

П. Т. Данильченко и Г. Б. Фридман [3] произвели попытку распространить метод на более сложные системы. Однако, как показано нами ниже, распространение метода третьего компонента на более сложные системы встречает затруднения. При наличии жидкой фазы системы нескольких компонентов, способных адсорбироваться твердой фазой, положительная адсорбция одного из компонентов вызывает отрицательную адсорбцию других.

Поскольку адсорбция других компонентов остается (меняется только ее знак), введение в систему индифферентного компонента в этом случае не достигает цели. Тем не менее существует возможность обойти указанные затруднения.

Блокирование поверхности твердой фазы с успехом можно осуществить, если удалять из жидкой фазы все компоненты, кроме воды. Возникающая при введении в систему индифферентного компонента отрицательная адсорбция воды не препятствует ее количественному определению, поскольку содержание стехиометрически связанной воды не определяется в ходе анализа, а вычисляется по разности, вычитанием из 100 суммы процентного содержания всех остальных компонентов системы.

Таким образом в описанном ниже варианте метод применим только для исследования твердых фаз, практически не растворимых в воде. Это обстоятельство не очень значительно ограничивает применимость метода, поскольку в подавляющем большинстве случаев приходится иметь дело с тонкодисперсными фазами, обладающими незначительной растворимостью, которую практически можно не принимать во внимание.

Сущность метода индифферентного компонента. В систему, состоящую из трех и более компонентов, вводится еще один компонент известного состава — индифферентный компонент. Он не должен образовывать химических соединений или твердых растворов ни с одним компонентом системы, а может только сорбироваться твердой фазой.

Назначение индифферентного компонента состоит в том, чтобы снять с поверхности твердой фазы адсорбционный слой других компонентов системы, образовать на этой поверхности свой адсорбционный слой предельной концентрации и тем самым блокировать поверхность твердой фазы по отношению к другим компонентам системы. Для достижения полной блокады индифферентный компонент необходимо взять в таком количестве, чтобы дальнейшее увеличение его концентрации в жидкой фазе не изменяло бы величины адсорбции.

В качестве индифферентного компонента могут быть взяты различные вещества как электролиты, так и неэлектролиты.

Препарат, взятый для исследования, должен быть предварительно хорошо промыт раствором индифферентного компонента с целью вытеснения из адсорбционного слоя других компонентов системы и удаления этих компонентов из жидкой фазы. После промывания препарат делится на кусочки и помещается в приготовленные пробы растворов индифферентного компонента.

После установления сорбционного равновесия пробы подвергают анализу по методу Шрейнемакерса [4]. Для этого из каждой пробы берут навески одновременно жидкой фазы и остатка, т. е. твердой фазы вместе с приставшей к ней частью жидкой фазы. В навесках жидких фаз определяют процентное содержание индифферентного компонента, а в навесках остатков — содержание всех компонентов, кроме воды.

Содержание первого компонента — воды — вычисляют по разности, вычитая из 100 сумму процентного содержания всех найденных в системе компонентов. По данным анализа производят построение диаграммы состав — состояние — концентрация. Для четырехкомпонентных систем пространственная диаграмма будет представлять собой прямоугольный тетраэдр (рис. 1).

Построение диаграммы в системе прямоугольных координат более удобно, так как оно позволяет получать результат, непосредственно при нанесении данных анализа на миллиметровую бумагу.

На рис. 1 точка O соответствует 100% воды, точка X — 100% второго компонента, точка y — 100% индифферентного (третьего), а точка Z — 100% четвертого компонента. Точки C_1 и C_2 находятся на ребре тетраэдра Oy и выражают процентное содержание индифферентного компонента в жидкой фазе первой и второй пробы. Точки F_1 и F_2 выражают состав остатков и находятся внутри тетраэдра.

Через точки состава жидких фаз и остатков проводятся прямые состава остатков [4]. Если исследуемая твердая фаза представляет собой химическое соединение, состоящее из трех компонентов, и на его поверхности достигнута величина предельной адсорбции индифферентного компонента, то прямые состава остатков пересекутся в одной общей точке E_1 . Координаты точки E_1 , лежащей внутри тетраэдра, выражают состав соединения вместе с адсорбционным слоем индифферентного компонента. Ордината точки E_1 показывает величину практически предельной адсорбции индифферентного компонента.

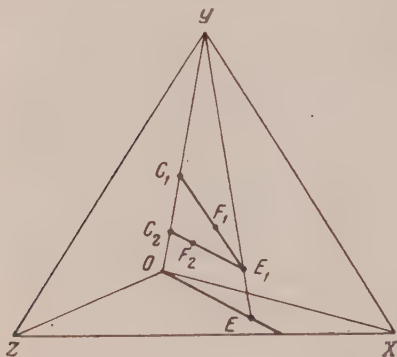


Рис. 1

Для того чтобы графическим способом найти состав исследуемой твердой фазы без адсорбционного слоя из точки y , отвечающей 100% индифферентного компонента, через точку E_1 проводят прямую до пересечения ее с гранью OXZ в точке E . Координаты точки $E(x, y, z)$ выражают истинный состав исследуемой тонкодисперсной фазы, и поверхности которой находится адсорбированный слой индифферентного компонента.

Обоснованность таких построений для определения координат точки E , отвечающей составу исследуемой твердой фазы, вытекает из графического способа метода третьего компонента [2]. Практически пользуются не пространственными изображениями, их проекциями на горизонтальную и вертикальную плоскости. Для построения такой диаграммы (рис. 2) на верхнюю ее часть — плоскость треугольника OXy — наносят точки, выражающие содержание индифферентного компонента в жидкой фазе (C_1 и C_2), и точки, выражающие содержание второго и индифферентного компонентов в остатке (F'_1 и F'_2). Через точки C_1, F'_1 , а также C_2, F'_2 проводят прямые состава остатков до пересечения их между собой в точке E_1 . Координаты точки E_1 показывают содержание второго компонента в исследуемой твердой фазе и содержание индифферентного компонента, т. е. величину практически предельной адсорбции.

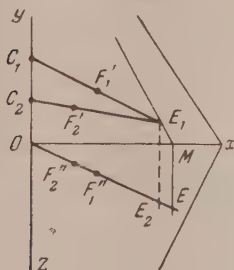


Рис. 2.

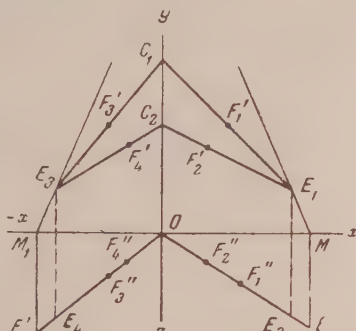


Рис. 3.

На нижнюю часть диаграммы, плоскость треугольника OXZ наносят точки, выражающие содержание второго и четвертого компонентов в остатке (F''_1 и F''_2). Содержание этих компонентов в жидкой фазе равно нулю, так как твердая фаза практически неадсорбируема в воде.

Точки F''_1 и F''_2 лежат на одной прямой, проведенной из начала координат (точки O). Из точки E_1 проводим прямую, параллельно оси ординат до пересечения ее с прямой, проведенной из точки O через точки F''_1 и F''_2 , в точке E_2 . Координаты точки E_2 показывают содержание второго и четвертого компонентов, входящих в состав твердой фазы.

Для нахождения истинного состава твердой фазы графическим способом из точки, отвечающей 100% индифферентного компонента, через точку E_1 проводят прямую до пересечения ее с осью абсцисс (OX) в точке M . Из точки M опускают перпендикуляр до пересечения его с прямой, проведенной из точки O через точки F''_1 и F''_2 в точке E . Нахождением координат точки E и решается задача определения состава тонкодисперсной твердой фазы в четырехкомпонентной системе.

В пятикомпонентных системах диаграмма дополняется горизонтальной осью $-XO$, проведенной влево от начала координат (точки O) рис. 3.

Точки, выражающие содержание индифферентного и пятого компонента F'_3 и F'_4 , откладываются в верхней левой части диаграммы, а точки, выражающие содержание четвертого и пятого компонентов F''_3 и F''_4 — в нижней ее части. Остальные построения производятся таким же путем, как и в правой части диаграммы.

При исследовании шести- и семикомпонентных систем построение диаграммы показано на рис. 4. В этом случае точки, выражающие содержание индифферентного и шестого (F'_5 и F'_6) индифферентного и седьмого компонентов (F''_5 и F''_6), наносятся соответственно в правой или в обеих нижних частях диаграммы, а содержание индифферентного компонента в жидкой фазе откладывается не только на ординате Oy , но и на аппликате ($-Oy$). Состав тонкодисперсной твердой фазы определяется: в четырехкомпонентных системах — положением одной точки (E), в пятикомпонентных — положением двух точек (E и E'), в шестикомпонентных — трех (E , E' и E'') и в семикомпонентных системах — положением четырех точек (E , E' , E'' и E'''). Кроме графического способа, состав исследуемой твердой фазы может быть также вычислен путем совместного решения системы уравнений пучка прямых, проходящих через две данные точки и пересекающихся в третьей общей точке в пространстве — в точке состава соединения:

Уравнение первой прямой

$$\frac{x}{x_2} = \frac{y - y_1}{y_2 - y_1} = \frac{z - z_1}{z_2 - z_1} = \dots = \frac{n - n_1}{n_2 - n_1}.$$

Уравнение второй прямой

$$\frac{x}{x'_2} = \frac{y - y'_1}{y'_2 - y'_1} = \frac{z - z'_1}{z'_2 - z'_1} = \dots = \frac{n - n'_1}{n'_2 - n'_1}$$

где x, y, z, \dots, n — процентное содержание второго, третьего, четвертого и т. д. компонентов, входящих в состав исследуемой твердой фазы; y_1 и y'_1, z_1 и z'_1, \dots, n_1 и n'_1 — процентное, содержание соответственно третьего, четвертого и т. д. компонентов в жидкой фазе первой и второй пробы; x_2 и x'_2, y_2 и y'_2, z_2 и z'_2, \dots, n_2 и n'_2 — процентное содержание второго, третьего, четвертого и т. д. компонентов в остатках обеих проб.

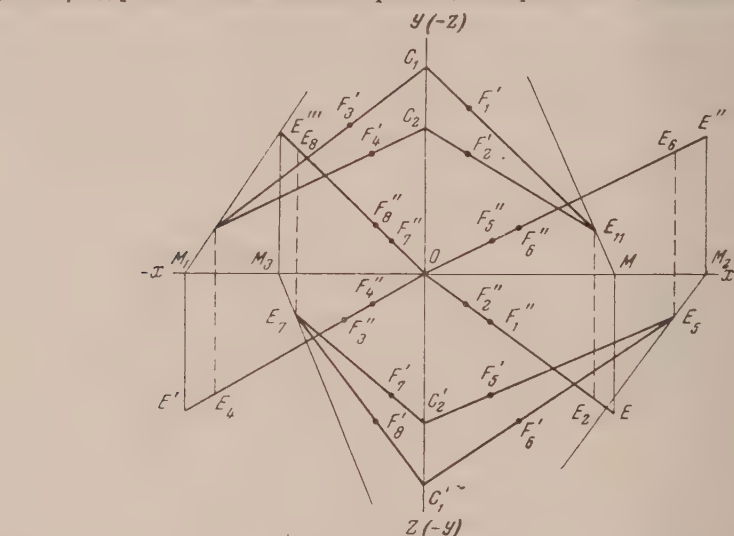


Рис. 4

фазе первой и второй пробы; x_2 и x'_2, y_2 и y'_2, z_2 и z'_2, \dots, n_2 и n'_2 — процентное содержание второго, третьего, четвертого и т. д. компонентов в остатках обеих проб.

Содержание первого компонента (H_2O) находится по разности:

$$H_2O\% = 100 - (x + y + z + \dots + n).$$

Второй способ определения состава твердой фазы дает более точные результаты, так как при этом исключаются ошибки графических построений, однако он требует довольно длительных вычислений и не обладает наглядностью.

Экспериментальная часть

В качестве объекта для проверки метода была взята гидроксид железа, полученная осаждением из 3% раствора 10% аммиаком при 20° С. Этот препарат представлял собой коллоидно-дисперсную твердую фазу, обладающую значительной сорбционной способностью. Мы взяли для исследования аморфную гидроксид железа еще потому, что на ней проверялся метод четвертого компонента в работе [3].

На приведенной ими диаграмме, построенной по данным анализа системы $Fe_2O_3 - H_2O - NaCl - CaCl_2$, показано, что четвертый (индифферентный) компонент, при введении его в систему, снимает с поверхности твердой фазы адсорбционный слой других компонентов, не вызывая при этом отрицательной адсорбции этих компонентов.

Этот вывод находится в противоречии с нашими данными. Однако он вызывает сомнение уже потому, что приведенная упомянутыми авторами диаграмма системы $Fe_2O_3 - H_2O - NaCl - CaCl_2$ не соответствует данным анализа [3]. Для уточнения этого вопроса и необходимо было воспроизведение опыта.

Полученный указанным выше путем осадок гидроксид железа промывался водой до удаления ионов хлора и затем исследовался по методу третьего компонента [1, 2]. В качестве третьего компонента был взят хлористый натрий.

Данные исследования приведены в табл. 1.

По данным анализа построена диаграмма (рис. 5), где по вертикальной оси откладывалось содержание третьего компонента $NaCl$, а по горизонтальной

Таблица 1
Данные анализа системы $\text{Fe}_2\text{O}_3\text{—H}_2\text{O—NaCl}$

Жидкая фаза NaCl , %	Остаток		
	NaCl , %	Fe_2O_3 , %	
20,36	11,87	38,83	Величина практически предельной адсорбции 0,88%
15,41	9,20	38,07	
10,18	6,08	39,24	
5,24	3,41	37,46	

ментальной — содержание Fe_2O_3 в процентах. По диаграмме прямые состава остатков пересекаются в одной точке (E_1), лежащей на прямой состава гидрата $\text{Fe}_2\text{O}_3\cdot\text{H}_2\text{O}$. Вычисленное по формулам [1] содержание Fe_2O_3 и H_2O также подтверждает, что состав исследуемой твердой фазы соответствует формуле $\text{Fe}_2\text{O}_3\cdot\text{H}_2\text{O}$ или FeOON . Найдено: Fe_2O_3 — 89,9% и H_2O — 10,1%. Величина предельной адсорбции NaCl равна 0,88%.

Такие же данные о составе осажденной гидроокиси железа получены другими авторами [5, 6].

Система $\text{Fe}_2\text{O}_3\text{—H}_2\text{O—NaCl—CaCl}_2$. Препарат осажденной гидроокиси железа после установления его состава помещался в растворы NaCl различных концентраций. Через две недели в эти пробы добавлялся концентрированный раствор CaCl_2 с целью вытеснения хлористым кальцием хлористого натрия из адсорбционного слоя. Раствор хлористого кальция добавлялся по расчету, в каждую пробу разное количество. Пробы выдерживались на протяжении двух месяцев для установления сорбционного равновесия, после чего подвергались анализу. Для анализа из каждой пробы одновременно брались навески жидкой фазы и остатка. В навесках жидких фаз определялось процентное содержание кальция и хлора, в навесках остатков — содержание железа, кальция и хлора. Железо и хлор определялись весовыми методами. Кальций — перманганометрически.

Найденное содержание хлора рассчитывалось на эквивалентное количество кальция, а избыток его пересчитывался на хлорид натрия. Железо рассчитывалось на Fe_2O_3 . В определении содержания железа в жидкой фазе не было необходимости, так как ранее было установлено, что растворимость FeOON в воде столь незначительна, что ее в данном случае можно не принимать во внимание.

Данные анализа приведены в табл. 2.

Таблица 2

Данные анализа системы $\text{Fe}_2\text{O}_3\text{—H}_2\text{O—NaCl—CaCl}_2$

Жидкая фаза		Остаток		
NaCl , %	CaCl_2 , %	NaCl , %	CaCl_2 , %	Fe_2O_3 , %
2,74	4,27	1,41	3,62	33,06
5,62	8,86	2,90	6,97	32,78
6,59	10,41	3,60	7,99	31,90
7,42	11,76	4,11	8,81	32,25
8,39	13,23	4,94	9,92	30,78

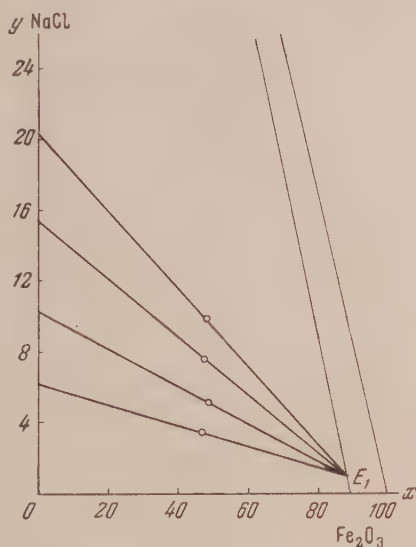


Рис. 5

По данным анализа построена диаграмма (рис. 5)

На верхнюю часть диаграммы, плоскость oxz нанесены точки, выражающие содержание Fe_2O_3 и $CaCl_2$ в жидких фазах и в остатках. На нижнюю часть — плоскость oxy нанесены точки, соответствующие содержанию Fe_2O_3 и $NaCl$ в жидкой фазе и в остатке каждой пробы. Через точки состава жидких фаз и остатков проведены прямые состава остатков. Эти прямые пересекаются в одной точке как в верхней части диаграммы (E_1), так и в нижней ее части (E_2).

Обсуждение результатов

Диаграмма, изображенная на рис. 6, показывает, что в системе Fe_2O_3 — H_2O — $NaCl$ — $CaCl_2$ хлористый кальций полностью вытесняет хлорид натрия из адсорбционного слоя и создает на поверхности твердой фазы

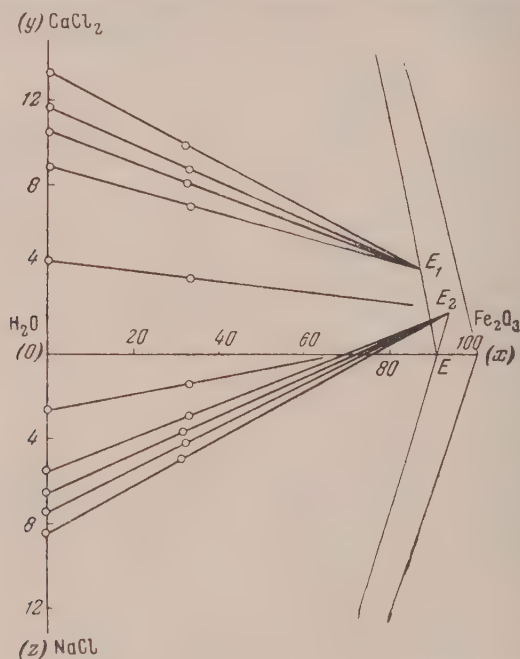


Рис. 6

свой адсорбционный слой предельной концентрации. Величина практически предельной адсорбции $CaCl_2$ (ордината y) равна 3,9%. Исключение составляет проба 1, где вследствие малой концентрации хлористого кальция в жидкой фазе величина предельной адсорбции не достигается.

Общая точка пересечения прямых состава остатков в нижней части диаграммы находится за пределами треугольника oxz , что свидетельствует о наличии отрицательной адсорбции у хлористого натрия. Величина этой адсорбции равна — 2,01%. При исследовании тройной системы Fe_2O_3 — H_2O — $NaCl$ с этой же твердой фазой хлористый натрий, как показывает диаграмма (рис. 5), адсорбировался положительно: величина его адсорбции составляла 0,88%. Очевидно, что отрицательная адсорбция хлористого натрия возникла в результате вытеснения его из адсорбционного слоя хлористым кальцием.

Из этого вытекает, что если бы в исследуемой системе хлористый натрий входил стехиометрически в состав твердой фазы, то при определении его

содержания мы допустили бы ошибку, так как не смогли бы учесть величины его отрицательной адсорбции.

Следовательно, поскольку нам приходится брать для анализа твердую фазу в виде остатка, т. е. вместе с частью равновесного раствора, то при наличии в жидкой фазе других компонентов системы, кроме индифферентного и воды, мы получим неправильные данные анализа о содержании этих компонентов в твердой фазе. Построенная по этим данным плоскостная диаграмма не будет представлять собой проекций пространственного изображения исследуемой системы. Ошибочность выводов П. Т. Данильченко и Г. Б. Фридмана [3] и состоит в том, что эти выводы основаны на диаграмме, которая в действительности не была получена при исследовании системы $\text{Fe}_2\text{O}_3\text{—H}_2\text{O—NaCl—CaCl}_2$.

Представленную на рис. 6 фигуру можно рассматривать как две самостоятельные диаграммы трех компонентных систем: $\text{Fe}_2\text{O}_3\text{—H}_2\text{O—CaCl}_2$ — верхний треугольник и $\text{Fe}_2\text{O}_3\text{—H}_2\text{O—NaCl}$ — нижний треугольник. Эти два треугольника имеют общий катет — ox .

В системе $\text{Fe}_2\text{O}_3\text{—H}_2\text{O—CaCl}_2$ твердой фазой является соединение, состоящее из двух компонентов (Fe_2O_3 и H_2O), положительно адсорбирующее третий компонент CaCl_2 .

В системе $\text{Fe}_2\text{O}_3\text{—H}_2\text{O—NaCl}$ твердой фазой является это же соединение, но адсорбирующее отрицательно третий компонент NaCl .

Для нахождения состава соединения по методу третьего компонента [1, 2], как в одной системе, так и в другой, из точки, отвечающей 100% третьего компонента (CaCl_2 и NaCl), через точки пересечения прямых состава остатков (E_1 и E_2) проводим прямые до пересечения их с противоположной стороной треугольника (катетом ox). Положение точки пересечения E будет выражать истинный состав соединения $\text{Fe}_2\text{O}_3\text{—H}_2\text{O}$.

На рис. 6 видно, что точка E является точкой пересечения прямых, проведенных из вершин треугольника, отвечающих 100% третьего компонента противоположащим катетом ox — для обеих систем $\text{Fe}_2\text{O}_3\text{—H}_2\text{O—CaCl}_2$ и $\text{Fe}_2\text{O}_3\text{—H}_2\text{O—NaCl}$.

Вычисленный по формулам [1] состав исследуемой твердой фазы подтверждает результат, полученный графически. В системе $\text{Fe}_2\text{O}_3\text{—H}_2\text{O—CaCl}_2$ найдено: содержание Fe_2O_3 — 89,75%; H_2O — 10,25%. В системе $\text{Fe}_2\text{O}_3\text{—H}_2\text{O—NaCl}$ содержание Fe_2O_3 — 89,6% и содержание H_2O — 10,31%. Этот состав отвечает формуле соединения $\text{Fe}_2\text{O}_3\cdot\text{H}_2\text{O}$, т. е. твердой фазой в системе является моногидрат окиси железа.

Таким образом, результаты исследования системы $\text{Fe}_2\text{O}_3\text{—H}_2\text{O—NaCl—CaCl}_2$ подтверждают указанные выше положения и свидетельствуют о том, что метод индифферентного компонента успешно может быть применен при определении состава тонкодисперсных твердых фаз в многокомпонентных системах.

Применение метода для исследования четырех компонентных систем нами показано на примерах определения состава оксихлоридов железа цинка [7, 8].

Выводы

1. Задача определения химического состава сложных соединений в тонкодисперсных многокомпонентных системах может быть успешно решена введением в систему индифферентного компонента, адсорбирующегося исследуемой тонкодисперсной фазой.
2. Показан способ построения диаграмм состав — состояние — свойство для четырех-, пяти-, шести- и семикомпонентных систем.
3. На примере исследования системы $\text{Fe}_2\text{O}_3\text{—H}_2\text{O—NaCl—CaCl}_2$ твердой фазой — моногидратом окиси железа ($\text{Fe}_2\text{O}_3\text{—H}_2\text{O}$) показано, что при наличии в системе нескольких компонентов, способных адсорбироваться твердой фазой, положительная адсорбция одного из них вызывает отрицательную адсорбцию других компонентов.

4. Метод индифферентного компонента открывает возможности для определения состава коллоидно-дисперсных фаз и может быть успешно применен в тех случаях, когда другие методы анализа не дают положительных результатов.

К преимуществам метода следует отнести также то, что его применение не требует специального оборудования и дорогостоящих реактивов.

Кубанский сельскохозяйственный
институт
Краснодар

Поступила
31.VII.1956

ЛИТЕРАТУРА

1. П. Т. Данильченко, Журн. аналит. химии, 2, 300, 1947.
2. П. Т. Данильченко, Изв. Крымск. пед. ин-та, 12, 5, 1947.
3. П. Т. Данильченко и Г. Б. Фридман, Колл. журн., 10, 7, 1948.
4. F. Schreinemakers, Zs. phys. Chem., 59, 641, 1907.
5. П. Т. Данильченко и М. И. Булыгина, Изв. Крымск. пед. ин-та, 13, 73, 1948.
6. П. С. Мелешко, Изв. Крымск. пед. ин-та, 13, 113, 1948.
7. В. Ф. Бойко, Журн. общ. химии, 25, 1250, 1955.
8. В. Ф. Бойко, Журн. неорг. химии, 2, 422, 1957.

DETERMINATION OF THE CHEMICAL COMPOSITION OF FINELY DISPERSED SOLID PHASES IN MULTICOMPONENT SYSTEMS BY THE INDIFFERENT COMPONENT METHOD

V. F. Boiko (Krasnodar)

Summary

The problem of determining the chemical composition of complex compounds in finely dispersed multicomponent systems may be successfully solved by the addition to the system of an indifferent component that is adsorbed by the finely dispersed phase being investigated.

A method of plotting composition-aggregate state-property diagrams for four, five and seven component systems has been demonstrated.

It has been shown with the system $\text{Fe}_2\text{O}_3\text{—H}_2\text{O—NaCl—CaCl}_2$ as example, the solid phase being iron oxide monohydrate ($\text{Fe}_2\text{O}_3\cdot\text{H}_2\text{O}$), that in the presence of several components in the system capable of adsorption on the solid phase the positive adsorption of one of them causes the negative adsorption of the others.

The indifferent component method opens up the possibility of determining the composition of colloidal dispersed phases and may be successfully employed in cases where other methods of analysis do not yield positive results.

Another advantage of the method is that it does not require special equipment nor expensive reagents.

АДСОРБЦИЯ ИЗ РАСТВОРОВ АЛКИЛАРОМАТИЧЕСКИХ
УГЛЕВОДОРОДОВ НА ПРОМЫШЛЕННЫХ КАТАЛИЗАТОРАХ. I*И. В. Смирнова, К. В. Топчиева и Л. П. Милькова*

Для установления механизма превращений индивидуальных алкилароматических углеводородов на гетерогенных катализаторах практической необходимостью является выяснение элементарного каталитического акта. Поэтому, в таких процессах наряду с кинетическими исследованиями важным моментом становится изучение адсорбции исходных веществ и продуктов реакции в условиях, близких к каталитическим [1, 2]. Установление адсорбционных закономерностей алкилароматических углеводородов имеет существенное значение также для их хроматографического разделения.

Нашей лабораторией проводится серия работ по адсорбции из растворов на промышленных катализаторах ряда алкилароматических углеводородов. Для некоторых из них (изопропилбензол, аллилбензол) уже исследовались каталитические превращения [3—5], как в паровой, так и в жидкой фазах, и предложен механизм процесса. Другие алкилароматические углеводороды, имеющие неопределенную связь в боковой цепи (пропенилбензол, изопропенилбензол), изучены нами для выяснения связи их адсорбируемости с каталитической активностью, поскольку они входят как промежуточные продукты в предлагаемые схемы каталитических превращений [5]. Адсорбция перечисленных углеводородов сравнивается нами с адсорбцией пропиленбензола, имеющего подобное строение и то же число углеродных атомов в молекуле.

В этой статье мы рассмотрим вопрос о влиянии на адсорбцию из растворов двойной сопряженной связи в боковой цепи ароматического кольца на примере изопропилбензола и изопропенилбензола, адсорбирующихся на промышленных катализаторах.

В литературе нет работ по адсорбции на промышленных катализаторах ароматических углеводородов, содержащих двойную связь в боковой цепи. Данные же по хроматографическому разделению подобных углеводородов не могут быть использованы для трактовки взаимодействия адсорбированных молекул с адсорбентом, ибо в них отсутствуют структурные характеристики наполнителей колонок.

Известно, что повышенная реакционная способность неопределенной связи проявляется и при адсорбции. Многочисленными работами [6—11] установлена последовательность избирательной адсорбции на силикагелях различных классов углеводородов: ароматические > олефины > нафтенy > парафины.

В этом ряду олефины расположены после ароматических углеводородов, опережая по адсорбируемости нафтенy и парафины. Однако если на силикагелях бензол адсорбируется сильнее циклогексена [9, 11], то переход к алюмосиликатным катализаторам, как показала К. В. Топчиева [12], меняет адсорбционную картину. При адсорбции паров циклогексена на алюмосиликатных катализаторах разного состава обнаружена более плотная упаковка молекул циклогексена в монослое по сравнению с бензолом и жидкими циклогексеном при той же температуре, объясненная автором различной ориентацией молекул бензола и циклогексена. В то время как молекулы бензола в этих условиях адсорбированы плоско, молекулы циклогексена ориентируются двойной связью к поверхности катализатора. На основании этого и необратимости изотерм адсорбции паров циклогексена автором высказано предположение о хемосорбции последнего на исследованных катализаторах, представляющее несомненный интерес для катализа. Таким образом появление одной двойной связи в молекуле углеводорода, адсорбирующегося на катализаторах, вносит свои особенности в адсорбционный процесс.

Нами исследовано влияние неопределенной связи в боковой цепи ароматического кольца на примере адсорбции из растворов изопропилбензола и изопропенилбензола.

Изопропилбензол (кумол) квалификации «чистый», тщательно высушенный, разгонялся на ректификационной колонке, эффективностью 70 теоретических тарелок. Изопропенилбензол (α -метилстирол) был получен по методике, разработанной в нашей лаборатории [5]. Растворителями были выбраны *n*-гептан и четыреххлористый углерод. Эталонный *n*-гептан после перегонки над металлическим натрием разгонялся на колонке в 70 теоретических тарелок и хранился над прокаленным силикагелем. Очищенный от CS_2 четыреххлористый углерод после высушивания был подвергнут перегонке. Константы полученных углеводородов и растворителей приводятся в табл. 1.

Таблица 1

Вещество	Т, кип. при 760 мм рт. ст. °C		d_4^{20}		n_D^{20}	
	Опыт	Лит.	Опыт	Лит.	Опыт	Лит.
Изопропилбензол	152,4—152,5	152,39 [13]	0,8614	0,8618 [13]	1,4914	1,4915 [13]
Изопропенилбензол	52 при 6 мм рт. ст.	60—61 [14] при 17 мм рт. ст.	0,9109	0,9085 [14] 21° C	1,5378	1,533 [14] 21° C
<i>n</i> -Гептан	98,5	98,43 [13]	0,6837	0,6837 [13]	1,3879	1,3877 [13]
Четыреххлористый углерод	76,3	76,71 [15]	1,5930	1,5924 [16]	1,4604	1,4604 [15]

В качестве адсорбентов нами использовались промышленные катализаторы: алюмосиликатный типа Гудри и черенковая окись алюминия, прокаленные при 500° C.

Удельные поверхности катализаторов, вычисленные по БЭТ [17], даны в табл. 2. Катализатор взвешивался в стеклянных ампулах, куда затем калиброванной пипеткой наливался раствор известной концентрации. Запаянные ампулки встряхивались в термостате при температуре опыта до достижения адсорбционного равновесия. Измерение адсорбции производилось при 20° C интерферометрически по изменению концентрации между исходным и равновесным растворами. Для выбранной кюветы точность составляла 2 ммоль/л.

Изученные нами системы являются неограниченно смешивающимися жидкостями. Ввиду большой разницы в показателях преломления исследуемых углеводородов и растворителей

Таблица 2

Катализатор	S м ² /г		
	Адсорбируемое вещество		
	Азот	Метиловый спирт	Бензол
Гудри	240 [18]	—	240*
Черенковая окись алюминия	293 **	250	—

* Эта величина пересчитана нами из работы [19], принимая по позднейшим данным φ_0 бензола за 40 Å² [20, 21], вместо 32,6 Å².

** Изотерма снята К. Г. Красильниковым.

для измерения всего интервала концентраций от $c = 0$ до $c_s = 1/V_m$ [22], где V_m — молярный объем углеводорода, при помощи приготовленных стандартных растворов приходилось строить для каждой пары углеводород — растворитель по несколько калибровочных кривых.

Было получено три серии калибровочных кривых: для системы

изопропилбензол — четыреххлористый углерод в интервале концентраций от 0 до $c_s = 7167$ ммоль/л — 5 кривых; для системы

изопропилбензол — *n*-гептан в интервале концентраций от 0 до 6800 ммоль/л — 11 калибровочных кривых; система

изопропенилбензол — *n*-гептан $c_s 1/V_m = 7708$ ммоль/л исследовалась в области концентраций от 0 до 2550 ммоль/л, для этого

интервала было построено 5 калибровочных кривых.

На рис. 1 приведены изотермы адсорбции изопропилбензола из четыреххлористого углерода и *n*-гептана на катализаторе Гудри. Изотермы 1 и 2

представляют собою адсорбцию, как избыток адсорбируемого вещества x объема поверхностного слоя. Для неограниченно смешивающихся жидкостей [23] полное содержание адсорбированного из раствора вещества

$$a = x + V_a c,$$

где V_a — адсорбционный объем, c — объемная концентрация, a — предельное значение изотермой 3, рассчитанной из изотермы 2.

Из рис. 1 видно, что изотермы имеют нормальный вид для неограниченно растворимых жидкостей, т. е. достигают максимума при заполнении слоя, а затем линейно падают, доходя до концентрации исследуемого

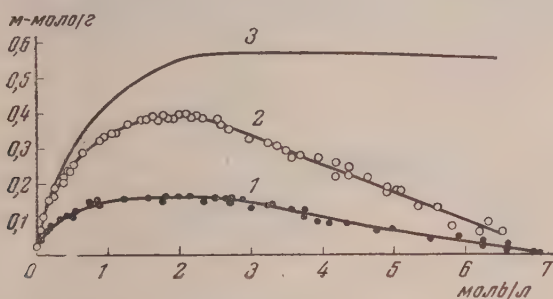


Рис. 1. Изотермы адсорбции изопропилбензола на катализаторе Гудри при 20° С: 1 — из растворов в CCl_4 ; 2 — из растворов в n -гептане; 3 — полное содержание адсорбированного из n -гептана изопропилбензола

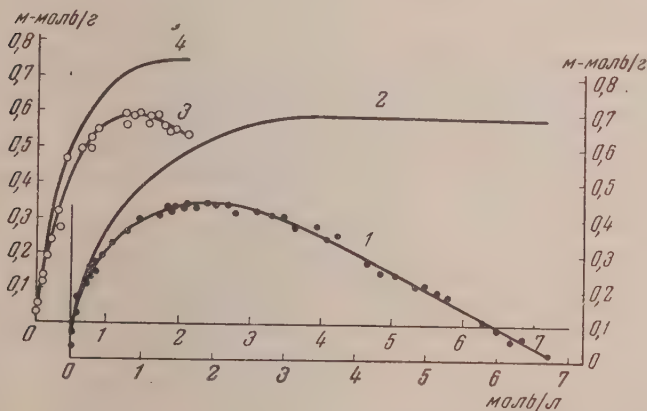


Рис. 2. Изотермы адсорбции изопропилбензола при 20° С: 1 — опытные данные; 2 — полное содержание и изопропенилбензола; 3 — опытные данные; 4 — полное содержание из растворов в n -гептане, на окиси алюминия

углеводорода, близкой $c_s = 1/V_m$. Максимальная адсорбция на катализаторе Гудри в случае обоих растворителей (изотермы 1 и 2) наблюдалась в одном и том же интервале концентраций — около 2000 ммоль/л. Однако если при адсорбции изопропилбензола из растворов в четыреххлористом углероде величина ее составляла 0,16 ммоль/г, то при адсорбции из растворов в n -гептане максимальная адсорбция возросла в 2,5 раза и составила 0,9 ммоль/г. На окиси алюминия адсорбция изопропилбензола из растворов в n -гептане (рис. 2, кривая 1) была в 4 раза больше, чем из четыреххлористого углерода. Следовательно, использованные растворители по-разному влияли на избирательную адсорбцию изопропилбензола на промышленных катализаторах. Изопропилбензол как представитель ароматических

углеводородов, имел гораздо большую адсорбционную способность, чем парафиновый углеводород *n*-гептан. Поэтому *n*-гептан не оказывал значительного влияния на адсорбцию изопропилбензола. Конкурирующая с изопропилбензолом адсорбируемость четыреххлористого углерода объясняется, по-видимому, химическими свойствами поверхности исследованных катализаторов, обладающей большим адсорбционным потенциалом к СС [24]. Поэтому для дальнейшей работы в качестве растворителя был выбран *n*-гептан.

На основании величины удельной поверхности катализатора Гудри (табл. 2) была вычислена абсолютная изотерма адсорбции изопропилбензола, изображенная на рис. 3 (кривая 1), и молекулярная константа ω_0 — площадка, занимаемая молекулой изопропилбензола в плотном монослое

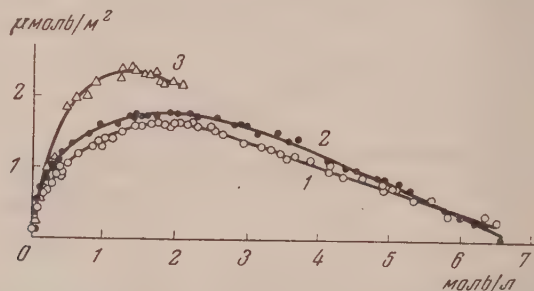


Рис. 3. Абсолютные изотермы адсорбции изопропилбензола при 20° С: 1 — на катализаторе Гудри; 2 — на окиси алюминия и 3 — изопропенилбензола на окиси алюминия из растворов в *n*-гептане

Она оказалась равной 70 Å² (табл. 3). По наклону линейных ветвей адсорбционных изотерм были вычислены толщина $\tau = -\partial\Gamma/\partial c$ и объем адсорбционного слоя $V_a = -\partial x/\partial c$ [23, 25]. Величина $\tau = 3,4$ Å близка к теоретически вычисленной толщине бензольного кольца, равной 3,7 Å [26]. Следовательно, молекулы изопропилбензола ориентированы плоскостью параллельно поверхности катализатора.

Представленная на рис. 2 опытная изотерма адсорбции изопропилбензола из растворов в *n*-гептане на окиси алюминия и величина удельной поверхности этого катализатора, определенная по метиловому спирту (табл. 2) дали возможность рассчитать для этой системы абсолютную изотерму (рис. 3, кривая 2) и значения ω_0 , τ и V_a , которые приведены в табл. 3.

Таблица 3

Исследуемая система	τ , Å	ω_0 , Å ²	V_a , см ³ /г	$a_{\text{макс}}$, ммоль/г	$\Gamma_{\text{макс}}$, ммоль/м ²
Изопропилбензол — <i>n</i> -гептан на катализаторе Гудри	3,4	70	0,08	0,57	1,60
Изопропилбензол — <i>n</i> -гептан на окиси алюминия	3,9	60	0,10	0,69	1,75
Изопропенилбензол — <i>n</i> -гептан на окиси алюминия	3,8	56	0,10	0,74	2,37

Изотермы изопропенилбензола снимались только на окиси алюминия (кривые 3 на рис. 2 и 3), поскольку было обнаружено, что на катализаторе Гудри при 20°С происходила полимеризация изопропенилбензола с образованием смеси полимеров*. Интересно отметить, что ранее наблюдались

* Подробно образование полимеров описано в работе [5]. Инфракрасные спектры были сняты Е. Г. Трещовой.

полимеризация олефинов на силикагеле [10] при комнатной температуре. Молекулярные константы изопропенилбензола приведены в табл. 3.

Анализ данных табл. 3 показывает, что толщина монослоя адсорбированных на окиси алюминия изопропилбензола и изопропенилбензола близка к толщине бензольного кольца.

Очевидно, молекулы обоих углеводородов расположены одинаково, т.е. параллельно поверхности окиси алюминия. Таким образом появление двойной сопряженной связи в боковой цепи ароматического кольца в изученных условиях не влияет на ориентацию молекул алкилароматического углеводорода в плотном монослое.

На рис. 4 сопоставлены абсолютные адсорбционные изотермы изопропилбензола и изопропенилбензола на окиси алюминия, причем для сравнения по оси абсцисс отложена относительная концентрация c/c_s . Из сравнения

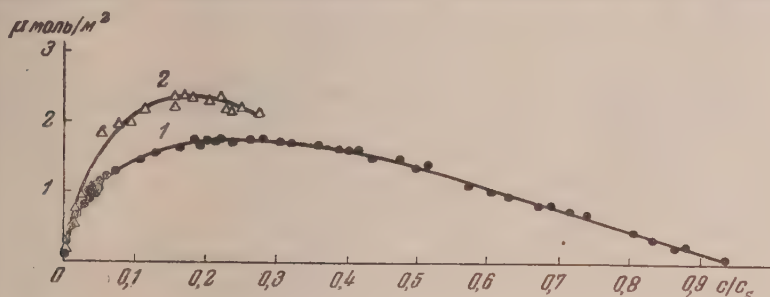


Рис. 4. Абсолютные изотермы адсорбции при 20° С: 1 — изопропилбензола и 2 — изопропенилбензола из растворов в *n*-гептане на окиси алюминия

по термам видно, что адсорбция изопропенилбензола на окиси алюминия значительно больше, чем адсорбция изопропилбензола. Для изопропенилбензола максимум адсорбции смещен в сторону меньших концентраций $c/c_s = 0,275$ до $c/c_s = 0,175$. Согласно теории молекулярной адсорбции [7, 28] концентрация преимущественно адсорбирующегося компонента, соответствующая максимальной адсорбции

$$c_x = x_{\text{макс}} = [(e^{-\Delta/2kT} + 1) V_m]^{-1},$$

где V_m — молярный объем преимущественно адсорбирующегося вещества; Δ — адсорбционный потенциал; k — константа Больцмана; T — абсолютная температура.

Поскольку молярный объем изопропенилбензола ($V_m = 129,7 \text{ см}^3/\text{моль}$) меньше, чем молярный объем изопропилбензола ($V_m = 139,5 \text{ см}^3/\text{моль}$) при 20° С, то смещение максимума изотермы адсорбции в сторону меньших концентраций при переходе от изопропилбензола к изопропенилбензолу не может быть объяснено изменением V_m . Очевидно, такое смещение могло произойти только в результате изменения адсорбционного потенциала. Следовательно, сдвиг максимума адсорбционной изотермы изопропенилбензола в сторону меньших концентраций указывает на увеличение адсорбционного потенциала молекулы изопропенилбензола за счет двойной сопряженной связи. Об этом также свидетельствует изменение молекулярной константы от $\omega_0 = 60 \text{ Å}^2$ для изопропилбензола до $\omega_0 = 56 \text{ Å}^2$ для изопропенилбензола.

Выводы

1. Исследована адсорбция изопропилбензола из растворов в *n*-гептане и четыреххлористом углероде и изопропенилбензола из растворов в *n*-гептане на промышленных катализаторах Гудри и черенковой окиси алюминия при 20° С. Изотермы адсорбции проходят через максимум и пересекают

ось концентраций в точке, близкой к $c_s = 1/V_m$. Вплоть до концентраций соответствующих максимуму, адсорбция остается мономолекулярной.

2. Показано, что избирательная адсорбция изопропилбензола из смесей с *n*-гептаном значительно выше, чем из смесей с четыреххлористым углеродом.

3. Установлено, что молекулы исследованных алкилароматических углеводородов при адсорбции из растворов в *n*-гептане ориентированы плоскостью бензольного кольца параллельно поверхности катализатора.

4. Появление двойной сопряженной связи в боковой цепи ароматического кольца при переходе от изопропилбензола к изопропенилбензолу значительно увеличивает адсорбционный потенциал.

Московский государственный
университет им. М. В. Ломоносова

Поступила
3.VIII.1956

ЛИТЕРАТУРА

1. К. В. Топчиева, К. Юн-Пин и И. В. Смирнова. Поверхностные химические соединения и их роль в явлениях адсорбции, Изд-во МГУ, 1955, стр. 22.
2. И. В. Смирнова, К. В. Топчиева и В. С. Юнгман, Журн. физ. химии, **31**, 1337, 1957.
3. C. L. Thomas, J. Hoekstra, a. J. T. Pinkston, Journ. Amer. Chem. Soc., **66**, 1694, 1944.
4. А. П. Баллод и К. В. Топчиева, Усп. химии, **20**, 161, 1951.
5. А. И. Плетюшкина, Диссертация, МГУ, 1956.
6. Б. А. Тарасов, Азерб. нефт. хоз-во, **1**, 47, 1926.
7. B. J. Maig, A. F. Forziati, Journ. Res. Nat. Bur. Stand., **32**, 151, 1944.
8. B. J. Maig, A. L. Gaboriault a. F. D. Rossini, Ind. Eng. Chem., **39**, 1072, 1947.
9. G. Spengler, K. Krenkler, Erdöl und Kohle, **3**, 120, 1950.
10. D. F. Fink, R. W. Lewis a. F. T. Weiss, Anal. Chem., **22**, 850, 1950.
11. Е. А. Михайлова и Б. А. Казанский, Исследования в области хроматографии, Изд-во АН СССР, 1952, стр. 155.
12. К. В. Топчиева, Журн. физ. химии, **27**, 411, 1953.
13. Р. Д. Оболенцев, Физические константы углеводородов, жидких топлив и масел, 1953.
14. M. Tiffeneau, Ann. Ch., **10**, 157, 1907.
15. H. G. Grimm, Phys. Chem. [A], **140**, 326, 1929.
16. H. Grunert, Zs. anorg. Chem., **164**, 257, 1927.
17. С. Брунауер, Адсорбция газов и паров, **1**, ИИЛ, М., 1948, стр. 213.
18. В. П. Древинг, А. В. Киселев и О. А. Лихачева, ДАН, **82**, 277, 1952.
19. А. В. Топчиев и А. П. Баллод, ДАН, **90**, 1051, 1953.
20. А. П. Карнаузов, А. В. Киселев и Е. В. Храпова, ДАН, **92**, 361, 1953.
21. А. В. Киселев и Ю. А. Эльтеков, ДАН, **100**, 107, 1955.
22. В. К. Семенченко, Изв. Сектора физ.-хим. анализа АН СССР, **21**, 14, 1950.
23. А. В. Киселев и К. Д. Щербакова, Acta Phys. chim. URSS, **21**, 539, 1946.
24. М. М. Сенявин, Усп. химии, **18**, 183, 1949.
25. А. В. Киселев, ДАН, **61**, 657, 1948.
26. Л. Полинг, Природа химической связи, 1947, стр. 189.
27. В. К. Семенченко, Колл. журн., **9**, 125, 1947.
28. О. М. Джигит, А. В. Киселев, М. Г. Терехова и К. Д. Щербакова, Журн. физ. химии, **22**, 107, 1948.

THE ADSORPTION OF ALKYLAROMATIC HYDROCARBONS FROM SOLUTION BY INDUSTRIAL CATALYSTS

I. V. Smirnova, K. V. Topchieva and L. P. Mil'kova (Moscow)

Summary

A study has been made of the adsorption of isopropylbenzene and isopropenylbenzene from *n*-heptane solutions by the industrial Houdry and aluminum oxide catalysts at 20° C.

In the presence of a conjugate double bond in the side chain the adsorption potential grows considerably and the molecular constant w_0 changes from 60 Å for isopropylbenzene to 56 Å for isopropenylbenzene although the molecular orientation with the plane of the benzene ring parallel to the surface is preserved.

АДСОРБЦИЯ ПАРОВ МЕТАНОЛА НА ГИДРАТИРОВАННОЙ
ПОВЕРХНОСТИ СИЛИКАГЕЛЕЙ И КВАРЦЕ**Л. Н. Соболева** и **А. В. Киселев**

Близость строения молекул метанола и воды позволяет ожидать много общего в адсорбционных свойствах этих веществ. Поскольку это проявляется даже при адсорбции на графитированной саже [1], когда основную роль играют дисперсионные взаимодействия, то в случае адсорбции на поверхности кремнекислоты, когда основную роль играют взаимодействия кулоновского и донорно-акцепторного типа [2], это сходство должно проявляться в еще большей степени. В связи с этим мы должны ожидать, как и для адсорбции воды, большей чувствительности адсорбции метанола к степени покрытия поверхности кремнезема гидроксильными, а для максимально гидратированной поверхности — стехиометрического соответствия величин емкости монослоя метанола и воды.

Благодаря малой роли дисперсионных взаимодействий, адсорбция паров метанола на гидратированной поверхности силикагелей должна быть особенно чувствительна к сужению пор силикагеля, хотя и в несколько большей степени, чем адсорбция паров воды [3], в силу значительно большего молекулярного объема метанола. В отдельных работах нашей лаборатории получены результаты, подтверждающие эти предположения. Так, площади, занимаемые при адсорбции из паров в завершеном монослое молекулами воды [3] и метанола [4], близки. Так как собственные площади этих молекул различаются почти вдвое, то этот факт указывает на близость механизма адсорбции обеих молекул на гидратированной поверхности кремнезема. Далее Л. Н. Соболевой [5] было показано, что дегидратация силикагеля резко снижает адсорбцию паров метанола в мономолекулярной области. К такому же результату приводят опыты С. П. Жданова [6]. Наконец, в работах по определению абсолютных изотерм и дифференциальных теплот адсорбции паров метанола на кварце и силикагелях [4, 7—9] было показано, что сужение пор до 30 Å практически не изменяет величин адсорбции и теплот адсорбции в мономолекулярной области*. Мы ожидали [1], однако, что при дальнейшем сужении пор дисперсионные взаимодействия молекулы метанола, особенно группы CH_3 , с соседними частицами, образующими крупнопористый скелет силикагеля [10—13], приведут к искажению изотермы, к отклонению ее формы от формы абсолютной изотермы для крупнопористых силикагелей. Так как адсорбция паров метанола широко применяется для определения удельной поверхности силикагелей и алюмосиликатных катализаторов [4], то представляло интерес подробное исследование этого явления.

В настоящей работе произведено сопоставление изотерм адсорбции паров метанола на 12 образцах кремнезема различной пористости с целью уточнения абсолютной изотермы адсорбции для крупнопористых образцов, сопоставления ее с абсолютной изотермой адсорбции паров воды и установления размеров пор, при которых становится заметным искажение изотермы адсорбции метанола.

* В этих работах был применен тонкопористый силикагель А, диаметр пор которого был спечен в 20 Å без поправки на толщину адсорбционного слоя [4], что соответствующей поправкой дает около 30 Å.

Образцы кремнезема и результаты измерений

Изотерма адсорбции паров метанола на молотом кварце с гидратированной поверхностью уже была изучена в работе [7]. Далее были применены 11 силикагелей различного происхождения и различной структуры, как широко-, так и тонкопористые образцы № 2, 4, 5, 6, 7 и 8 эталонного ряда силикагелей [12], образцы КСК-1 и КСМ-1 примененные в работе [14], а также Т, КСК-4 и С-684, примененные в работах [15, 16]. Для образцов эталонного ряда КСК-1 и КСМ-1 изотермы адсорбции паров метанола в этой работе были вновь сняты на примененной ранее установке с весами Ма Бэна — Бахра [17]. Изотермы снимались лишь в адсорбционной области (до относительного давления пара $p/p_s = 0,4$), что позволило получить большую точность измерения величин адсорбции за счет увеличения веса силикагелей (чего нельзя сделать снимая на этой весовой установке изотермы также и в области капиллярной конденсации в особенности для крупнопористых образцов, благодаря значительному увеличению их веса при высоких p/p_s).

а, мм/2

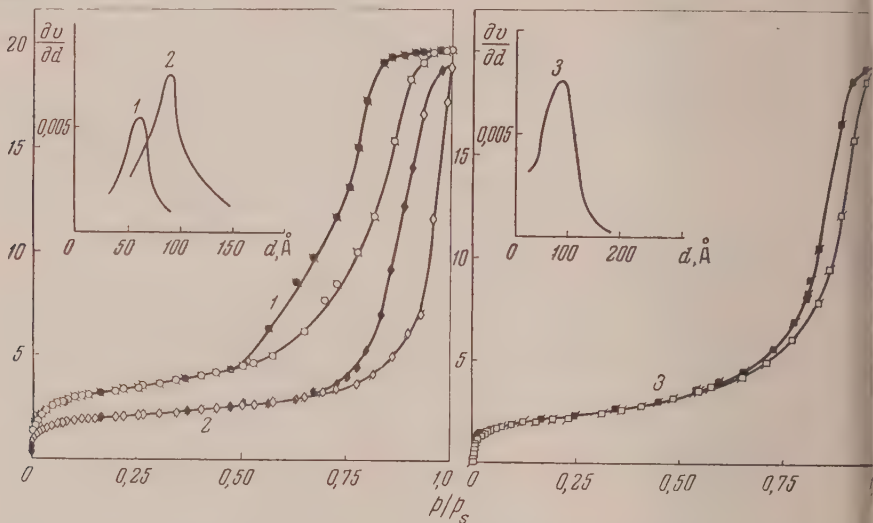


Рис. 1. Изотермы адсорбции паров метанола на образцах: 1 — С-684; 2 — КСК-4; 3 — Т, полученные в работах [15, 16]. Здесь и далее черные точки — десорбция. Наверху — кривые распределения объема пор по диаметрам

Изотермы адсорбции паров метанола на остальных трех образцах были получены в нашей лаборатории в дипломных работах студентов В. В. Платовой [15] (образец Т*) и Т. А. Овсюн [16] (образцы КСК-4 и С-684 *).

Все примененные силикагели характеризуются весьма однородной пористостью за исключением силикагеля Т, который был менее однороден. Наряду с порами, размеры горл [11] которых были близки к 100 Å, он содержал также заметное количество и значительно более тонких пор. Структурные характеристики образцов приведены в таблице (стр. 51). Для образцов силикагелей эталонного ряда эти характеристики взяты из работы [12], для КСК-1 и КСМ-1 из работы [14]. Для образцов С-684, КСК-4 и Т они были определены из изотерм, построенных по данным работ [15, 16]. Эти изотермы приведены на рис. 1.

Перед измерениями адсорбции силикагели промывались водой и откачивались при температуре около 280° С. При этом поверхность их дегидратировалась лишь в незначительной степени [3].

Общий вид изотерм адсорбции паров метанола для кварца и всех 11 образцов силикагелей в интервале p/p_s до 0,4 дан на рис. 2. На рис. 3 эти изотермы представлены в координатах уравнения БЭТ. Расчет

* Образец Т был получен от А. Н. Теренина, КСК-4 от К. Г. Красильникова и С-684 от И. Е. Неймарка. Авторы пользуются случаем выразить этим лицам благодарность.

Структурные характеристики примененных образцов силикагелей

Образцы иликагелей	Объем пор v_s , см ³ /г	Наиболее вероят- ный диаметр пор * d , Å	Образцы силикагелей	Объем пор v_s , см ³ /г	Наиболее вероят- ный диаметр пор* d , Å
№ 2	0,92	96	KCK-1	0,88	104
№ 4	0,80	68	KCM-1	0,35	33
№ 5	0,49	38	KCK-4	0,78	104
№ 6	0,49	30	T	0,79	102
№ 7	0,39	27	C-684	0,81	72
№ 8	0,25	24			

* С поправкой на толщину адсорбционного слоя.

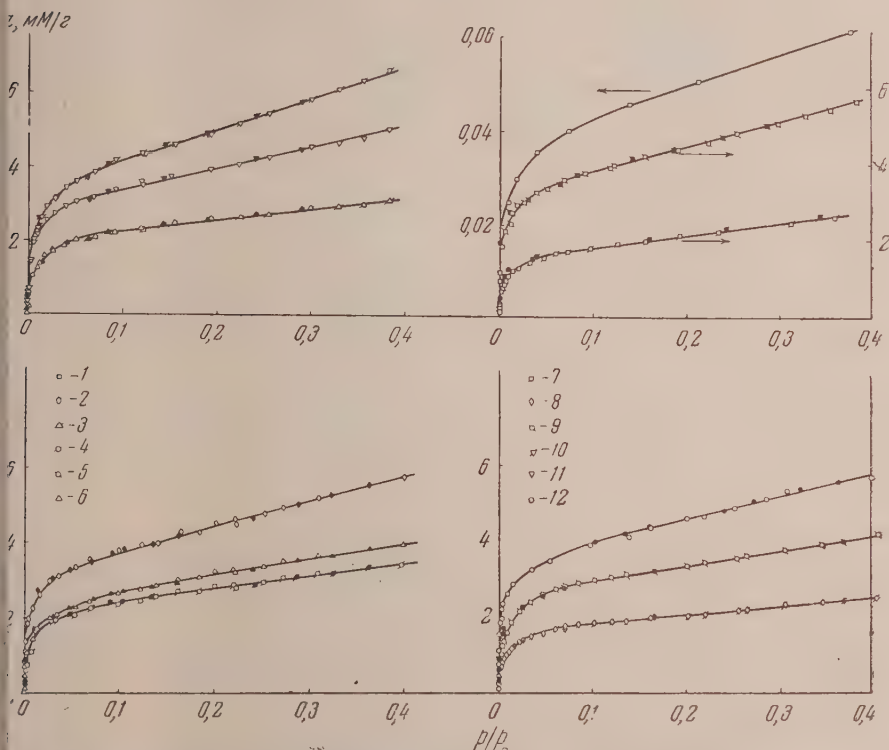


рис. 2. Изотермы первичной адсорбции паров метанола на различных образцах кремнезема: 1 — кварц; 2 — KCK-4; 3 — KCK-1; 4 — № 2; 5 — C-684; 6 — № 4; 7 — № 5; 8 — KCM-1; 9 — № 6; 10 — № 7; 11 — № 8; 12 — T

поверхностей был проведен по методу БЭТ из этих изотерм при помощи величины площади, занимаемой молекулой метанола в плотном мономолекулярном слое на гидратированной поверхности кремнезема $\omega_0 = 25 \text{ Å}^2$.

* Величина $\omega_0 = 25 \text{ Å}^2$ для метанола на гидратированной поверхности кремнезема соответствует величине $\omega_0 = 16,2 \text{ Å}^2$ для азота. В нашей лаборатории ведется работа по уточнению величины ω_0 для метанола с учетом влияния степени дегидратации поверхности силикагеля.

Абсолютная и приведенные изотермы адсорбции

Для кварца и пяти крупнопористых силикагелей: образцов № 2 и 4 эталонного ряда и образцов КСК-1, КСК-4 и С-684 мы построили изотермы абсолютных величин адсорбции α , разделив опытные величины адсорбции q на соответствующие значения удельных поверхностей s . На рис. 4 эти изотермы построены в трех разных масштабах по оси p/p_s . Для всех шести

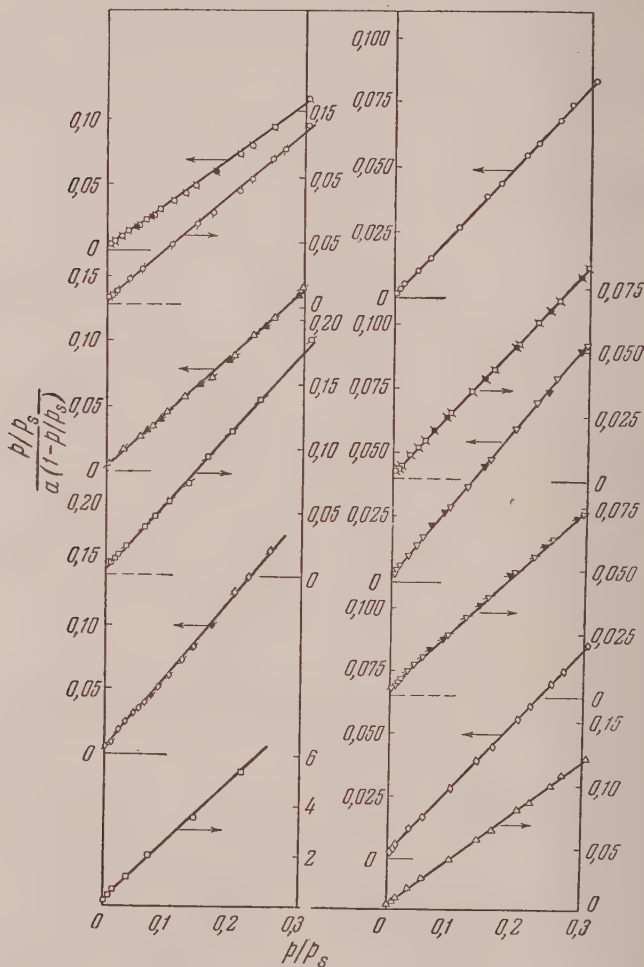


Рис. 3. Изотермы адсорбции паров метанола на кварце и 11 силикагелях в координатах уравнения БЭТ. Обозначения те же, что и на рис. 2

адсорбентов изотермы в пределах точности измерений совпадают и выражают таким образом единую абсолютную изотерму первичной адсорбции паров метанола на гидратированной поверхности кварца и крупнопористых силикагелей; абсолютная изотерма дана на рис. 4 сплошной линией.

Для выяснения влияния сужения пор для остальных образцов мы пользовались методом построения приведенных изотерм адсорбции [18, 4, 10]. Для этого надо совместить сравниваемые изотермы с абсолютной при каком-либо значении p/p_s и установить совпадение или расхождение остальных точек этих изотерм в мономолекулярной области.

На рис. 5 построены таким образом изотермы адсорбции для остальных шести образцов силикагелей. Нижней сплошной линией здесь изображена абсолютная изотерма, полученная на рис. 4. Все эти изотермы совпадают в интервале p/p_s от 0,05 до 0,2. Из рис. 5 видно далее, что в области меньших p/p_s от абсолютной изотермы вполне отчетливо отклоняется изотерма адсорбции паров метанола для наиболее тонкопористого образца № 8 (верхняя кривая). Имеются отклонения и для некоторых других тонкопористых образцов, однако они проявляются лишь в области малых p/p_s и близки к погрешностям измерений.

Таким образом мы приходим к заключению, что сужение пор силикагелей до размеров d , меньших 30\AA , заметно усиливает адсорбцию паров метанола, искажая изотерму. Это возмущающее действие сужения пор,

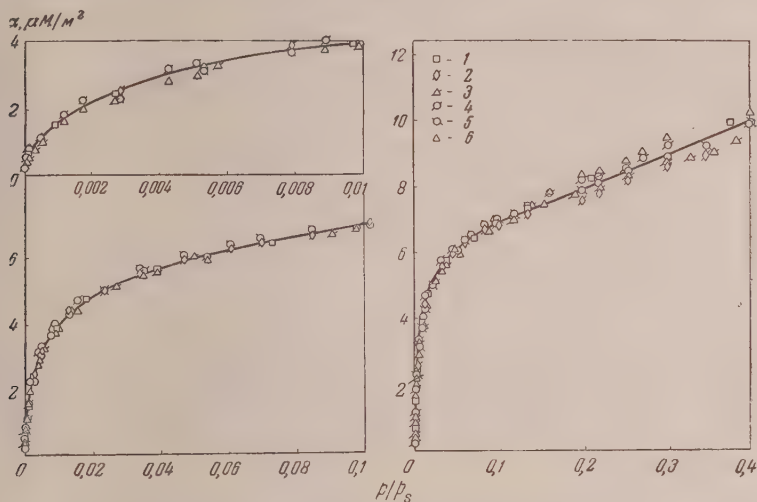


Рис. 4. Абсолютная изотерма адсорбции паров метанола на кварце и пяти образцах однороднокрупнопористых силикагелей: 1 — кварц; 2 — RCR-4; 3 — RCR-1; 4 — № 2; 5 — C-684 и 6 — № 4

т. е. сближения первичных частиц, образующих скелет силикагеля [10—21], на энергию адсорбции метанола проявляется в гораздо меньшей степени, чем в случае адсорбции паров углеводородов, содержащих четыре, более атомов углерода в молекуле [19], и близко к соответствующему эффекту в случае адсорбции паров азота, т. е. молекул близких размеров [20]. Однако усиление энергии адсорбции вполне здесь заметно, в отличие от случая адсорбции паров воды [3]. Его следует в основном приписать увеличению дисперсионных взаимодействий с кремнеземом метильной группы метанола.

Полученные результаты показывают, что изотермы первичной адсорбции паров метанола при комнатной температуре могут быть использованы для надежного определения удельной поверхности гидратированных силикагелей с размерами пор d , большими 30\AA . В случае более тонкопористых силикагелей такие определения становятся ненадежными, хотя формально уравнение БЭТ, как это видно из рис. 3, остается применимым для всех изученных силикагелей.

В работах Хюттига [21] и Хюттига и Пицка [22] приведены значения величин адсорбции паров метанола на горном хрустале и кварцевом стекле. Из этих данных мы вычислили абсолютные величины адсорбции методом БЭТ, приняв, как и ранее, $\omega_0 = 25\text{\AA}^2$. На рис. 6 полученные таким путем точки также сопоставлены с нашей абсолютной изотермой, изображенной

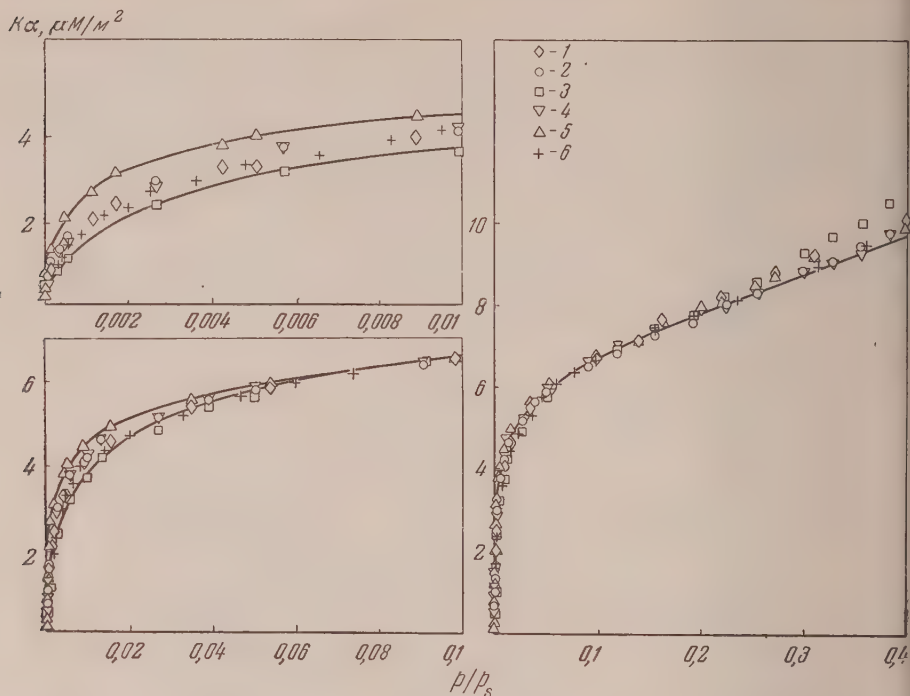


Рис. 5. Изотермы адсорбции паров метанола на силикагелях: 1 — № 5; 2 — КСМ-1; 3 — № 6; 4 — № 7; 5 — № 8 и 6 — Т, приведенные при $p/p_s = 0,1$ к абсолютной изотерме для кварца и крупнопористых образцов

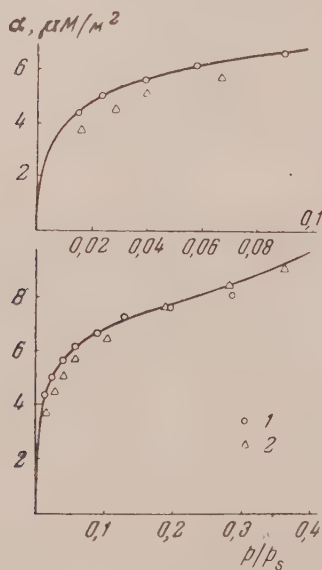


Рис. 6

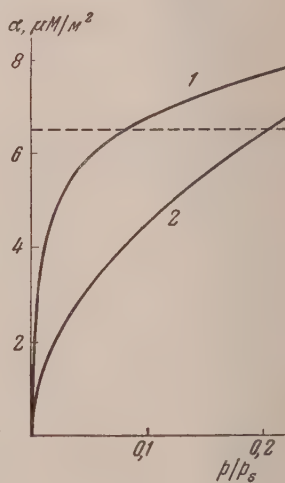


Рис. 7

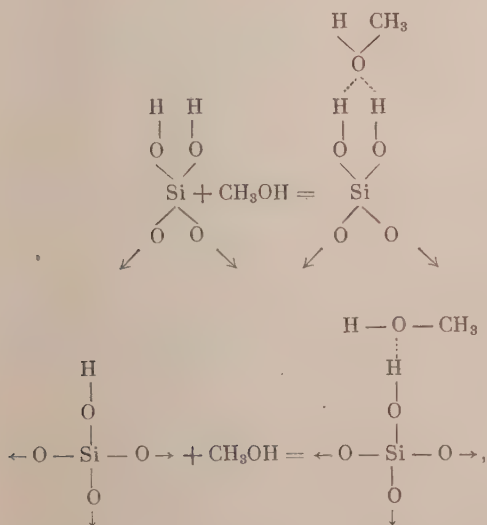
Рис. 6. Абсолютные величины адсорбции паров метанола на образцах: 1 — горного хрусталя и 2 — кварцевого стекла по данным работ [21] и [22], и абсолютная изотерма, полученная в настоящей работе (сплошная кривая)

Рис. 7. Абсолютные изотермы адсорбции на гидратированной поверхности крупнопористых силикагелей: 1 — паров метанола и 2 — воды. Горизонтальным пунктиром отмечена величина α_m

попной линией. Из рис. 6 видно, что для образца горного хрусталя совпадение хорошее; для образца кварцевого стекла в области мономолекуляр- с адсорбции точки отклоняются от нашей кривой и лежат несколько выше*.

Сопоставляя изотермы адсорбции паров метанола на различных кремне-зах наряду с указанным нами в работе [10] и подробнее освещенном здесь влиянием сужения пор, необходимо принимать во внимание возможное влияние различий в химическом строении и прежде всего в степени гидратации поверхности кремнезёмов. В опытах Л. Н. Соболевой [5] и С. П. Жданова [6] было показано, что, как и в случае адсорбции паров воды, термическая дегидратация поверхности силикагелей снижает адсорбцию паров метанола в области малых p/p_s , соответствующей заполнению первого слоя.

В настоящей работе сопоставлены изотермы первичной адсорбции паров метанола кремнезёмами. В работе [24] было показано, что длительное действие паров метанола при высоких p/p_s приводит к отравлению поверхности силикагеля благодаря химической реакции с метанолом с образованием поверхностного эфира. На реакцию силикагеля и кварца с метанолом было указано также в работах К. В. Топчиевой и А. П. Баллод [2] и Штобера [23]. Образование поверхностных химических соединений кремнезёма с метанолом было подтверждено спектроскопическими исследованиями А. Н. Сидорова [26] и методом меченых атомов и фотодиссоциации в работе Л. Н. Курбатова [27]. Поэтому для получения сравнимых данных надо избегать обычно применяемой «тренировки» кремнезёмов в парах такого адсорбента, как метанол [24], в особенности при нагревании [6], и сопоставлять лишь изотермы первичной адсорбции этого пара. В этом случае метанол адсорбируется в основном обратимо за счет обычных физических взаимодействий, на фон которых налагаются более тесные взаимодействия кислотно-основного типа с образованием водородных связей без частично протонизированный водород кремниевой кислоты с кислородом метанола. Эти дополнительные взаимодействия могут быть выражены схемами [2, 6]:



* Штобер [23] получил изотермы адсорбции паров метанола на образцах горного хрусталя, но при иных условиях обработки (25 и 800° С). Вычисленные им из изотерм плотности адсорбции для первого образца близки к определенным на нашем образце кварца [8].

на которых стрелки указывают связи с другими атомами Si кремнезема*. По таким же схемам происходит адсорбция воды на гидратированные поверхности кремнезёмов [2, 3, 6]. Эта аналогия подтверждается близостью величины $\omega_0 = 1/\alpha_m = s/a_m$, полученной для воды и для метанола через определенную по БЭТ емкость монослоя a_m для непористых и крупнопористых образцов с известной поверхностью s (определенной по адсорбции паров азота). В работе [3] для адсорбции паров воды на гидратированной

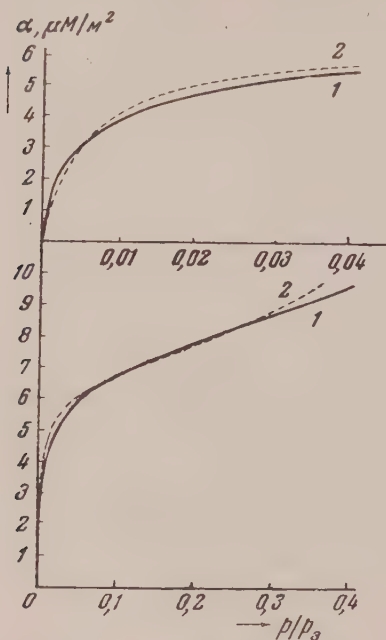


Рис. 8. 1 — абсолютная изотерма адсорбции паров метанола на гидратированной поверхности силикагелей, 2 — уравнение БЭТ

поверхности силикагелей было получено значение ω_0 , также близкое к 25\AA^2 . Как было отмечено ранее [4] такая же величина ω_0 получается и для адсорбции паров метанола. По-видимому, молекулы метанола, как и молекулы воды, адсорбируясь, как бы «пересчитывают» находящиеся на гидратированной поверхности кремнезема гидроксильные группы. Различие в адсорбции обоих веществ в первом слое связано с большей энергией адсорбции метанола за счет большей величины дисперсионных взаимодействий с адсорбентом молекул CH_3OH по сравнению с молекулами H_2O . Это видно из приведенного на рис. 7 сопоставления обеих абсолютных изотерм (для воды изотерма взята из работы [3]). В случае метанола абсолютная изотерма поднимается более круто, и одинаковая величина α , например $\alpha = \alpha_m$, достигается при меньшем p/p_s (0,068 для метанола и 0,20 для воды). В заключение отметим, что изотерма первичной адсорбции паров метанола непористыми и крупнопористыми кремнеземами с гидратированной поверхностью удовлетворительно выражается уравнением БЭТ со значениями констант $\alpha_m = 6,5 \text{ }\mu\text{моль/м}^2$ и $C \approx 150$ (точное определение константы C из графиков рис. 3 при больших ее значениях затруднительно, однако это мало влияет на величины α при не очень больших p/p_s). На рис. 8 дан график этого уравнения (кривая 2) вместе с полученной нами экспериментальной изотермой адсорбции паров метанола (кривая 1). В интервале p/p_s примерно от 0,002 до 0,35 уравнение БЭТ может быть использовано для приближенного расчета адсорбции метанола на кремнеземах с известной поверхностью и для оценки величины поверхности по одной точке изотермы. Более точное определение s по одной точке изотермы требует непосредственного сравнения опытной величины адсорбции a (ммоль/г) с абсолютной величиной α (рис. 4) при том же p/p_s [4]. Так, при $p/p_s = 0,1$ $s = a/\alpha = 145 a \text{ м}^2/\text{г}$, если a выражена в ммоль/г.

Авторы выражают глубокую благодарность О. М. Джигит за оказанную ему большую помощь при выполнении и подготовке к печати этой работы.

* А. Н. Сидоров на основании спектроскопических исследований считает, что метанол по-разному адсорбируется на двух различных центрах поверхности кремнезема: группах OH и центрах другой природы (возможно, ионах кремния). Для решения этого вопроса необходимо исследовать влияние на адсорбцию метанола степени гидратации поверхности. Возможно, что этими центрами второго рода являются гидратированные места поверхности кремнезема указанных в работе [6] типов. Здесь весьма важны дальнейшие адсорбционные и параллельно спектроскопические исследования.

Выводы

1. Получена абсолютная изотерма первичной адсорбции паров метанола на гидратированной поверхности кварца и крупнопористых силикагелей.
2. Сужение пор силикагелей до размеров, меньших 30 Å, вызывает искажение изотермы адсорбции паров метанола.
3. Механизм адсорбции паров метанола гидратированной поверхностью кремнезема весьма сходен с механизмом адсорбции паров воды и определяется в основном водородными связями с гидроксильными кремнекислоты. Термическая дегидратация поверхности силикагеля и ее окислирование вызывают уменьшение первичной адсорбции паров метанола.

Московский

государственный университет
им. М. В. Ломоносова

Поступила

1.IX.1956

ЛИТЕРАТУРА

1. А. В. Киселев и Н. В. Ковалева, Журн. физ. химии, 30, 2775, 1956.
2. А. В. Киселев, ДАН, 106, 1046, 1956.
3. Л. Д. Белякова, О. М. Джигит и А. В. Киселев, Журн. физ. химии, 31, 1577, 1957.
4. А. В. Киселев, в Сборнике «Методы исследования структуры высокодисперсных и пористых тел», Изд-во АН СССР, 1953, стр. 86.
5. А. В. Киселев, К. Г. Крассильников и Л. Н. Соболева, ДАН, 94, 85, 1954.
6. С. П. Жданов и А. В. Киселев, Журн. физ. химии, 31, 2213, 1957.
7. Н. Н. Авгуль, О. М. Джигит, В. П. Древинг, М. В. Гурьев, А. В. Киселев и О. А. Лихачева, ДАН, 77, 77, 1951.
8. Н. Н. Авгуль, О. М. Джигит, А. А. Исириян, А. В. Киселев и К. Д. Щербакова, ДАН, 77, 625, 1951.
9. А. В. Киселев, в Сборнике «Исследования в области хроматографии», Изд-во АН СССР, 1952, стр. 71.
10. А. В. Киселев, в Сборнике «Труды комиссии по аналитической химии», Изд-во АН СССР, 9 (6), 46, 1955.
11. А. В. Киселев, ДАН, 98, 427, 1954.
12. О. М. Джигит, А. В. Киселев и И. Е. Неймарк, Журн. физ. химии, 28, 1804, 1954.
13. Е. А. Леонтьев и В. М. Лукьянович, ДАН, 103, 1039, 1955.
14. А. В. Киселев и Ю. А. Эльтеков, ДАН, 100, 107, 1955.
15. В. В. Платова, Дипломная работа, химический факультет МГУ, 1955.
16. Т. А. Овсюн, Дипломная работа, химический факультет, МГУ, 1955.
17. Н. Н. Авгуль, О. М. Джигит, А. В. Киселев и К. Д. Щербакова, Журн. физ. химии, 26, 977, 1952.
18. В. П. Древинг, А. В. Киселев и О. А. Лихачева, ДАН, 82, 277, 1952.
19. А. В. Киселев, Усп. химии, 25, 705, 1956.
20. А. П. Карнаухов, А. В. Киселев и Е. В. Храпова, ДАН, 94, 915, 1954; А. В. Киселев и Е. В. Храпова, Коллоидн. журн., 19, 572, 1957.
21. G. F. Hüttig, Monatsh. f. Chem., 78, 177, 1948.
22. G. F. Hüttig, G. Pietrka, Monatsh. f. Chem., 78, 185, 1948.
23. W. Stöber, Kolloid. Zs., 145, 17, 1956.
24. О. М. Джигит, А. В. Киселев, Н. Н. Микос-Авгуль и К. Д. Щербакова, ДАН, 70, 441, 1950.
25. К. В. Топчиева и А. П. Баллод, ДАН, 75, 247, 1950.
26. А. Н. Сидоров, Журн. физ. химии, 30, 995, 1956.
27. Л. Н. Курбатов, Журн. физ. химии, 30, 1062, 1956.

THE ADSORPTION OF METHANOL VAPORS ON THE HYDRATED SURFACE OF SILICA GELS AND QUARTZ

L. N. Soboleva and A. V. Kiselev (Moscow)

Summary

The absolute isotherm of the primary adsorption of methanol vapors on the hydrated surface of quartz and wide-porous silica gels has been determined.

A diminishing of the pores in the silica gels to diameters less than 30 Å causes distortion of the methanol vapor adsorption isotherm.

The mechanism of methanol vapor adsorption by the hydrated silica surface is quite similar to that of the adsorption of water vapor and is chiefly due to a hydrogen bonding with the silicic acid hydroxyls. The thermal dehydration of the silica gel surface and methylation decreases the adsorption of methanol vapors.

ЭЛЕКТРОНОГРАФИЧЕСКОЕ ИССЛЕДОВАНИЕ СТРОЕНИЯ МОЛЕКУЛ

VIII. ГАЛОГЕНИДЫ БАРИЯ

П. А. Акишин, В. П. Спиридонов, Г. А. Соболев и В. А. Наумов

Задачей настоящего исследования является определение геометрических параметров и конфигурации молекул пареообразных фторида, хлорида, бромида и йодида бария, для которых в литературе отсутствуют соответствующие данные.

В работе использовались продажные препараты квалификации «ч» и «ч. д. а.», которые перед проведением опыта обезвоживались в вакуумном сушильном шкафу. Съемки электронограмм производились на приборе

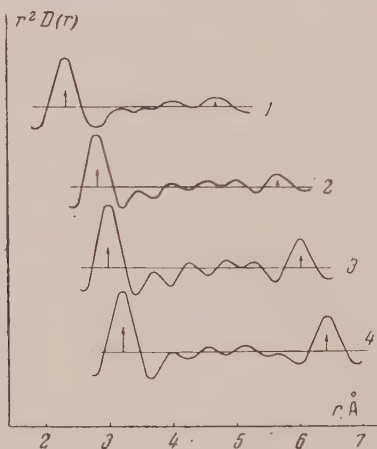


Рис. 1

Рис. 1. Кривые радиального распределения $r^2 D(r)$ для молекул галогенидов бария: 1— BaF_2 , 2— BaCl_2 , 3— BaBr_2 , 4— BaI_2

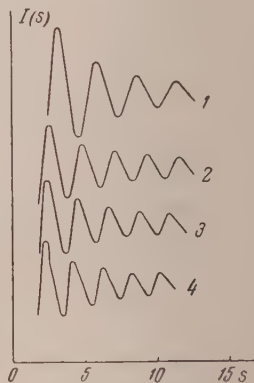


Рис. 2

Рис. 2. Теоретические кривые интенсивности для молекул: 1— BaF_2 , 2— BaCl_2 , 3— BaBr_2 , 4— BaI_2 . Валентный угол 180° . Кривая для молекулы BaF_2 построена с учетом температурного множителя

с высокотемпературным испарителем по методике, использовавшейся нами при исследовании галогенидов других элементов второй группы периодической системы [1—6].

При съемке электронограмм паров BaF_2 для защиты эмульсии от светового излучения испарителя применялись фотопластинки, покрытые защитным слоем черной туши, смываемой перед проявлением.

От паров BaF_2 , BaCl_2 , BaBr_2 и BaI_2 получено по 6—10 серий электронограмм при длинах волн электронов от 0,0444 до 0,0584 Å. На электронограммах паров BaF_2 имелось до четырех интерференционных колец с быстро спадающей интенсивностью, на электронограммах паров BaCl_2 , BaBr_2 и BaI_2 — по пяти интерференционных колец со слабо выраженной асимметрией, возрастающей при переходе от хлорида к йодиду.

Как и в предыдущих наших работах, расшифровка электронограмм извлеклась двумя способами — по методу радиального распределения арианте Уолтера — Бича и по методу последовательных приближений. Кривые радиального распределения $r^2D(r)$ приведены на рис. 1. Расшифровка электронограмм, выполненная по методу радиального распределения, однозначно указывает на линейную конфигурацию молекул галогенидов бария.

При расшифровке электронограмм по методу последовательных приближений найдено, что экспериментально наблюдаемое распределение интенсивности рассеянных электронов от паров галогенидов бария хорошо падается теоретическими кривыми интенсивности $I(s)$, рассчитанными предположении линейной конфигурации молекул галогенидов бария (с. 2). При этом для молекулы BaF_2 в теоретическую кривую интенсивности вводился температурный множитель e^{-as^2} , константа $a = 0,005$ была найдена из частоты $\omega_e = 468,9 \text{ см}^{-1}$ в спектре духотомной молекулы F [7].

Следует отметить, что асимметрия колец на электронограммах паров галогенидов бария выражена слабее, чем на электронограммах соответствующих галогенидов кальция и стронция [5, 6].

В связи с большим значением заряда ядра атома бария, по сравнению аридами ядер кальция и стронция, валентный угол в молекулах галогенидов бария по методу последовательных приближений определяется

Таблица 1

Молекула BaF_2 ; $r_{\text{теор}} = 2,32 \text{ \AA}$; $a = 0,005$

Макс.	Миним.	$I(s)$	$s_{\text{теор}}$	$s_{\text{эксп}}$	$s_{\text{теор}}/s_{\text{эксп}}$	$r_{\text{эксп}}$
1	2	+20	3,30	3,30	1,000	2,32
		-15	4,73	4,80	0,985	2,29
2	3	+8	6,02	6,08	0,990	2,30
		-8	7,45	7,45	1,000	2,32
3	4	+4	8,73	8,70	1,003	2,33
		-2	10,16	10,10	1,006	2,33
4		+1	11,45	11,38	1,006	2,33
Среднее значение					0,999	2,32
Среднее отклонение					$\pm 0,006$	$\pm 0,01$

Таблица 2

Молекула BaCl_2 ; $r_{\text{теор}} = 2,82 \text{ \AA}$

Макс.	Миним.	I (s)	$s_{\text{теор}}$	$s_{\text{эксп}}$	$s_{\text{теор}}/s_{\text{эксп}}$	$r_{\text{эксп}}$
1	2	+15	2,69	2,71	0,996	2,81
		-12	3,92	3,92	1,000	2,82
2	3	+8	4,94	4,96	0,996	2,81
		-7	6,15	6,18	0,995	2,81
3	4	+4	7,18	7,17	1,001	2,82
		-4	8,40	8,41	0,999	2,82
4	5	+3	9,40	9,39	1,001	2,82
		-3	10,63	10,65	0,998	2,81
5		+2	11,64	11,64	1,000	2,82
Среднее значение					0,998	2,82
Среднее отклонение					$\pm 0,002$	$\pm 0,03$

Таблица 3

Молекула BaBr_2 ; $r_{\text{теор}} = 2,99 \text{ \AA}$

Макс.	Миним.	I (s)	$s_{\text{теор}}$	$s_{\text{эксп}}$	$s_{\text{теор}}/s_{\text{эксп}}$	$r_{\text{эксп}}$
1	2	+15	2,50	2,55	(0,980)	(2,93)
		-12	3,74	3,74	1,000	2,99
2	3	+7	4,62	4,65	0,994	2,97
		-7	5,85	5,86	0,998	2,98
3	4	+4	6,73	6,71	1,003	3,00
		-4	7,96	7,99	0,996	2,98
4	5	+3	8,83	8,84	0,999	2,99
		-3	10,08	10,03	1,005	3,00
5		+2	10,93	10,92	1,001	2,99
Среднее значение					1,000	2,99
Среднее отклонение					$\pm 0,003$	$\pm 0,01$

Таблица 4

Молекула BaJ_2 ; $r_{\text{теор}} = 3,19 \text{ \AA}$

Макс.	Миним.	I (s)	$s_{\text{теор}}$	$s_{\text{эксп}}$	$s_{\text{теор}}/s_{\text{эксп}}$	$r_{\text{эксп}}$
1	2	+10	2,31	2,31	1,000	3,19
		-8	3,53	3,54	0,997	3,18
2	3	+6	4,31	4,31	1,000	3,19
		-5	5,52	5,52	1,000	3,19
3	4	+4	6,28	6,27	1,002	3,20
		-3	7,48	7,47	1,001	3,19
4	5	+2	8,25	8,22	1,004	3,20
		-2	9,47	9,39	1,009	3,22
5		+1	10,21	10,18	1,003	3,20
Среднее значение					1,002	3,20
Среднее отклонение					$\pm 0,002$	$\pm 0,01$

Таблица 5

Геометрические параметры молекул галогенидов бария

Соединение	Расстояние $\text{Ba}-\text{X}$, \AA	Расстояние $\text{X}-\text{X}$, \AA	Валентный угол
BaF_2	$2,32 \pm 0,03$	4,67	180°
BaCl_2	$2,82 \pm 0,03$	5,64	$180^\circ \pm 40^\circ$
BaBr_2	$2,99 \pm 0,03$	5,99	$180^\circ \pm 30^\circ$
BaJ_2	$3,20 \pm 0,03$	6,39	$180^\circ \pm 20^\circ$

Примечание: В 3 столбце приведены расстояния галоген—галоген, полученные из кривых радиального распределения.

с меньшей точностью, чем в молекулах галогенидов кальция и стронция. Применение метода последовательных приближений для определения валентного угла $\text{F}-\text{Ba}-\text{F}$ в молекуле BaF_2 нецелесообразно из-за большой разницы в зарядах ядер атомов бария и фтора; однако в этом случае, как и в ряде других (фториды цинка, кадмия, кальция и стронция), метод радиального распределения даст совершенно определенный результат — угол 180° . Результаты расчета электрограмм исследованных галоген

в бария по методу последовательных приближений представлены в табл. 1-4.

Таким образом в настоящей работе впервые получены данные по конфигурации и геометрическим параметрам молекул всех парообразных галогенидов бария.

Установлено линейное строение молекул у всех исследованных соединений и найдены значения межатомных расстояний, приведенные в табл. 5. Погрешность в определении межатомного расстояния $Ba - X$ (табл. 5) указана, исходя из предельной относительной ошибки метода, оцениваемой нами в $\pm 1-1,5\%$; приведенная в табл. 5 погрешность в определении валентного угла получена по методу последовательных приближений.

В заключение отметим, что межатомное расстояние $Ba - X$ в молекулах хлорида, бромиды и йодида изменяется приблизительно по линейному закону в зависимости от порядкового номера галогена, а расстояние $Ba - F$ показывает резкое отступление от этой закономерности.

Выводы

1. Выполнено электронографическое исследование строения молекул парообразных галогенидов бария — фторида, хлорида, бромиды и йодида. Установлено линейное строение всех изученных молекул.

2. Впервые получены значения межатомных расстояний барий — галоген в молекулах парообразных галогенидов бария.

Московский государственный
университет
им. М. В. Ломоносова

Поступила
13.IX.1956

ЛИТЕРАТУРА

- П. А. Акишин, М. И. Виноградов, К. Д. Данилов, Н. П. Левкин, Е. Н. Мартинсон, Н. Г. Рамбиди, В. П. Спиридонов, Приборы и техн. эксперим., 3, 1958 (в печати).
- П. А. Акишин, В. М. Спиридонов, В. А. Наумов и Н. Г. Рамбиди, Журн. физ. химии, 30, 155, 1956.
- П. А. Акишин, В. П. Спиридонов и В. А. Наумов, Журн. физ. химии, 30, 951, 1956.
- П. А. Акишин, В. П. Спиридонов, Г. А. Соболев, В. А. Наумов, Журн. физ. химии, 31, 461, 1957.
- П. А. Акишин, В. П. Спиридонов, Г. А. Соболев, Журн. физ. химии, 31, 648, 1957.
- П. А. Акишин, В. П. Спиридонов, Г. А. Соболев и В. А. Наумов, Журн. физ. химии, 31, 1871, 1957.
- C. A. Fowler, Phys. Rev., 59, 645, 1941.

ELECTRON DIFFRACTION STUDIES OF MOLECULE STRUCTURE

VIII. BARIUM HALIDES

P. A. Akishin, V. P. Spiridonov, G. A. Sobolev and V. A. Naumov

(Moscow)

Summary

The report presents experimental data on the structure of barium halides — the fluoride, chloride, bromide and iodide — obtained from a study of the diffraction of fast electrons from a stream of the vapor.

A linear structure was established for these molecules and the interatomic distances barium-halogen were found.

ИЗУЧЕНИЕ СОРБЦИИ НЕКОТОРЫХ КАТИОНОВ МЕТАЛЛИЧЕСКИМ ГЕРМАНИЕМ ПРИ ПОМОЩИ РАДИОАКТИВНЫХ ИНДИКАТОРОВ

И. М. Кулешов и А. Ф. Наумова

В литературе имеется мало данных о сорбционных свойствах металлического германия. Бартон, Прим и Слихтер [1] исследовали при помощи радиоактивных индикаторов зависимость коэффициента распределения примесей от их химической природы, концентрации и скорости роста германиевых монокристаллов из расплавов. Лоу Франсу [2] изучили поглощение паров воды, метилового спирта, водорода, окиси двуокиси углерода металлическим германием. Отсутствуют материалы о поглощении германием катионов из водных растворов.

В настоящей работе при помощи радиоактивных изотопов было проведено исследование поглощения металлическим германием некоторых катионов (Na^+ , Ca^{2+} и Fe^{3+}), присутствующих в реактивах и материалах, используемых в процессах травления и промывания германия и изделий из него.

Одним из общеизвестных способов очистки поверхности металлического германия является метод нагревания его в концентрированном 30%-ном растворе перекиси водорода [3] и последующего промывания сработанных образцов в кипящем би- и тридестиллате. В связи с указанными операциями весьма существенно иметь количественные данные о поглощении германием различных катионов, содержащихся в качестве загрязняющих примесей в водных средах. Одновременно с этим важно изучить процесс удаления сорбированных примесей с поверхности металлического германия.

С целью изучения поглощения катионов натрия, кальция и железа в процессе травления и промывания германиевых полупроводников были использованы следующие радиоизотопы: Na^{24} , Ca^{45} и Fe^{59} .

Экспериментальная часть

Методика работы. Измерения поглощения радиоизотопов образцами проводились следующим образом. Германиевые пластинки определенной величины подвергались травлению в растворе перекиси, промывались несколько раз по 10 мин. с 20—25° кипящей дистиллированной воды. Затем пластинки обрабатывались кипящей концентрированной соляной кислотой уд. вес 1,1. Все промывные воды и солянокислые растворы сливались в стакан и осторожно выпаривались до 1—2 мл. Из полученных так образом концентрированных растворов отбирались пробы для измерения интенсивности β -излучения. На основании величины активности делалось заключение о количестве сорбированного катиона. Полнота отмывания контролировалась по прекращению перехода активных компонентов в раствор соляной кислоты. Концентрированная соляная кислота на металлический германий заметно не действует.

Измерения активности производились на β -установке с торцевой счетной трубкой. Точность, с которой измерялась радиоактивность на этой установке, не позволяла наблюдать сорбцию указанных катионов в количествах менее $5 \cdot 10^{-8}$ г/см².

Сорбция ионов натрия на монокристаллах германия. В работе использовались шлифованные пластинки монокристаллов германия. Радионатрий, Na^{24} вводился в реакционную смесь в виде раствора поваренной соли. Его удельная активность в опытах превышала $9,89 \cdot 10^7$ имп./мин. · г элементарного натрия (во всех опытах расчет производился на металлический натрий). В табл. 1 представлены результаты опытов.

Таблица 1

Сорбция ионов натрия на поверхности германия

№ опытов	Количество натрия в опыте, г	Удельная активность натрия, $\text{имп/мин} \cdot \text{г}$	Поверхность германия, см^2	Количество натрия, десорбированного с поверхности металлического германия при обработке его водой, г/см^2			Количество натрия, отмытого соляной кислотой, г/см^2	Количество сорбированного натрия, г/см^2	
				В отдельной операции					Всего за семь обработок
				1	2	3			
1	0,0363	$3,35 \cdot 10^7$	1,475	$8,12 \cdot 10^{-4}$	—	—	$8,12 \cdot 10^{-4}$	$2,2 \cdot 10^{-6}$	$8,14 \cdot 10^{-4}$
2*	0,0430	$3,35 \cdot 10^7$	1,475	$3,4 \cdot 10^{-5}$	—	—	$3,4 \cdot 10^{-5}$	$7,9 \cdot 10^{-7}$	$3,48 \cdot 10^{-5}$
3	0,0442	$9,89 \cdot 10^7$	6,61	$1,75 \cdot 10^{-6}$	$6,30 \cdot 10^{-7}$	$8,22 \cdot 10^{-7}$	$3,82 \cdot 10^{-6}$	$8,69 \cdot 10^{-7}$	$4,69 \cdot 10^{-6}$
4	0,0442	$9,89 \cdot 10^7$	5,896	$2,05 \cdot 10^{-6}$	$2,74 \cdot 10^{-7}$	$2,77 \cdot 10^{-4}$	$4,13 \cdot 10^{-6}$	$8,84 \cdot 10^{-7}$	$5,02 \cdot 10^{-6}$

* Образец германия протравлен вторично.

Из табл. 1 видно, что в процессе травления натрия сорбируется в большом количестве на поверхности германия. Максимальная величина поглощения составляет $3,4 \cdot 10^{-5}$ — $8,14 \cdot 10^{-4}$ г/см^2 . Несколько повышенное поглощение натрия в опытах №1 и 2 по сравнению с опытами №3 и 4 объясняется, по видимому, недостаточным удалением в первых из них равильной жидкости с поверхности металлического германия. В дальнейших опытах травильная реакционная смесь, содержащая радиоактивные изотопы, удалялась с поверхности германия просушиванием образцов фильтровальной бумагой (опыт №3) или путем предварительного промывания их холодной дистиллированной водой (опыт №4).

Проведенные опыты показали, что путем промывания протравленной поверхности металлического германия кипящей водой нельзя полностью удалить сорбированные на ней катионы натрия. Только последующее кипячение металлических образцов германия в концентрированной соляной кислоте уд. вес 1,1 приводит к окончательному освобождению поверхности металла от натрия. Следует заметить, что сорбция натрия поверхностью металлического германия зависит от предварительной подготовки ее шлифовкой. В опытах №1 и 2 при повторном травлении образцов происходит несколько меньшее поглощение ионов натрия. По-видимому, в процессе травления и десорбции неровности поверхности частично сглаживаются.

Сорбция ионов кальция на поверхности металлического германия. Определение степени поглощения ионов кальция производилось на моно- и поликристаллических поверхностях металлического германия. В табл. 2 и 3 приведены соответствующие данные. Радиокальций Ca^{45} вносился в реакционную смесь в виде хлорида. Удельная активность кальция в опытах составляла максимально $0,5 \cdot 10^8$ $\text{имп/мин} \cdot \text{г}$ элементарного кальция.

Таблица 2

Сорбция кальция на монокристалле германия

Количество кальция в опыте, г	Удельная активность кальция, $\text{имп/мин} \cdot \text{г}$	Поверхность германия, см^2	Количество кальция, десорбированного при обработке водой, г/см^2			Количество кальция, отмытого HCl , г/см^2	Количество сорбированного кальция, г/см^2
			В отдельной операции		Всего за четыре обработки		
			1	2			
336	$6,24 \cdot 10^9$	2,083	$4,5 \cdot 10^{-6}$	$2,58 \cdot 10^{-7}$	$5,16 \cdot 10^{-6}$	$2,4 \cdot 10^{-7}$	$5,40 \cdot 10^{-6}$
134	$6,25 \cdot 10^8$	2,015	$7,18 \cdot 10^{-6}$	$1,33 \cdot 10^{-7}$	$7,46 \cdot 10^{-6}$	$8,9 \cdot 10^{-7}$	$8,35 \cdot 10^{-6}$
168	$6,78 \cdot 10^8$	2,18	$3,88 \cdot 10^{-6}$	$\sim 2 \cdot 10^{-8}$	—	$3,08 \cdot 10^{-7}$	$4,21 \cdot 10^{-6}$

Таблица 3

Сорбция ионов кальция на поликристаллах германия

Поверх- ность германия, см ²	Количество кальция, десорбированного при обработке водой, г/см ²			Количество кальция отмытого HCl, г/см ²	Количество сорбирован- ного кальция, г/см ²
	1	2	3		
2,276*	$1,58 \cdot 10^{-7}$	$3,98 \cdot 10^{-7}$	—	$1,01 \cdot 10^{-6}$	$1,57 \cdot 10^{-6}$
2,19	$2,37 \cdot 10^{-8}$	$3,06 \cdot 10^{-6}$	$2,19 \cdot 10^{-7}$	$1,28 \cdot 10^{-7}$	$5,78 \cdot 10^{-6}$
2,7	$3,48 \cdot 10^{-7}$	$4,8 \cdot 10^{-8}$	$1,9 \cdot 10^{-8}$	$6,21 \cdot 10^{-6}$	$5,58 \cdot 10^{-6}$
4,003**	$1,17 \cdot 10^{-4}$	$7,55 \cdot 10^{-5}$	—	$2,22 \cdot 10^{-5}$	$2,15 \cdot 10^{-4}$

* Удельная активность раствора в опыте составляет — $5,78 \cdot 10^8$ *имп./мин. · г* кальция.

** Поликристалл содержал небольшие включения индия.

Из табл. 2 можно видеть, что сорбция кальция поверхностью моно- кристалла германия достигает примерно тех же количественных значений как и натрия (табл. 1): 1 см² поверх- ности металлического германи- поглотит $5,4 \cdot 10^{-6}$ г-ионов кальция.

В опыт бралось: кальция, счита- на металл — 0,163 г

Удельная активность в каждо- опыте составляла — $1,248 \cdot 10^{10}$ *имп./мин. · г* кальция.

Из табл. 3 видно, что поликри- сталлическая поверхность металли- ческого германия почти в одинаково- мере с монокристаллами этого эле- мента сорбирует ионы кальци- (порядок поглощения один и тот же 10^{-6} г/см²). Сорбированные повер- ностью поликристаллов германия и-

оны кальция также трудно удаляются. Даже после 2—3 обработок исследу- мого образца кипящей дистиллированной водой кальций все еще удержи- вается на поверхности германия.

Сорбция ионов железа на монокристалла- германия. Радиожелезо Fe⁵⁹ вводилось в реакционную смесь такой- в виде раствора хлорида.

Количество железа в отдельном опыте, считая на металл, — $0,032$ удельная активность железа составляла $2,9 \cdot 10^7$ *имп./мин. · г*, поверхность монокристалла германия $3,51$ см². Результаты опытов приведены в табл.

На основании данных табл. 4 можно заключить, что железо в одинак- вой мере с натрием и кальцием сорбируется поверхностью монокриста- ллического образца германия. Порядок величины сорбции равен 10^{-6} г/см². Сорбированное поверхностью германия железо прочно удерживается, практически не отмывается действием кипящей дистиллированной вод- Только нагревание с концентрированной соляной кислотой уд. вес. 1,1 позволяет освободить германий от сорбированного железа. Повтори- травление очищенных таким путем образцов металлического герман- характеризуется потерей способности последним поглощать из раство- ионы железа. По-видимому, в результате травления металлического ге- мания в растворе перекиси водорода, промывания его в кипящей воде концентрированной соляной кислоте происходит химическая шлифов- поверхности металла. Последняя в значительной мере уменьшается,

Таблица 4

Сорбция железа на монокристалле германия

Десорбция железа водой, г/см ²		Количество железа, отмы- того конц. HCl, г/см ²
первая операция	вторая операция	
Не обнару- жено	Не обнару- жено	$8,1 \cdot 10^{-6}$
То же	То же	$8,1 \cdot 10^{-6}$

виду этого сорбционная способность металлического германия понижается.

За помощь и ценные указания в работе выражаем благодарность г.-корр. АН СССР В. И. Спицыну.

Выводы

1. Обнаружена сорбция катионов натрия, кальция и железа в процессе травления моно- и поликристаллических образцов металлического германия. В 28%-ном растворе перекиси водорода величины сорбции этих катионов близки и составляют 10^{-6} — 10^{-5} г-иона/см² поверхности германия.

2. Многократная обработка протравленных германиевых пластинок кипящей дистиллированной водой не приводит к полному освобождению от металлической поверхности от сорбированных на ней катионов натрия, кальция и железа.

Полное их удаление достигается взаимодействием с горячей соляной кислотой уд. вес 1,1.

3. Отмечено явление искусственно создаваемой пассивности металлического германия по отношению к ионам трехвалентного железа. После травления его в 28%-ном растворе перекиси водорода и промывания в кипящей дистиллированной воде и горячей концентрированной соляной кислоте железо не сорбируется на поверхности металлического германия.

Академия наук СССР
Институт физической химии
Москва

Поступила
27.IX.1956

ЛИТЕРАТУРА

1. J. A. Burton, R. C. Prim, L. P. Slichter, Journ. Chem. Phys., **21**, 1987, 1953.
2. J. T. Lawa. E. E. François, Ann. Acad. Sci, No 4. 58, 721, 1954.
3. L. Roth, L. E. Taylor, Proc. IRE, **40**, 1338, 1952.

A STUDY OF THE SORPTION OF SOME CATIONS BY METALLIC GERMANIUM WITH THE AID OF RADIOACTIVE INDICATORS

I. M. Kuleshov and A. F. Naumova (Moscow)

Summary

The sorption of sodium, calcium and iron cations has been found to take place in the process of the etching of mono- and polycrystalline specimens of metallic germanium. In concentrated hydrogen peroxide solution (28%) the magnitude of sorption is similar for the different cations, equalling 10^{-6} — 10^{-5} g. ion/cm² of the germanium surface.

Repeated treatment of the etched germanium plates with boiling distilled water does not lead to the complete removal from the surface of the sorbed sodium, calcium and iron cations.

Complete removal of the ions from the germanium surface occurred in the presence of hot hydrochloric acid sp. w. 1,1.

Metallic germanium has been found capable of passivation towards trivalent iron ions. The ions are no longer adsorbed on the germanium surface after etching the latter in a 28% hydrogen peroxide solution and washing in boiling distilled water and hot concentrated hydrochloric acid.

МЕХАНИЗМ КОРРОЗИИ МЕТАЛЛОВ В УЗКИХ ЗАЗОРАХ

IV. КОРРОЗИЯ НЕРЖАВЕЮЩИХ СТАЛЕЙ

И. К. Маршаков и И. Л. Розенфельд

Нержавеющие стали во многих средах проявляют высокую коррозионную стойкость, но эти же стали в аналогичных условиях могут подвергаться усиленной коррозии в узких зазорах и щелях.

В литературе имеется много примеров такого типа разрушений [1—10]. Несмотря на теоретический интерес и практическую важность вопроса систематических исследований, посвященных «щелевой коррозии» нержавеющих сталей, не имеется.

Из опубликованных работ значительный интерес для понимания механизма коррозии нержавеющих сталей в зазорах и щелях представляет работа [11], в которой были получены некоторые данные об эффективности «активно-пассивных» элементов. Из приведенных данных (рис. 1) видно, что глубина коррозионных поражений металла в зазоре возрастает прямо пропорционально с увеличением площади металла вне зазора. Это дает основание предположить, что «активно-пассивные» элементы работают с катодным ограничением, а также что катодный процесс контролируется диффузией кислорода.

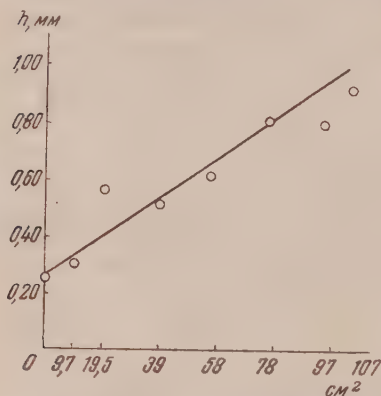


Рис. 1. Зависимость глубины коррозионных поражений нержавеющей стали в зазоре от площади металла, омываемого объемом коррозионной среды. Срок испытания 87 дней.

Естественная морская вода

металла и поверхностью плексигласа, являющейся в 0,5 N NaCl совершенно инертным материалом, а по другому способу зазор создается между двумя поверхностями изучаемого металла. Методика предусматривает весовые коррозионные испытания и электрохимические исследования.

В настоящей работе изучены следующие хромистые стали: НЛ с 3% хрома; 1X13, 2X13, X17, X28 и для сравнения была взята обычная сталь Ст30, содержащая 0,25% хрома.

Наряду с указанными выше сталями, которые находились в закаленном состоянии, нами были также изучены стали 1X13 и 2X13 в отожженном состоянии. Коррозионное поведение сталей изучалось в 0,5 N NaCl, в водопроводной и дистиллированной воде, в условиях, когда исследуемый образец омывался со всех сторон объемом электролита (1 см² : 30 см³). Обычная сталь и малолегированные стали в 0,5 N NaCl и водопроводной воде показали практически одинаковую скорость коррозии, которая примерно равна $125 \cdot 10^{-6}$ г/см² сутки (срок испытания 30 суток). Полученные результаты хорошо согласуются с литературными данными [13]. В дистиллированной воде скорость коррозии этих сталей несколько ниже

Наше исследование ставило своей целью изучить коррозионное поведение в зазорах ряда нержавеющих сталей, исследовать работу «активно-пассивных» элементов и вскрыть механизм так называемой «щелевой коррозии» нержавеющих сталей.

Методика коррозионных испытаний металлов, находящихся в зазорах различной величины, при разных соотношениях поверхностей металла в зазоре и в объеме электролита, была нами опубликована ранее [12]. По этой методике зазоры создаются двумя способами, по одному из которых зазор создается между поверхностью исследуемого

отожженные стали с 13% хрома в 0,5 N NaCl остаются блестящими (с точечными поражениями) только в течение первых суток испытания, а затем покрываются сплошным слоем бурых продуктов коррозии, и скорость коррозии за 30 суток оказывается примерно равной скорости коррозии малолегированной стали в этих же условиях.

Стали с 13% хрома в закаленном состоянии весьма коррозионностойки указанных условиях: их поверхность остается блестящей, и только изредка наблюдаются точечные поражения. Если электролит размещается (т. е. имеется усиленный доступ кислорода к поверхности стали), то вообще никаких поражений не было замечено ни в одном опыте. Отожженные стали с 13% хрома при испытаниях в размещаемой дистиллированной и водопроводной воде тоже не подверглись коррозионным разрушениям. В движущемся 0,5 N NaCl эти стали уже имели коррозионные поражения, которые носили местный характер. Хромистые стали 17 и 28% Cr во всех средах обнаружили хорошую коррозионную стойкость в течение 83 дней. Таким образом, коррозионная стойкость хромистой стали при постоянном содержании хрома сильно зависит от концентрации хлор-иона, скорости подвода кислорода и термической обработки самой стали: чем меньше концентрация хлор-иона, чем интенсивнее скорость подвода кислорода к поверхности стали, тем больше вероятность перехода ее в пассивное состояние. Закаленные стали обнаруживают также и по отношению к общей коррозии большую стойкость, чем отожженные стали. Коррозионное поведение сталей, находящихся в узком зазоре, должно отличаться от их поведения в объеме электролита, так как в узкий зазор сильно затруднен доступ кислорода, который играет чрезвычайно существенную роль в их коррозионном поведении. Скорость коррозии малоуглеродистых сталей, находящихся в зазоре 0,05 мм, как показали наши исследования [14], сильно снижается в результате резкого торможения катодного процесса, обусловленного затруднениями в доступе кислорода. Скорость коррозии малоуглеродистых сталей в 0,5 N NaCl в зазоре 0,05 мм равна $8 \cdot 10^{-6}$ г/см² сутки. Коррозионное поведение малолегированных сталей в аналогичных зазорах не отличается от поведения малоуглеродистой стали. Скорость коррозии стали НЛ с 3% Cr в зазоре 0,05 мм невелика и определялась величиной $10 \cdot 10^{-6}$ г/см² сутки. Высоколегированные стали (13% Cr и больше) в узких зазорах, как правило, подвергаются местной коррозии. Закаленные стали с 13% хрома особенно сильно подвергаются местной коррозии, хотя общие коррозионные потери невелики и не превышают $20 \cdot 10^{-6}$ г/см² сутки. Эти же стали, но в отожженном состоянии, в узком зазоре почти совсем не корродируют. Однако если отожженные стали испытывать в размещаемом электролите, то они в объеме пассивируются, а в зазоре подвергаются сильной местной коррозии.

Хромистые стали с 17% хрома, находящиеся в узких зазорах, вначале не подвергаются коррозии, но через 28—30 суток обычно на металле появляются язвенные разрушения, хотя общие потери невелики и за 38 дней испытаний составляют $11 \cdot 10^{-6}$ г/см² сутки. Сталь с 28% хрома испытывалась в зазоре 0,05 мм в течение 83 дней и на ней имелся лишь небольшой беловатый налет и в некоторых местах темные точки.

Таким образом из изложенного экспериментального материала следует, что более сильные коррозионные поражения сталей, находящихся в узких зазорах, по сравнению с коррозионными поражениями в объеме электролита наблюдаются только в тех случаях, когда эта же сталь в объеме электролита находится в пассивном состоянии. Пассивное состояние обычной малоуглеродистой стали и малолегированной стали может наблюдаться только в специальных условиях при чрезвычайно интенсивном доступе кислорода или в присутствии каких-либо других окислителей. В обычных условиях в 0,5 N NaCl они находятся в активном состоянии. Поскольку эти стали корродируют с кислородной деполяризацией, то

скорость их коррозии в объеме электролита превышает скорость коррозии в зазоре, куда доступ кислорода затруднен.

Высоколегированные стали (13% хрома и выше) в объеме электролита как правило, находятся в пассивном состоянии. Однако когда эти стали находятся в узком зазоре, где доступ кислорода к поверхности металла несравненно хуже, чем в объеме электролита, то имеется значительно большая вероятность нарушения пассивного состояния сталей, а следовательно, и возникновения коррозионных разрушений. Общее увеличение коррозионных потерь в данном случае (от $8 \cdot 10^{-6}$ г/см² сутки для обычной стали до $20 \cdot 10^{-6}$ г/см² сутки для стали 2×13) можно объяснить тем, что коррозионные поражения носят язвенный характер, и продукты коррозии

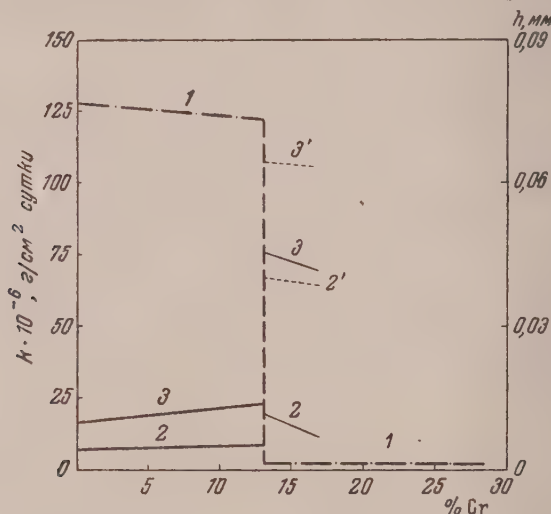


Рис. 2. Скорость коррозии и глубина коррозионных поражений стали с различным содержанием хрома в 0,5 N NaCl. 1 — скорость коррозии в объеме электролита; 2 — скорость коррозии в зазоре 0,05 мм при соотношении площади металла в объеме и площади металла в зазоре равным нулю, т. е. весь металл находится в зазоре ($S_1 : S_2 = 0$); 2' — глубина коррозионных поражений в зазоре 0,05 мм при $S_1 : S_2 = 0$; 3 — скорость коррозии в зазоре 0,05 мм при $S_1 : S_2 = 1$ (15 : 15 см²); 3' — глубина коррозионных поражений в зазоре 0,05 мм при $S_1 : S_2 = 1$

сосредотачиваются в отдельных местах и не заполняют весь зазор и тем самым не препятствуют диффузии кислорода к участкам металла, которые работают катодами.

На рис. 2 показано, как изменяется скорость коррозии хромистых сталей в 0,5 N NaCl при разных содержаниях хрома (кривая 1). Содержание 13% хрома в стали (закаленная) достаточно, чтобы она была коррозионно-стойкой (пассивное состояние). Снижение содержания хрома в твердом растворе (отжиг) приводит к тому, что пассивное состояние сплава в 0,5 N NaCl не устанавливается, и сталь подвергается коррозии. Кривая 2 показывает зависимость скорости коррозии стали в зазоре 0,05 мм от содержания хрома. Стали, содержащие менее 13% хрома, а также отожженные стали с 13% хрома в зазоре корродируют равномерно, и скорость процесса невелика. Коррозионные потери закаленных сталей с 13% хрома в зазоре 0,05 возрастают до $20 \cdot 10^{-6}$ г/см² сутки и разрушения носят локализованный характер. Кривая 2' показывает среднюю глубину коррозионного поражения из трех наибольших.

В практических условиях металл, находящийся в узком зазоре, кор

одирует при наличии контакта с металлом, омываемым объемом электролита, поэтому нами было изучено коррозионное поведение хромистых сталей в зазоре 0,05 мм при наличии такого контакта. Соотношение площадей металла в объеме электролита и в зазоре было взято равными единице ($15 \text{ см}^2 : 15 \text{ см}^2$). Кривая 3 на рис. 2 показывает величину коррозионных потерь сталей, содержащих различное количество хрома, а кривая 3' — глубину коррозионных поражений. Мы видим, что наличие контакта с металлом в объеме электролита сильно увеличивает коррозионные поражения металла, находящегося в зазоре.

Дальнейшее изучение коррозии нержавеющей стали в узких зазорах было проведено на примере стали, содержащей 13% хрома (закаленная сталь 2Х13). На этих сталях наиболее ярко проявляется щелевая коррозия.

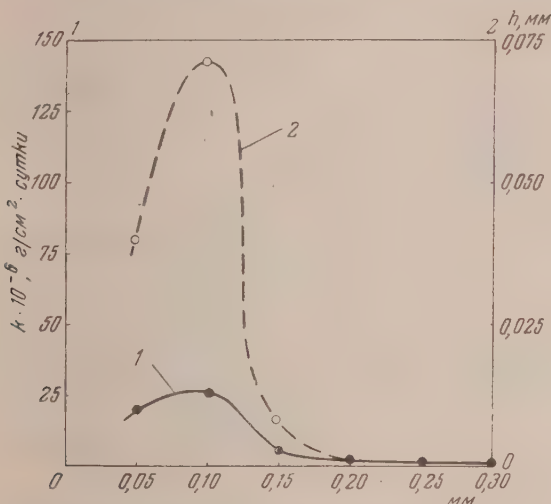


Рис. 3. Скорость коррозии и глубина коррозионных поражений стали 2Х13 в зазоре различной ширины, в 0,5 N NaCl. Срок испытаний 52 дня. 1 — скорость коррозии; 2 — средняя глубина язв

На рис. 3 показана скорость коррозии (кривая 1) и средняя глубина коррозионных поражений (кривая 2) на стали 2Х13 в зазорах разной ширины в условиях, когда вся поверхность металла находится в узком зазоре. Длительность коррозионных испытаний была 52 суток.

Из приведенных данных видно, что кривая коррозионных потерь имеет максимум при зазоре 0,10 мм. Его появление, вероятно, обусловлено облегчением диффузии кислорода в зазор, определяющего скорость анодного процесса. На кривой 2 максимум выявляется очень четко и обусловлен той же причиной. Кислород, попадающий в широкий зазор в больших количествах, помимо увеличения скорости деполяризации вызывает сокращение площади активных участков (анодных участков), что ведет к увеличению глубины коррозионных поражений. Но при зазорах 0,15 мм и более широкий кислород поступает столько, что вся поверхность стали переходит в пассивное состояние, и, следовательно, металл не разрушается. На рис. 4 показаны те же зависимости, но при наличии контакта с металлом, омываемым объемом электролита. Соотношение площадей было взято 1 : 1. Здесь уже основную роль играет эффективность работы макропары «металл в объеме — металл в зазоре», или активно-пассивного элемента. В результате их работы коррозионные потери и глубина поражений сильно возрастают, причем усиленные кор-

розионные разрушения стали наблюдаются при более широких зазорах. На рис. 5 представлена зависимость скорости коррозии стали 2Х13 в зазоре 0,05 мм от соотношения площади металла в объеме к площади

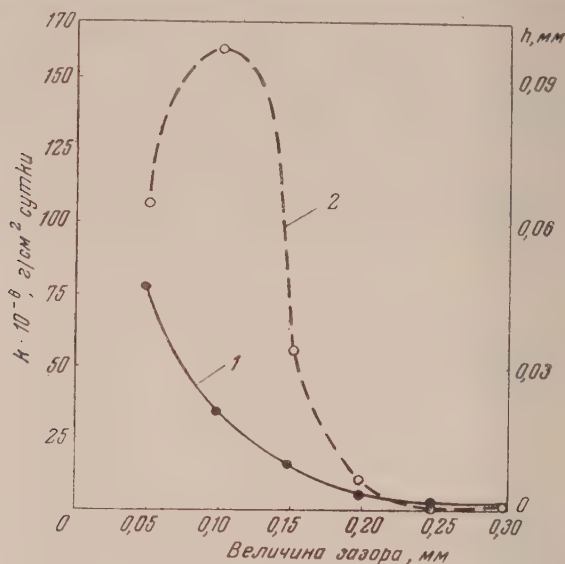


Рис. 4. Скорость коррозии и глубина коррозионных поражений стали марки 2Х13 в зазоре различной ширины при $S_1 : S_2 = 1$ (15 : 15 см²) в 0,5 N NaCl. Срок испытаний 52 дня. 1 — скорость коррозии; 2 — средняя глубина язв

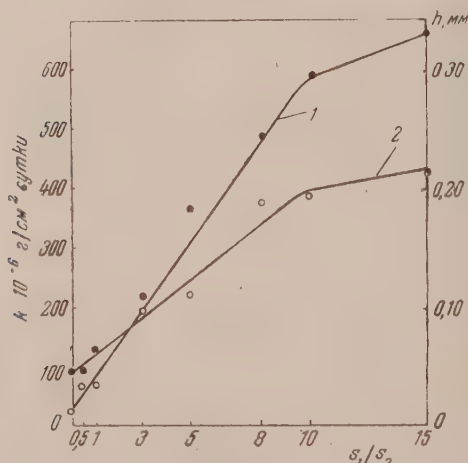


Рис. 5. Зависимость скорости коррозии и глубины коррозионных поражений стали 2Х13 в зазоре 0,05 мм от площади металла, омываемого объемом электролита. Срок испытаний 52 дня. Электролит 0,5 N NaCl. 1 — скорость коррозии; 2 — средняя глубина язв

в зазоре. Из рисунка видно, что скорость коррозии металла в зазоре с увеличением отношения до 10 возрастает прямолинейно, после чего наблюдается некоторый спад нарастания коррозии. Зависимость глубины коррозионных поражений от указанного соотношения (см. кривую 2) имеет

налогичный вид. Вид кривых указывает на то, что катодный процесс при работе коррозионных макропар металл в объеме — металл в зазоре соотношений, равных 10, протекает с диффузионным контролем, а при больших соотношениях скорость катодного процесса контролируется диффузией кислорода. Механизм работы подобных элементов вскрывается наиболее полно при рассмотрении рис. 6, на котором показана работа таких элементов.

Вначале не наблюдалось никакого тока между пластинками металла в объеме, и только по истечении определенного времени, которое зависит от содержания хрома в сплаве, возникает ток, который постепенно растет и достигает своего максимального значения: чем меньше хрома в стали, тем быстрее начинают действовать активно-пассивные элементы. На сталях 2Х13 ток возникает примерно через 30 час. после погружения пары

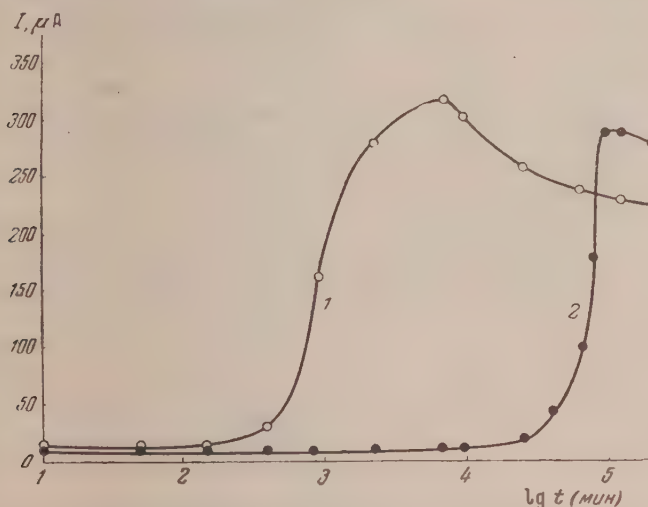


Рис. 6. Изменение силы тока коррозионных макропар металл в объеме — металл в зазоре 0,05 мм во времени в 0,5 N NaCl. 1 — сталь 2Х13 и 2 — сталь Х17

коррозионную среду, а на стали Х17 — через 28—30 суток. Наши измерения показали, что начальная разность потенциалов таких элементов достигает 0,55 В, анодный контроль составляет 4—20%, катодный контроль — 80—96%, а омический контроль очень мал и не поддается графическому определению.

Рассмотрение экспериментального материала по коррозии нержавеющей сталей в зазорах позволяет высказать некоторые соображения о механизме их коррозионного разрушения. Когда сталь содержит такое количество хрома, которое недостаточно для того, чтобы перевести ее в пассивное состояние в 0,5 N NaCl, коррозия металла в зазоре протекает по предложенному ранее механизму [14], исходящему из того, что в результате сильного торможения катодного процесса скорость коррозии такой стали в зазорах меньше, чем в объеме электролита. Работа пар дифференциальной аэрации в данных условиях мало эффективна за исключением специальных условий. Если же в стали содержится такое количество хрома, которое способно перевести ее в объеме электролита в пассивное состояние, то сталь в зазоре подвергается усиленному разрушению. Как было показано выше, это разрушение возникает вследствие того, что в зазор доступ кислорода затруднен, и поэтому пассивное состояние стали в зазоре очень неустойчиво и может нарушаться в некоторых частях поверхности металла. Наши исследования указывают на то, что вначале сталь находится в пассивном состоянии и только по прошествии

определенного времени, которое зависит от содержания хрома, она переходит в активное состояние: чем меньше хрома в стали, тем раньше она разрушается в зазоре пассивное состояние. В тонких зазорах пассивное состояние может нарушиться почти на всей поверхности стали, находящейся в зазоре, а в более широких — только на части поверхности. Глубина коррозионных поражений в весьма узких зазорах будет поэтому меньше чем в более широких. Наличие контакта между сталью в зазоре и сталью находящейся в объеме электролита, приводит к очень сильному возрастанию скорости коррозии стали, находящейся в зазоре, в результате работы активно-пассивных элементов, анодом которых является металл, находящийся в зазоре. Подкисление электролита в зазоре, которое происходит при работе таких элементов [15], способствует стабилизации их работы и увеличению эффективности.

Выводы

1. Исследовано коррозионное и электрохимическое поведение хромистых сталей в 0,5 *N* NaCl в узких зазорах. Установлено, что пассивное состояние сталей, содержащих 13—17% хрома, в узких зазорах нарушается, что приводит к сильному питтингообразованию. При наличии контакта со сталью, омываемой объемом электролита, глубина коррозионных поражений сталей в зазоре увеличивается за счет образования активно-пассивных элементов.

2. Вскрыт механизм нарушения пассивного состояния металла, находящегося в зазоре. Показано, что усиленные коррозионные разрушения нержавеющей сталей в зазоре обусловлены не работой пар дифференциальной аэрации, а нарушением пассивного состояния вследствие затруднения в доступе кислорода в зазор.

Академия наук СССР
Институт физической химии
Москва

Поступила
29.IX.1956

ЛИТЕРАТУРА

1. Коррозия металлов, т. 1, Госхимиздат, 1952.
2. Ю. Р. Эванс, Коррозия, пассивность и защита металлов, Металлургиздат, 1941.
3. E. V. Kunkel, Corrosion, 10, 260, 1954.
4. D. R. Kesck, Canad. Chem. Processing, 37, 40, 1953.
5. D. K. Kesck, Canad. Mining and Metallurg Bull., 46, 28, 1953.
6. A. H. Wakeman, Milk Plant Monthly, 42, 27, 41, 1953.
7. E. H. Wyche, R. V. Lorrain and F. L. Que, Trans. Electrochem. Soc., 89, 149, 1946.
8. T. P. May and H. A. Hamble, Corrosion, 8, 50, 1952.
9. H. B. Bomberger, P. J. Combourolis and E. H. Hutchinson, Journ. Electrochem. Soc., 101, 442, 1954.
10. T. H. G. Monypenny, Stainless, Iron and Steel, 1, 269, 1951.
11. O. B. Eliss and F. S. La Que, Corrosion, 7, № 11, 362, 1951.
12. И. Л. Розенфельд и И. К. Маршаков, Зав. лабор., 21, 1346, 1955.
13. В. Ф. Негреев, Коррозия нефтяных промыслов, Азнефтеиздат, Баку, 1951.
14. И. Л. Розенфельд и И. К. Маршаков, Журн. физ. химии, 30, 2724, 1956.
15. И. Л. Розенфельд и И. К. Маршаков, Журн. физ. химии, 31, 2328, 1957.

ON THE MECHANISM OF STAINLESS STEEL CORROSION IN NARROW SLITS AND CREVICES

I. K. Marshakov and I. K. Rosenfel'd (Moscow)

Summary

A study has been made of the corrosion and electrochemical behavior in narrow slits and crevices in 0.5 *N* NaCl solutions of the steels X28, X17, 2X13, NL with 3% Cr and low carbon steel. Steel with a 13—17% chromium content has been found to lose its passivity in narrow slits and crevices and to undergo considerable pitting corrosion.

The corrosion of the stainless steel in the crevice in contact with that in the bulk of the electrolyte increases greatly owing to the formation of active-passive cells, the anode of which is the metal in the crevice.

The function of such macrocouple has been studied and the cause of their appearance has been indicated, being the hindered access in the crevice to oxygen.

О КИНЕТИКЕ И МЕХАНИЗМЕ ВОССТАНОВЛЕНИЯ ОКИСЛОВ КОБАЛЬТА

А. Н. Кузнецов, А. А. Шестопалова и Н. Ф. Кулиш

Кислородные соединения кобальта, как наиболее важные промежуточные продукты дальнейшей переработки этого металла, изучены недостаточно. Из многочисленных окислов кобальта (CoO , Co_3O_4 , Co_2O_3 , Co_6O_7 , Co_4O_5 , Co_7O_{10} и др.) удалось индивидуализировать только три: CoO , Co_3O_4 и Co_2O_3 [1].

Также недостаточно изучен процесс восстановления окислов кобальта, а восстановление Co_2O_3 , по-видимому, никем не изучалось.

Подробный обзор работ по соединениям кобальта был дан в монографии Ф. М. Пельмана, А. Я. Зворыкина и Н. В. Гудима [1].

Имеющиеся в литературе данные по этому вопросу противоречивы. Так, например, Г. Ключников [2], Ф. М. Перельман с сотрудниками [1] и др. считают, что окислы кобальта склонны к образованию твердых растворов переменного состава.

В то же время Г. И. Чуфаров с сотрудниками [3] отрицают возможность образования твердых растворов Co_3O_4 — CoO и CoO — Co . Эти авторы показали, что равновесия упругости кислорода при термической диссоциации Co_3O_4 не зависят от процентного содержания кислорода в твердой фазе.

По данным работы [3] кинетическая кривая процесса восстановления Co_3O_4 водородом при давлении от 100 до 400 мм рт. ст. и при температурах от 200 до 350° С имеет лом в точке превращения Co_3O_4 в CoO . По мнению авторов [3], отмеченные выше данные говорят об отсутствии образования твердых растворов в процессе восстановления окислов кобальта и о двухступенчатом характере восстановления Co_3O_4 : $\text{Co}_3\text{O}_4 \rightarrow \text{CoO}$ и $\text{CoO} \rightarrow \text{Co}$.

Все эти факты привели нас к необходимости заняться более детальным исследованием процесса восстановления окислов кобальта.

Экспериментальная часть

Исследование проводилось в герметичной установке циркуляционного типа, описанной в [5]. Установка была несколько усовершенствована. Для регулировки температуры нагрева применен электронный терморегулятор.

В установку вмонтирован насос Лангмюра, манометр Мак-Леода, форконтакт для более тонкой очистки газа-восстановителя от кислорода и двоянная компенсационная сеть, позволявшая проводить процесс восстановления более глубоко — вплоть до металла.

Для исследования был применен препарат марки «ч. д. а.». Перед исследованием препарат нами длительное время выдерживался при 250° С в атмосфере кислорода до постоянного веса. По данным элементарного анализа он содержал ~ 50% Co_2O_3 и ~ 50% Co_3O_4 .

По данным же рентгеноструктурного анализа, проведенного нами, препарат имел решетку типа шпинели, совершенно аналогичную с решеткой Co_3O_4 .

На рис. 1 приведены рентгенограммы исходного препарата (а) и Co_3O_4 (б). Co_3O_4 мы получали из исходного препарата путем прокаливании его в атмосфере воздуха при 800° С до постоянного веса. Элементарный анализ Co_3O_4 подтвердил его состав.

Из рентгенограмм видно, (см. рис. 1а, б) что Co_3O_4 отличается от исходного препарата только более упорядоченной кристаллической решеткой. На рентгенограмме (рис. 1, б) линии обозначены более четко. Таким образом нами проводилось исследование на препарате Co_3O_4 , более или менее полно насыщенном кислородом, состав которого можно выразить в виде $\text{Co}_3\text{O}_4 \cdot \text{O}_x$.

Окисел стехиометрического состава Co_2O_3 , очевидно, получить чрезвычайно трудно.

Порошок исходного окисла спрессовывался ручным винтовым прессом в таблетки весом около 0,5 г, диаметром 11 мм и толщиной около 3 мм. Восстановление проводилось водородом при давлении около 525 мм рт. ст. при 195, 220, 246, 271 и 296° С. Результаты опытов наносились на график в виде дифференциальных кинетических кривых.

При построении дифференциальных кинетических кривых на оси абсцисс откладывался объем потребленного водорода в миллилитрах, пересчитанный к нормальным условиям и на 1 г восстанавливаемого окисла, а на оси ординат — скорость процесса, выраженная количеством миллилитров водорода, потребленным за 1 мин. 1 г исходного окисла.

На рис. 2 и 3 представлены примеры дифференциальных кинетических кривых процесса восстановления $\text{Co}_3\text{O}_4 \cdot \text{O}_y$ водородом при разных температурах.

Из рисунков следует, что окислы кобальта водородом восстанавливаются легче, чем соответствующие окислы железа. Так, ниже 250°C Fe_2O_3 практически не восстанавливается водородом [4], тогда как $\text{Co}_3\text{O}_4 \cdot \text{O}_y$ даже при 195°C восстанавливается со вполне измеримой скоростью.

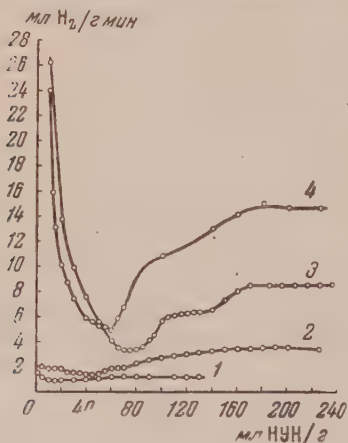


Рис. 2. Зависимость скорости восстановления Co_3O_4 водородом от степени восстановления при температурах: 1— 195° ; 2— 220° ; 3— 246° ; 4— 271°C

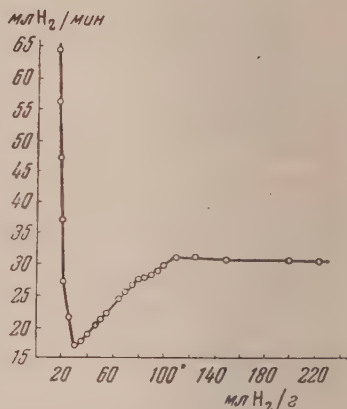


Рис. 3. Зависимость скорости восстановления Co_3O_4 водородом от степени восстановления при 296°C

Восстановление $\text{Co}_3\text{O}_4 \cdot \text{O}_y$ при данных температурах осуществляется в две стадии. Г. П. Чуфаров с сотрудниками [3] показали, что Co_3O_4 восстанавливается в две стадии: $\text{Co}_3\text{O}_4 \rightarrow \text{CoO}$ и $\text{CoO} \rightarrow \text{Co}$. Нами установлено, что это имеет место только при температурах восстановления выше 300°C , при которых Co_3O_4 восстанавливается в две, а $\text{Co}_3\text{O}_4 \cdot \text{O}_y$ соответственно — в три стадии. Следовательно, при восстановлении окислов кобальта, как и в случае окислов железа, имеется такая температура, выше которой становится устойчивой фаза CoO , способная накапливаться в восстанавливаемой твердой фазе. Особенности восстановления $\text{Co}_3\text{O}_4 \cdot \text{O}_y$ при температурах выше 300°C будут изложены в последующем сообщении.

На дифференциальных кривых в точке превращения фаз имеет место резкий излом. Однако точка излома кривой в зависимости от температуры восстановления значительно смещается в ту или другую сторону от теоретической точки, соответствующей превращению $\text{Co}_3\text{O}_4 \cdot \text{O}_y$ в Co_3O_4 согласно стехиометрическому расчету. Чем ниже температура, тем в большей степени точка излома кривой смещается в область более глубокого восстановления $\text{Co}_3\text{O}_4 \cdot \text{O}_y$ и все же не доходит до теоретической точки перехода $\text{Co}_3\text{O}_4 \cdot \text{O}_y$ в CoO (рис. 2 и 3). При высоких температурах этот излом наступает даже несколько раньше теоретической точки превращения $\text{Co}_3\text{O}_4 \cdot \text{O}_y$ в Co_3O_4 .

На первой стадии восстановления $\text{Co}_3\text{O}_4 \cdot \text{O}_y$ автокаталитическое развитие процесса не имеет места, период индукции отсутствует. Реакция восстановления начинается максимальной скоростью, которая постепенно понижается до минимума в точке превращения соответствующих фаз.

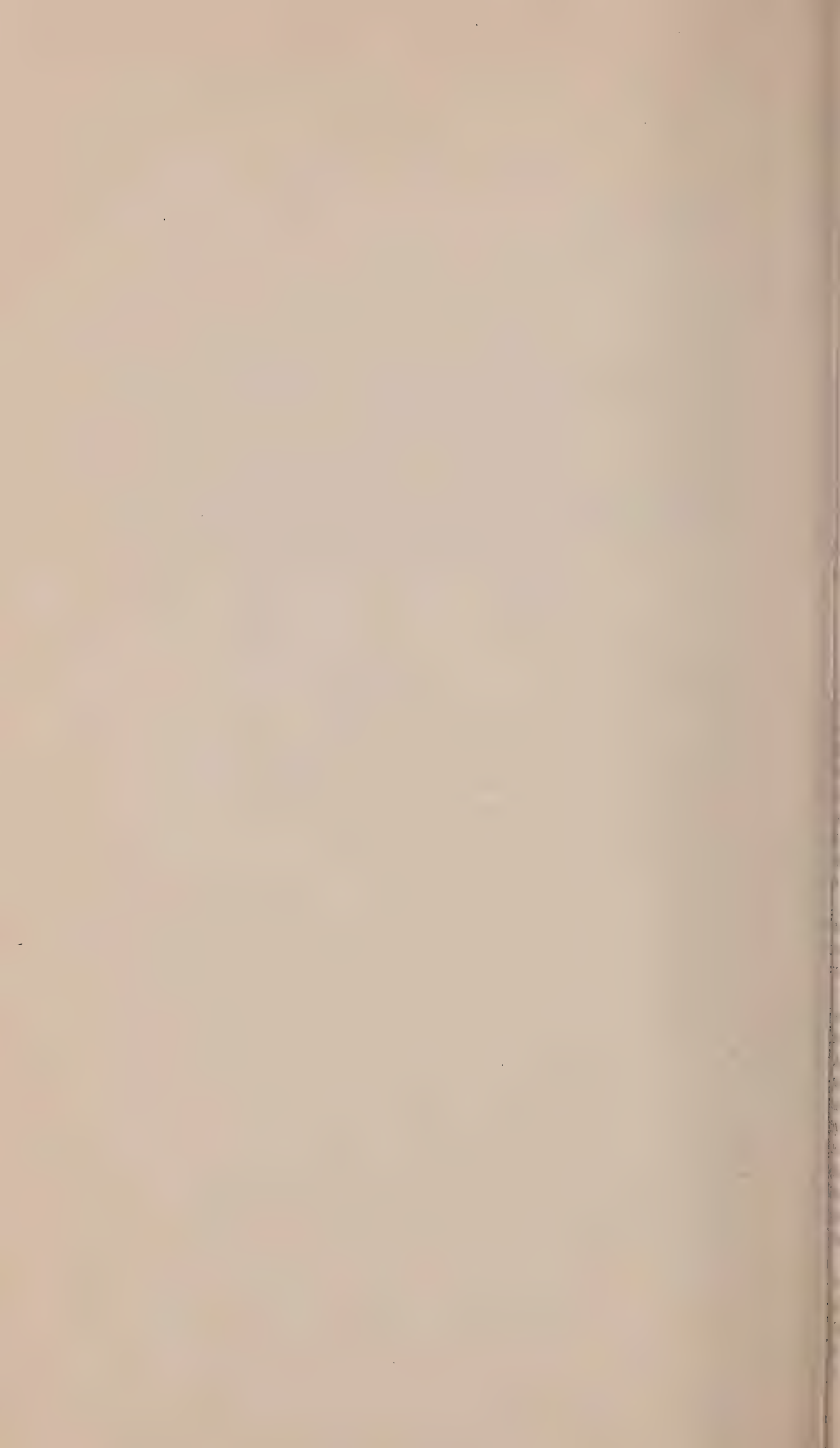
a



б



Рис. 1. Рентгенограммы: *a* — исходного препарата, *б* — Co_3O_4



На второй стадии восстановления процесс имеет отчетливо выраженный токаталитический характер. При низких температурах $195-220^\circ\text{C}$ токатализ выражен менее четко, чем при более высоких ($271-296^\circ$).

При температурах выше 230°C на второй стадии восстановления, сразу за автокаталитической областью, скорость процесса примерно в два раза меньше начальной скорости восстановления $\text{Co}_3\text{O}_4 \cdot \text{O}_v$.

При температурах же $220-230^\circ\text{C}$, наоборот, скорость процесса на второй стадии примерно в два раза больше начальной скорости восстановления $\text{Co}_3\text{O}_4 \cdot \text{O}_v$.

На рис. 4 представлена зависимость $\lg(k \cdot 10^2)$ от $\frac{1}{T} \cdot 10^3$.

Значения k были взяты на степени восстановления в 45 %.

Из графика видно, что в основном экспериментальные точки удовлетворительно укладываются на одной прямой, однако и на этом графике точки, отвечающие температуре $220-246^\circ\text{C}$, оказались выше прямой, что говорит о том, что температурный коэффициент реакции в области $195-246^\circ\text{C}$ выше, чем при более высоких температурах.

Кажущаяся энергия активации процесса $\text{Co}_3\text{O}_4 + 4\text{H}_2 \rightarrow 3\text{Co} + 4\text{H}_2\text{O}$, рассчитанная по рис. 4, равна 17,8 ккал.

Обсуждение результатов

В. И. Архаров [5] детально исследовал процесс окисления железа, кобальта и других металлов. Он пришел к выводу о том, что реакционная диффузия элементарных частиц кобальта в решетках окисла в процессе окисления металла играет хотя и меньшую роль, чем в случае железа, но все же весьма значимую. Им было установлено, что в решетках окислов кобальта имеются более благоприятные условия для диффузии атомов кислорода, чем элементарных частичек металла, и все же кристаллохимия окислов кобальта весьма сходна с таковой для окислов железа.

Наши экспериментальные данные вполне убедительно говорят о большом сходстве механизма восстановления окислов кобальта с механизмом восстановления окислов железа, наиболее вероятная схема которого предложена В. А. Ройтером с сотрудниками [4].

В случае восстановления окислов кобальта, при наличии твердого раствора $\text{Co}_3\text{O}_4 \cdot \text{O}_v$ в процессе восстановления отсутствует необходимость в образовании зародышевых центров кристаллизации новой фазы Co_3O_4 , поэтому реакция восстановления $\text{Co}_3\text{O}_4 \cdot \text{O}_v$ начинается сразу же максимальной скоростью по всему объему образца в точках кристаллов, где кислород наиболее доступен для удаления, и период индукции отсутствует. По мере обеднения раствора кислородом скорость реакции все время понижается и достигает минимума в точке превращения соответствующих фаз. С этого момента начинается образование зародышевых центров кристаллизации новой фазы металлического кобальта, а процесс строго локализуется на границе раздела этих фаз и далее протекает по законам топотимических реакций.

В процессе накопления фазы металлического кобальта, связанном в значительной степени с развитием реакционных цепей, увеличивается реакционная зона, и скорость процесса восстановления возрастает до определенного максимума. Затем кристаллы металлического кобальта, по мере роста, сливаются, уменьшается реакционная зона, а следовательно, понижается и скорость процесса.

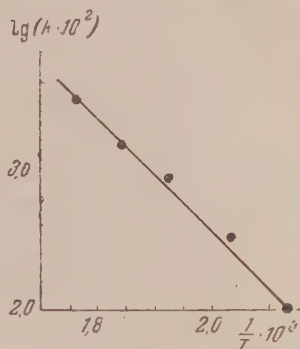


Рис. 4. Зависимость $\lg(k \cdot 10^2)$ от $\frac{1}{T} \cdot 10^3$

Нисходящие ветви кривых на графиках нами не даны, потому что это привело бы к сильному уменьшению масштаба графиков и не внесло бы большей ясности в сущность кристаллохимических превращений.

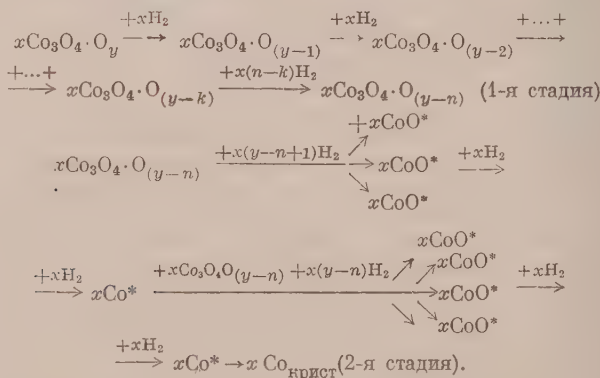
Наряду с большим сходством кинетических закономерностей процесса восстановления окислов кобальта с кинетическими закономерностями процесса восстановления окислов железа, есть и существенные отличия.

Как отмечалось выше, начальная скорость процесса восстановления $\text{Co}_3\text{O}_4 \cdot \text{O}_y$ при температуре выше 230°C примерно в 2—3 раза больше скорости процесса на второй стадии — сразу же за автокаталитической областью. При температуре $220\text{—}230^\circ\text{C}$ скорость на второй стадии примерно в 2 раза больше начальной, а при температуре 195°C и ниже излома кривой не наблюдается, и процесс протекает с незначительной, постоянной скоростью.

Кроме того, если появляется излом кривой при соответствующих температурах, то он, в отличие от восстановления Fe_2O_3 , меняет свое положение на кривой, смещается или в область более глубокого восстановления при низких температурах, или наступает раньше расчетной точки превращения $\text{Co}_3\text{O}_4 \cdot \text{O}_y$ в Co_3O_4 . Эту закономерность нельзя объяснить недостатками эксперимента, связанными с тем, что при высоких температурах скорость процесса велика, и до начала отсчета успевает восстановиться образец на ту или иную глубину. Чтобы предупредить эту ошибку нами была проведена серия опытов при давлении водорода в 100 мм рт. ст., отсчет скорости проводили через 10 сек. В этих условиях скорость процесса была мала, и все же закономерность повторялась.

Нам кажется, что смещение излома кривой и отсутствие автокатализа при температурах ниже 195°C также нельзя объяснить явлениями адсорбции H_2 и H_2O , с одной стороны, на $\text{Co}_3\text{O}_4 \cdot \text{O}_y$ и Co_3O_4 , а с другой — на Co_3O_4 и Co .

По нашему мнению, особенность кинетических закономерностей процесса восстановления окислов кобальта, как и в случае восстановления окислов железа, связана с кристалло-химическими превращениями восстанавливаемых твердых фаз, со своеобразной реакционной диффузией элементарных частичек кристаллических решеток восстанавливаемых окислов. Мы предлагаем следующую схему механизма восстановления фазы $\text{Co}_3\text{O}_4 \cdot \text{O}_y$, которая, по нашему мнению, хорошо объясняет полученные экспериментальные данные:



Как CoO^* , так и Co^* мы не рассматриваем в виде изолированных частичек на поверхности кристалла, а рассматриваем их как временно, в процессе восстановления, образующиеся активные участки кристалла, приводящие к разрушению его.

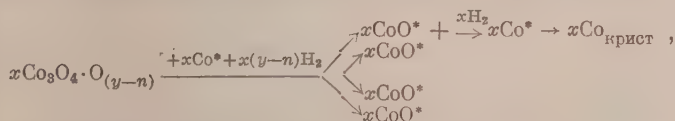
Из литературных данных [2,4] известно, что фаза Co_3O_4 также не отличается такой строгой гомогенностью, как Fe_3O_4 , для нее устойчив окисел состава $\text{Co}_3\text{O}_{3,98}$ или еще несколько более обедненный кислородом.

По этой причине кристаллическая решетка $\text{Co}_3\text{O}_4 \cdot \text{O}_y$, аналогичная Co_3O_4 , при низких температурах восстановления сохраняется не только вплоть до отнятия количества кислорода, способного связать 22,5 мл H_2 , что соответствует превращению 1 г $\text{Co}_3\text{O}_4 \cdot \text{O}_y$ в Co_3O_4 , но и несколько большего; причем чем ниже температура восстановления, тем больше. Благодаря замедленной реакционной диффузии элементов решетки, задерживается ее перестроение, т. е. это перестроение происходит в области более глубокого восстановления фазы $\text{Co}_3\text{Co}_2\text{O}_4 \cdot \text{O}_y$, чем при высоких температурах, за точкой изменения стехиометрического состава $\text{Co}_3\text{O}_4 \cdot \text{O}_y$ в Co_3O_4 .

Иначе говоря, при низких температурах восстановления процесс начинает протекать по второй стадии приведенной схемы только при $y < n$. Благодаря этому скорость процесса восстановления $\text{Co}_3\text{O}_4 \cdot \text{O}_y$ от максимального значения постепенно понижается и имеет минимальное значение в точке начала перестроения решеток, где течение процесса энергетически затруднено. С этого момента возникают зародышевые центры кристаллизации новой фазы — металлического кобальта. Образование центров кристаллизации кобальта и рост кристаллов происходят во времени, что порождает период индукции процесса.

Вполне возможно, что при очень низких температурах восстановления (95° и ниже) настолько сильно заторможена реакционная диффузия частиц металла решетки, что она практически не сказывается на процессе восстановления, а восстановление идет только за счет отнятия кислорода, диффундирующего из объема кристаллика к реакционной поверхности, остов решетки сохраняется вплоть до значительного отнятия кислорода. По этим причинам при 195°C скорость процесса мала и практически не меняется в зависимости от степени восстановления, кинетическая кривая имеет форму почти прямой. Кристаллохимические превращения, связанные с энергетическими затруднениями, перестают лимитировать процесс благодаря тому, что воспроизводство атомов кобальта крайне мало, и процесс лимитируется актом реагирования кислорода с водородом и удалением H_2O .

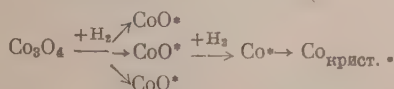
Заслуживает пристального внимания кривая, снятая в серии опытов при температуре 220°C . При этой температуре скорость процесса на второй стадии примерно в два раза больше начальной скорости. Очевидно, только при этой температуре ($220\text{--}230^\circ \text{C}$) реакционная диффузия частиц металла исходной решетки полностью обеспечивает течение процесса через акт:



как более энергетически выгодный.

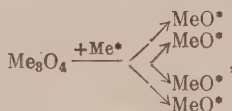
При более высоких температурах, благодаря большой подвижности (реакционной диффузии) элементов решетки исходного окисла и быстрому воспроизводу атомов кобальта, зародышевые центры кристаллизации металлического кобальта возникают еще при наличии в исходном окисле растворенного кислорода, и процесс начинает протекать по второй стадии приведенной схемы уже при $y > n$.

Кроме того, при высокой температуре идет процесс непосредственного отнятия кислорода и от $\text{Co}_3\text{O}_4 \cdot \text{O}_y$, и от Co_3O_4 :



О как и в случае окислов железа, наименее энергетически выгодным является акт отнятия кислорода водородом от Fe_3O_4 , так и в случае вос-

становления окислов кобальта, наименее энергетически выгодным является акт отнятия кислорода водородом от Co_3O_4 , поэтому он имеет место только при относительно высоких температурах; при низких в основном разрушение устойчивой решетки Me_3O_4 идет через акт:



который выгоднее даже акта отнятия водородом растворенного кислорода от $\text{Co}_3\text{O}_4 \cdot \text{O}_y$.

В результате этого при 220—230° С скорость восстановления Co_3O_4 до Co больше, чем начальная скорость восстановления $\text{Co}_3\text{O}_4 \cdot \text{O}_y$ до Co_3O_4 . При высоких температурах соотношение скоростей меняется.

Выводы

1. Исследована кинетика восстановления $\text{Co}_3\text{O}_4 \cdot \text{O}_y$ водородом при разных температурах.
2. Показано, что окислы кобальта водородом восстанавливаются при более низкой температуре, чем соответствующие окислы железа.
3. Установлено, что $\text{Co}_3\text{O}_4 \cdot \text{O}_y$ восстанавливается в две стадии, Co_3O_4 — в одну.
4. Установлено, что процесс восстановления $\text{Co}_3\text{O}_4 \cdot \text{O}_y$ протекает автокаталитически.
5. Показано, что автокаталитическое развитие процесса восстановления Co_3O_4 в значительной степени связано с цепным характером процесса.
6. Кажущаяся энергия активации процесса восстановления Co_3O_4 оказалась равной $\sim 17,8$ ккал.
7. Предложена и обсуждена схема механизма восстановления окислов кобальта, согласующаяся с полученными экспериментальными данными.
8. Показано, что схема механизма восстановления окислов кобальта имеет большое сходство с таковой для восстановления окислов железа [4].

Днепропетровский
химико-технологический институт

Поступила
1.X.1956 г.

ЛИТЕРАТУРА

1. Ф. М. Перельман, А. Я. Зворыкин и Н. В. Гудима, Кобальт, Изд-во АН СССР, 1949.
2. Н. Г. Ключников, Руководство по неорганич. синтезу, Госхимиздат, 1949.
3. Г. И. Чуфаров, М. Г. Журавлева и Е. П. Татиевская, ДАН СССР, ОТН, 73, № 6, 1950.
4. В. А. Ройтер, В. А. Юза, А. Н. Кузнецов, Журн. физ. химии, 25, 960, 1951.
5. В. И. Архаров, Окисление металлов, Металлургиздат, 1945.

THE KINETICS AND MECHANISM OF THE REDUCTION OF COBALT OXIDES A. N. Kuznetsov, A. A. Shestopalova and N. F. Kulish (Dnepropetrovsk)

Summary

The rate of reduction of $\text{Co}_3\text{O}_4 \cdot \text{O}_y$ by hydrogen has been studied at various temperatures. The reduction has been shown to take place at lower temperatures than for the corresponding iron oxides. $\text{Co}_3\text{O}_4 \cdot \text{O}_y$ has been found to be reduced in two stages and Co_3O_4 in a single stage.

The autocatalytic development of the Co_3O_4 reduction process has been shown to be related in a large degree to its chain character.

The apparent activation energy of the process $\text{Co}_3\text{O}_4 + 4\text{H}_2 \rightarrow 3\text{Co} + 4\text{H}_2\text{O}$ was determined to be equal to $\sim 17,8$ kcal.

A mechanism of the reduction of the cobalt oxides has been proposed and discussed that is in agreement with the experimental data obtained. The mechanism has been shown to be quite similar to that for the reduction of iron oxides [4].

ИССЛЕДОВАНИЕ ОКИСЛЕНИЯ МЕТАЛЛОВ В УСЛОВИЯХ
ТЛЕЮЩЕГО РАЗРЯДА В КИСЛОРОДЕ*Р. И. Назарова*

Вопрос об окислении металлов, являющихся электродами в цепи тлеющего разряда, представляет несомненный интерес как для выяснения механизма процесса, так и с практической точки зрения в связи с уточнением влияния электрического поля на коррозионную стойкость материалов. Вместе с тем до сих пор ему не уделено достаточного внимания (см. —31).

В ряде работ изучался механизм электролитического окисления алюминия и тантала [4—9]. Однако возможность протекания в этих условиях побочных реакций сильно затрудняет интерпретацию экспериментальных данных.

В настоящей работе приводятся некоторые данные, характеризующие окисление алюминия, железа, меди, магния и цинка в условиях тлеющего разряда в кислороде. Окислы этих металлов сильно отличаются по своим электрическим и другим свойствам.

Экспериментальная часть

Процесс изучался с использованием трех методов. Кинетические исследования проводились при помощи весового и объемного методов. Результаты исследования скорости окисления металлов сопоставлялись с данными структурного анализа, осуществленного электронографическим методом. Основное внимание в работе было уделено изучению поведения металлов, являющихся анодами в цепи тлеющего кислородного разряда. В этом случае можно ожидать ускорения процесса окисления, тогда как при включении электрода в качестве катода влияние электрического поля должно быть противоположным.

В работе П. Д. Данкова и Д. В. Игнатова [10] электронографическим методом было показано, что на алюминии, независимо от того, является он анодом или катодом в цепи тлеющего кислородного разряда, возникает окисная пленка. Установленную интенсивность процесса окисления авторы отнесли за счет более активной в этих условиях газовой окислительной среды.

Настоящее исследование было выполнено по предложению П. Д. Данкова с целью получения количественных данных, характеризующих процесс окисления некоторых металлов, служащих в качестве анода и катода в цепи тлеющего кислородного разряда.

Методика исследования. В объемном методе количество связанного металлом кислорода определялось по уменьшению давления кислорода, которое измерялось манометром Мак-Леода. Кислород, необходимый для процесса окисления металлов, получался разложением марганцовокислого калия. Очистка кислорода от водяных паров и угольной кислоты осуществлялась при помощи едкого кали. Оставшиеся примеси вымораживались жидким кислородом. Исследовавшиеся образцы металлов получались в виде тонких пленок методом испарения и конденсации металла в вакууме на поверхности стекла. Общее количество испаряемого металла бралось из расчета получения на стенках трубки слоя толщиной в 2000 Å. Испарение металла осуществлялось в стеклянном приборе цилиндрической формы. Слой железа получался испарением железной проволоки, расположенной по оси прибора. Слои других металлов получались испарением тонких полосок металла, помещенных в петлю вольфрамовой проволоки, также расположенной по оси прибора. Для получения равномерного по толщине слоя полоски металла располагались на равном расстоянии друг от друга. Во избежание искривления расположенной по оси прибора проволоки при ее удлинении от нагревания нижний контакт делался подвижным в виде спирали, скользящей по металлическому стержню.

Электродами при осуществлении тлеющего разряда служил полученный описанным выше методом слой металла и алюминиевая проволока диаметром 1 мм, расположенная по оси прибора.

Тлеющий кислородный (аномальный) разряд осуществлялся при помощи кенотронного выпрямителя. Напряжения на электродах составляло 360—400 В, сила разрядного тока порядка 12 мА. Исходное давление в 0,8 мм рт. ст. задавалось путем впускания определенной порции кислорода. Схема прибора приведена на рис.

Использованный в первой серии опытов объемный метод отличается достаточно надежностью. Однако для получения точных данных этим методом необходимо применять образцы с большой поверхностью, которая была порядка 200 см². Следует отметить, что и происходящие в объеме газа процессы рекомбинации несколько затрудняют оценку результатов. В целях изучения процесса окисления массивных образцов был разработан более точный прямой метод взвешивания.

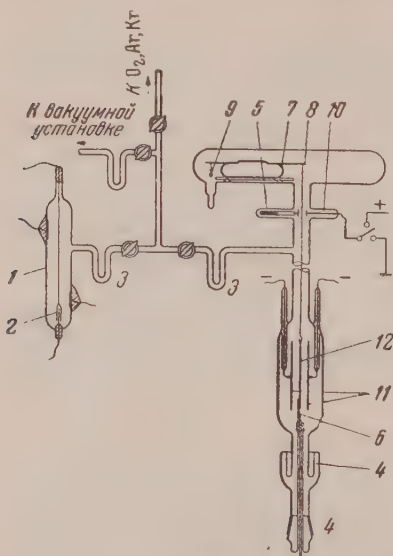


Рис. 1

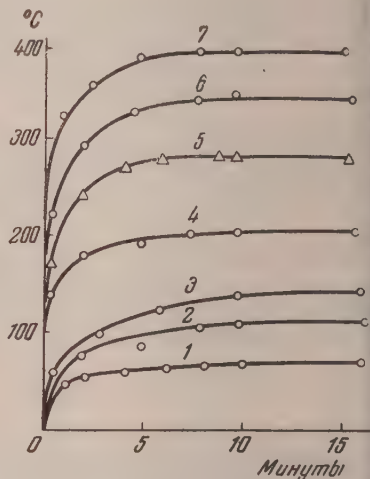


Рис. 2

Рис. 1. Схема установки. 1 — разрядная трубка; 2 — скользящий контакт; 3, 4 — ловушка с жидким O₂; 5 — сердечник электромагнита; 6 — термопара; 7 — рамка кварцевых весов; 8 — коромысло; 9 — противовес; 10 — арретир весов и электрический контакт

Рис. 2. Изменение температуры анода со временем при различных плотностях тока: 1 — 0,5; 2 — 1; 3 — 1,8; 4 — 2; 5 — 2,6; 6 — 3,3 и 7 — 4 мА

В весовом методе скорость окисления определялась по привесу образца в единицу времени. Привес регистрировался по показаниям вакуумных кварцевых коромысловых микровесов с чувствительностью $5 \cdot 10^{-7}$ г, описанных ранее [11]. Особенностью этой конструкции прибора являлась возможность проведения опытов по окислению в условиях использования взвешиваемого образца в качестве анода или катода в цепи тлеющего кислородного разряда. Давление кислорода в системе поддерживалось около 0,8 мм рт. ст. Поверхность образца была порядка 20—60 см². Расстояние между электродами 2 см. Особое внимание было уделено чистоте исходной поверхности. С этой целью использовался метод очистки металла в условиях тлеющего разряда в атмосфере инертного газа. Наряду с использованием массивных образцов изучалось окисление полученных в вакууме свежеконденсированных пленок металла.

Сопоставление результатов весового и объемного методов осложняется тем, что плотность разрядного тока на исследовавшихся образцах была неодинаковой. Это различие вызывалось необходимостью применения в объемном методе больших поверхностей при невозможности повышения соответствующей силы тока, ввиду наступающего перегрева другого, малого по своим размерам электрода: увеличение же размеров второго электрода нельзя было допускать из-за возрастания ошибки, связанной с поглощением им кислорода.

Структура окисла, возникающего при окислении в разряде, устанавливалась по данным электропографического анализа. Для этого использовались образцы, полученные путем конденсации металлического пара в вакууме на свежем сколе слюды. Отслоенные путем постепенного погружения в воду пленки вылавливались затем на электроды, имеющие отверстия 0,5 мм в диаметре. Тонкие 300—400 Å прозрачные

ники перекрывающие отверстия, подвергались электронографическому исследованию на прохождение. От каждого образца до окисления снималась контрольная электронограмма, с которой сравнивались электронограммы, полученные после окисления этого же образца в условиях разряда.

Для изучения влияния нагревания, происходящего в условиях разряда, на скорость окисления, особенно при повышенных плотностях тока (порядка $2-4 \text{ mA/cm}^2$), проводилась зависимость температуры образца, служащего в качестве анода, от плотности разрядного тока. Анализ температурного режима осуществлялся в весовой бие. Температура, развивающаяся в условиях разряда на аноде, измерялась термо-константовой термпарой, введенной через шлиф. Образец надевался на два предельных держателя и термпару, расположенные в одной плоскости. Для определения температуры электрода при заданном режиме ставились контрольные опыты образцами из металлов, плавящихся при интересующих температурах. В наших условиях температура образца устанавливается через 5—10 мин. от начала опыта. Результаты этого исследования представлены на рис. 2. При плотности разрядного тока 1 mA/cm^2 температура всего образца не превышала 100°C . Температура образца, служащего в качестве катода, в таких же условиях на 130°C выше.

В связи с отмеченной возможностью повышения температуры анода, при применении более высоких плотностей тока необходимо было в данные по окислению металлов в этих режимах внести поправки на влияние температуры. С этой целью при помощи весового метода была исследована скорость окисления железа и алюминия при различных температурах ($70-130^\circ \text{C}$), которых мог достигать образец в условиях изменяющихся плотностей тока.

Образцы предварительно обезжиривались и прогревались до постоянного веса. Образец доводился затем до желаемой температуры в атмосфере аргона, который замещался на кислород такого же давления.

При 70°C на 1 cm^2 поверхности железа поглощалось $0,18 \cdot 10^{-6} \text{ г}$ кислорода, что соответствует толщине окисной пленки $\gamma\text{-Fe}_2\text{O}_3$ порядка 12 \AA . Дальнейшее окисление на 130°C заканчивается образованием предельной окисной пленки весом $0,45 \cdot 10^{-6} \text{ г}$ (30 \AA) при расчете на видимую поверхность металла.

Окисление алюминия при таких температурах также можно заметить, толщина образующейся за такое же время окиси (120°C) порядка 30 \AA .

Результаты исследования. Исследование скорости окисления металла, являющегося анодом в цепи тлеющего разряда. При помощи весового метода изучалась скорость окисления меди, алюминия и железа. Результаты опытов приведены на рис. 3—5.

Для того чтобы избежать влияния повышения температуры на процесс окисления в разряде, которое проявляется наряду с влиянием электрического поля, основная серия опытов проводилась при плотности тока $0,6 \text{ mA/cm}^2$.

Объемным методом изучалась скорость окисления меди, железа, алюминия, магния и цинка. Результаты опытов приведены на рис. 6.

В этих опытах плотность тока в цепи разряда равнялась $0,06 \text{ mA/cm}^2$ при расчете на видимую поверхность, равную 200 cm^2 .

Как видно из рис. 6, при окислении алюминия и железа, магния и цинка был обнаружен, как весовым, так и манометрическим методом, процесс окисления, наступающий через 30 мин.

При увеличении плотности разрядного тока в 1,5—2 раза процесс снова продолжается. Выход окисления меди не наступает даже через 9 час. от начала опыта.

Исследование скорости окисления металла, являющегося катодом в цепи тлеющего разряда. Влияние разряда на катоде на скорость окисления определялось при помощи объемного метода. Плотность разрядного тока была такой же, как при окислении на аноде. Из данных рис. 7 видно, что условия окисления на катоде существенно иные, чем в случае анода. На катоде для всех изу-

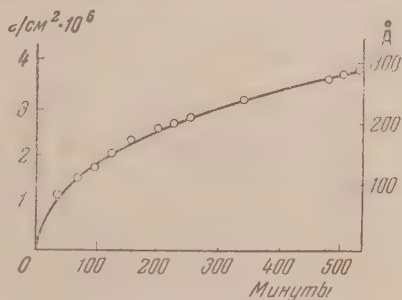


Рис. 3. Окисление меди при плотности тока $0,6 \text{ mA/cm}^2$.

ченных металлов было обнаружено появление предельной окисной пленки. При последующем увеличении плотности тока в 1,5—2 раза возобновления процесса окисления не наблюдалось. Повышению тока соответствуют точки *a*, *b*, *e* на рис. 7. В случае алюминия окисление на обруживалось даже при увеличении плотности тока в 3—4 ра

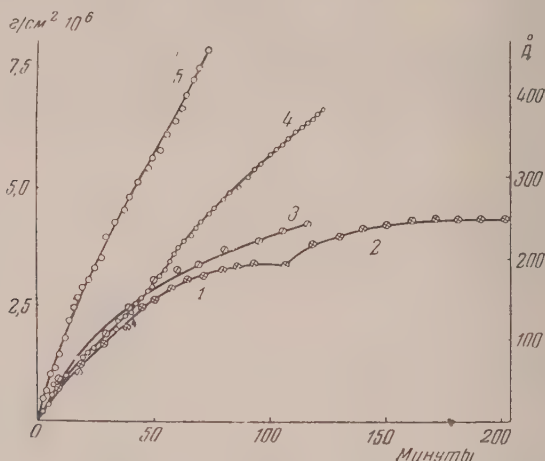


Рис. 4. Окисление алюминия при различных плотностях тока: 1—0,6; 2—1; 3—2; 4—3 и 5—4 мА

Наблюдавшееся для меди и железа незначительное возрастание окисления при повышении плотности тока в 5 раз можно объяснить повышение температуры всего образца. Это же повышение температуры для алюминия оказывается недостаточным для развития процесса.

Если окисленный металлический катод сделать положительным полюсом в цепи разряда, наблюдается дальнейшее интенсивное окисление, подобное тому, какое имело бы место в случае, если бы металл первоначально был присоединен в качестве анода (точки *g*, *д*, *e* на рис. 7).

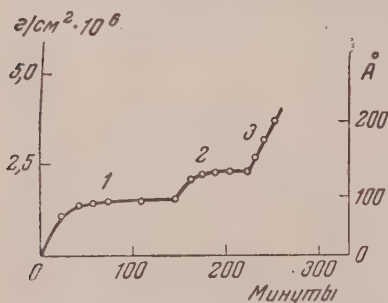


Рис. 5. Окисление железа при различных плотностях тока: 1—0,6; 2—1 и 3—2,5 мА

Некоторые структурные характеристики окисных пленок на металлах образующихся в условиях работы их в качестве электродов разрядной трубки. Приготовление образцов для электронографического исследования описано выше.

Электронограммы от пленки алюминия, окисленной в условиях анода при плотности разрядного тока 0,6 мА/см², содержали резкие отражения от алюминия и диффузные отражения от новой фазы — аморфной окиси алюминия (рис. 8, *a*). С увеличением плотности разрядного тока (2 мА/см²) интенсивность диффузных колец, характерных для аморфной окиси алюминия, увеличивается (соответствующие межплоскостные расстояния $d = 3,3 \text{ Å}$ и $d = 1,4 \text{ Å}$).

Иная картина наблюдается при окислении алюминиевых пленок при использовании их в качестве катода. В этом случае при плотности тока $\sim 0,6$ и ~ 2 мА/см² образуется кристаллическая окись алюминия.

рис. 8, б), подобная той, которая возникает на алюминии при нагреве до на воздухе до температуры 600°C .

Расчет электронограмм, характеризующих строение окисных пленок меди, показывает, что в условиях работы медного анода образуется окись Cu_2O (рис. 8, в). Электронограмма от пленки меди, работавшей в качестве катода разрядной трубки (рис. 8, г), совершенно сходна с электронограммой от пленки меди, окисленной на воздухе при 500°C . В обоих случаях наблюдается картина, характерная для CuO .

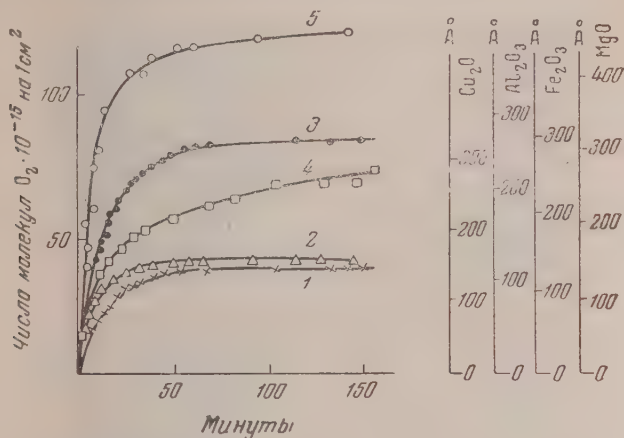


Рис. 6. Окисление: 1 — железа; 2 — цинка; 3 — алюминия; 4 — меди и 5 — магния

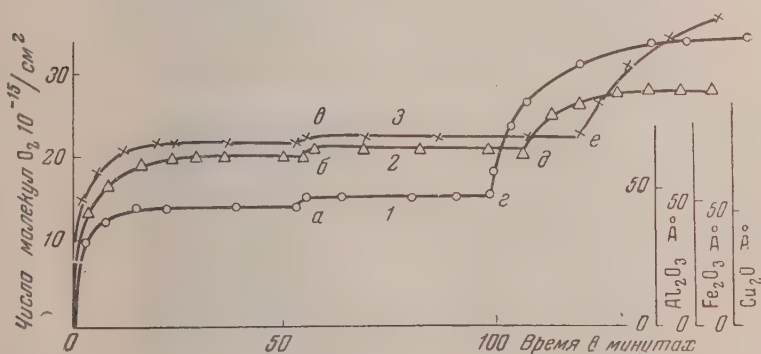


Рис. 7. Окисление: 1 — алюминия, 2 — железа и 3 — меди в условиях катода

Подобная идентичность в строении окислов указывает, по-видимому, на то, что причиной интенсификации процесса на катоде, так же как и в случае алюминия, является повышение общей температуры образца.

Так же как и в случае алюминия, электронограммы от пленок железа, подвергавшихся окислению на аноде разрядной трубки, содержат резкие отражения, характерные для железа, и диффузные отражения от окиси. Как было показано П. Д. Дапковым и Н. А. Шишаковым [12], при комнатной температуре образуется окись $\gamma\text{-Fe}_2\text{O}_3$. Константа решетки $a = 8,32 \text{ \AA}$. Наиболее интенсивные линии этой окиси соответствуют межплоскостным расстояниям 2,5 и 1,5 \AA , что очень близко совпадает с полученными нами данными. Отсюда следует, что возникающая при окислении в разряде в условиях анода окисная пленка близка по структуре к естественной пленке, описанной упомянутыми авторами (рис. 8, д).

Обсуждение результатов

Из приведенного экспериментального материала следует сделать заключение, что независимо от того, является ли исследуемый металл анодом или катодом в цепи тлеющего кислородного разряда, толщина окисной пленки оказывается на нем в десятки раз большей, чем при окислении на воздухе.

Повышение интенсивности окисления всех металлов, являющихся электродами в условиях тлеющего разряда, может происходить вследствие следующих причин:

Влияние ионизированной окислительной газовой среды (возле анода: O^- , O_2^- , O_3 , O ; возле катода: O_2^+ , O_3 , O).

Концентрирование в условиях разряда активных частиц кислорода вблизи поверхности электродов.

Влияние электрического поля на процессы в пленке окиси (движение электронов, металлических ионов и ионов кислорода):

Влияние локальных перегревов, возникающих в результате ударов ионов кислорода о поверхность электродов, которое особенно сказывается на процессе окисления в условиях катода.

При систематическом исследовании окисления металлов в разряде было выявлено различие в характере процессов окисления на аноде и катоде.

При окислении металлов, служащих анодами в цепи разряда, каждый металл ведет себя различно, по-видимому, в соответствии со свойствами образующейся на нем окиси. Характер же окисления в условиях катода оказывается почти одинаковым для всех изученных металлов.

Повышение интенсивности окисления металла в условиях катода следует, по-видимому, отнести за счет действия наиболее сильного фактора — локальных перегревов вследствие ударов кислородных ионов о поверхность катода; как известно, падение напряжения вблизи катода в сотни раз больше, чем в области, прилегающей к аноду [13]. В согласии с этим находятся и данные структурного анализа, установившие идентичность строения окислов, возникающих на катоде разрядной трубки, с окислами, образующимися на этих же металлах при высоких температурах.

Приведенные выше данные, характеризующие окисление металлов в условиях анода в цепи тлеющего кислородного разряда, выявляют резкое отличие в поведении меди и остальных трех металлов.

Окисление меди (рис. 3), как это показали соответствующие расчеты, подчиняется кубическому закону; заметного замедления процесса не обнаруживалось даже после 9 час.

Совершенно иначе протекает процесс в случае Fe, Al, Mg и Zn. Окисление этих металлов следует логарифмическому закону. При плотности тока, рассчитанной на видимую поверхность, порядка $0,06 \text{ mA/cm}^2$ для образцов в объемном методе и $0,6 \text{ mA/cm}^2$ — для образцов весового метода, а через 40—70 мин. наступало резкое замедление процесса окисления.

Различие в поведении отдельных металлов при работе их в качестве анодов в цепи тлеющего кислородного разряда, по-видимому, может быть понято на основе различия свойств образующихся на них окислов. Электрическое поле, возникающее в окисле, в зависимости от типа окисла различным образом может сказываться на движении в нем положительных и отрицательных ионов. Действительно, в случае меди образующаяся на поверхности в условиях разряда закись меди является полупроводником с избытком кислорода, т. е. дырочного типа.

Окислы же железа и цинка характеризуются избытком металла в решетке, являясь полупроводником n -типа.

Можно предположить, что детальное рассмотрение свойств этих полупроводников позволит объяснить характерное отличие влияния электрического поля на процесс их окисления.

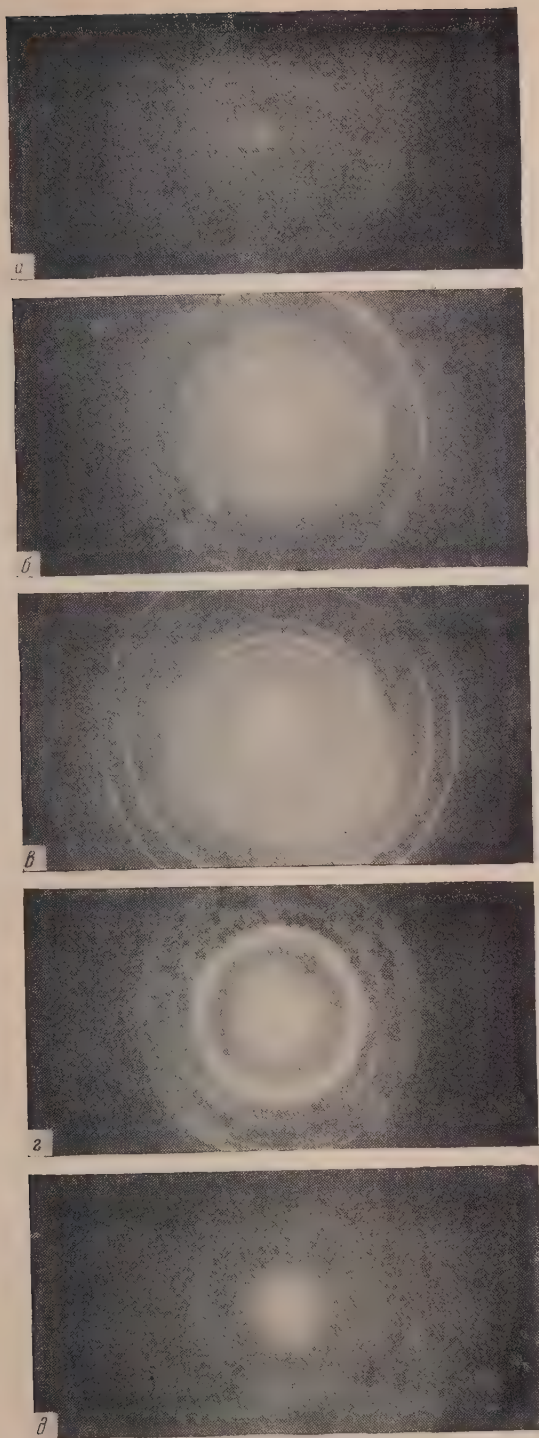


Рис. 8. Электронограммы: *а* — окисленной пленки алюминия в условиях анода при плотности тока, 2 мА; *б* — то же в условиях катода при плотности тока 2 мА; *в* — пленки меди, окисленной в условиях анода при плотности тока 0,6 мА; *г* — то же в условиях катода при той же плотности тока; *д* — пленки железа, окисленной в условиях анода при плотности тока 0,6 мА

Выводы

1. Исследована кинетика процесса окисления меди, алюминия, железа и частично магния и цинка, при использовании их в качестве электродов в цепи тлеющего кислородного разряда при помощи весового (кварцевые коромысловые микровесы с чувствительностью $5 \cdot 10^{-7}$ г) и объемного методов.

2. Установлено, что при окислении металлов, служащих анодами цепи тлеющего разряда, каждый металл ведет себя различно, по-видимому, в соответствии со свойствами образующейся на нем окиси.

Кинетические кривые, характеризующие окисление меди, служащей анодом, в цепи тлеющего разряда при плотности разрядного тока $0,06—0,6 \text{ mA/cm}^2$ удовлетворяет кубическому закону.

Кинетические кривые, характеризующие окисление алюминия, железа, магния и цинка, при таком же режиме подчиняются логарифмическому закону.

3. Определена структура оксидов, возникающих при окислении в разряде электронографическим методом.

4. Характер окисления в условиях катода оказывается почти одинаковым для всех изученных металлов. Это находит объяснение в том, что основным фактором, приводящим к интенсификации процесса окисления, является локальный нагрев катода вследствие ударов ионов кислорода поверхность. Это подтверждается сходством структуры оксидов, образующейся при окислении катода со структурой оксидов, образующейся при окислении металла на воздухе при высоких температурах.

5. Полученные экспериментальные данные по окислению металлов связываются в работе с отличиями в электрических свойствах окисных пленок (характер проводимости). Обнаруживаемые отличия в поведении отдельных металлов в условиях тлеющего кислородного разряда могут явиться дополнительным материалом для понимания механизма процесса окисления.

Академия наук СССР
Институт физической химии
Москва

Поступила
3.X.1956

ЛИТЕРАТУРА

1. O. Kubaschewski и B. E. Hopkins, Oxidation of Metals and Alloys, London, Butterworths Sci. Publ., 1953.
2. K. Hauffe, Reaktionen in und an festen Stoffen, band II. Springer verlag, Berlin Göttingen Heidelberg, 1955.
3. T. B. Grimley, Chemistry of the Solid State. W. E. Garner edit., 1955, стр. 336.
4. Н. Д. Томашов и М. Н. Тюкина, Труды Инст. физ. химии, вып. 11, Исследования по коррозии металлов, 1, Из-во АН СССР, М., 1951, стр. 110.
5. Г. В. Акимов, Н. Д. Томашов и М. Н. Тюкина, Журн. общ. химии, 12, 433, 1942.
6. A. J. Dekker и W. Ch. Van Geel, Philips Res. Rep., 2, 313, 1947.
7. Charlesby, Acta Met., 1, N 3, 340; 348; 1953.
8. D. A. Vermilyea, 1, № 3, 282, 1954.
9. Hoar и Price, Trans. Farad. Soc., 34, 867, 1938.
10. П. Д. Данков и Д. В. Игнатов, Изв. АН СССР, ОХН, № 3, 234, 1949.
11. Р. И. Назарова, Отчеты ИФХ АН СССР за 1951 г.
12. П. Д. Данков и Н. А. Шишаков, Изв. АН СССР, 1225, 1938.
13. Н. А. Капцов, Электрические явления в газах и вакууме, ОГИЗ, ГИТТЛ, М.—Л., 1947.

A STUDY OF THE OXIDATION OF METALS UNDER THE CONDITIONS OF GLOW DISCHARGE IN OXYGEN

B. I. Nazarova (Moscow)

Summary

A kinetic study has been made of the oxidation of copper, aluminum, iron and to a less extent of magnesium and zinc, serving as electrodes in the oxygen glow discharge circuit, with the aid of a gravimetric (quartz beam microbalance with a sensitivity of $5 \cdot 10^{-7}$ g) and a volumetric method. It has been shown in agreement with the data of P. D. Dankov and D. V. Ignatov that an intensive oxidation occurs in this case exceeding by tens of times that in air.

It has been established that in the oxidation of metal anodes in the oxygen glow discharge each metal behaves differently, evidently in accordance with the properties of the oxide formed on it. The rate curves describing the oxidation of copper serving as anode in the glow discharge circuit for a discharge current density of 0.06—0.6 mA/cm² follow a cubic law. Under the same conditions the oxidation rate curves for aluminum, iron, magnesium and zinc are of a logarithmic character.

The structure of the oxides formed on oxidation in the discharge was determined with the aid of an electron diffraction method.

The character of the oxidation process, when the metal is the cathode, is almost the same for all the metals investigated. This is explained in that the factor mainly responsible for the intensification of the process is the local heating of the cathode owing to impact of the oxygen ions on the surface. This is substantiated by the similar structure of the oxides formed on oxidation of the cathode and on the high temperature oxidation of the metal in air.

The experimental data on the oxidation of metals are correlated in the study with differences in the electrical properties of the oxide films (the nature of the conductivity). The difference in behavior of the individual metals in the glowing oxygen discharge may serve as additional material to aid in the understanding of the mechanism of the oxidation process.

К ВОПРОСУ О ВЫСШЕЙ ПЕРЕКИСИ ВОДОРОДА И ЗАМОРОЖЕННЫХ РАДИКАЛОВ

1. ОПРЕДЕЛЕНИЕ ТЕПЛОТЫ РАЗЛОЖЕНИЯ СТЕКЛОВИДНОГО ВЕЩЕСТВА,
ПОЛУЧЕННОГО ИЗ ПАРОВ ВОДЫ В ЭЛЕКТРИЧЕСКОМ РАЗРЯДЕ

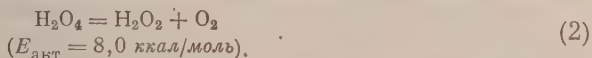
*Л. А. Резницкий, К. Г. Хомяков, Л. И. Некрасов
и И. И. Скороходов*

К настоящему времени появилось достаточно много работ, посвященных низкотемпературному взаимодействию паров воды или перекиси водорода, диссоциированных в электрическом разряде, а также взаимодействию атомарного водорода с кислородом или озоном [1—9]. Эти реакции, как известно, приводят к образованию так называемого стекловидного вещества. Наиболее интересным свойством этого вещества является его разложение при повышении температуры приемника. Несмотря на явно экзотермический характер разложения, сопровождающегося бурным выделением кислорода, в литературе до сих пор отсутствуют прямые калориметрические определения теплоты процесса разложения.

Охара [10] обнаружил, что разложение стекловидного вещества* складывается из разложения в твердой фазе (от -115° до -61°) и разложения в жидкой фазе (выше -61°). Температурой плавления стекловидного вещества, по определению Охара, является -61° . Вычисленные энергии активации этих процессов оказались соответственно равными 1,5 и 17,0 ккал/моль. В дальнейшем данные [10] были в общем подтверждены в работе одного из авторов статьи [6]**, который связывал первый процесс разложения с реакцией свободных замороженных радикалов HO_2 в твердой фазе:



а второй процесс — с разложением высшей перекиси водорода в растворе



Оценка теплоты разложения соединения H_2O_4 по уравнению (2), произведенная Охара, дала величину, большую чем 55 ккал/моль.

Как сообщил Боун [11], в 1953 г. Гогг произвел разложение стекловидного вещества в калориметре. Он обнаружил лишь небольшой тепловой эффект около 300 кал и приписал его изменению агрегатного состояния системы $\text{H}_2\text{O} - \text{H}_2\text{O}_2$. Однако более подробного сообщения об этой работе не последовало.

В настоящей статье приводятся результаты калориметрического определения тепловых эффектов, сопровождающих разложение стекловидного вещества, полученного из диссоциированных в электрическом разряде паров воды. Нами был применен метод непрерывного нагрева в адиабатических условиях, который позволяет сравнительно быстро и надежно определять тепловые эффекты.

* По мнению Охара, в состав стекловидного вещества входило соединение H_2O_4 , которое и разлагалось при повышении температуры.

** Работа выполнялась под руководством Н. И. Кобозева и Е. И. Еремина.

Экспериментальная часть

На рис. 1 изображен применявшийся в опытах калориметр. Калориметром являлся массивный латунный цилиндр 3, весом 467 г, окруженный латунной адиабатической оболочкой 2. По вертикальной оси калориметра было просверлено сквозное отверстие диаметром в верхней части 26 мм, в нижней 22 мм. В нижнюю часть центрального отверстия вкладывалось дно 16, состоявшее из двух латунных кружков толщиной 5 мм с зажатим между ними нагревателем 6.

Температура калориметра измерялась платиновым термометром сопротивления (диаметр провода 0,05 мм $R_{20}^{\circ} = 60 \Omega$), намотанным на изолированный бакелитовый

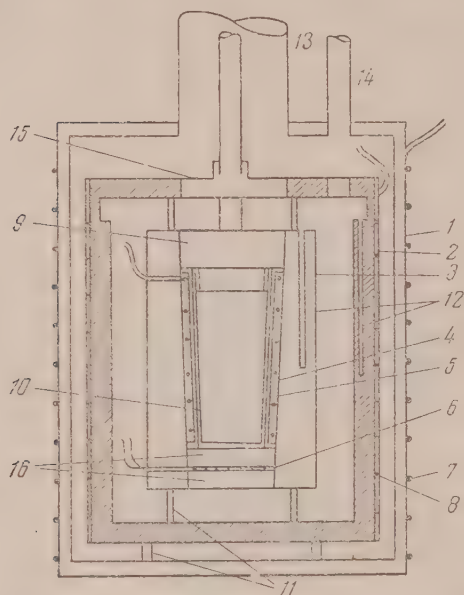


Рис. 1

1 — медная камера; 2 — латунная адиабатическая оболочка; 3 — калориметр; 4 — платиновый термометр сопротивления; 5 — каркас термометра сопротивления; 6 — нагреватель калориметра; 7 — нагреватель камеры; 8 — нагреватель оболочки; 9 — крышка калориметра; 10 — контейнер из молибденового стекла; 11 — абонитовые стойки; 12 — отверстия для спаев дифференциальной термопары; 13 — газоотводная трубка; 14 — трубка для вывода проводов; 15 — крышка калориметра; 16 — дно калориметра

лаком каркас 5, который был впаян в центральное отверстие при помощи сплава Вуда. В верхнем основании цилиндра и оболочки просверливались три вертикальных канала для размещения спаев дифференциальной батареи медно-константановых термопар 12. Оболочка 2 на внешней поверхности имела двухзаходную нарезку, в которую был уложен константановый нагреватель (диаметр провода 0,05 мм, $R \sim 2300 \Omega$). В крышку медной камеры 2 спаивались две трубки — жестяная 13 диаметром 27 мм и медная 14 диаметром 4 мм. Провода из калориметра выводились через медную трубку, а через жестяную трубу калориметр соединялся с вакуумной системой.

Платиновый термометр сопротивления, намотанный на бакелизованную поверхность латунного каркаса, был проградуирован в точках таяния льда, смеси углекислоты со спиртом и в точке кипения азота. Воспроизводимость при градуировке составляла $\pm 0,2-0,1^{\circ}$.

Тепловое значение калориметра определялось в интервале температур от -170° до $+50^{\circ}$ С. Эталоном служила красная медь, помещавшаяся в контейнер для исследуемого вещества. Точность определения теплосодержания у нижнего предела температур составляла $\pm 2-3\%$, при комнатной температуре — $\pm 0,6\%$.

Для суждения о точности получаемых данных была определена теплота плавления льда. В контейнер помещалось 6 г воды, которая замораживалась. Затем проводился опыт по определению теплоты плавления льда, оказавшейся равной в среднем 78,9 ккал/г. Так как по литературным данным теплота плавления льда равна 79,7 ккал/г, то, следовательно, отклонение среднего значения скрытой теплоты плавления не превышало 0,9%.

Не давая подробного описания установки по получению стекловидного вещества укажем только, что в сравнении с известными методами получения [1—9] нами было внесено небольшое изменение в конструкцию ловушки, к которой был припаян отрезок для помещения в нее стеклянного контейнера.

Результаты опытов и их обсуждение

При выполнении калориметрических опытов прежде всего необходимо было разработать методику переноса стекловидного продукта в калориметр без его разложения. Для этого мы воспользовались тем обнаруженным

ми свойством стекловидного вещества, что оно тонет в жидком азоте. После окончания опыта по получению стекловидного вещества в систему всасался очищенный от O_2 , CO_2 и H_2O азот, ловушка снималась, оставалась в жидком азоте. Затем в нее заливался жидкий азот. Снятие стекловидного вещества со стенок ловушки производилось стеклянной палочкой, и этим оно тонуло в жидком азоте, собираясь на дне контейнера. Далее с помощью пинцета контейнер переносился в калориметр, охлажденный до -190° . Вслед за этим калориметр эвакуировался. После выравнивания температур калориметра и оболочки включались нагреватели калориметра и оболочки. Опыт состоял в определении времени нагрева калориметра для подъема температуры до строго определенных значений и в

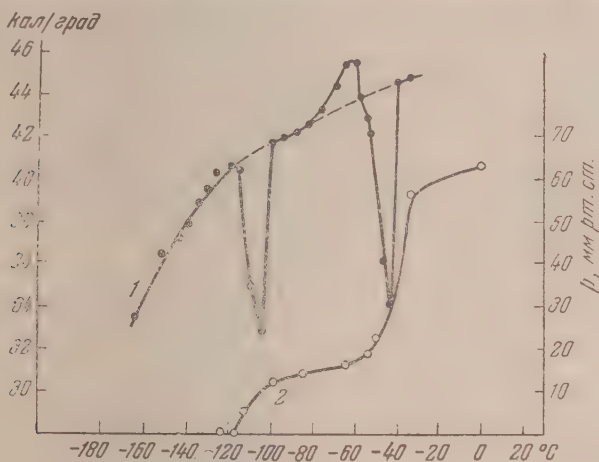


Рис. 2

определении мощности тока в нагревателе калориметра. Разность температур между калориметром и оболочкой поддерживалась с точностью $\pm 0,01^\circ$. Давление O_2 , выделяющегося в процессах разложения, отсчитывалось по ртутному манометру.

На рис. 2 приводятся результаты одного из четырех калориметрических опытов. По оси абсцисс отложена температура, по оси ординат слева — теплосодержание в кал/град, справа — давление O_2 в мм рт. ст. В ходе кривой теплосодержания 1 видно, что при -115° начинается первый экзотермический эффект, сопровождающийся выделением O_2 (кривая 2). При $-70^\circ C$ начинается плавление стекловидного вещества, которое продолжается до -55° . При этой температуре эндотермический эффект переходит в экзотермический, сопровождающийся, как видно из кривой 2, бурным выделением O_2 , достигающим максимума в жидкой фазе при $-43^\circ C$.

Этот экзотермический эффект происходит в области плавления эвктики системы $H_2O - H_2O_2$. Для того чтобы учесть его, мы определили теплоту плавления эвктики и нашли ее равной $74,5$ кал/г. Эта величина впоследствии учитывалась нами при нахождении истинного значения второго экзотермического эффекта.

Данные калориметрического исследования сведены в табл. 1, где указаны температурные интервалы тепловых эффектов и величины изменения U на г O_2 в экзотермических эффектах и ΔH на г H_2O_2 в эндотермическом эффекте.

В табл. 2 указаны средние температуры начала тепловых эффектов, изменение теплосодержания каждого эффекта и приводятся ошибки измерения в процентах.

Таблица 1

№ опыта	1-й экзотермический эффект от -115° до -100° C			Эндотермический эффект от -70° до -55°			2-й экзотермический эффект от -55° до -41° C		
	ΔH , кал	m_{O_2} , г	$\frac{\Delta H}{m_{O_2}}$, кал/г	ΔH , кал	$m_{H_2O_2}$, г	$\frac{\Delta H}{m_{H_2O_2}}$, кал/г	$\Sigma \Delta H$, кал	m_{O_2} , г	$\frac{\Sigma \Delta H}{m_{O_2}}$, кал/г
1	-68,6	0,0304	-2256	46,6	0,476	98	-134,7	0,0671	-2007
2	-10,8	—	—	14,4	0,139	104	-40,0	0,0193	-2072
3	-54,6	0,0203	-2690	29,9	0,325	92	-112,0	0,0447	-2506
4	-20,0	0,0082	-2439	14,8	0,135	110	-38,0	0,0200	-1900

Таким образом, при первом эффекте, начинающемся при температуре -115° и сопровождающемся газовыделением, выделяется теплота, равная $78,8$ ккал/моль O_2 .

Эндотермический эффект, связанный с плавлением вещества и начинающийся при -70° , также сопровождается газовыделением (рис. 2). Теплота процесса плавления была рассчитана нами на количество H_2O_2 в г, определенное титрованием перманганатом конечного раствора. Другие возможные пути расчета (на O_2 , на H_2O_4 , на H_2O) не позволяют свести экспериментальные данные к какому-либо определенному значению.

Таблица 2

t° нач	ΔH	Δ , %
-115	$-78,8$ ккал/моль O_2	6
-70	$+100$ кал/г H_2O_2	5
-55	$-68,0$ ккал/моль O_2	9

Для эндотермического эффекта плавления получена величина 100 кал/г H_2O_2 .

Величина второго экзотермического эффекта рассчитывалась на количество выделившегося при этом процессе O_2 , исходя из следующих соображений. Процесс бурного газовыделения приходится на область плавления эвтектики, т. е. на область исчезновения твердой фазы. Следовательно, при этом нужно было учитывать теплоту плавления эвтектики, которая перекрывается сильным экзотермическим эффектом реакции (2). Чтобы определить теплоту плавления эвтектики, следует знать количество H_2O_2 , присутствующее к началу ее плавления. Мы рассчитали количество H_2O_2 , образующееся по реакции (2). Вычитая полученную величину из количества H_2O_2 , определенного титрованием, мы нашли количество H_2O_2 , присутствовавшее в системе к началу плавления эвтектики. По правилу рычага из диаграммы состояния системы $H_2O - H_2O_2$ вычислялось количество эвтектики, плавившейся при -53° . Затем определялась теплота плавления данного количества эвтектики, которая складывалась с теплотой экзотермического эффекта. Величина последнего эффекта была получена из площади, ограниченной кривой теплосодержания. Таким образом мы получили, что величина второго экзотермического эффекта составляет $68,0$ ккал/моль O_2 .

Полученные калориметрические данные в основном подтверждают ранее предложенный и принимаемый нами в настоящей работе механизм разложения стекловидного вещества, образующегося при низкотемпературном взаимодействии диссоциированных в электрическом разряде паров воды [6]. Согласно этому механизму разложение представляет собой следующие друг за другом реакции (1) и (2).

Первая реакция начинается при -115° , вторая около -70° . Как нами показано, этим двум процессам на кривой теплоемкости (рис. 2) соответствуют два экзотермических эффекта, проявляющиеся в тех же температурных интервалах.

Было бы естественно найденные экзотермические эффекты целиком приписать этим реакциям. Однако, как показали визуальные наблюдения,

стекловидное вещество в области первого экзотермического эффекта превратилось в какие-то физические превращения. По-видимому, в данном случае происходил процесс кристаллизации (расстекловывания) стекловидного вещества, сопровождавшийся выделением тепла. Это обстоятельство не позволяло определить собственную величину теплового эффекта реакции и указанное значение $78,8 \text{ ккал/моль O}_2$ носит несколько условный и завышенный характер.

Для второго экзотермического эффекта отмеченное осложнение не имеет места и, таким образом, величина $68,0 \text{ ккал/моль O}_2$ полностью может быть отнесена к разложению высшей перекиси H_2O_4 по реакции (2).

Найденные тепловые эффекты согласуются с определенными в [6] и [9] значениями энергии активации и с оценочным расчетом теплоты разложения соединения H_2O_4 [10]*.

Обнаруженный при разложении стекловидного вещества эндотермический эффект не нашел пока ясного истолкования, но, по-видимому, его следует приписать изменению агрегатного состояния стекловидного вещества, что согласуется с выводами Гогга [11].

В заключение авторы выражают глубокую благодарность проф. И. Кобозеву за советы при постановке работы.

Выводы

1. Разработаны конструкции калориметра и методика калориметрического исследования продуктов низкотемпературного взаимодействия ассоциированных в электрическом разряде паров воды.
 2. Установлено наличие трех тепловых эффектов, сопровождающих процесс нагревания стекловидного вещества.
 3. Первый экзотермический эффект, начинающийся при температуре $+115^\circ$ и сопровождающийся выделением O_2 , соответствует части реакции, отчасти кристаллизации стекловидного вещества.
 4. Эндотермический эффект связан с изменением агрегатного состояния вещества, остающихся после разложения радикалов HO_2 при $+115^\circ$. Эндотермический эффект начинается при -70° и сопровождается поглощением $100 \text{ ккал/г H}_2\text{O}_2$.
 5. Эндотермический эффект переходит при -55° во второй экзотермический эффект, сопровождающий разложение H_2O_4 .
- Теплота процесса по реакции (2) равна $68,0 \text{ ккал/моль O}_2$.

Московский государственный
университет им. М. В. Ломоносова

Поступила
3.X.1956

ЛИТЕРАТУРА

1. K. H. Geib, P. Harteck, Ber., 65, 1550, 1932.
2. E. Ohara, Journ. Chem. Soc. Japan, 60, 1170, 1939.
3. E. Ohara, Journ. Chem. Soc. Japan, 61, 657, 1940.
4. I. S. Batzold, C. Luner, C. A. Winkler, Canad. Journ. Chem., 31, 262, 1953.
5. P. A. Guguer, E. A. Secco, N. S. Eaton, Discuss. Farad., Soc., 14, 104, 1953.

* После того как наша статья была передана в редакцию, из печати вышла работа Гормли [12], в которой изложены результаты термографического анализа разложения стекловидного вещества. Обращает на себя внимание совпадение ряда экспериментальных данных: температура плавления твердого вещества -70° , разложение в жидкой фазе при -60° , сопровождающееся выделением O_2 . В то же время в работе Гормли нет указания на процесс газовыделения при -115° и сопровождающий его тепловой эффект, а теплота экзотермического процесса при -60° оценена в 44 ккал/моль O_2 , что отличается от величины, определенной нами. Разумеется, метод оценки теплоты реакции, примененный Гормли, мог дать, в лучшем случае, указание лишь на порядок величины теплового эффекта.

6. Л. И. Некрасов, Диссертация МГУ, 1951.
7. R. A. Jones, C. A. Winkler, *Canad. Journ. Chem.*, **29**, 1010, 1951.
8. I. D. McKinley, D. Garvin, *Journ. Amer. Chem. Soc.*, **77**, 5802, 1955.
9. И. И. Гобозов, И. И. Скороходов, Л. И. Некрасов, Е. И. Макарова, *Журн. физич. химии*, **31**, 1843, 1957.
10. E. Ohara, *Journ. Chem. Soc. Japan*, **61**, 569, 1940.
11. C. E. H. Bawn, *Discuss. Farad Soc.*, **14**, *Общ. дискусс.*, 1953.
12. By J. A. Ghormley, *Journ. Amer. Chem. Soc.*, **79**, 1862, 1957.

CONCERNING THE HIGHER PEROXIDE OF HYDROGEN

I. DETERMINATION OF THE DECOMPOSITION TEMPERATURE OF THE GLASSY SUBSTANCE PRODUCED IN THE ELECTRICAL DISCHARGE FROM WATER VAPOR

L. A. Reznitskii, K. G. Khomyakov, L. I. Nekrasov and I. I. Skorokhodov

(Moscow)

Summary

A calorimeter has been designed and a procedure developed for investigating low temperature reaction products of water vapors dissociated in the electrical discharge.

Three heat effects were revealed in the process of heating the glassy substance. The first, an exothermal effect, beginning at -115° , corresponds to the heats of the reaction $2\text{H}_2\text{O}_2(\text{solid}) = \text{H}_2\text{O}_2(\text{solid}) + \text{O}_2(\text{g})$ and of the crystallisation of the glassy substance. The value of the heat effect in this case conditionally equals 78.8 *kg. cal/mole*. This is followed by an endothermal effect beginning at -70° associated with change in the aggregate state of the glassy substance. It has a value of 100 *cal/g H₂O₂*. At -55° the endothermal effect passes over to a strong exothermal one accompanying the decomposition of H_2O_4 and disappearance of the solid phase. The heat of decomposition of H_2O_4 according to the reaction $\text{H}_2\text{O}_4(\text{soln}) = \text{H}_2\text{O}_2(\text{soln}) + \text{O}_2(\text{g})$ equals 68.0 *kg. cal/mole*.

ГРАНИЦЫ ТЕРМОДИНАМИЧЕСКОЙ УСТОЙЧИВОСТИ МНОГОКОМПОНЕНТНЫХ СИСТЕМ

В. И. Кузьмич и И. З. Фишер

В работах одного из авторов [1, 2] была развита теория предела устойчивости однородной однокомпонентной фазы на основе современной последовательно статистической теории жидкого состояния Кирквуда—Боголюбова. В настоящей статье будет дано обобщение этой теории на случай многокомпонентных систем.

Решаемая в настоящей работе задача может быть кратко охарактеризована следующим образом: пусть имеется однородная многокомпонентная система; будем в очень широких пределах изменять ее температуру, давление и состав. При всех ли мыслимых значениях этих параметров система может оставаться однородной? Если нет, то каковы границы устойчивости ее однородного состояния?

Таким образом решаемая нами задача прямо связана с фундаментальной проблемой физической химии — с проблемой растворимости жидкостей и газов. Ниже мы попытаемся подойти к решению этой проблемы, опираясь только на предполагаемое знание закона межмолекулярных сил и на общие законы статистической физики. Мы нигде не будем прибегать ни к формально-термодинамическим методам исследования, ни к модельным теориям жидкого состояния.

Вспомним здесь основные уравнения теории Н. П. Боголюбова [3], нужные нам в дальнейшем. Поведение системы, состоящей из M сортов частиц a, b, c, \dots , содержащихся в молярных долях n_a, n_b, \dots (причем $\sum_{a=1}^M n_a = 1$) полностью определяется ее радиальными функциями распределения $g_{ab}(r)$, удовлетворяющим уравнениям Боголюбова

$$-kT \ln g_{ab}(r) = \Phi_{ab}(r) + \frac{2\pi}{rv} \sum_{c=1}^M n_c \times \\ \times \int_0^{\infty} \left\{ \int_{|r-c|}^{r+c} t \mathcal{C}_{ac}(t) dt \right\} (g_{cb}(\rho) - 1) \rho d\rho, \quad (1)$$

$$\mathcal{C}_{ac}(t) = \int_{-\infty}^t \Phi'_{ac}(t) g_{ac}(t) dt. \quad (2)$$

Здесь r означает средний объем, приходящийся на одну частицу, и $\Phi_{ab}(r)$ есть межмолекулярный потенциал соответствующей пары частиц. Функции $g_{ab}(r)$ должны также удовлетворять условиям нормировки:

$$\lim_{R \rightarrow \infty} \frac{1}{R^3} \int_0^R (g_{ab}(r) - 1) r^2 dr = 0. \quad (3)$$

Знание $g_{ab}(r)$ дает не только прямые сведения о молекулярной структуре системы, но позволяет также определить ее термодинамические функции. Например, для давления получается [3]:

$$p = \frac{kT}{v} - \frac{2\pi}{3v^2} \sum_{a,b=1}^M n_a n_b \int_0^\infty \Phi'_{ab}(r) g_{ab}(r) r^3 dr.$$

Нашей задачей является исследование области существования физически допустимых решений системы интегральных уравнений (1).

Поведение радиальных функций распределения при далеких расстояниях между частицами

Перейдем в уравнениях (1) — (4) к безразмерным единицам расстояний, полагая $r \rightarrow r' = (r/D)$, где D — некоторая характерная длина нашей задачи, например эффективный диаметр некоторого сорта частиц. Одновременно сделаем замену искомых функций $g_{ab} \rightarrow U_{ab}$ по отношению

$$g_{ab}(r) = e^{-\Phi_{ab}(r)/kT} U_{ab}(r).$$

Тогда уравнения (1) — (2) переписутся

$$r \ln U_{ab}(r) = \lambda \sum_{c=1}^M n_c \int_0^\infty \left\{ \int_{|r-\rho|}^{r+\rho} t \bar{\mathcal{G}}_{ac}(t) dt \right\} \times \\ \times \{ e^{-\Phi_{cb}(\rho)/kT} U_{cb}(\rho) - 1 \} \rho d\rho,$$

$$\bar{\mathcal{G}}_{ac}(t) = -\frac{1}{kT} \mathcal{G}_{ac}(t) = \int_0^t (e^{-\Phi_{ac}(t)/kT})' U_{ac}(t) dt,$$

где штрихи при r и ρ опущены, и введено обозначение

$$\lambda = \frac{2\pi D^3}{v}.$$

Условия нормировки и уравнение для давления теперь запишутся:

$$\lim_{R \rightarrow \infty} \frac{1}{R^3} \int_0^R (U_{ab}(r) - 1) r^2 dr = 0, \\ \frac{pv}{kT} = 1 + \frac{\lambda}{3} \sum_{a,b=1}^M n_a n_b \int_0^\infty (e^{-\Phi_{ab}(r)/kT})' U_{ab}(r) r^3 dr. \quad (1)$$

Будем интересоваться поведением функций $U_{ab}(r)$ при $r \rightarrow \infty$, предполагая потенциалы $\Phi_{ab}(r)$, достаточно быстро исчезающими с ростом r , так что случай электролитов исключается. Тогда в силу (9) должно быть $U_{ab}(r) \rightarrow 1$ при $r \rightarrow \infty$, и поэтому можно положить

$$U_{ab}(r) = 1 + \frac{\varphi_{ab}(r)}{r}, \quad (1)$$

причем $|\varphi_{ab}(r)/r| \rightarrow 0$ при $r \rightarrow \infty$ и вследствие этого линеаризовать левый член слева в (6). Далее при больших t функции $\bar{\mathcal{G}}_{ac}(t)$ также будут быстро исчезать, поэтому в правой части (6) важны лишь значения близкие к r , и при $r \rightarrow \infty$ можно $e^{-\Phi_{cb}(\rho)/kT}$ заменить единицей, а верхний предел во внутреннем интеграле отодвинуть на бесконечность.

итоге мы приходим к системе однородных уравнений

$$\varphi_{ab}(r) = \lambda \sum_{c=1}^M n_c \int_0^{\infty} K_{ac}(|r - \rho|) \varphi_{cb}(\rho) d\rho \quad (12)$$

ядрами

$$\begin{aligned} K_{ac}(x) &= \int_{|x|}^{\infty} \bar{G}_{ac}(t) t dt = \\ &= \frac{1}{2} \int_{|x|}^{\infty} (e^{-\Phi_{ac}(t)/kT})' U_{ac}(t) (x^2 - t^2) dt. \end{aligned} \quad (13)$$

Здесь последнее равенство получилось из (7) интегрированием по частям.

Допустим теперь, что межмолекулярные силы имеют конечный радиус действия, так что существуют такие числа σ_{ab} , что

$$\Phi_{ab}(r) \equiv 0, \quad g_{ab} \equiv U_{ab}(r), \quad \text{если } r > \sigma_{ab}. \quad (14)$$

Числа σ_{ab} могут быть произвольными, в том числе и очень большими, так что фактически условия (14) никаких ограничений не накладывают. При желании можно будет затем перейти к пределу $\sigma_{ab} \rightarrow \infty$. В таком случае имеем $\bar{G}_{ab}(t) = K_{ab}(t) = 0$ при $t > \sigma_{ab}$, и вместо (12) — (13) получим

$$\varphi_{ab}(r) = \lambda \sum_{c=1}^M n_c \int_{r-\sigma_{ac}}^{r+\sigma_{ac}} K_{ac}(|r - \rho|) \varphi_{cb}(\rho) d\rho, \quad (15)$$

$$K_{ac}(x) = \frac{1}{2} \int_{|x|}^{\sigma_{ac}} (e^{-\Phi_{ac}(t)/kT})' U_{ac}(t) (x^2 - t^2) dt. \quad (16)$$

Для отыскания нетривиальных решений этих уравнений положим

$$\varphi_{ab}(r) = A_{ab} e^{i\gamma r}. \quad (17)$$

Подстановка в (15) приводит тогда к системе однородных линейных уравнений для определения коэффициентов A_{ab} :

$$A_{ab} - \lambda \sum_{c=1}^M n_c L_{ac}(\gamma) A_{cb} = 0, \quad (18)$$

где $L_{ac}(\gamma)$ есть фурье-отображение ядер $K_{ac}(x)$:

$$L_{ac}(\gamma) = \int_{-\sigma_{ac}}^{\sigma_{ac}} K_{ac}(x) e^{i\gamma x} dx. \quad (19)$$

Уравнения (18) распадаются на M систем уравнений с общим определителем для всех них, и для существования нетривиальных решений его следует приравнять нулю:

$$D(\gamma) \equiv \text{Det}[\lambda n_b L_{ab}(\gamma) - \delta_{ab}] = 0. \quad (20)$$

Таким образом мы получаем уравнение для определения γ . Оно имеет, вообще говоря, бесконечное множество комплексных корней, зависящих от λ , n_1 , n_2, \dots и от T :

$$\begin{aligned} \gamma_k(\lambda; n_1, n_2, \dots; T) &= \beta_k(\lambda; n_1, n_2, \dots; T) + \\ &+ i\alpha_k(\lambda; n_1, n_2, \dots; T) \end{aligned} \quad (21)$$

($k = 1, 2, \dots$). Из вещественности λ и n_a и вещественности и четности функций $K_{ab}(x)$ вытекает, что все корни γ_k уравнения (20) можно группировать в четверки $\pm \beta_k \pm i\alpha_k$. В силу (9) и (11) корни с отрицательными мнимыми частями должны быть отброшены, так что остаются только пары $\pm \beta_k + i|\alpha_k|$, и по (11), (14) и (17) получаем

$$g_{ab}(r) = 1 + \frac{1}{r} \sum_k A_{ab}^{(k)} e^{-|\alpha_k|r} \cos(\beta_k r + \delta_k). \quad (22)$$

Это и есть общий вид радиальных функций распределения на больших расстояниях между частицами.

Предел устойчивости многокомпонентной фазы

Рассмотрим нашу систему в каком-либо ее устойчивом состоянии. Как известно из статистической физики, в таком состоянии корреляции между флуктуациями плотности (или концентрации какого-либо компонента) в смежных объемах отсутствуют или очень мала [4]. Но для этого необходимо, чтобы корреляционные функции $v_{ab} = g_{ab} - 1$ достаточно быстро исчезали с ростом r . Согласно (22) это значит, что в устойчивых состояниях системы должно быть $\alpha_k \neq 0$ для всех k , и, следовательно, их можно пронумеровать в порядке роста их модулей:

$$0 < |\alpha_1| < |\alpha_2| < |\alpha_3| < \dots \quad (23)$$

Поскольку α_k являются функциями температуры, плотности и состава системы, то при изменении этих параметров сами α_k будут меняться, и может оказаться, что в некоторых состояниях одно или несколько α_k обратятся в нуль. Докажем абсолютную термодинамическую неустойчивость таких состояний.

Пусть при некоторых значениях T , λ , n_1, \dots оказалось, что $\alpha_1 = 0$, и $\alpha_2 \neq 0$ (так что, по (23), и все остальные α_k не равны нулю). Пренебрегая в (22) быстро затухающими членами, получим

$$v_{ab}(r) = \frac{A_{ab}^{(1)}}{r} \cos(\beta_1 r + \delta_1). \quad (24)$$

Допустим, что рассматриваемое состояние было бы устойчивым. Тогда существовала бы равновесная свободная энергия F_0 этого состояния и ее объемная плотность f_0 : $F_0 = \int f_0 dV$. Рассмотрим теперь флуктуации концентрации какого-либо компонента, например a . Так как по (24) будет иметься заметная корреляция в флуктуациях в разных объемах, то, как известно из статистической физики [4], отклонение плотности свободной энергии от своего равновесного значения окажется однородной квадратичной дифференциальной формой от относительного прироста концентрации a — компонента φ_a :

$$f - f_0 = A\varphi_a^2 + B(\text{grad } \varphi_a)^2. \quad (25)$$

Здесь коэффициенты A и B от φ_a уже не зависят. Согласно теореме Леонтовича [4] корреляционная функция $v_{aa}(r)$ должна быть функцией Грина для бесконечной области оператора Эйлера — Лагранжа, сопряженного квадратичной форме (25), т. е. оператора

$$L(\psi) = B\Delta\psi - A\psi, \quad (26)$$

где Δ — оператор Лапласа. Полагая в (24) $b = a$, мы после подстановки $v_{aa}(r)$ в (26) и приравнивания полученного выражения нулю, найдем, что $A/B = -\beta_1^2 < 0$, т. е. коэффициенты A и B в (25) существенно разных знаков. Следовательно, квадратичная форма (25) закононеопределенная и минимумом при $\varphi_a = 0$ не обладает.

Таким образом доказано, что состояния системы с $\alpha_1 = 0$ не могут соответствовать минимуму свободной энергии относительно флуктуаций концентраций компонентов. Такие состояния абсолютно неустойчивы. Поскольку при $\alpha_1 \neq 0$, как мы выдели, состояния системы, вообще говоря, устойчивы (с гарантированной, согласно (24), малостью флуктуаций плотностей и концентрации компонентов), то граница между областями, где

$$\alpha_1(\lambda; n_1, n_2, \dots; T) \neq 0 \text{ и } \alpha_1(\lambda; n_1, n_2, \dots; T) = 0 \quad (27)$$

определяет собой границу абсолютно устойчивых состояний рассматриваемой однородной системы.

Повторяя рассуждения, приведенные в [1], нетрудно показать, что величина $|\alpha_1|^{-1}$ есть эффективная толщина поверхностного (пристеночного) слоя системы. Тогда условие $\alpha_1 = 0$ одновременно означает также безграничное возрастание толщины поверхностного (пристеночного) слоя системы при ее приближении к границе устойчивости.

Уравнения границы устойчивости

Получим теперь явные уравнения для границы устойчивых состояний. Для этого рассмотрим некоторое равновесное состояние, близкое к границе устойчивости, и где, следовательно, α_1 очень мало. Так как $\alpha_1 = \beta_1 + i|\alpha_1|$ и α_1 мало, то, разлагая $D(\gamma_1)$ из (20) в ряд по α_1 , получим

$$D(\gamma_1) = D(\beta_1) + i|\alpha_1| \left(\frac{\partial D}{\partial \beta} \right)_{\beta=\beta_1} - \frac{\alpha_1^2}{2} \left(\frac{\partial^2 D}{\partial \beta^2} \right)_{\beta=\beta_1} + \dots \quad (28)$$

т. е. отделяя действительную и мнимую части,

$$\begin{aligned} D(\beta) - \frac{\alpha^2}{2} \left(\frac{\partial^2 D}{\partial \beta^2} \right) + \dots &= 0 \\ \frac{\partial D}{\partial \beta} - \frac{\alpha^2}{6} \left(\frac{\partial^3 D}{\partial \beta^3} \right) + \dots &= 0, \end{aligned} \quad (29)$$

где индексов 1 мы для краткости не пишем. На самой границе устойчивости $\alpha = \alpha_1 = 0$ мы получаем

$$\begin{aligned} D(\beta; \lambda, n_1, n_2, \dots, T) &= 0, \\ \frac{\partial}{\partial \beta} D(\beta; \lambda, n_1, n_2, \dots, T) &= 0. \end{aligned} \quad (30)$$

Это и есть окончательный результат в терминах развиваемой теории. Исключая из двух уравнений (30) параметр β , получим явное выражение

$$f(\lambda; n_1, n_2, \dots, T) = 0 \quad (31)$$

для предельной поверхности устойчивых состояний в пространстве температура — плотность — состав. Пересчет по (11) даст аналогичное выражение в пространстве температура — давление — состав. Конкретные физико-химические обстоятельства, связанные с рассматриваемой потерей устойчивости, могут быть самые разнообразные (испарение, расслоение, вымерзание и т. д.) и зависят главным образом от топологии граничной поверхности.

Рассмотрим в заключение несколько подробнее важный случай двухкомпонентной системы. В этом случае имеется всего четыре функции $U_{ab}(r)$ и два числа n_a , и детерминант (20) легко раскрывается. В итоге уравнения (30) запишутся:

$$n_1 n_2 \{L_{11}(\beta) L_{22}(\beta) - L_{12}(\beta) L_{21}(\beta)\} - \lambda \{n_1 L_{11}(\beta) + n_2 L_{22}(\beta)\} + 1 = 0 \quad (32)$$

$$\begin{aligned} \lambda n_1 n_2 \{L'_{11}(\beta) L_{22}(\beta) + L_{11}(\beta) L'_{22}(\beta) - L'_{12}(\beta) L_{21}(\beta) - L_{12}(\beta) L'_{21}(\beta)\} - \\ - n_1 L'_{11}(\beta) - n_2 L'_{22}(\beta) = 0 \end{aligned} \quad (33)$$

и исключение параметра β приводит к уравнению предельной поверхности в $\lambda - n - T$ или $v - n - T$ пространствах, а использование (11) даст ее уравнение и в $p - n - T$ пространстве.

Таким образом развиваемая теория позволяет в терминах межмолекулярных сил определить границы устойчивости многокомпонентных систем, не прибегая к формально-термодинамическим методам исследования.

В заключение мы хотели бы подчеркнуть, что везде выше речь шла именно об абсолютной границе устойчивости рассматриваемой однородной многокомпонентной фазы, так что к устойчивым причислялись и так называемые метастабильные (переохлажденные, пересыщенные и т. п.) состояния. Определение границ относительной устойчивости разных фаз (т. е. линий или поверхностей равновесных фазовых переходов) нуждается в дополнительном исследовании сравнительной устойчивости этих фаз. Однако можно полагать, что для системы с не слишком сложным молекулярным строением различие в положениях границ абсолютной и относительной устойчивости не велико.

Более подробное обсуждение затронутых в настоящей статье вопросов развито в [1, 2] на примере однокомпонентной системы (в частности — более подробное обсуждение математической стороны теории). Аналогичный полный анализ можно развить и для рассматриваемого теперь случая. Во избежание растянутости, и частично повторений, эти вопросы нами здесь опущены.

Выводы

1. Дан анализ хода радиальных функций распределения однородной многокомпонентной системы для далеких расстояний между частицами. Общий результат выражается уравнениями (22).

2. В терминах поведения радиальных функций распределения частиц системы для далеких расстояний определена область термодинамической устойчивости состояний системы. Границы этой области определяют границы абсолютной термодинамической устойчивости однородной многокомпонентной системы (по отношению к испарению, вымерзанию, расслоению и т. д.).

3. Дан аналитический критерий границы устойчивости системы в терминах межмолекулярных сил и радиальных функций распределения. Окончательный результат выражен уравнениями (30), позволяющими определить положение поверхности предела устойчивости системы в пространстве плотность — температура — состав (или давление — температура — состав). Более подробно разобран важный случай двухкомпонентной системы.

Белорусский
государственный
университет
Минск

Поступила
8. X. 1956

ЛИТЕРАТУРА

1. И. З. Фишер ЖЭТФ, 28, 171, 1955.
2. И. З. Фишер, ЖЭТФ, 28, 437, 1955.
3. Н. Н. Боголюбов, Проблемы динамической теории в статистической физике Гостехиздат, 1946.
4. М. А. Леонтович, Статистическая физика, Гостехиздат, 1944.

THE THERMODYNAMIC STABILITY LIMITS OF MULTICOMPONENT SYSTEMS V. I. Kuzmich and I. Z. Fisher (Minsk)

Summary

The analytical criterion of the thermodynamic stability for a multicomponent liquid or gaseous system has been developed on the basis of the Bogolubov statistical theory of fluids. If the intermolecular forces are given, the criterion allows the determination of the stability limits of the system in the density-temperature-contents (or in the pressure-temperature-contents) space.

ОСОБЕННОСТИ ДЕЙСТВИЯ ИНГИБИТОРОВ НА ЦЕПНЫЕ
ВЫРОЖДЕННО-РАЗВЕТВЛЕННЫЕ РЕАКЦИИ

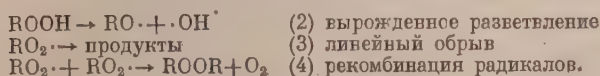
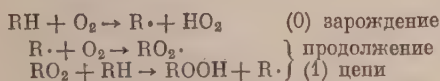
Е. Т. Денисов

Одной из интересных особенностей влияния некоторых ингибиторов на окисление углеводородов является зависимость эффективности его действия от времени введения в реакцию. Так, например, введение спиртов в тетралин до начала реакции тормозит его окисление, а введение их в окисляющийся тетралин — нет [1]. Точно такое же действие оказывают добавки циклогексанола на окисление циклогексана [2, 3]. Введение фенала в окисляющийся кумол тем слабее тормозит его окисление, чем позднее от момента начала реакции оно осуществляется [4]. Окисление бензо-го нефтяного масла тормозит целый ряд ингибиторов при их введении до начала окисления, но торможения не наблюдается при введении этих ингибиторов в развившуюся реакцию [5].

Теоретически вопрос о действии ингибитора, обрывающего цепи, на цепную реакцию с вырожденным разветвлением при квадратичном обрыве цепей был рассмотрен Г. Кнорре [6], который показал, что в этом частном случае действительно можно ожидать ослабления тормозящего действия ингибиторов при его введении не в исходный углеводород, а в развившуюся реакцию. Однако остается неясным вопрос о том, является ли ослабление тормозящего действия ингибиторов только результатом квадратичного обрыва цепей и рассмотренного механизма ингибирования или оно может наблюдаться при других механизмах ингибирования и любом характере обрыва цепей.

Наряду с явлением ослабления тормозящего действия ингибитора при введении его в развившуюся реакцию существенный интерес представляют вопросы о противоположном (тормозящем и ускоряющем) действии добавок некоторых веществ на окисление различных углеводородов, о наличии предельного ингибирующего действия цепного ряда ингибиторов, когда дальнейшее увеличение концентрации ингибитора не приводит к снижению скорости окисления, и вопрос о количественных критериях силы эффективности действия ингибитора на данную реакцию.

В настоящей статье на основе цепной теории рассматриваются различные механизмы действия ингибиторов на цепные реакции с вырожденными разветвлениями и дается объяснение некоторым фактам, касающимся действия ингибиторов на окисление жидких углеводородов. На основе общего подхода к действию различных ингибиторов дается кинетическая трактовка понятий о силе и эффективности тормозящего действия ингибиторов. Процессы окисления углеводородов являются цепными вырожденно-разветвленными реакциями. Общепринятой и наиболее обоснованной в настоящее время является следующая цепная схема окисления углеводородов:

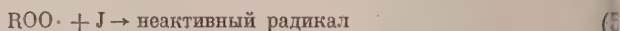


В присутствии достаточной концентрации растворенного кислорода скорость реакции продолжения цепи определяется, как показывает опыт, скоростью реакции (1). В развившейся реакции скорость реакции (0) мала по сравнению со скоростью реакции (2). В свою очередь, скорость реак-

ции (2) гораздо меньше скорости реакции продолжения цепи (1), что позволяет при обсчете этой схемы применять метод стационарных концентраций свободных радикалов. Если главным разветвляющим продуктом является не перекись или ведущим радикалом является не радикал $\text{ROO}\cdot$, то все-таки в большинстве случаев получается аналогичная схема реакции и общие закономерности, полученные при анализе этой схемы остаются в силе.

Тормозящее действие ингибиторов обусловлено их взаимодействием со свободными радикалами, что приводит к замедлению реакции продолжения цепи. В настоящее время можно предложить следующие три механизма такого взаимодействия.

Молекула ингибитора реагирует с радикалом $\text{ROO}\cdot$ с образованием в результате такой реакции неактивного радикала. Такая реакция может быть или реакцией обмена $\text{ROO}\cdot + \text{J} \rightarrow \text{ROOH} + \text{X}\cdot$ или реакцией при соединении $\text{ROO}\cdot + \text{J} \rightarrow \text{ROOJ}\cdot$. В любом из этих двух случаев мы имеем дело с реакцией:



скорость которой равна $k_5 [\text{RO}_2\cdot] [\text{J}]$. Образующиеся по этой реакции неактивные радикалы затем рекомбинируют. Реакцию этих радикалов углеводородом: $\text{X}\cdot + \text{RH} \rightarrow \text{HX} + \text{R}\cdot$, $\text{R}\cdot + \text{O}_2 \rightarrow \text{ROO}\cdot$ можно не учитывать в том случае, если скорость этой реакции мала по сравнению со скоростью рекомбинации радикалов $\text{X}\cdot$: $k_6 [\text{RH}] [\text{X}\cdot] \ll k_4 [\text{X}\cdot]^2$.

При линейном обрыве активных центров для скорости образования перекиси получается уравнение:

$$\frac{d[\text{ROOH}]}{dt} = k_1 [\text{RH}] \frac{2k_2 [\text{ROOH}] + w_0}{k_3 + k_5 [\text{J}]}$$

Для небольших глубин окисления углеводорода можно считать концентрации углеводорода и ингибитора, введенного в реакцию, постоянными, а скоростью распада перекиси по сравнению со скоростью ее образования можно пренебречь. После замены переменных $[\text{ROOH}] = \pi [\text{RH}]$

$$t = \frac{k_3}{2k_1k_2 [\text{RH}]} \tau, \quad \omega_0 = \frac{w_0}{2k_2 [\text{RH}]}, \quad \alpha = \frac{k_3}{k_3 + k_5 [\text{J}]},$$

получается уравнение $d\pi/d\tau = \alpha(\pi + \omega_0)$, α есть отношение скорости обрыва цепей без ингибитора к скорости их обрыва в присутствии ингибитора и характеризует торможение реакции ингибитором. В отсутствие ингибитора $\pi = \omega_0 (e^\tau - 1)$. При введении ингибитора в исходный углеводород $\pi = \omega_0 (e^{\alpha\tau} - 1)$, а при введении ингибитора в реакцию в момент $\tau = \tau_1$, когда

$$\pi = \pi_1 \text{ и } \pi_1 \gg \omega_0, \quad \pi = \pi_1 e^{\alpha(\tau - \tau_1)} = \omega_0 (e^{\tau_1} - 1) e^{\alpha(\tau - \tau_1)}. \quad (6)$$

Для реакции с квадратичным обрывом цепей необходимо учесть, что с введением ингибитора обрыв цепей происходит не только на молекулы ингибитора и при рекомбинации радикалов $\text{ROO}\cdot$, но и при их рекомбинации с радикалами $\text{X}\cdot$, образующимися из ингибитора. В этом случае для скорости изменения концентрации радикалов $\text{ROO}\cdot$ нетрудно составить уравнение

$$\frac{d[\text{ROO}\cdot]}{dt} = w_0 + 2k_2 [\text{ROOH}] - k_5 [\text{J}] [\text{ROO}\cdot] - k_4 [\text{RO}_2\cdot] n,$$

где n — общая концентрация свободных радикалов, равная

$$n = [\text{ROO}\cdot] + [\text{X}\cdot] = \sqrt{\frac{w_0 + 2k_2 [\text{ROOH}]}{k_4}}$$

сюда

$$[\text{ROO}\cdot] = \frac{w_0 + 2k_2 [\text{ROOH}]}{k_5 [\text{J}] + \sqrt{k_4(w_0 + 2k_2 [\text{ROOH}])}}$$

для скорости образования перекиси получается уравнение:

$$\frac{d[\text{ROOH}]}{dt} = k_1 [\text{RH}] \frac{w_0 + 2k_2 [\text{ROOH}]}{k_5 [\text{J}] + \sqrt{k_4(w_0 + 2k_2 [\text{ROOH}])}}$$

и в безразмерных переменных:

$$\frac{d\pi}{d\tau} = \frac{\pi}{\beta + \sqrt{\pi}},$$

где

$$\pi = \frac{[\text{ROOH}]}{[\text{RH}]}, \quad \tau = k_1 \sqrt{\frac{2k_2 [\text{RH}]}{k_4}} t, \quad \beta = \frac{k_5 [\text{J}]}{\sqrt{k_2 k_4} [\text{RH}]}, \quad w_0 \ll 2k_2 [\text{ROOH}].$$

Интегрирование при $\omega_0 = 0$ и начальном условии $\pi = \pi_0$ при $\tau = 0$ приводит к выражению $\beta \ln \frac{\pi}{\pi_0} + 2(\sqrt{\pi} - \sqrt{\pi_0}) = \tau$. Без ингибитора ($\beta = 0$) $\pi = \frac{1}{4}\tau^2 + \sqrt{\pi_0}\tau + \pi_0$, а при введении ингибитора в момент $\tau = \tau_1$, когда $\pi = \pi_1$, получается выражение:

$$\frac{1}{2}\beta \ln \frac{\pi}{\pi_1} + \sqrt{\pi} = \frac{1}{2}(\tau - \tau_1) + \sqrt{\pi_1}. \quad (\text{II})$$

Другой механизм ингибирования, предложенный Хаммондом и Бузе-ом для торможения фенолами и аминами, заключается в следующем [7]. Молекула ингибитора образует комплекс с радикалом $\text{ROO}\cdot$: $\text{ROO}\cdot + \text{J} = [\text{ROO}\dots\text{J}]$, который или распадается обратно на $\text{ROO}\cdot$ и J (константа равновесия K) или реагирует со следующим радикалом $\text{ROO}\cdot$. При таком механизме ингибирования скорость обрыва цепей на молекулах ингибитора равна $k'_7 [\text{RO}_2\dots\text{J}] [\text{RO}_2\cdot] = K k'_7 [\text{J}] [\text{RO}_2\cdot]^2 = k_7 [\text{J}] [\text{RO}_2\cdot]^2$. При квадратичном обрыве цепей в реакции получается уравнение:

$$\frac{d\pi}{d\tau} = \gamma \sqrt{\pi + \omega_0}, \quad \text{где } \gamma = \sqrt{\frac{k_4}{k_4 + k_7 [\text{J}]}}; \quad \pi = \frac{[\text{ROOH}]}{[\text{RH}]}; \quad \tau = k_1 \sqrt{\frac{2k_2 [\text{RH}]}{k_4}} t; \quad \omega_0 = \frac{w_0}{2k_2 [\text{RH}]}.$$

Если ингибитор введен в исходный углеводород, то $\pi = \frac{1}{4}\gamma^2\tau^2 + \sqrt{\omega_0}\gamma\tau$, а при введении его в момент $\tau = \tau_1$:

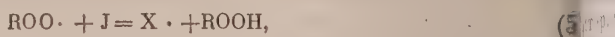
$$\pi = \frac{1}{4}\gamma^2(\tau - \tau_1)^2 + \gamma\sqrt{\pi_1}(\tau - \tau_1) + \pi_1. \quad (\text{III})$$

Без ингибитора кинетическая кривая описывается уравнением:

$$\pi = \frac{\tau^2}{4} + \sqrt{\omega_0}\tau.$$

В рассмотренных выше механизмах торможения образующиеся из ингибитора радикалы практически не способны продолжать цепь. Однако вполне допустимы и действительно существуют такие ингибиторы, из которых образуются радикалы, способные продолжать цепь, т. е. реагировать с исходным углеводородом. В этом случае торможение, естественно, будет наблюдаться только в тех случаях, когда образующийся из ингибитора радикал $\text{X}\cdot$ менее активен, чем радикал $\text{ROO}\cdot$, ведущий окисление углеводорода. Такое торможение будет результатом частичной подмены активных радикалов $\text{ROO}\cdot$ на менее активные радикалы $\text{X}\cdot$. Рассмотрим крайний случай, когда скорость реакции радикалов $\text{X}\cdot$ с

углеводородом больше скорости их обрыва. Тогда можно пренебречь скоростью обрыва и считать, что радикалы $X\cdot$ появляются по реакции



а исчезают по реакции



При выполнении условия стационарности концентрации свободных радикалов скорости этих реакций равны, откуда можно найти отношение:

$$\frac{[X]}{[ROO]} = \frac{k_5 [J]}{k_6 [RH]}$$

и выразить концентрации радикалов $ROO\cdot$ и $X\cdot$ через общую концентрацию радикалов n : $[ROO] = \frac{nk_6 [RH]}{k_5 [J] + k_6 [RH]}$, $[X\cdot] = \frac{nk_5 [J]}{k_5 [J] + k_6 [RH]}$. В отсутствие ингибитора скорость реакции окисления определяются скоростью реакции радикалов $ROO\cdot$ с углеводородом. В присутствии ингибитора часть радикалов $ROO\cdot$ заменяется на радикалы $X\cdot$, которые также реагируют с углеводородом. Поэтому в присутствии ингибитора скорость реакции равна:

$$\frac{d[ROOH]}{dt} = k_1 [RH] [RO_2\cdot] + k_6 [RH] [X\cdot].$$

Заменяя концентрации $ROO\cdot$ и $X\cdot$ через полученные выше выражения, получаем

$$\frac{d[ROOH]}{dt} = k_1 [RH] \frac{1 + \frac{k_5 [J]}{k_1 [RH]}}{1 + \frac{k_5 [J]}{k_6 [RH]}} n = k_1 [RH] n \frac{1 + \delta b \frac{[J]}{[RH]}}{1 + b \frac{[J]}{[RH]}} n = k_1 \varepsilon [RH] n.$$

Выражение $k = k_1 \frac{1 + \delta b [J] / [RH]}{1 + b [J] / [RH]} = k_1 \varepsilon$ представляет собой среднюю величину константы скорости реакции продолжения цепи. Эта величина с изменением концентрации ингибитора меняется в пределах от k_1 ($[J]=0$) до k_6 (при $[J] \gg \frac{[RH]}{\delta}$). При линейном обрыве цепей получается следующее уравнение в безразмерных переменных: $d\pi/d\tau = \varepsilon(\pi + \omega_0)$. При введении ингибитора в момент $\tau = 0$, $\pi = \omega_0 (e^{\varepsilon\tau} - 1)$, а при введении его в развившуюся реакцию:

$$\pi = \pi_1 e^{\varepsilon(\tau - \tau_1)} = \omega_0 (e^{\tau_1} - 1) e^{\varepsilon(\tau - \tau_1)}. \quad (IV)$$

Для квадратичного обрыва цепей получаются следующие уравнения:

$$\pi = \frac{\varepsilon^2 \tau^2}{4} + \varepsilon \sqrt{\omega_0} \tau \approx \frac{\varepsilon^2 \tau^2}{4}$$

при введении ингибитора в момент $\tau = 0$ и

$$\pi = \frac{\varepsilon^2 (\tau - \tau_1)^2}{4} + \varepsilon (\tau - \tau_1) \sqrt{\pi_1} + \pi_1 \quad (V)$$

при введении ингибитора в момент $\tau = \tau_1$.

Интересно сопоставить кинетические уравнения, полученные для различных механизмов ингибирования. Оказывается, что, несмотря на различие механизмов ингибирования, уравнения для линейного обрыва цепей (I) и (IV) и уравнения (III) и (V) для квадратичного обрыва цепей тождественны.

Рассмотрим ход кинетических кривых при введении ингибитора на различных временах развития реакции. Наиболее интересными являются случаи, когда параметры α , γ и ε мало отличаются от единицы, т. е. слу-

и слабого ингибирования. На рис. 1 показаны рассчитанные по уравнению (I) кинетические кривые при введении ингибитора ($\alpha = 0,8$) на различных временах τ_1 . Отчетливо видно, что чем позднее введен ингибитор, тем слабее торможение реакции. На рис. 2 показаны кинетические кривые для квадратичного обрыва цепей, рассчитанные по уравнению (II) для значения $\varepsilon = 0,7$ при введении ингибитора на различных временах τ_1 . II в этом случае, так же как и при линейном обрыве цепей, торможение реакции тем слабее, чем позже введен ингибитор в реакцию. Аналогичная картина получается и при расчете по формуле (II). Таким образом можно констатировать, что ослабление тормозящего действия ингибиторов при их введении в развившийся процесс цепной вырожденно-разветвленной реакции происходит независимо от механизма

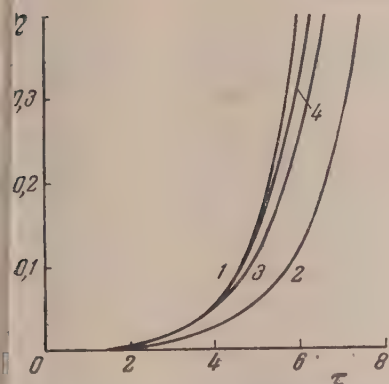


Рис. 1. Кинетические кривые цепной вырожденно-разветвленной реакции: 1 — с линейным обрывом цепей без ингибитора ($\pi = \omega_0(e^\tau - 1)$); 2 — с ингибитором с самого начала реакции ($\pi = \omega_0(e^{0,8\tau} - 1)$); 3 — при введении ингибитора в развившуюся реакцию ($\pi = \pi_1 e^{0,8(\tau - \tau_1)}$)

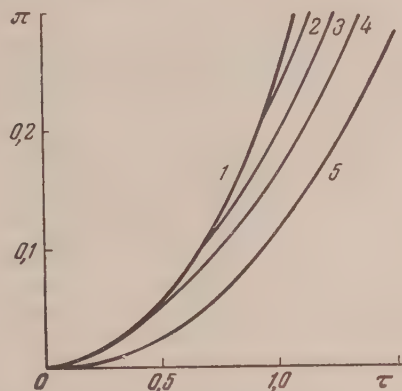


Рис. 2. Рассчитанные кинетические кривые цепной вырожденно-разветвленной реакции с квадратичным обрывом цепей; 1 — без ингибитора ($\pi = \tau^2/4$); 2-4 — при введении ингибитора в различные моменты развития процесса ($\varepsilon = 0,7$); 5 — в присутствии ингибитора с самого начала реакции ($\varepsilon = 0,7$)

ингибирования и характера обрыва цепей в реакции. Это свойство отличает цепные вырожденно-разветвленные реакции от цепных неразветвленных реакций, которые, как показал Н. М. Эмануэль [8], одинаково тормозятся как при введении ингибитора в начале реакции, так и при введении ингибитора в идущую реакцию. Причина ослабления тормозящего действия ингибиторов на цепные вырожденно-разветвленные реакции по мере их развития заключается в саморазвивающемся характере этих реакций. Скорость реакции с вырожденными разветвлениями в каждый данный момент ее протекания определяется концентрацией вещества, инициирующего цепи и образующегося в ходе самой реакции. Ингибитор тормозит образование этого вещества: чем дольше ингибитор воздействовал на реакцию в предшествующий период ее развития, т. е. чем раньше он был введен в реакцию, тем меньше образовалось продукта, инициирующего цепи, тем сильнее затормозилась реакция к данному периоду ее развития. Следовательно, торможение ингибитором реакции с вырожденным разветвлением определяется не только силой его тормозящего действия, но и продолжительностью этого воздействия. Именно эта зависимость торможения реакции от продолжительности воздействия ингибитора и приводит к тому, что ингибитор сильнее всего тормозит реакцию при введении его в исходный углеводород.

Сказанное выше отчетливо видно из сравнения скоростей реакций в присутствии ингибитора, начиная с некоторого момента времени, и без

него. При линейном обрыве цепей скорость реакции $v = \omega_0 e^{\tau}$, а при введении ингибитора в момент τ_1 :

$$v_{\text{инг}} = \omega_0 \varepsilon e^{\tau_1} e^{\varepsilon(\tau - \tau_1)}.$$

Отношение

$$v_{\text{инг}} / v = \varepsilon e^{\tau_1(1-\varepsilon)} e^{\varepsilon(1-\varepsilon)\tau}.$$

При $\tau_1 = \tau$ $v_{\text{инг}} / v = \varepsilon$, а при $\tau_1 = 0$ $v_{\text{инг}} / v = \varepsilon e^{-(1-\varepsilon)\tau} = \varepsilon / e^{(1-\varepsilon)\tau}$. Таким образом, введение ингибитора в данный момент развития реакции затормаживает реакцию в $1/\varepsilon$ раз, а его введение в начале реакции — в $e^{(1-\varepsilon)\tau} / \varepsilon$ раз (если $\varepsilon = 0,8$, то при $\tau = 5$ скорость реакции при введении ингибитора в начале реакции уменьшается не в 1,25, а в 3,4 раза).

При квадратичном обрыве цепей отношение $\frac{v_{\text{инг}}}{v} = \varepsilon^2 \left(1 - \frac{\tau_1}{\tau}\right) + \varepsilon \frac{\tau_1}{\tau}$ меняется от ε^2 при $\tau_1 = 0$ до ε при $\tau_1 = \tau$. (Например, для $\varepsilon = 0,7$ скорость реакции уменьшается в 1,43 раза при введении ингибитора в данный момент реакции и в 2 раза при введении ингибитора в начале реакции.)

Если при квадратичном обрыве цепей их обрыв на ингибиторе происходит линейно (уравнение (II)), то тормозящее действие ингибитора ослабевает по мере протекания реакции. В этом случае наряду с продолжительностью воздействия ингибитора на реакцию имеет значение то обстоятельство, что в развившейся реакции доля цепей, обрывающихся линейно на ингибиторе, уменьшается по сравнению с их квадратичным обрывом. Наконец, есть еще одно обстоятельство, увеличивающее эффект более сильного ингибирования реакции при введении ингибитора в исходный углеводород, которое будет обсуждено в конце статьи.

Существенно важным является вопрос о возможности кинетически различать между собой разные механизмы ингибирования. Тождественность уравнений (I) и (IV), (III) и (V) на первый взгляд говорит о том, что этого сделать нельзя. Однако рассмотрение зависимости постоянной скорости окисления от концентрации ингибитора указывает на существующую возможность такого кинетического различия механизмов ингибирования.

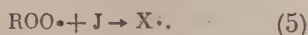
Если ингибитор обрывает цепи (образующиеся из него радикалы неактивны), то тогда при линейном обрыве цепей скорость окисления $v = \text{const} \frac{1}{1 + A[J]}$, а при квадратичном — $v = \text{const} \frac{1}{\sqrt{1 + B[J]}}$. Нетрудно

видеть, что в обоих случаях увеличение концентрации ингибитора приводит к остановке реакции ($v \rightarrow 0$ при $[J] \rightarrow \infty$). Если ингибитор приводит к подмене части радикалов $\text{ROO}\cdot$ на менее активные радикалы, способные, однако, реагировать с углеводородом, то при любом характере обрыва цепей $v = \frac{1 + \delta b [J]}{1 + b [J]} \text{const}$ и при достаточно большой концентрации ингиби-

тора скорость реакции достигает своей предельной величины $v = \text{const} \delta$ и не меняется с дальнейшим увеличением концентрации ингибитора. Именно такой предельный характер был установлен для зависимости скорости окисления вазелинового масла от концентрации добавленных ароматических углеводородов (нафталина, антрацена, фенантрена) [9]. Увеличение концентрации ароматических углеводородов свыше 5% не приводило к дальнейшему снижению скорости окисления. Таким образом вполне возможно различать характер действия ингибитора на реакцию по зависимости скорости окисления от концентрации введенного ингибитора. Необходимо, однако, отметить, что между сильными и слабыми ингибиторами нет непреходимой разницы. Сильные ингибиторы можно рассматривать как предельный случай слабых ингибиторов, когда δ становится очень малой, и величиной $\delta b [J]$ в выражении $v = \text{const} \cdot \frac{1 + \delta b [J]}{1 + b [J]}$

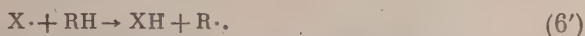
можно пренебречь. Такой общий подход к действию ингибиторов позволяет внести полную ясность в понятия о силе и эффективности действия ингибитора на цепные реакции.

Сильное торможение реакции, практически полную остановку ее может вызвать только такой ингибитор, молекулы которого превращаются в активные радикалы после реакции с радикалами, ведущими реакцию. Активность радикала в реакции определяется величиной константы скорости реакции продолжения цепи k_6 . Для неактивного радикала $k_6 \ll k_1$, т.е. $\delta \ll 1$. Наоборот, для слабого ингибитора величина δ не сильно отличается от единицы. Так как δ характеризует собой тот предел, к которому стремится величина скорости окисления при возрастании концентрации ингибитора, то, в свою очередь, по величине этого предела, определяемого из опыта, можно судить о том, является ли данный ингибитор сильным или слабым. Эффективность торможения ингибитором данной реакции определяется минимальной концентрацией этого ингибитора, при которой достигается предельное ингибирование, характеризующееся величиной δ . Из двух ингибиторов одинаковой силы более эффективным является тот, у которого эта минимальная концентрация меньше. Нетрудно видеть, что эффективность ингибитора характеризуется той скоростью, с которой он реагирует со свободными радикалами, ведущими данную реакцию. Количественным критерием эффективности действия ингибитора является величина константы скорости реакции



чем больше k_5 , тем меньше нужно ввести ингибитора, чтобы затормозить реакцию в нужной степени реакцию окисления.

Изложенный выше подход к понятиям силы и эффективности действия ингибиторов проиллюстрирован на рис. 3, на котором показано рассчитанное теоретически изменение скорости реакции в зависимости от концентрации введенного ингибитора для ингибиторов различной силы и эффективности. Кривая 1 соответствует сильному эффективному ингибитору, кривая 2 — сильному неэффективному ингибитору, кривая 3 — слабому эффективному и кривая 4 — слабому неэффективному ингибитору. Сила и эффективность ингибитора определяют не только химическими свойствами ингибитора, но и свойствами веществ, вступающих в образующихся в ходе реакции, куда вводится ингибитор. Действительно, активность радикала, образующегося из ингибитора, зависит не только от ингибитора, но и от углеводорода, так как определяется скоростью реакции



Радикал $\text{X}\cdot$, не активный при окислении одного углеводорода, может казаться достаточно активным в реакции с другим углеводородом, у

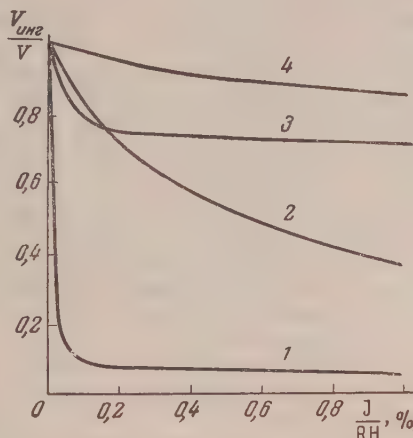


Рис. 3. Изменение постоянной скорости окисления в зависимости от концентрации введенного ингибитора для различных ингибиторов, рассчитанное по формуле

$$\frac{v_{\text{инг}}}{v} = \frac{1 + \delta b |J|/[RH]}{1 + b |J|/[RH]} : 1 \text{ — сильный эффективный ингибитор } (\delta = 0,05, b = 20\,000); 2 \text{ — сильный малоэффективный ингибитор } (\delta = 0,05, b = 200); 3 \text{ — слабый эффективный ингибитор } (\delta = 0,7, b = 1000); 4 \text{ — слабый неэффективный ингибитор } (\delta = 0,7, b = 100)$$

которого менее прочная С — Н связь. Поэтому сила торможения данным ингибитором зависит как от химического строения ингибитора, так и от химического строения окисляемого углеводорода и от условий проведения реакции. Эффективность ингибитора также зависит не только от свойств самого ингибитора, но и от свойств радикалов, ведущих окисление, так как определяется скоростью реакции (5). Следовательно, вполне возможны такие случаи, когда ингибитор, сильный и эффективный при торможении окисления одного углеводорода, может оказаться недостаточно сильным и эффективным при его введении в другой окисляющийся углеводород.

Изложенная выше трактовка действия ингибиторов, основанная на цепной теории, позволяет объяснить факты противоположного действия добавок некоторых веществ на окисление различных углеводородов. Известно, например, что добавки жирных спиртов и кислот в исходную смесь углеводородов в одних случаях ускоряют окисление [10, 11], в других случаях тормозят его [11, 12]. Эти факты можно объяснить следующим образом. Активность радикалов, через которые протекает окисление углеводорода, меняется от одного углеводорода к другому. Радикалы, образующиеся в ходе окисления из таких родственных углеводородов соединений, как спирты и кислоты, по-видимому, не сильно отличаются по своей активности от радикалов, образующихся при окислении углеводородов. Поэтому вполне допустимы такие случаи, когда радикалы, образующиеся в ходе окисления такого вещества, менее активны, чем соответствующие радикалы из одного углеводорода, но более активны, чем радикалы, ведущие окисление другого углеводорода. В первом случае добавка этого вещества будет тормозить окисление, а во втором случае — ускорять его.

Наконец, необходимо еще раз вернуться к вопросу о различном тормозящем действии ингибиторов при введении их на различных стадиях развития реакции. Как известно [13], образующиеся в ходе реакции окисления продукты реагируют со свободными радикалами и таким образом изменяют их состав. В большинстве случаев по мере протекания реакции появляется все больше и больше менее активных радикалов. Это приводит к уменьшению величины константы скорости реакции продолжения цепи. Так как тормозящее действие ингибитора определяется выражением $\varepsilon = \frac{1 + b_2 [I] / [RH]}{[1 + b [I] / [RH]]}$ и так как по мере протекания реакции из-за изменения состава радикалов константа k_1 уменьшается, а $\lambda = k_6/k_1$ — увеличивается, то ε увеличивается и приближается к единице с увеличением глубины протекания реакции. Все это приводит к тому, что чем позднее от момента начала реакции введен ингибитор, тем слабее он тормозит ее. Можно ожидать и таких случаев, когда ε , отличаясь от единицы в момент $\tau = 0$, становится практически равной единице в разившейся реакции. В таких случаях ингибитор будет тормозить процесс при введении в исходный углеводород, но не будет тормозить при его введении в развившуюся реакцию. Следовательно, на свойство цепных вырожденно-разветвленных реакций, заключающееся в наиболее сильном их торможении при введении ингибитора в реакцию до ее начала, накладывается эффект более слабого торможения цепной реакции по мере накопления продуктов окисления. Интересно отметить, что в этом последнем случае ингибитор при введении его в развившуюся реакцию будет слабее тормозить как цепную вырожденно-разветвленную, так и цепную неразветвленную реакцию.

Таким образом, то существенное различие между действием ингибиторов на цепные неразветвленные и вырожденно-разветвленные реакции, на которое указывалось выше, стирается вследствие влияния продуктов реакции на константу реакции продолжения цепи как в цепной вырожденно-разветвленной, так и в цепной неразветвленной реакции.

Выводы

1. Как показывает теоретическое рассмотрение, тормозящее действие ингибитора независимо от механизма ингибирования и характера обрыва цепей в реакции тем сильнее, чем раньше ингибитор введен в реакцию и чем дольше он на нее воздействовал. Это общее свойство для всех цепных вырожденно-разветвленных реакций является результатом их саморазвивающегося характера.
2. Указана возможность общего подхода к ингибиторам с различными механизмами торможения. На основе такого подхода дана количественная трактовка понятий силы и эффективности тормозящего действия ингибиторов. Сила тормозящего действия ингибитора определяется отношением констант скоростей реакции радикала, образующегося из ингибитора, и радикала, ведущего окисление, с углеводородом: чем больше это отношение, тем сильнее данный ингибитор. Эффективность тормозящего действия ингибитора определяется величиной константы скорости реакции радикала, ведущего окисление, с ингибитором и тем больше, чем больше величина этой константы.
3. Дано объяснение противоположному действию добавок некоторых веществ на окисление различных углеводородов. Указана возможность отсутствия торможения цепной реакции при введении слабого ингибитора в развившуюся реакцию из-за изменения состава радикалов в ходе цепного процесса.

Московский государственный
университет
им. М. В. Ломоносова

Поступила
8.X.1956

ЛИТЕРАТУРА

1. A. Robertson, W. A. Waters, Trans. Farad. Soc., **42**, 201, 1946.
2. И. В. Березин, Кандидатская диссертация, МГУ, 1953.
3. Е. Т. Денисов, Кандидатская диссертация, МГУ, 1956.
4. Д. К. Толопоко, ДАН, **104**, 101, 1955.
5. К. И. Иванов и Е. Д. Вилянская, Вопросы химической кинетики, катализа и реакционной способности, Изд-во АН СССР, 1955, стр. 260.
6. Д. Г. Кнорре, Журн. физ. химии, **29**, 1285, 1955.
7. С. Е. Воггер, G. S. Hammond, Journ. Amer. Chem. Soc., **76**, 3861, 1954; **77**, 3233, 3238, 1955.
8. Н. М. Эмануэль, Вопросы химической кинетики, катализа и реакционной способности, Изд-во АН СССР, 1955, стр. 117.
9. Н. И. Черножуков и С. Э. Крейн, Окисляемость минеральных масел, Гостоптехиздат, 1946.
10. В. С. Варламов, Продукты окисления нефтяных углеводородов, Пищепромиздат, 1937.
11. С. F. Fugus, C. B. Kretschmer, R. Wiebe, Ind. Eng. Chem., **46**, 1516, 1954.
12. Я. Б. Чертков и В. Н. Зрелов, Журн. прикл. химии, **28**, 1332, 1955.
13. Е. Т. Денисов, Журн. физ. химии, **31**, 1481, 1957.

THE SPECIFIC ACTION OF INHIBITORS ON DEGENERATE BRANCHING CHAIN REACTIONS

E. T. Denisov (Moscow)

Summary

A theoretical treatment of the retarding action of inhibitors on degenerate branching chain reactions for different inhibition mechanisms leads to the following conclusions: whatever the mechanism and the character of the chain breaking process, the retarding effect of the inhibitor is the greater the sooner it is added to the reaction mixture and the longer it has been acting on the latter. This property common to all degenerate chain branching reactions is the result of their self-propagating character.

The possibility has been indicated of a general approach to inhibitors with varying retarding mechanisms. On its basis a quantitative treatment has been presented of the conceptions of the strength and the effectivity of inhibitor action. The strength of the retarding action is defined as the ratio of the rate constants for the reaction with the hydrocarbon of the radical stemming from the inhibitor and of the radical effecting the oxidation. The lower the value of this ratio the stronger is the inhibitor. The effectivity of the inhibitor action is characterized by the value for the rate constant of the reaction between the oxidation propagating radical and the inhibitor, being the greater, the greater is this value.

An explanation has been advanced for the reverse effects of certain addition agents on the oxidation of different hydrocarbons. It has been shown that owing to change in the radical composition in the course of the chain process a weak inhibitor may exert no retarding effect on a fully developed reaction

ЭЛЕКТРОКАПИЛЛЯРНОЕ ПОВЕДЕНИЕ НЕПРЕДЕЛЬНЫХ
АЛИЦИКЛИЧЕСКИХ И АЛИФАТИЧЕСКИХ УГЛЕВОДОРОДОВ*М. А. Герович и Г. Ф. Рыбальченко*

Адсорбционная природа скачков потенциала на границе ртуть — раствор, возникающих благодаря присутствию поверхностно-активных органических соединений, особенно убедительно была установлена Н. Фрумкиным [1] на примере кислородных алифатических соединений, путем сопоставления их со значениями скачков потенциала на границе воздух — раствор. Обнаруженное при этом полуквантовое соответствие между величинами положительного скачка потенциала и ограниченного натяжения, измеренными на этих фазовых границах, дали основание считать, что в обоих случаях имеет место одинаковая ориентация адсорбированных молекул, при которой полярная группа направлена в сторону раствора. В случае адсорбции некоторых производных ароматических соединений на тех же границах раздела обнаруживается аномальное поведение последних, выражающееся в том, что на границе с ртутью наблюдаются значительно более высокие отрицательные значения адсорбционных потенциалов и более высокая адсорбируемость. Н. Фрумкин считал, что возникновение отрицательных скачков потенциала в случае адсорбции ароматических соединений связано с более плоской ориентацией молекул последних на поверхности ртути, при которой облегчается взаимодействие отрицательных атомов полярных групп металлом.

Исследование электрокапиллярного поведения незамещенных ароматических углеводородов — таких, как бензол, нафталин, фенантрен и др., выполненное одним из нас [2, 3], показало, что все эти соединения, несмотря на их неполярный характер, смещают точку нулевого заряда ртути в сторону отрицательных значений потенциала, преимущественно адсорбируясь на положительно заряженной поверхности ртути. При этом было установлено, что адсорбируемость на положительно заряженной поверхности возрастает с увеличением числа бензольных колец в молекуле.

Эти наблюдения дали основание предположить, что аномальное поведение ароматических соединений на границе с ртутью обусловлено не только взаимодействием полярных групп с поверхностью металла, сколько особенностью строения самого бензольного кольца. На основании результатов сравнения электрокапиллярного поведения ароматических с соответствующих гидроароматических углеводородов (бензол — циклопексан, нафталин — декалин) было выдвинуто представление о том, что сдвиг потенциала нулевого заряда ртути и преимущественная адсорбция молекул ароматических соединений на положительно заряженной поверхности ртути связаны с эффектом взаимодействия между π -электронами ароматического ядра и положительными зарядами поверхности ртути.

Нам представлялось, что существенным доказательством справедливости такого представления могло бы быть подтверждение аналогичного эффекта в случае адсорбции на границе ртуть — раствор молекул других классов органических соединений, в которых некоторые связи между углеродными атомами осуществляются при помощи π -электронов как, например, непредельных алициклических и алифатических углеводородов. Это и составляет предмет настоящего исследования.

Экспериментальная часть

В соответствии с поставленной задачей были сняты электрокапиллярные кривые в растворах непредельных пяти- и шестичленных циклических, а также в растворах ненасыщенных алифатических углеводородов, имеющих в молекуле одну или две двойные связи. Во всех случаях эти кривые сопоставлялись с электрокапиллярными кривыми, снятыми в растворах соответствующих насыщенных углеводородов, а в случае циклических углеводородов также и с электрокапиллярными кривыми ароматических углеводородов с одинаковым числом углеродных атомов. Все исследованные вещества были индивидуальными углеводородами, часть из которых была синтезирована в Институте органической химии им. Н. Д. Зелинского АН СССР и любезно представлены нам проф. А. Ф. Платэ, за что мы выражаем ему свою благодарность. Физические константы для каждого из них будут приведены при описании результатов измерений.

Все относительно легко полимеризующиеся непредельные углеводороды непосредственно перед измерением перегонялись в специальном приборе в токе азота и при помощи микробиюретки, составляющей часть его, дозировались в измерительный сосуд, в который заранее наливался рассчитанный объем растворителя (исходного раствора), продвинутого водородом. Исходным раствором служил абсолютный метиловый спирт, а в некоторых случаях абсолютный этиловый спирт; в последний для повышения электропроводности добавлялась тщательно высушенная соль азотнокислого аммония до концентрации $0,2$ моль/л.

Электрокапиллярные кривые снимались при помощи электрометра Гуи в сосуде, обеспечивающем полную герметичность, во избежание изменения концентрации в процессе измерения, вследствие испарения растворителя. Для предотвращения окисления непредельных углеводородов во время измерений, последние производились в атмосфере водорода. Электродом сравнения служил каломельный электрод в растворе метилового спирта, насыщенного хлористым калием и азотнокислым аммонием. Такой электрод, как указал А. Н. Фрумкин [4], имеет вполне устойчивый потенциал.

Результаты и их обсуждение

Адсорбция непредельных циклических углеводородов. На рис. 1 представлены электрокапиллярные кривые, снятые в 1 М растворах непредельных шестичленных углеводородов циклогексена, циклогексадиена-1,3, а также растворов циклогексана и бензола той же концентрации.

Физические константы этих углеводородов, характеризующие их чистоту, приводятся в табл. 1.

Таблица 1

Вещество	$T_{\text{кип}}$	n_D^{20}	d_4^{20}
Циклогексан	80,7	1,4534	
Циклогексен	82,2 (746)	1,4451	
Циклогексадиен-1,3		1,4752	0,8404

Как следует из сравнения кривых 3 и 4 с кривой 1 — метиловый спирт + $0,2$ моль/л NH_4NO_3 , оба раствора смещают положительную ветвь электрокапиллярной кривой в сторону более отрицательных значений потенциала, и, следовательно, адсорбируется на положительно заряженной поверхности ртути. Что касается циклогексана (кривая 2), то, в соответствии с ранее полученными данными [3], последний обнаруживает смещение точки нулевого заряда ртути в сторону положительных значений потенциала и не адсорбируется на положительно заряженной поверхности в тех областях потенциалов, при которых имеет место адсорбция непредельных углеводородов. Напротив, соответствующий ароматический углеводород — бензол, как видно из кривой 5, обуславливает более высокую адсорбируемость на положительно заряженной поверхности ртути.

Качественно аналогичный ход, как это видно из рис. 2, обнаруживают электрокапиллярные кривые, снятые в 1 М растворах непредель-

как пятичленных циклических углеводов — метилциклопентана-1 и метилциклопентана-2.

Сравнение этих кривых с электрокапиллярной кривой основного раствора и раствора той же концентрации соответствующего насыщенного углеводорода — метилциклопентана — показывает, что и в этом случае, как и в случае непереносимых шестичленных углеводов, имеет место адсорбция на положительно заряженной поверхности ртути.

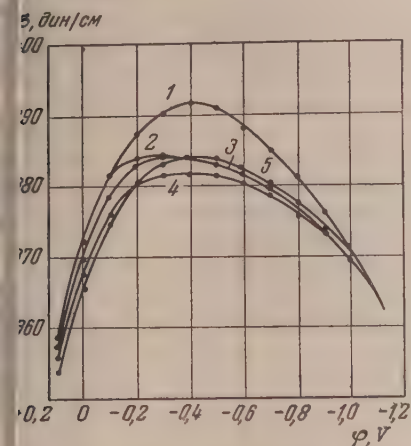


рис. 1. Электрокапиллярные кривые растворов шестичленных циклических углеводов в метиловом спирте: 1 — метилового спирта + 0,2 моль/л NH_4NO_3 ; 2 — циклогексана 1,0 моль/л; 3 — циклогексана 1,0 моль/л; 4 — циклогексана 1,0 моль/л; 5 — бензола 1,0 моль/л

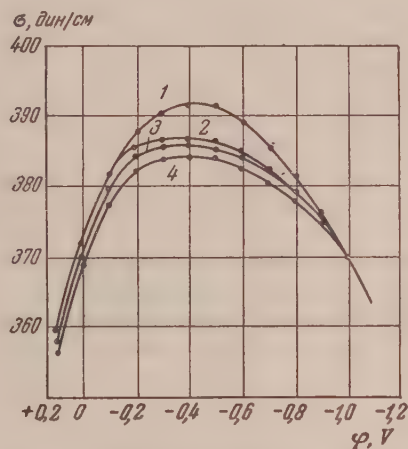


Рис. 2. Электрокапиллярные кривые растворов пятичленных циклических углеводов в метиловом спирте: 1 — метилового спирта + 0,2 моль/л NH_4NO_3 ; 2 — метилциклопентана 1,0 моль/л; 3 — метилциклопентана-2, 1,0 моль/л; 4 — метилциклопентана-1, 1,0 моль/л

Количественная характеристика адсорбируемости исследованных шестичленных непереносимых циклических углеводов при поляризации поверхности ртути, соответствующей +0,1 В, выраженная через величину понижения пограничного натяжения $\Delta\sigma$, данная в табл. 2, показывает, что между значением $\Delta\sigma$ и числом двойных связей в молекуле имеется определенная зависимость, которая в первом приближении имеет линейный характер (рис. 3). Анализ полученных экспериментальных результатов дает основание предположить, что эффект адсорбции непереносимых циклических углеводов на положительно заряженной поверхности ртути, подобно тому как это наблюдается для ароматических соединений, связан с особенностью их строения, характеризующейся наличием в их молекуле π -электронов, осуществляющих связь между углеродными атомами со свободными валентностями.

В связи с этими наблюдениями определенным интерес для их интерпретации представляют результаты исследования электрокапиллярного поведения различной степени гидрированных соединений антрацена*.

С точки зрения развитых ранее [3] представлений о π -электронном взаимодействии, как о причине преимущественной адсорбции аромати-

Таблица 2

Вещество	Концентрация, моль/л	$\Delta\sigma$ при $\varphi = +0,1\text{В}$, дин/см
Циклогексан	1	0
Циклогексен	1	1,1
Циклогексадиен-1,3	1	2,5
Бензол	1	4,5

* Эти измерения были выполнены на кафедре электрохимии Н. С. Поляновской.

ческих углеводов на положительно заряженной поверхности ртути следовало ожидать, что по мере увеличения степени гидрированности атрацена адсорбционный эффект, обусловленный ароматической структурой адсорбированных молекул, будет убывать. Действительно, рассмотрение электрокапиллярных кривых, снятых в растворах ди-, тетра-, октагидроантрацена, представленных на рис. 4, и данных понижения пограничного натяжения $\Delta\sigma$, при потенциале, равном $+0,1$ В, приведенным в табл. 3, показывает, что с уменьшением числа двойных связей в молекуле снижается адсорбируемость последних в ряду антрацен $>$ ди-, $>$ тетра-, $>$ октагидроантрацен.

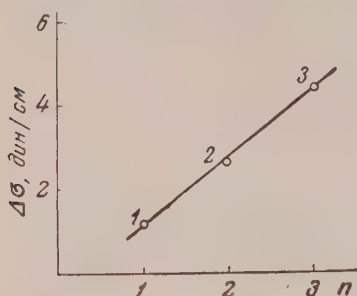


Рис. 3. Кривая, характеризующая зависимость адсорбционной активности от числа двойных связей в молекуле: 1 — циклогексен; 2 — циклогексадиен-1,3; 3 — бензол

Интересно отметить, что в растворе октагидроантрацена, в молекуле которого остается негидрированным одно бензольное кольцо, величина $\Delta\sigma$ при $\varphi = +0,1$ примерно соответствует такому же значению для бензола, при одинаковом для обоих соединений значении $\Delta\sigma$ в точке максимума электрокапиллярной кривой. Такое же соответствие величин $\Delta\sigma$ в области положительных зарядов поверхности имеет место для тетрагидроантрацена и нафталина. Удовлетворительное согласие между величинами смещения потенциала нулевого заряда в отрицательную сторону наблюдается при сопоставлении последних для тех же растворов: октагидроантрацен — бензол и тетрагидроантрацен — нафталин. К сожалению, из-за отсутствия пергидроантрацена, мы не имели возможности снять электрокапиллярные кривые растворов полностью гидрирован-

Таблица 3

Вещество	Концентрация, моль/л	$\Delta\sigma$ при $\varphi = +0,1$ В, дин/см	$\Delta\sigma$ при $\varphi = -0,35$ В, дин/см	Смещение потенциала нулевого заряда $\Delta\epsilon$, В
Октагидроантрацен	0,02	5,0	5,5	-0,035
Бензол	1,0	5,5	5,6	-0,04
Тетрагидроантрацен	0,02	8,0	4,5	-0,065
Нафталин	0,025	8,5	4,5	-0,06

ного антрацена, однако, на основании полученных выше данных, а также сопоставления электрокапиллярного поведения растворов нафталина, декалина [3], можно с достаточной степенью достоверности утверждать, что пергидроантрацен, подобно декалину и циклогексану, будет вести себя так же, как и насыщенные алифатические соединения, не обнаруживая адсорбции при поляризации, соответствующей восходящей ветви электрокапиллярной кривой. Эти результаты совершенно четко выявляют зависимость адсорбционного эффекта от степени ненасыщенности и строения гидроароматических и циклических углеводов.

Таким образом, на основании полученных данных мы приходим к выводу, что наблюдаемый в растворах неперелых циклических углеводов адсорбционный эффект, так же как и в случае ароматических углеводов, обусловлен взаимодействием между положительными зарядами поверхности ртути и π -электронами ненасыщенных циклических соединений.

Адсорбция неперелых алифатических соединений. Рассмотрим результаты, полученные при изучении

электрокапиллярного поведения ненасыщенных алифатических углеводородов с точки зрения влияния числа двойных связей и их расположения в молекуле на возникновение и величину адсорбционного эффекта. Электрокапиллярные кривые, снятые в растворах следующих алифатических соединений: *n*-гептена, гептана-1, гексадиена-1,5, гексадиена-2,4; представлены на рис. 5. В табл. 4, сведены физические константы этих углеводородов.

Таблица 4

Вещество	$T_{\text{кип}}$	n_D^{20}	d_4^{20}
<i>n</i> -Гептан	98,2	1,3880	—
Гептен-1	93,5—93,6	1,3998	0,6968
Гексадиен-1,5	58,8	1,4040	0,6930
Гексадиен-2,4	81,3—82,5	1,4534	0,7202

Кривые, снятые для 1 *M* растворов гептана и гептена, совпадают между собой в пределах ошибок наших измерений, что указывает на то, что в отличие от циклических углеводородов (циклопентена и циклогексена) алифатические углеводороды с одной двойной связью (гептен-1)

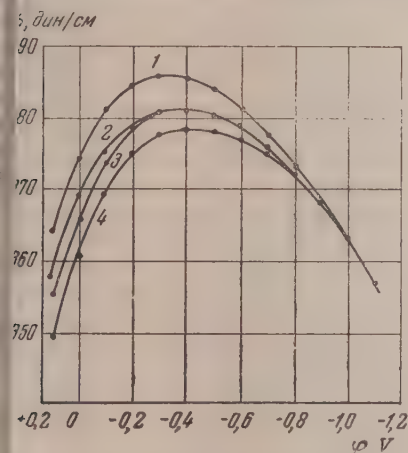


Рис. 4. Электрокапиллярные кривые растворов гидроантраценов в метиловом спирте: 1 — этиловый спирт + 0,2 моль/л H_4NO_3 ; 2 — октагидроантрацена 0,002 моль/л; 3 — тетрагидроантрацена 0,002 моль/л; 4 — антрацена 0,002 моль/л

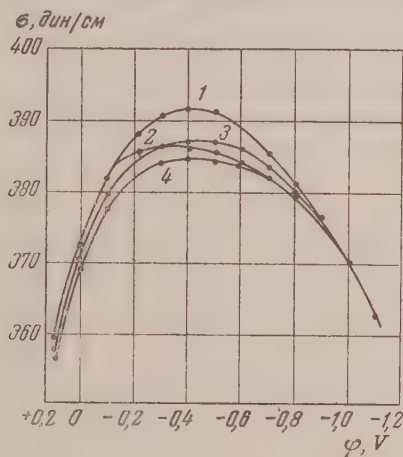


Рис. 5. Электрокапиллярные кривые растворов непредельных алифатических углеводородов в метиловом спирте: 1 — метиловый спирт + 0,2 моль/л NH_4NO_3 ; 2 — *n*-гептана и гептена 1,0 моль/л; 3 — гексадиена-1,5 1,0 моль/л; 4 — гексадиен-2 41,0 моль/л

практически не адсорбируются на положительно заряженной поверхности ртути. Следует, однако, отметить, что эти определения не исключают возможности существования небольшого адсорбционного эффекта, величина которого соизмерима с чувствительностью примененного метода.

Переход к углеводороду, содержащему в молекуле две двойные связи, гексадиену-1,5 (кривая 3), приводит к небольшому сдвигу восходящей ветви электрокапиллярной кривой в сторону более отрицательных потенциалов, указывающему на возникновение эффекта адсорбции на положительно заряженной поверхности ртути, подобно наблюдаемому для циклических углеводородов, например, циклогексадиена-1,3. Количественное сравнение адсорбируемости, выраженной в величинах пониже-

ния пограничного натяжения $\Delta\sigma$, в растворах одинаковой концентрации этих двух диеновых углеводородов, обнаруживает больший адсорбционный эффект в случае циклических соединений.

Для выяснения влияния расположения двойных связей в молекулах диеновых углеводородов сопоставлены электрокапиллярные кривые снятые в растворах гексадиена-1,5 (кривая 3) и гексадиена-2,4 (кривая 4) рис. 4. Результаты этого сопоставления показывают, что адсорбируемость на положительно заряженной поверхности ртути в случае углеводорода с сопряженной системой двойных связей (гексадиена-2,4) значительно выше, чем для углеводорода с изолированными двойными связями (гексадиена-1,3). Так, при потенциале, равном $+0,1$ В, значения $\Delta\sigma$ для обоих углеводородов соответственно равны 1,6 и 0,6 *дин/см*. Это интересное наблюдение было подвергнуто проверке на других подобных по числу и расположению двойных связей соединениях, а именно 2,5-диметилгексадиене-2,4 и 2,5-диметилгексадиене-1,5. Анализ электрокапиллярных кривых растворов этих соединений показал, что и в этом случае имеет место усиление адсорбционного эффекта при переходе от углеводорода с изолированными к углеводороду с сопряженными двойными связями. Таким образом эти опытные данные свидетельствуют о том, что эффект сопряжения двойных связей в молекуле непредельных алифатических углеводородов оказывает существенное влияние на электрокапиллярное поведение последних и приводит к усилению адсорбции на положительно заряженной поверхности ртути при переходе от соединений с несопряженной к соединениям с сопряженной системой двойных связей. Такое влияние сопряжения, с достаточной степенью вероятности может быть объяснено на основании приведенных выше взглядов на природу адсорбционного эффекта, установленного для ароматических углеводородов, согласно которым последний обусловлен взаимодействием между π -электронами и положительными зарядами поверхности металла.

Как известно, изучение магнитных свойств и электронных спектров поглощения нециклических молекул с сопряженной системой двойных связей показало, что эффект сопряжения приводит к увеличению подвижности π -электронов и смещению электронной плотности в молекуле. В этом смысле молекулы с сопряженной системой связей в известной мере ведут себя подобно молекулам металла. На основании сказанного можно себе представить, что рост адсорбционного эффекта, наблюдающийся при переходе к соединениям с сопряженными связями, есть результат усиления взаимодействия между положительными зарядами поверхности металла и π -электронами алифатического углеводорода, обусловленного увеличением подвижности последних.

Полученные результаты дают основание полагать, что метод снятия электрокапиллярных кривых и их анализ, наряду с другими методами, может служить для изучения строения некоторых классов органических соединений и, в частности, эффекта сопряжения в нециклических углеводородах.

В заключение считаем своим приятным долгом выразить искреннюю благодарность академику А. Н. Фрумкину за обсуждение результатов настоящей работы.

Выводы

1. Методом снятия $\sigma - \varphi$ кривых изучено электрокапиллярное поведение растворов пяти- и шестичленных непредельных циклических, а также ненасыщенных алифатических углеводородов.

2. Показано, что как алифатические, так и циклические непредельные углеводороды, в которых некоторые связи между углеродными атомами осуществляются при помощи π -электронов, подобно ароматическим соединениям адсорбируются на положительно заряженной поверхности ртути, хотя и в меньшей степени.

3. Установлено на примере анализа кривых циклогексен—циклогексадиен-1,3 — бензол, что этот адсорбционный эффект обнаруживает ост, в первом приближении пропорциональный числу двойных связей молекуле.

4. Показано, что при переходе от соединений с несопряженной к соединениям с сопряженной системой двойных связей в молекуле непредельных алифатических углеводородов, адсорбируемость на положительно заряженной поверхности ртути растет. Этому явлению дано объяснение с точки зрения, высказанных нами ранее представлений о π -электронном взаимодействии.

Московский государственный
университет им. М. В. Ломоносова

Поступила
8.X.1956

ЛИТЕРАТУРА

1. А. Н. Фрумкин, *Ergebn. d. exakt. Naturwiss.*, 7, 256, 1928; *Colloid Sympos. Annual.*, 7, 89, 1930; Сборник работ физ.-химич. ин-та им. Л. Я. Карпова, № 5, 17, 1926.
2. М. А. Герович, *ДАН*, 86, 543, 1954.
3. М. А. Герович, *ДАН*, 105, 1278, 1955.
4. А. Н. Фрумкин, *Электрокапиллярные явления и электродные потенциалы*, Одесса, 1919.

THE ELECTROCAPILLARY BEHAVIOR OF UNSATURATED ALICYCLIC AND ALIPHATIC HYDROCARBONS

M. A. Gerovich and G. F. Rybal'chenko (Moscow)

Summary

The electrocapillary behavior of five and six membered unsaturated cyclic and unsaturated aliphatic compounds has been studied by plotting the σ — φ curves. Like the aromatic compounds, although to a less extent, both these types of hydrocarbons in which some of the carbon to carbon bonds are effected by π -electrons have been shown to be adsorbed on a positively charged mercury surface.

From an analysis of the curves for cyclohexane, 1,3-cyclohexadiene and benzene as example, it has been demonstrated that to a first approximation the adsorption effect is proportional to the number of double bonds in the molecule.

The adsorption capacity for unsaturated aliphatic compounds on the positively charged mercury surface has been shown to increase on passing from compounds with a non-conjugate to those with a conjugate system of double bonds. This has been interpreted on the basis of the above conception of the authors on the π -electron interaction.

ИЗМЕРЕНИЕ КОЭФФИЦИЕНТОВ ТЕПЛОПРОВОДНОСТИ ГАЗОВ И ГАЗОВЫХ СМЕСЕЙ

А. М. Чайкин и А. М. Маркевич

Несмотря на то, что измерениям коэффициентов теплопроводности газов посвящено довольно много работ, в таблицах все же содержится недостаточно данных по теплопроводности индивидуальных газов, и почти отсутствуют данные по теплопроводности газовых смесей. Исследование же кинетики химических реакций методом калориметрирования [1, 2] требует знания коэффициентов теплопроводности газов и газовых смесей при различных температурах. Определение теплопроводности смесей газов обычными методами затрудняется тем, что металлические поверхности, входящие в измеряющее устройство, могут вызвать взаимодействие исследуемых газов.

В настоящей работе предлагается способ измерения коэффициентов теплопроводности, обеспечивающий отсутствие контакта газа с металлической поверхностью.

Установка и методика эксперимента

Измерения проводились в стеклянном цилиндрическом сосуде 1 (рис. 1) размером $17,8 \times 200$ мм (стекло ЗС. 5), находящемся в электрической печи, температура которой поддерживалась и измерялась с точностью $\pm 1^\circ \text{C}$. По оси сосуда и на стенке располагались стеклянные капилляры 2, концы которых 3 были герметизированы плицеином.

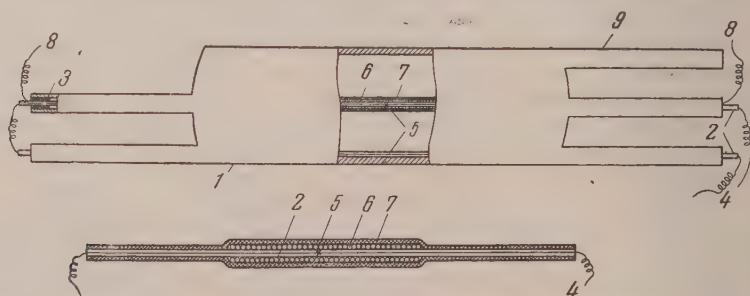


Рис. 1. Конструкция сосуда, нагревателя и положение дифференциальной термопары. Внизу дан разрез нагревателя

Диаметры осевого и бокового капилляров составляли 1 и 0,5 мм соответственно. Через капилляры была пропущена дифференциальная термопара 4, спай которой 5 находился на середине длины сосуда. Термопара изготавливалась из молибденовой и константановой проволоки диаметром 50 μ , спаянной латуной. Холодные спаи термопары находились при комнатной температуре в стеклянных трубках, опущенных в сосуд Дьюара с водой. На осевой капилляр по длине 200 мм наматывался нагреватель 6, состоящий из уложенной виток к витку нихромовой проволоки диаметром 50 μ . Поверхность нагревателя покрывалась пленкой 7 окиси кремния, для чего нагреватель смачивался продуктом омыления тетраэтоксисилана соляной кислотой в большом избытке ацетона. Толщина образующейся после испарения ацетона пленки окиси кремния составляла несколько микрон. Такое покрытие в наших условиях достаточно надежно изолировало металлическую поверхность.

Нагреватель через медные выводы 8 соединялся с источником постоянного тока.

Откачка сосуда и наполнение его различными газами осуществлялись через отгосток 9, который был подключен к вакуумной установке. Для того чтобы исключить

фотохимическую реакцию в случае работы с активными смесями (например, $H_2 + Cl_2$), а соответствующие части установки были защищены от света.

Опыт проводился следующим образом. Прибор заполнялся исследуемым газом под давлением 50–100 мм рт. ст. и в нагреватель включался ток. Величина разогрева осевого капилляра по отношению к стенкам прибора в различных опытах была 0,5–1,5°С и в каждом случае определялась по показаниям зеркального гальванометра, включенного в цепь дифференциальной термпары и предварительно градуированного с помощью термометров Бекмана. Точность определения разогрева составляла 0,005°С.

Достижение стабильных условий в каждом опыте может быть выражено условием стационарности потока тепла Q , выделяющегося на нагревателе

$$Q = Q_1 + Q_2 + Q_3 + Q_4, \quad (1)$$

где Q_1 , Q_2 , Q_3 и Q_4 — потоки тепла, определяемые соответственно теплопроводностью газа, конвекцией, излучением и теплоотводом вдоль осевого капилляра. Как было ранее показано [3], при $\Delta T < 4^\circ\text{C}$ конвективной составляющей Q_2 можно пренебречь. Это же следует по данным настоящей работы, поскольку измеренные нами значения коэффициентов теплопроводности сохраняются в разных опытах постоянными и не зависят от ΔT в пределах $0,5^\circ\text{C} < \Delta T < 1,5^\circ\text{C}$. Величина Q_4 непосредственно измерялась в опыте. Для этого в эвакуированном ($P < 10^{-4}$ мм) сосуде (где $Q_1 = Q_2 = 0$) измерялась сила тока i_1 , создающего заданный разогрев ΔT . Нашем интервале температур (20–250°С) поправка Q_3 ничтожна и в расчетах не учитывалась. Следовательно,

$$Q_1 = Q - Q_4 = 0,24 (i^2 - i_1^2) R, \quad (2)$$

где i и i_1 — величины тока, обогревающего осевой капилляр до одной и той же ΔT соответственно в заполненном газом сосуде и в вакууме, R — сопротивление нагревателя. Отсюда коэффициент теплопроводности определяется для цилиндрического сосуда, как

$$\lambda = \frac{Q_1}{2\pi l \Delta T} \ln \frac{D}{d} = \frac{0,24 (i^2 - i_1^2) R}{2\pi l \Delta T} \ln \frac{D}{d}, \quad (3)$$

где l — длина нагревателя, D и d — диаметры сосуда и нагревателя.

Результаты и обсуждение

Полученные величины коэффициентов теплопроводности для некоторых газов при различных температурах приведены в таблице

Коэффициенты теплопроводности газов

Газ	$\lambda \cdot 10^8$ кал/см сек. град						
	20	50	60	100	150	230	250°С
H_2	41,1	—	43,2	49,6	52,4	58,5	—
C_2H_4	4,7	5,9	—	7,4	8,8	11,4	12,3
Cl_2	1,9	—	2,3	2,9	3,5	4,1	4,2
HCl	3,1	—	3,6	4,3	4,6	5,8	—
$C_2H_4Cl_2$	2,1	2,6	—	3,3	3,9	—	5,1
CO_2	3,5	—	4,2	5,1	6,2	7,9	—

На рис. 2 сопоставлены коэффициенты теплопроводности λ_{CO_2} , измеренные нами и приводимые другими авторами [4 — 8]. Из рисунка видно, что наши данные попадают в полосу значений, найденных предыдущими авторами. Рис. 2 указывает также, что точность имеющихся табличных данных составляет около 10%.

На рис. 3, 4 и 5 представлены коэффициенты теплопроводности системы $\text{H}_2 + \text{Cl}_2$ и $\text{H}_2 + \text{Cl}_2 (1:1) + \text{HCl}$, измеренные для нескольких температур, и системы $\text{C}_2\text{H}_4 + \text{Cl}_2$. Как видно из рис. 3, коэффициент теплопроводности смеси водорода с хлором не является линейной функцией от состава смеси. Такой же характер зависимости коэффициента теплопроводности от состава смеси приводится Чепманом и Коулингом [9] для смеси аргона с гелием. По-видимому, подобный ход λ в зависимости от состава смеси характерен для веществ с

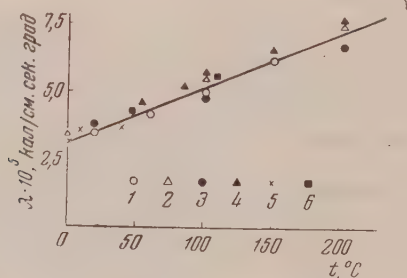


Рис. 2

Рис. 2. Сопоставление данных коэффициентов теплопроводности углекислого газа 1 — наши данные; 2 — данные [4]; 3 — данные [5]; 4 — данные [6]; 5 — данные [7]; 6 — данные [8]

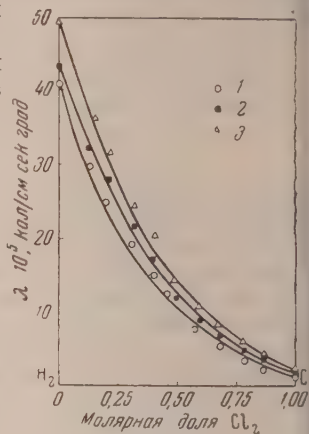


Рис. 3

Рис. 3. Зависимость коэффициента теплопроводности от состава смеси при: 1 — 20; 2 — 60 и 3 — 150°C

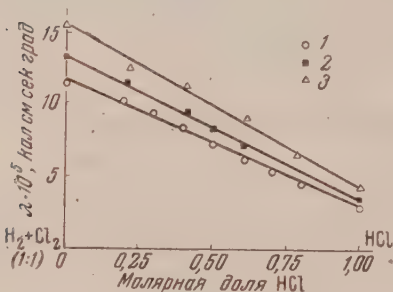


Рис. 4

Рис. 4. Зависимость коэффициента теплопроводности $\text{H}_2 + \text{Cl}_2 (1:1) + \text{HCl}$ от состава смеси при: 1 — 20; 2 — 60 и 3 — 100°C

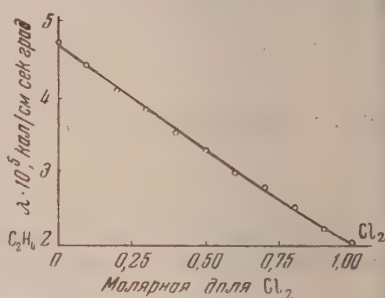


Рис. 5

Рис. 5. Зависимость коэффициента теплопроводности $\text{C}_2\text{H}_4 + \text{Cl}_2$ от состава смеси при 20°C

сильно различающимися теплопроводностями. Для смесей веществ с более близкими λ (рис. 4 и 5) коэффициент теплопроводности смеси можно в первом приближении считать линейной функцией от молярных долей компонентов.

В заключение следует отметить

1. При измерении ΔT нами не вводилась поправка на температурный скачок. Однако Манн и Диккинс [10] методом нагретой проволоки нашли, что при температуре 0—50°C, давлении 200 мм, радиус платиновой проволоки 50 μ и разности температур в несколько градусов поправка на температурный скачок для воздуха, метана, этана, пропана и бутана составляет величину 0,2%. Если учесть, что в примененной нами установке радиус нагревателя 500 μ (температурный скачок пропорционален $1/r$), поверхность

нагревателя шероховата (для шероховатой поверхности коэффициент аккомодации равен единице) и разогрев ΔT не превышает $1,7^\circ$, то ясно, что поправка на температурный скачок может составлять величину, только значительно меньшую чем $0,2\%$, т. е. можно пренебречь.

2. Принятый нами метод прямого измерения поправки на теплоотвод вдоль капилляра Q_4 основан на том, что распределение ΔT по длине прибора практически одинаково как для эвакуированного, так и для наполненного газом сосуда. На рис. 6 представлено распределение ΔT для вакуума и при заполнении водородом до давления 100 мм рт. ст.

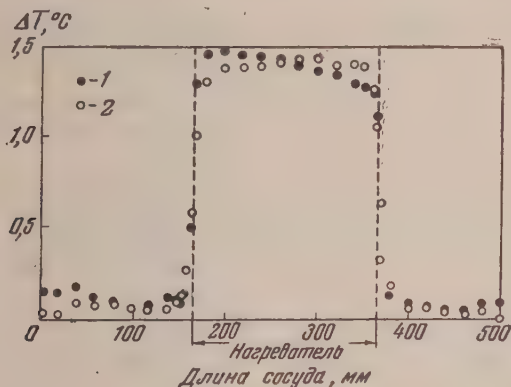


Рис. 6. Распределение разогрева ΔT по длине прибора при заполнении сосуда: 1 — водородом (100 мм рт. ст.) и 2 — в вакууме

при комнатной температуре. Эти данные были получены путем одновременного перемещения обоих спаев дифференциальной термпары вдоль сосуда. Практическое совпадение обеих кривых позволило считать теплоотвод Q_4 вдоль капилляра в обоих случаях одинаковым.

Общую точность измерения коэффициентов теплопроводности мы оцениваем в $\pm 5\%$.

Выводы

Предложен видоизмененный метод определения теплопроводности газов и газовых смесей, основанный на измерении тепловых потоков и разогревов, возникающих в цилиндрическом сосуде, по оси которого помещен нагреватель специальной конструкции. Метод позволяет измерять теплопроводность ряда химически активных газов и их смесей при таких температурах, при которых отсутствует химическое взаимодействие компонентов. Получены значения коэффициентов теплопроводности для H_2 , C_2H_4 , Cl_2 , HCl , $\text{C}_2\text{H}_4\text{Cl}_2$, CO_2 и систем $\text{H}_2 + \text{Cl}_2$ при 20 , 60 и 150°C , $(1:1) + \text{HCl}$ при тех же температурах и $\text{C}_2\text{H}_4 + \text{Cl}_2$ при 20°C . На примере данных для CO_2 показана сопоставимость значений, полученных в настоящей работе, имеющимися в литературе табличными данными.

Академия наук СССР
Институт химической физики

Поступила
13.X.1956]

ЛИТЕРАТУРА

1. М. Л. Богоявленская и А. А. Ковальский, Журн. физ. химии, 20, 1325, 1946.
2. А. М. Маркевич, Журн. физ. химии, 22, 941, 1948.
3. А. М. Маркевич, Журн. физ. химии, 30, 735, 1956.
4. Сборник «Нормы теплового расчета котельного агрегата», Всесоюзный НИИ им. Дзержинского, Госэнергоиздат, 1952.
5. J. D'Ans u. E. La x, Taschenbuch für Chemiker u. Physiker, Berlin, 1943.
6. Б. А. Столяров, В. В. Ипатьев и В. П. Теодорович, Журн. физ. химии, 24, 166, 1950.

7. Landolt-Börnstein, Phys. Chem. Tabellen.
 8. Д. Кэй и Т. Лэби, Справочник физика-экспериментатора, ИИЛ, М., 1949.
 9. S. Chapman. T. G. Cowling, The mathematical theory of nonuniform gases, Cambridge, 1939.
 10. W. B. Mann. B. G. Dickinson, Proc. Roy. Soc., A134, 77, 1931.
-

DETERMINATION OF THE THERMAL CONDUCTIVITY COEFFICIENTS OF GASES AND GASEOUS MIXTURES

A. M. Chaikin and A. M. Markevich (Moscow)

Summary

A modified method has been proposed for determining the thermal conductivities of gases and of gaseous mixtures based on heat flow and temperature increase measurements in a cylindrical vessel along the axis of which is a heating element of special design. The method permits the thermal conductivities of a number of chemically active gases and of their mixtures to be measured at temperatures at which no reaction is taking place between the components. Values have been obtained for the thermal conductivity coefficients of H_2 , C_2H_4 , Cl_2 , HCl , $C_2H_4Cl_2$, CO_2 and of the systems $H_2 + Cl_2$ at 20, 60 and 150° C, $H_2 + Cl_2$ (1 : 1) + HCl at the above temperatures and $C_2H_4 + Cl_2$ at 20° C. As illustrated by the case of CO_2 the values of the present study were shown to be in conformity with published tabular data.

ФАЗОВЫЕ ПЕРЕХОДЫ II РОДА И КРИТИЧЕСКИЕ ЯВЛЕНИЯ

VIII. ТЕПЛОЕМКОСТЬ ЖИДКИХ СМЕСЕЙ В КРИТИЧЕСКОЙ ОБЛАСТИ РАССЛАИВАНИЯ

В. К. Семенченко и Я. В. Егупов

На основании представлений, развитых одним из нас [1—5], о термодинамическом тождестве фазовых переходов второго рода и критических явлений следует, что теплоемкость жидких смесей в критической области расслаивания должна проходить через максимум.

Этот вывод получил экспериментальное подтверждение в работах по измерению теплоемкости в двойных жидких смесях, выполненных в различных лабораториях и различными методами: К. Г. Хомяков, В. А. Холлер и М. А. Некрашевич [6] обнаружили максимум теплоемкости в системе фенол — вода; В. П. Скрипов и В. К. Семенченко [7—9] в системах нитробензол — гексан, нитробензол — гептан и триэтилмин — вода; Юра, Фрага, Маки и Хильдебрандт [10] — в системах триэтилмин — вода и фторгептан — изоктан. Х. И. Амирханов и И. Г. Гурвич [11] сначала могли обнаружить максимума теплоемкости в системе фенол — вода и, руководствуясь теоретическими соображениями И. Р. Кричевского [12] о зависимости величины скачка теплоемкости от формы кривой растворимости, сочли ошибочными результаты, полученные К. Г. Хомяковым, В. А. Холлер и М. А. Некрашевич, и поставили под сомнение правильность их методики. Но, повторив свои опыты [13], они нашли максимум теплоемкости в системе фенол — вода и тем самым признали неосновательность своих критических замечаний в отношении результатов К. Г. Хомякова, В. А. Холлера и М. А. Некрашевича. Заметим, что только В. П. Скрипов и В. К. Семенченко [9] пролили систематические измерения при различных концентрациях в системе триэтилмин — вода.

В настоящей работе излагаются результаты измерений теплоемкости в системах нитробензол — *n*-гептан и нитробензол — *n*-октан и в тройной системе *n*-пропиловый спирт — вода — азотнокислый натрий при одном отношении между компонентами.

Измерения теплоемкости велись при помощи калориметра без размешивания, емкостью 5,5 мл, изотермическим способом с кратковременным главным периодом и малыми подъемами температуры (0,02° С) [14].

Вещества, применявшиеся для приготовления смесей, имели следующие показатели преломления n_D^{20} : нитробензол 1,5520; *n*-гептан 1,3884; *n*-октан 1,3980. Табличные величины n_D^{20} для этих веществ соответственно следующие: 1,5524; 1,3876 и 1,3988. Определение показателя преломления производилось с точностью до $\pm 2 \cdot 10^{-4}$.

Мы не нашли в литературе сведений о кривых растворимости для систем нитробензол — *n*-гептан и нитробензол — *n*-октан. Из работы [15] мы могли получить сведения только о критических температурах расслаивания для этих систем; они оказались равными: для системы нитробензол — *n*-гептан 19,48° С, для системы нитробензол — *n*-октан 19,67° С. Критические температуры расслаивания, полученные нами, соответственно равны: для системы нитробензол — *n*-гептан 20,68° С и для системы нитробензол — *n*-октан 20,06° С. Отсюда видно, что критические температуры наших растворов отличаются от литературных данных.

Температура расслаивания растворов вблизи критической точки, определяемая по началу помутнения, дана в табл. 1 и на рис. 1

Как видно из рис. 1, ход температуры расслаивания свидетельствует о том, что ширина критической области по оси концентраций мала, что подтверждено наблюдаемым нами ходом изменения соотношения между объемами фаз, возникающих в результате расслаивания. Этот ход для системы нитробензол — *n*-октан представлен в табл. 1 на рис. 1, б. Он отличается быстрым уменьшением объема верхней фазы с увеличением концентрации нитробензола в растворе, например в растворе, содержащем 51,24 мол. % нитробензола, соотношение между объемами фаз равно 1 : 1, а в растворе с 55,87 мол. %

нитробензола расслаивание наступает у самой поверхности жидкость — пар. Отсюда вытекала необходимость более точно определять критическую концентрацию и для исследования теплоемкости растворы, мало отличающиеся по своей концентрации.

Мы были вынуждены вести измерения в небольшом температурном интервале, примерно 0,7—0,8° С. Мы не могли расширить величину этого интервала, поскольку опыты данной серии измерений должны быть проведены без перерыва.

Для снятия политерм теплоемкости применялись свежеприготовленные растворы. Измерения вязкости [16] и теплоемкости [17] показали, что результат опыта зависит от того, подвергалась ли система расслаиванию до опыта, или нет. Поэтому мы в процессе приготовления растворов нитробензол — *n*-гептан и нитробензол — *n*-октан, имеющих верхнюю критическую температуру, несколько превышающую комнатную температуру, стремились к тому, чтобы сама процедура приготовления раствора не вела к расслаиванию. Для этого жидкости наливались в колбу так, чтобы они смешивались, а образовывали два слоя, расположенные соответственно их удельному весу, и в таком виде переворачивались в воздушный термостат, окружающей оболочку калориметра. После того как жидкости в этом термостате прохладивались до температуры 30° С, на температуру превышающей температуру расслаивания, мы их взбалтывали и получали смесь, еще ни разу не подвергавшуюся расслаиванию. Не вынося раствор из термостата, мы наполняли им калориметрический стаканчик.

Такие предосторожности не соблюдались при приготовлении растворов пропиловый спирт — вода — азотнокислый натрий, так как в этом случае измерения велись в области нижней критической температуры, превышавшей комнатную температуру.

Таблица 1
Температуры расслаивания нитробензол — *n*-октан в критической области расслаивания и соотношение между объемами фаз, возникших при расслаивании

Концентрация в %		Температура расслаивания, °С	$\frac{v_1}{v_1 + v_2}$
весовая	мольная		
50,00	48,13	19,94	0,6
53,11	51,24	20,01	0,5
54,15	52,28	20,05	0,44
54,66	52,28	20,06	—
55,42	53,56	20,00	0,33
56,57	54,72	19,96	0,15
57,71	55,87	19,90	0,04

Примечание: v_1 — объем верхней фазы, v_2 — нижней фазы. Определение температуры расслаивания раствора концентрации 52,81 мол. % производилось с раствором, бывшим в употреблении при измерении теплоемкости.

Измерения теплоемкости проводились в системе нитробензол — *n*-гептан при концентрациях нитробензола в 45,85; 46,83; 47,04; 47,08; 47,36; 47,79 мол. %, в системе нитробензол — *n*-октан при концентрациях нитробензола в 52,27; 52,52; 52,65; 52,81; 53,06; 53,40 и 53,82 мол. % и в растворе тройной системы *n*-пропиловый спирт — вода — азотнокислый натрий, включавшем в себя 37,73 вес. % *n*-пропилового спирта; 54,73 вес. % воды и 9,55 вес. % азотнокислого натрия.

Результаты этих измерений представлены в табл. 2—4, а в табл. 5 приведены сведения обобщающего характера о положении и величине максимумов теплоемкости в растворах нитробензол — *n*-гептан и в растворах нитробензол — *n*-октан. На рис. 2—7 даны политермы теплоемкости для растворов нитробензол — *n*-октан, а на рис. 8 — изменение величины максимума теплоемкости для растворов нитробензол — *n*-гептан.

Из этих рисунков и таблиц мы видим, что в системе нитробензол — *n*-гептан и нитробензол — *n*-октан существует некоторая область концентраций, в которой наблюдаются максимумы теплоемкости, а внутри этой области есть такая концентрация, при которой величина максимума теплоемкости оказывается наибольшей. Если сопоставить ход изменения величины максимума теплоемкости от одной концентрации раствора к другой с ходом температуры расслаивания в зависимости от концентрации, то оказывается, что наибольшая величина максимума теплоемкости наблюдается в таком растворе, температура расслаивания которого выше, чем у раствора других концентраций, т. е. в растворе критической концентрации. По мере удаления концентрации раствора от критической в одну и в другую сторону величина максимума теплоемкости уменьшается и наконец, становится равной нулю. Следовательно, мы вправе говорить о существовании определенной для данной системы области концентраций, в которой возможно существование максимумов теплоемкости на политерме

Таблица

Удельная теплоемкость растворов нитробензол — *n*-гептан

$t, ^\circ\text{C}$	$C_p, \frac{\text{кал}}{\text{г град}}$	$t, ^\circ\text{C}$	$C_p, \frac{\text{кал}}{\text{г град}}$	$t, ^\circ\text{C}$	$C_p, \frac{\text{кал}}{\text{г град}}$
= 45,85 мол. % нитробензола = 50,98 вес. %		$c = 47,04$ мол. % нитробензола = 52,18 вес. %		$c = 46,83$ мол. % нитробензола = 51,98 вес. %	
20,18	0,484	20,24	0,440	20,16	0,423
20,00	0,462	20,15	0,433	20,14	0,404
19,90	0,478	20,04	0,445	20,03	0,415
19,81	0,458	19,98	0,439	19,92	0,424
19,74	0,465	19,90	0,457	19,83	0,430
19,68	0,471	19,82	0,479	19,78	0,246
19,66	0,470	19,74	0,511	19,73	0,429
19,61	0,486	19,67	0,547	19,69	0,463
19,54	0,477	19,62	0,620	19,66	0,441
19,48	0,479	19,58	0,488	19,61	0,431
19,42	0,476	19,54	0,463	19,57	0,423
= 47,08 мол. % нитробензола = 52,25 вес. %		$c = 47,36$ мол. % нитробензола = 52,48 вес. %		$c = 47,79$ мол. % нитробензола = 52,93 вес. %	
20,30	0,432	20,17	0,407	20,08	0,407
20,28	0,444	19,95	0,424	20,04	0,415
20,20	0,465	19,86	0,417	19,91	0,390
19,91	0,439	19,77	0,445	19,82	0,393
19,80	0,455	19,70	0,436	19,70	0,394
19,72	0,463	19,65	0,461	19,63	0,406
19,66	0,504	19,58	0,480		
19,64	0,497	19,55	0,454	19,58	0,419
19,61 (5)	0,535	19,53	0,404	19,53	0,399
				19,46	0,405
19,57	0,490			19,41	0,407
19,52	0,466			19,34	0,416

Изложенный ход теплоемкости в системах нитробензол — *n*-гептан нитробензол — *n*-октан в критической области расслаивания находится в полном соответствии с теоретическими соображениями одного из нас, согласно которым максимум теплоемкости в критической области расслаивания должен постепенно затухать по мере удаления концентрации раствора от критической, и нашедшими первое подтверждение при измерении теплоемкости в системе триэтиламин — вода [7].

Наличие максимума теплоемкости в тройной системе указывает на то, что физическая природа расслаивания в тройной системе, сопровождающееся в данном случае образованием двух фаз (в некоторых случаях может возникнуть три фазы [18]), является такой же, как и в двойной системе.

Из приведенных результатов измерения теплоемкости особое внимание привлекает к себе температурный ход теплоемкости в растворах нитробензол — *n*-октан в содержании нитробензола 52,81 мол. %. Величина максимума теплоемкости для этого раствора равняется 300% и развитие этого максимума сосредоточено в очень узком температурном интервале, равном 0,07°C. Такой ход максимума теплоемкости свидетельствует о том, что здесь в растворе происходит интенсивное изменение структуры раствора, соответствующее переходу раствора от однофазного состояния к двухфазному. Об особом состоянии раствора в этом температурном интервале говорит и наблюдение за временем, в течение которого устанавливается тем-

Таблица 3

Удельная теплоемкость растворов нитробензол — *n*-октан

$t, ^\circ\text{C}$	$C_p, \frac{\text{кал}}{\text{г град}}$	$t, ^\circ\text{C}$	$C_p, \frac{\text{кал}}{\text{г град}}$
$c = 52,27$ мол. % нитробензола = 52,15 вес. %		$c = 52,52$ мол. % нитробензола = 54,38 вес. %	
20,76	0,467	20,83	0,470
20,70	0,516	20,71	0,484
20,60	0,537	20,62	0,504
20,54	0,540	20,49	0,515
20,34	0,576	20,41	0,532
20,27	0,610	20,36	0,548
20,13	0,619	20,32	0,581
20,07	0,642	20,29	0,627
20,02	0,763	20,26	0,774
19,97	0,708	20,23	0,568
19,93	0,679	20,19	0,547
$c = 52,65$ мол. % нитробензола = 54,52 вес. %		$c = 53,06$ мол. % нитробензола = 54,92 вес. %	
20,81	0,478	20,81	0,484
20,70	0,488	20,80	0,507
20,63	0,499	20,74	0,500
20,53	0,551	20,71	0,493
20,42	0,619	20,70	0,575
20,37	0,667	20,68	0,572
20,32	0,706	20,54	0,663
20,29	0,857	20,44	0,780
		20,36	0,954
20,25	0,611	20,31	1,24
20,22	0,569	20,25	1,28
$c = 52,81$ мол. % нитробензола = 54,66 вес. %		20,23	0,99
20,85	0,452	20,19	0,61
20,73	0,446	$c = 53,40$ мол. % нитробензола = 52,25 вес. %	
20,64	0,444	20,70	0,551
20,54	0,461	20,60	0,535
20,52	0,470	20,49	0,587
20,50	0,503	20,42	0,614
20,49 (2)	0,462	20,35	0,632
20,49	0,450	20,30	0,665
20,46 (2)	0,532	20,25	0,683
20,46	0,560	20,21	0,737
20,43	0,95	20,17	0,863
20,41	1,89		
20,40	0,490	20,14	0,785
$c = 53,82$ мол. % нитробензола = 55,75 вес. %		20,12	0,680
20,67	0,460	20,18	0,459
20,54	0,447	20,13	0,463
20,14	0,450	20,08	0,459
20,33	0,461	20,01	0,463
20,24	0,472	19,89	0,463

тепловое равновесие после нагревания раствора в ходе калориметрического опыта. Обычно это время равнялось 3—4 мин., а в точке, соответствующей наибольшему максимуму теплоемкости, продолжительность времени установления теплового равновесия оказалась равной 30 мин.

Необычная продолжительность времени установления теплового равновесия наблюдалась нами и в другом растворе нитробензол — *n*-октан при концентрации, близкой к критической концентрации и равной 53,06 мол. %. В этом растворе максимум теплоемкости более 100%, а продолжительность установления теплового равновесия при темпера-

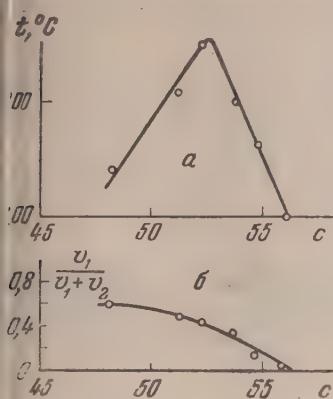


Рис. 1

с. 1. Определение критической концентрации в системе нитробензол — *n*-октан: а — кривая температур расслаивания; б — соотношение между объемами фаз при температурах расслаивания

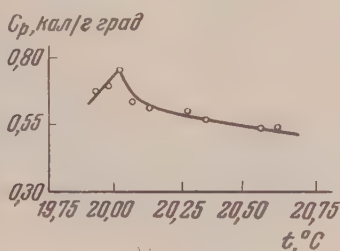


Рис. 2

Рис. 2. Политерма теплоемкости смеси нитробензол — *n*-октан, 52,27 мол. % нитробензола

ре, соответствующей максимуму теплоемкости, оказалась равной 22 мин., т. е. несколько меньшей, чем в растворе критической концентрации. Приведенные факты длительного времени, необходимого для установления теплового равновесия в жидких смесях, до сих пор, насколько нам известно, еще не наблюдались, и мы их рассматриваем как признак того, что раствор нитробензол — *n*-октан с концентрацией 52,81 мол. % действительно очень близок к раствору критической концентрации.

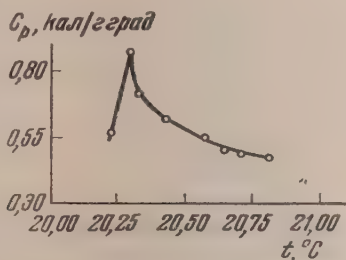


Рис. 3. Политерма теплоемкости смеси нитробензол — *n*-октан, 52,65 мол. % нитробензола

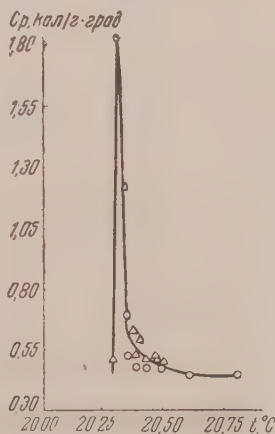


Рис. 4. Политерма теплоемкости смеси нитробензол — *n*-октан, 52,81 мол. % нитробензола

В связи с большой продолжительностью установления теплового равновесия при измерении теплоемкости в растворе критической концентрации возникает вопрос о том, в каком направлении влияет это обстоятель-

Таблица 4

Удельная теплоемкость раствора тройной системы, имеющего в своем составе 35,73 % вес. *n*-пропилового спирта, 54,72 % воды и 9,55 % азотнокислого натрия

$t, ^\circ\text{C}$	$C_p, \frac{\text{кал}}{\text{г. град}}$	$t, ^\circ\text{C}$	$C_p, \frac{\text{кал}}{\text{г. град}}$
32,34	0,677	32,97	0,813
32,47	0,685	33,03	0,830
32,65	0,668	33,09	0,865
32,69	0,683	33,12	0,890
32,75	0,709		
32,85	0,742		
32,90	0,781	33,15	0,829
		33,18	0,796
		33,20	0,789

ство на измерение величины максимума теплоемкости. Установление теплового равновесия происходило при температуре калориметра, меньшей температуры его оболочки, и вследствие этого наблюдаемый подт

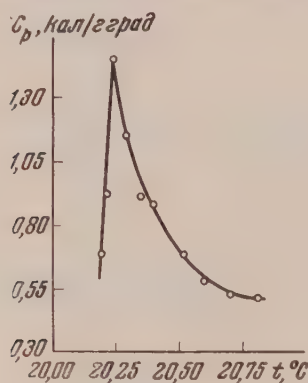


Рис. 5. Политерма теплоемкости смеси нитробензол — *n*-октан, 53,06 мол. % нитробензола

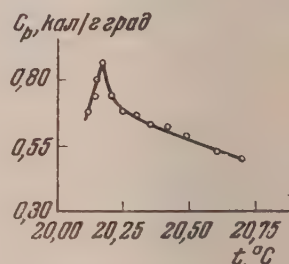


Рис. 6. Политерма теплоемкости смеси нитробензол — *n*-октан, 53,40 мол. % нитробензола

температуры калориметра в ходе калориметрического опыта оказывалась за счет теплообмена, несколько больше того, который должен был произойти под влиянием тепла, введенного при помощи нагревателя. Поэтому

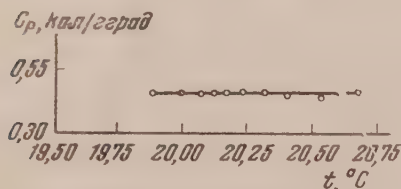


Рис. 7. Политерма теплоемкости смеси нитробензол — *n*-октан, 53,82 мол. % нитробензола

наблюдаемые максимумы теплоемкости для растворов с 52,81 и 53,40 мол. % нитробензола, по сравнению с истинными, оказались несколько заниженными.

Заметим, что максимум теплоемкости, развивающейся в интервале 0,07° С, был обнаружен именно поэтому, что мы вели опыт измерения теплоемкости при малых подъемах температуры (0,02° С). Большие подъемы температуры сгладили бы максимум теплоемкости.

Температурный ход теплоемкости в повторных опытах, произведенных с той же самой порцией раствора, что и в первом опыте, оказывался таким же, как и в первых опытах. Незначительные различия наблюдались только

Таблица 5

Положение и величина максимума теплоемкости в растворах нитробензол — *n*-гептан и нитробензол — *n*-октан

Концентрация раствора		Средний молекулярный вес раствора	Температура, соответствующая максимуму теплоемкости	$\frac{C_p \text{ макс} - C_p}{C_p} \cdot 100\%$
весовых	мольных			

Нитробензол — *n*-гептан

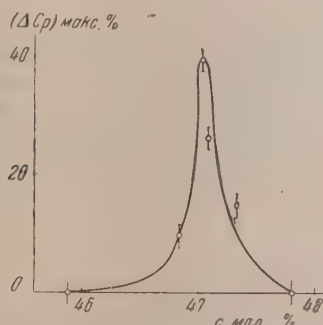
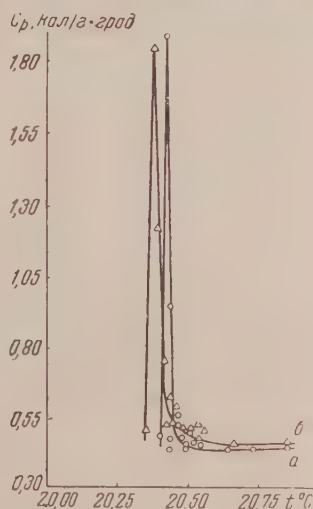
50,98	45,85	110,73	Максимум нет	
51,98	46,83	110,92	19,69	10
52,18	47,04	110,99	19,62	41
52,25	47,08	111,00	19,65	27
52,48	47,36	111,05	19,58	17
52,93	47,79	111,15	Максимум нет	

Нитробензол — *n*-октан

54,14	52,27	118,86	20,02	63
54,38	52,52	118,89	20,26	64
54,52	52,65	118,92	20,29	82
54,66	52,81	118,92	20,36	300
54,92	53,06	118,94	20,25	162
55,25	53,40	118,97	20,17	68
55,75	53,82	119,00	Максимум нет	

Примечание. C_p принадлежит почти горизонтальному участку политермы теплоемкости.

величине максимума теплоемкости и в его положении на оси температур, является вполне закономерным, так как на результаты повторных измерений может оказать влияние и то, что в повторном опыте система приводится к расслаиванию не в первый раз (истерезисные явления). В качестве примера приводим на рис. 9 сопоставление результатов измерения теплоемкости в двух сериях в растворе нитробензол — *n*-октан с содержанием нитробензола 52,81 мол. %.

Рис. 8. Величина максимумов теплоемкости в смесях нитробензол — *n*-гептанРис. 9. Воспроизводимость результатов измерения теплоемкости в растворе нитробензол — *n*-октан критической концентрации

Из этого сопоставления видно, что общий ход политермы теплоемкости воспроизводится до значения величины максимума, положение которого на политерме, соответствующей повторной серии измерений, оказалось смещенным на $0,047^\circ \text{C}$.

Рассмотрим вопрос о ширине критической области расслаивания. Из табл. 5 видно, что максимумы теплоемкости наблюдаются в системе нитробензол — *n*-гептан от 46,83 до 47,36 мол. %, в системе нитробензол — октан — от 52,27 до 53,40 мол. %. В системе триэтиламин — вода, по данным В. П. Скрипова и В. К. Семенченко [7, 9], максимумы теплоемкости наблюдаются в интервале концентраций от 2,85 до 12,6 мол. %. Из этих данных следует, что критическая область расслаивания сосредоточена в различных системах в различных интервалах концентраций: в системе нитробензол — *n*-гептан ширина критической области составляет около 0,5 мол. %, в системе нитробензол — *n*-октан она более 1%, а в системе триэтиламин — вода она более 10%, т. е. ширина критической области по концентрации изменяется в широких пределах — от долей мольного процента до десятков процентов.

Такие различия в протяженности критической области расслаивания у различных жидких систем заставляют быть особенно внимательными в выборе концентраций растворов для калориметрических опытов. Критические концентрации по литературным данным могут отличаться более чем на 1 мол. %, а ширина критической области расслаивания, как мы видели, может составлять доли мольного процента. Поэтому, выбирая концентрации растворов для калориметрических опытов по литературным данным, можно их выбрать настолько неудачно, что они окажутся лежащими вне критической области расслаивания, и максимум теплоемкости не будет обнаружен.

Наличие резких температурных изменений теплоемкости в критической области расслаивания показывает, что критическое расслаивание является таким фазовым переходом, который происходит не изотермически и характеризуется конечным, хотя и малым, значением теплоты приращивания и изменения энтропии. Поскольку этот фазовый переход не изотермический, он не может быть отнесен к фазовым переходам первого рода, а является закритическим переходом [5].

Явлению критического расслаивания мы находим аналог среди полиморфных превращений кристаллов. Так, например, Н. Н. Синельник [19], измеряя теплоемкость кварца в области его $\alpha \rightleftharpoons \beta$ превращений, нашел, что при $\alpha \rightarrow \beta$ превращениях кварца не существует изотермического превращения. Аномальный рост теплоемкости, связанный с этим превращением кварца, начинается около 553° С и заканчивается при 574,1° С.

Если сопоставить температуры расслаивания растворов нитробензол — *n*-октан и температуры, при которых возникают максимумы теплоемкости в этих растворах, то оказывается, что температуры возникновения максимумов теплоемкости предшествуют температурам расслаивания, если к расслаиванию подходить со стороны гомогенного состояния. Этот факт будет подробно рассмотрен в следующей статье и там будет показано, что максимумы теплоемкости возникают в системах тогда, когда они являются еще агрегативно устойчивыми.

Выводы

1. Изучена температурная зависимость теплоемкости в системе нитробензол — *n*-гептан и нитробензол — *n*-октан в критической области расслаивания:
2. Подтверждено, что теплоемкость двойных жидких смесей в критической области расслаивания при изменении температуры проходит через максимум, и этим опровергнуто утверждение некоторых исследователей об отсутствии максимума теплоемкости, сомневавшихся в результатах измерений, свидетельствовавших о наличии максимума теплоемкости в критической области расслаивания.
3. Величина максимума теплоемкости для данной системы зависит от концентрации раствора. В растворе критической концентрации максимум

теплоемкости — наибольший. С увеличением и уменьшением концентрации раствора, по сравнению с критической, величина максимума теплоемкости уменьшается и, наконец, он совсем исчезает.

4. Наблюдения за установлением теплового равновесия в процессе измерения теплоемкости указывают на то, что в критической точке тепловое равновесие устанавливается в течение особенно длительного времени. Это указывает на особое состояние системы в критической точке расслаивания.

5. Полученные экспериментальные данные подтверждают точку зрения того из нас о термодинамическом тождестве критических явлений и фазовых переходов второго рода, поскольку рост теплоемкости вблизи критической точки является главнейшим признаком обобщенного критического перехода.

6. Установлено, что критическая область расслаивания в двойных жидких смесях в зависимости от качественного состава смеси может простиаться от долей до десятков мол. %. Поэтому измерения теплоемкости в системах с узкой критической областью при наличии ошибки в определении критической концентрации могут и не обнаружить максимума теплоемкости.

7. Установлено, что максимум теплоемкости в жидкой смеси может свиваться в очень узком температурном интервале. Так, в растворе тробензол — *n*-октан критической концентрации наблюден температурный ход теплоемкости с максимумом величиною в 300 %, в интервале 07° С. Поэтому, если измерение теплоемкости ведется при относительно больших подъемах температуры в ходе отдельного калориметрического опыта, то максимумы теплоемкости обнаружены не будут.

8. Экспериментально показано, что в тройных жидких системах теплоемкость в критической области расслаивания проходит через максимум, как и в двойных системах. На основании этого сделано заключение, что критическая природа расслаивания в двойных и тройных системах одинакова.

Московский государственный
университет им. М. В. Ломоносова

Поступила
17.X.1956

ЛИТЕРАТУРА

- В. К. Семенченко, Журн. физ. химии, 21, 1461, 1947.
- В. К. Семенченко, Вестн. МГУ, № 11, 103, 1948.
- В. К. Семенченко, Журн. физ. химии, 26, 1337, 1952.
- В. К. Семенченко, ДАН, 92, 625, 1953; 99, 1045, 1954.
- В. К. Семенченко, Обобщенные критические явления. В сборнике «Применение ультразвуки к исследованию вещества», вып. III, Изд-во МОПИ, М., 1956.
- К. Г. Хомяков, В. А. Холлер и М. А. Некрашевич, Журн. физ. химии, 25, 1469, 1951.
- В. К. Семенченко и В. П. Скрипов, Журн. физ. химии, 25, 362, 1951.
- В. К. Семенченко и В. П. Скрипов, ДАН, 85, 1325, 1952.
- В. П. Скрипов и В. К. Семенченко, Журн. физ. химии, 29, 174, 1955.
- G. Jura, D. Fraga, G. Maki, J. N. Hildebrand, Proc. Nat. Acad. Sci., 39, 19, 1953.
- Х. М. Амирханов и И. Г. Гурвич, ДАН, 91, 221, 1953.
- И. Р. Кричевский, Фазовые равновесия в растворах при высоких давлениях, Госхимиздат, М.—Л., 1952.
- Х. И. Амирханов, И. Г. Гурвич и Э. М. Матизен, ДАН, 100, 735, 1955.
- Я. В. Егунов, Журн. физ. химии, 31, 1587, 1957.
- Woodburn, Smitta, Tetewsky, Ind. Eng. Chem., 36, 588 1944.
- Е. Л. Зорина и В. К. Семенченко, ДАН, 84, 1191, 1952.
- В. К. Семенченко и В. П. Скрипов, Журн. физ. химии, 29, 194, 1955.
- Timmermans, Zs. phys. Chem., 58, 129, 1907.
- Н. Н. Синельников, ДАН, 92, 369, 1953.

SECOND-ORDER PHASE TRANSITIONS AND CRITICAL PHENOMENA

VIII. THE HEAT CAPACITIES OF LIQUID MIXTURES IN THE CRITICAL REGION OF SEPARATION

V. K. Semenchenko and Ya. V. Egupov (Moscow)

Summary

The temperature dependence of the heat capacities of the liquid mixtures nitrobenzene-*n*-heptane and nitrobenzene-*n*-octane has been experimentally investigated. The appearance of maxima in the heat capacities was observed, with the greatest values in mixtures of critical composition, the values diminishing to zero as the composition recedes from the critical. Hence the conception as to the thermodynamic identity between critical phenomena and second-order phase transitions was experimentally substantiated.

It was found that the critical region of separation of binary liquid mixtures in various systems may change from fractions to tens of molar percentages.

A maximum in the heat capacity was observed for the ternary system *n*-propyl alcohol-water-sodium nitrite.

ИССЛЕДОВАНИЕ ОРИЕНТАЦИИ В ВЫСОКОПОЛИМЕРАХ

III. ВЛИЯНИЕ ОРИЕНТАЦИИ НА ТЕМПЕРАТУРЫ СТЕКЛОВАНИЯ.
АМОРФНЫХ ПОЛИМЕРОВ*Ю. С. Дипатов, В. А. Каргин и Г. Л. Слонимский*

В настоящее время установлено, что перемещение цепных молекул при их деформации и ориентации носит диффузионный характер [1]. Отсюда следует, что всякое выпрямление цепи, т. е. переход ее к менее эргодному состоянию, будет затруднять ее дальнейшее перемещение, приводя таким образом к потере цепью гибкости и понижению скоростей релаксационных процессов. Такое явление «механического стеклования» было показано в работе В. А. Каргина и Н. В. Михайлова [2] на примере гидратцеллюлозы. При рассмотрении этого вопроса необходимо также учитывать происходящее при ориентации изменение межмолекулярного взаимодействия, которое, как было показано нами ранее [3], может уменьшаться или увеличиваться, способствуя облегчению или затруднению протекания процессов релаксации.

С другой стороны, известно, что при ориентации полимеров при температурах, выше их температуры стеклования, в них возникают силы, препятствующие деформации и носящие энтропийный характер. Эти внутренние напряжения при быстром охлаждении полимера после растяжения «замораживаются» в полимере, и последний остается в неравновесном напряженном состоянии. Энтропийные внутренние напряжения зависят от температуры, поскольку они определяются тепловым движением цепной молекулы. Последнее не может сильно измениться при переходе через температуру стеклования, и поэтому замораживание внутренних напряжений обусловлено резким возрастанием вязкости системы. Собственно потеря цепями гибкости, т. е. случай, когда энергия теплового движения становится ниже величины энергетического барьера вращения, происходит, очевидно, при температурах намного более низких, чем температура стеклования (это следует хотя бы из сохранения гибкости полимерных цепей в растворах при низкой температуре). Наличие в ориентированных полимерах замороженных внутренних напряжений должно способствовать понижению температуры стеклования, приводя при температурах, близких к разрыву узлов образовавшейся при стекловании сетки. В литературе имеются данные, показывающие, что с увеличением внутренних напряжений температуры размягчения или сокращения ориентированных полимеров понижаются. Это было показано в работе Мюллера [4] и Нильсона и Бухдала [5] на примере полистирола. Имеются и другие данные, известные главным образом на изучении диэлектрических свойств ориентированных полимеров, показывающие изменения релаксационного спектра полимеров при их ориентации [6]. Однако число работ, посвященных вопросу о влиянии ориентации на температуры стеклования, очень велико, и, в частности, отсутствуют данные, показывающие, насколько изменяются температуры размягчения ориентированных пленок по сравнению с неориентированными. С целью выяснения этого вопроса нами были исследованы температуры сокращения ориентированных и неориентированных образцов полистирола как полимера, к которому относятся литературные данные, и полиметилметакрилата, данные по которому нам известны.

Методика измерений

Температуры размягчения полимеров определялись нами следующим образом. Образец ориентированного полимера подвешивался в стеклянной трубке, снабженной электрическим нагревателем, намотанным на ее поверхности. Наблюдение за образцом велось при помощи горизонтального микроскопа. Окуляр микроскопа имел шкалу с 100 делений. Микроскоп устанавливался на таком расстоянии от образца, чтобы его изображение укладывалось в 50 делений. Таким образом имеющее место при постепенном нагревании сокращение ориентированного образца могло улавливаться при изменении длины на 0,1—0,2%. За температуру размягчения принималась температура при которой имело место заметное изменение длины образца (примерно 0,2%) при нагреве со скоростью 1—2,5°/мин. Скорость обогрева регулировалась реостатом. Для определения температур размягчения неориентированных пленок к ним подвешивался груз. Температура размягчения полиметилметакрилата определялась при нагревании его в воде, что делалось для ускорения прогрева толстых (~2—3 мм) образцов, имеющих в нашем распоряжении. Толщина пленок полистирола была около 0,1 мм и меньше. Характеристики примененных образцов и условия их ориентации описаны нами ранее [3].

Результаты и их обсуждение

Предполагая, что влияние внутренних напряжений на температуру размягчения аналогично действию внешних напряжений, нами сравнивались температуры размягчения (сокращения) пленок, имеющих замороженные внутренние напряжения, и температуры начала деформации неориентированных пленок под действием напряжений, близких по своей величине к внутренним напряжениям в образцах ориентированных полимеров. Можно считать, что напряжения, замороженные в ориентированном образце, близки по своей величине к напряжениям, заданным при деформации: это следует хотя бы из того, что небольшое уменьшение растягивающего усилия в процессе деформации сразу приводило к некоторому сокращению образца. Следует отметить, что на ход наших дальнейших рассуждений не будет влиять возможное обстоятельство, что действительные внутренние напряжения меньше заданных. Данные, полученные для полистирола, приведены в таблице.

Температуры размягчения ориентированной и изотропной пленок полистирола при разных напряжениях и удлинениях

Изотропная пленка		Ориентированная пленка		
Заданное напряжение, г/мм ²	$t_{\text{разм}}$	Заданное напряжение, г/мм ²	Относительное удл., %	$t_{\text{разм}}$
530	65	530	3540	94
	63			88
500	65			91
317	68			91
200	76	395	5600	97
192	74			97
80	83	192	2850	94
94	78			91
12,5	87	317	5600	83
8,2	82			83
6,5	87			85
10	90			93

Прогрев ориентированных пленок при заданной деформации (4—12% при 120°С) с целью понизить внутренние напряжения за счет релаксации приводил к повышению температуры размягчения до 98—100° для пленок, растянутых до относительного удлинения 2000—3000% при напряжениях порядка 300—500 г/мм².

Из таблицы следует, что в случае действия приблизительно равных напряжений температура размягчения неориентированного образца лежала

начительно ниже. Если эту температуру экстраполировать на нулевое значение напряжения, мы получим температуру размягчения порядка $5-90^\circ$, в согласии с литературными данными для полистирола. При том температуры размягчения пленок с большими внутренними напряжениями совпадают с таковыми для изотропной пленки при малых напряжениях. Понижение внутренних напряжений за счет прогрева пленок приводит, как мы отметили, к повышению температуры размягчения.

Температура размягчения ориентированного полиметилметакрилата была найдена равной $84-87^\circ$, в то время как температура размягчения изотропного образца составляет 98° . (Последняя температура была определена при помощи динамометрических весов при напряжении $6,65 \text{ г/мм}^2$. К сожалению, мы не смогли определить температуру размягчения полиметилметакрилата при разных внешних напряжениях, так как располагали только толстыми образцами.) Усадка ориентированного полиметилметакрилата при 98° составляет $\sim 14-18\%$. Таким образом если у полистирола температуры размягчения ориентированных образцов с большими внутренними напряжениями совпадают с таковыми для изотропных образцов при очень малых напряжениях, то для полиметилметакрилата такое явление не имеет места. Это, безусловно, указывает на различия в механизме стеклования этих полимеров.

Стеклование полимера определяется двумя причинами: во-первых, усилением межмолекулярного взаимодействия при понижении температуры и, во-вторых, усилением внутримолекулярного взаимодействия. Обе эти причины вызывают потерю цепями подвижности [7]. Тот факт, что температуры размягчения ориентированных пленок в случае полистирола лежат значительно выше, чем для неориентированных пленок, при действии равных внешних напряжений, указывает на то, что релаксационные процессы в ориентированном полистироле заторможены. Вместе с тем найденное нами понижение плотности упаковки полистирола при его ориентации [3] должно было бы, как и наличие внутренних напряжений, способствовать понижению температуры стеклования. Полученные данные могут быть объяснены следующим образом. Полистирол, в котором нет сильных взаимодействующих полярных групп, не является полимером, стеклование которого определяется возникновением прочных межмолекулярных связей. Наличие больших внутренних напряжений должно приводить к понижению температуры размягчения, тем большему, чем больше величина внутренних напряжений [4]. Таким образом, температура размягчения ориентированного образца должна была лежать ниже, чем для образца, не подверженного действию сил и неориентированного. Между тем эти температуры совпадают в пределах воспроизводимости опытов. Это может быть связано только с тем, что выпрямление цепей, имеющее место при ориентации, затрудняет переход цепи от одной конфигурации к другой, что эквивалентно повышению температуры стеклования. Температура размягчения ориентированного полистирола будет в нашем случае определяться двумя факторами: внутренними напряжениями, понижающими температуру размягчения, и явлением механического стеклования. Оба эти эффекта, возможно, в какой-то степени компенсируют друг друга. Понижение внутренних напряжений за счет их релаксации приводит к тому, что температура размягчения ориентированного образца становится выше, чем для неориентированного.

В случае полиметилметакрилата нет совпадения температур размягчения ориентированных образцов с большими напряжениями с температурой размягчения неориентированного образца. Это соответствует развитым нами представлениям о разрыхлении структуры полиметилметакрилата при его ориентации, которое в данном случае (сильно полярный полимер) должно резко понизить температуру стеклования, в то время как ожидать очень большого изменения конфигурационного набора этого полимера

при деформациях его до 100—120% нельзя, хотя оно, безусловно, имеет место. Поэтому в данном случае наличие внутренних напряжений и рытости упаковки приводят к снижению температуры размягчения.

Выводы

1. Исследованы температуры размягчения ориентированных и неориентированных образцов полистирола и полиметилметакрилата.

2. Высказано предположение о том, что температура стеклования ориентированных полимеров может понижаться по сравнению с изотропным полимером в том случае, когда стеклование обусловлено образованием связей между полярными группами полимера (полиметилметакрилат) и повышаться в случае, если стеклование обусловлено обеднением конфигурационного набора при ориентации (полистирол).

Физико-химический институт
им. Л. Я. Карпова
Москва

Поступила
22.X.1956

ЛИТЕРАТУРА

1. Алфрей, Механические свойства высокополимеров. ИЛ, 1952.
2. Н. В. Михайлов и В. А. Каргин, Труды IV конференции по высокомолекулярным соединениям, 1948, стр. 138.
3. Ю. С. Липатов, В. А. Каргин, и Г. И. Слонимский, Журн. физ. химии, 30, 10, 1956.
4. F. H. Müller, Koll. Zs., 95, 136, 1941.
5. L. Nielsen, R. B. Uchdahl, Journ. Appl. Phys., 21, 488, 1950.
6. F. Müller, K. Hoff, Koll. Zs., 145, 157; 148, 83, 1956; Г. П. Михайлов, Журн. физ. химии, 21, 1395, 1951.
7. Г. Л. Слонимский, Докторская диссертация, 1947.

ORIENTATION STUDIES IN HIGH POLYMERS

III. THE EFFECT OF ORIENTATION ON THE SOFTENING TEMPERATURE OF AMORPHOUS POLYMERS

Yu. S. Lipatov, V. A. Kargin and G. L. Slonimskii (Moscow)

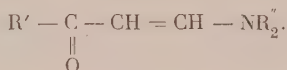
Summary

The softening temperatures of oriented and non-oriented polystyrene and polymethyl methacrylate specimens have been investigated. It has been suggested that the softening temperature of oriented polymers may drop in comparison with the isotropic specimen when the vitrification is due to bond formation between the polar groups of the polymer (polymethyl methacrylate) and may rise when the vitrification is caused by loss in chain flexibility owing to impoverishment of the set of configurations through orientation.

На основании полученных ими рефрактометрических и других данных они исключили две последние формы. Путем перегонки они выделили из смеси одну форму, которую назвали α -формой. Продукт, который получается в процессе изменения α -формы, они считают смесью двух форм (α - и β -форм).

Полученные в настоящей работе данные по инфракрасным спектрам алкил- β -аминовинилкетонов также говорят в пользу существования енамино-имидной таутомерии и помогают выяснить структуры, соответствующие той или другой из названных форм.

Нами исследовались следующие соединения общей формулы



$\text{R}' = \text{CH}_3$, $\text{R}'' = \text{H}$ метил- β -аминовинилкетон (I); $\text{R}' = \text{C}_5\text{H}_{11}$, $\text{R}'' = \text{H}$ амил- β -аминовинилкетон (II); $\text{R}' = \text{C}(\text{CH}_3)_3$, $\text{R}'' = \text{H}$ *трет*-бутил- β -аминовинилкетон (III); $\text{R}' = \text{CH}_3$, $\text{R}'' = \text{C}_2\text{H}_5$ метил- β -диэтиламиновинилкетон (IV); $\text{R}' = \text{C}(\text{CH}_3)_3$, $\text{R}'' = \text{C}_2\text{H}_5$, *трет*-бутил- β -диэтиламиновинилкетон (V). Перед каждой съемкой спектра все вещество дважды перегонялось в вакууме; их константы хорошо совпали с приведенными в литературе данными (метил- и амил- β -аминовинилкетон см. [1], *трет*-бутил-аминовинилкетон см. [2], метил- β -диэтиламиновинилкетон см. [5]).

Инфракрасные спектры поглощения исследуемых соединений регистрировались на однолучевом приборе ИКС-11 с использованием призм LiF , NaCl и KBr . Спектральная ширина щели составляла: в области $400-500 \text{ см}^{-1}$ — $5,21 \text{ см}^{-1}$, в области $500-700 \text{ см}^{-1}$ — $7,31 \text{ см}^{-1}$, в области $700-900 \text{ см}^{-1}$ — $4,1 \text{ см}^{-1}$, в области $900-1100 \text{ см}^{-1}$ — $5,3 \text{ см}^{-1}$, в области $1100-1700 \text{ см}^{-1}$ — $9,3 \text{ см}^{-1}$, в области $1700-2400 \text{ см}^{-1}$ — $15,1 \text{ см}^{-1}$, в области $2400-3500 \text{ см}^{-1}$ — $7,3 \text{ см}^{-1}$.

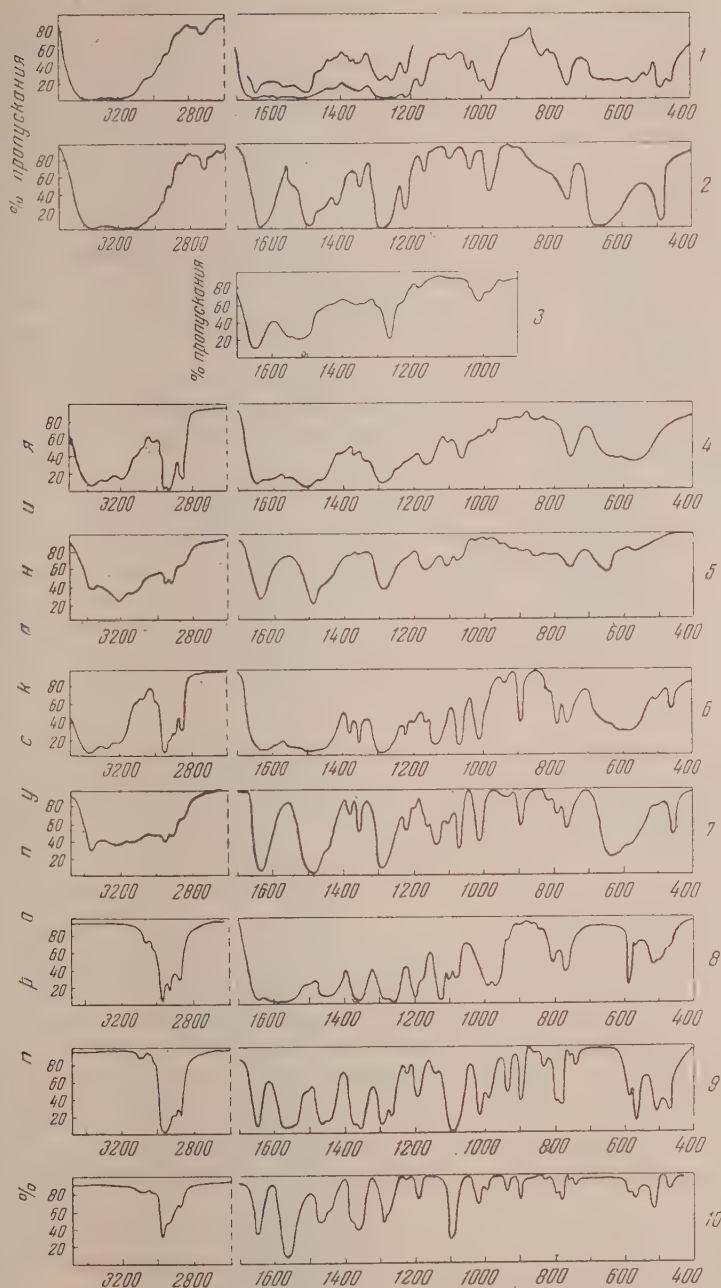
Спектры веществ в жидком состоянии записывались при различных толщинах слоев (см. спектры) в кювете с окнами из KBr . Для изучения спектров веществ, замороженных при низких температурах, использовалась кювета, описанная в работах Ю. А. Пентина и В. М. Татевского [6]. В этой кювете вещество перегонялось непосредственно на окно кюветы, охлажденное до -120°C . Методика позволила получить спектр приблизительно чистой α -формы (см. выше). Для съемки спектра водного раствора метил- β -аминовинилкетона была использована кювета с окнами из материала KRS-5. Полученные спектры приведены на рисунках. Соединения I, II, III и V исследовались в жидком и твердом состоянии, IV — только в жидком состоянии, а I — также и в водном растворе.

Обсудим все эти спектры в сравнении.

Область $2800-3500 \text{ см}^{-1}$, валентных, $\text{X}-\text{H}$ — колебаний. У всех соединений наблюдается ряд полос в области $2800-3000 \text{ см}^{-1}$, которые соответствуют частотам колебаний различных $\text{C}-\text{H}$ связей. В спектрах метил- β -аминовинилкетона, амил- β -аминовинилкетона и *трет*-бутил- β -аминовинилкетона (спектры 1, 2, 4, 5, 6, 7) имеется сильное поглощение в области $3000-3500 \text{ см}^{-1}$, которое соответствует полосам колебаний $\text{NH}-$ и $\text{OH}-$ связей участвующих в образовании различного типа водородных связей*.

Поскольку метил- β -аминовинилкетон (спектры 1 и 2) поглощает во всей этой спектральной области очень сильно и отдельные полосы даже при тонких слоях вещества почти не разрешаются, то удобнее будет разобраться прежде в спектрах других соединений. Например, в спектре жидкого амил- β -аминовинилкетона (спектр 4) наблюдаются четыре различных пика или полосы поглощения. Полосы 3116 и 3196 см^{-1} соответствуют частотам колебаний гидроксильной группы енольной формы, что согласуется с литературными данными [8, 9]. Кроме того,

* Полосы, обусловленные колебаниями $\text{OH}-$ и NH_2 -групп, свидетельствуют о образовании внутримолекулярной водородной связи, так как имеет место понижение частот по сравнению со значениями, обычными для этих групп при отсутствии такой водородной связи [8, 9, 11, 12]. Поэтому алкил- β -аминовинилкетонам можно приписать структуру келатов.



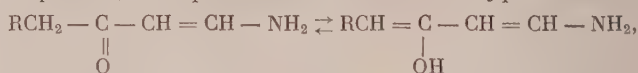
1 — метил- β -аминовинилкетон, жидкость, $\alpha = 0,013$ мм; 2 — метил- β -аминовинилкетон, перегнанный непосредственно на окно, охлажденное до -120°C (кристалл); 3 — метил- β -аминовинилкетон, водный раствор (14%), $\alpha = 0,013$ мм; 4 — амил- β -аминовинилкетон, жидкость, $\alpha = 0,013$ мм; 5 — амил- β -аминовинилкетон, перегнанный непосредственно на окно, охлажденное до -120°C (кристалл); 6 — *трет*-бутил- β -аминовинилкетон, жидкость $\alpha = 0,013$ мм; 7 — *трет*-бутил- β -аминовинилкетон, перегнанный непосредственно на окно, охлажденное до -120°C (кристалл); 8 — метил- β -диэтиламиновинилкетон, жидкость, $\alpha = 0,013$ мм; 9 — *трет*-бутил- β -диэтиламиновинилкетон, жидкость, $\alpha = 0,013$ мм (400—700 см $\alpha = 0,088$ мм); 10 — *трет*-бутил- β -диэтиламиновинилкетон, перегнанный непосредственно на окно, охлажденное до -120°C (кристалл)

имеются также полосы поглощения аминогруппы 3293 и 3365 см^{-1} , что также соответствует литературным данным [10].

В спектре твердого амил- β -аминовинилкетона (спектр 5), т. е. α -формы вещества (см. выше), имеются полосы поглощения 3140 и 3222 см^{-1} соответствующие колебаниям ОН-группы, которые относительно более интенсивны и несколько смещены по сравнению со спектром жидкой фазы. В то же время в спектре α -формы относительная интенсивность поглощения падает в том участке, где расположены (ср. спектр 4) соответствующие полосы поглощения аминогруппы; нет, например, полосы соответствующей полосе поглощения 3293 см^{-1} , имеющейся в спектре жидкой фазы. Полоса 3380 см^{-1} соответствует, возможно, частоте колебаний NH-связи имидной группы. Сопоставляя эти факты, можно предполагать, что α -форма является более или менее чистой имидно-енольной формой (B).

Внимательное рассмотрение спектров метил- β -аминовинилкетона (спектры 1 и 2) также не обнаруживает противоречий с этим выводом. Возможность существования другой енольной формы исключается на основании следующих данных.

Во-первых, в спектре метил- β -диэтиламиновинилкетона (спектр 8), т. е. дизамещенного у азота соединения, полос, соответствующих колебаниям ОН-группы, не имеется. Отсюда можно сделать вывод, что в случае таутомерии исследуемых в настоящей работе соединений водород, связанный с α' -углеродом, не участвует в таутомерном процессе превращения форм, т. е. процесс, отображаемый химическим уравнением



не имеет места.

Во-вторых, нужно заметить, что спектры *трет*-бутил- β -аминовинилкетона (спектры 6 и 7) содержат полосы, соответствующие колебаниям енольной группы, что указывает на участие водорода аминогруппы в предполагаемом таутомерном процессе.

Эти выводы полностью согласуются с данными, полученными в работе Кочеткова и Домбровского [2].

Область 1450—1700 см^{-1} двойных связей. Здесь можно ожидать появления полос, соответствующих колебаниям карбонильной группы $\text{C}=\text{O}$, имидной группы $\text{C}=\text{N}$ и двойной связи $\text{C}=\text{C}$.

В спектре смеси α - и β -форм (т. е. жидкого) метил- β -аминовинилкетона (спектр 1) наблюдаются полосы 1638, 1550 и 1495 см^{-1} (правда плохо разрешенные). В спектре α -формы (т. е. твердого метил- β -аминовинилкетона (спектр 2) наблюдаются полосы 1630 и 1495 см^{-1} ; на месте полосы 1550 см^{-1} спектра жидкой фазы мы имеем в спектре α -формы резкое уменьшение относительной интенсивности поглощения, так что можно даже сказать об исчезновении этой полосы.

В спектрах гомологов наблюдаются те же закономерности (спектры 4 и 5, 6 и 7); полоса 1550 см^{-1} , имеющаяся в спектрах жидких веществ, исчезает в спектрах кристаллических веществ.

Рассмотрим также спектры метил- β -диэтиламиновинилкетона (спектр 8) и *трет*-бутил- β -диэтиламиновинилкетона (спектры 9 и 10), которые могут существовать только в виде енамино-кетонной формы и являются как бы модельными соединениями.

Трет-бутил- β -диэтиламиновинилкетон имеет полосы 1645 и 1560 см^{-1} . Спектр этого же вещества, перегнанного непосредственно на окно, охлажденное до -120° , имеет те же полосы 1645 см^{-1} и 1560 см^{-1} .

В спектре жидкой фазы метил- β -диэтиламиновинилкетона так же наблюдаются лишь полосы с частотами 1638 и 1575 см^{-1} .

Полосы с частотой около $1630\text{--}1645\text{ см}^{-1}$ имеются у всех выше рассмотренных соединений. Эти полосы не исчезают и в спектрах α-форм алкил-аминовинилкетонов, поэтому их с полным основанием можно идентифицировать как полосы поглощения $\text{C}=\text{C}$ связей. Эта частота колебаний $\text{C}=\text{C}$ связи совпадает примерно с частотой колебаний $\text{C}=\text{C}$ связи в спектре нонилуксусного эфира 1632 см^{-1} [8].

Что касается полосы 1550 см^{-1} в спектре смеси α- и β-форм метил-β-аминовинилкетона и гомологов, то ее, несомненно, можно интерпретировать как полосу колебаний $\text{C}=\text{O}$ -группы. Для этого есть следующие основания: во-первых, эта полоса отсутствует в спектре α-формы, а, во-вторых, в спектрах модельных соединений (которые существуют исключительно в виде кетоформы) также имеются аналогичные полосы (см. выше). То, что частоты последних несколько выше 1550 см^{-1} , объясняется, по-видимому, тем обстоятельством, что карбонильные группы таких соединений не могут участвовать в образовании водородной связи. Сильное смещение полос карбонильной группы по сравнению с обычным для них значением частоты 1710 см^{-1} объясняется, как полагают Кромвелл и соавторы [13], влиянием на карбонильную группу сопряженной двойной связи $\text{C}=\text{C}$, действием на нее азота аминогруппы и участием ее в образовании водородной связи.

В спектрах алкил-β-аминовинилкетонов нет полос с частотой около 10 см^{-1} , которые соответствовали бы колебаниям несопряженной карбильной группы, и на основании этих данных можно исключить форму (см. выше), что согласуется с данными, приведенными в работе Н. К. Коккова и Я. Домбровского [2]. Полосу 1495 см^{-1} в спектре смеси α- и β-форм (т. е. жидкого вещества) и соответствующую ей полосу 1495 см^{-1} в спектре α-формы (т. е. твердого метил-β-аминовинилкетона) можно отнести к колебаниям $\text{C}=\text{N}$ -связи, что согласуется с литературными данными [4] и подтверждается тем фактом, что при этой частоте нет полос в спектрах модельных соединений.

Все приведенные данные говорят в пользу того, что α-форма соответствует имидо-енольной форме и что продукт превращения α-формы и весь α- и β-форм является смесью имидо-енольной и енамино-кетонной форм.

Область $700\text{--}1450\text{ см}^{-1}$. В спектре смеси α- и β-форм метил-β-аминовинилкетона имеются полосы 1250 и 1002 см^{-1} , которые в спектре α-формы не наблюдаются и характерны, очевидно, для енамино-кетонной формы. Эти полосы, как и полоса 1550 см^{-1} , увеличиваются интенсивности в спектре водного раствора метил-β-аминовинилкетона (спектр 3). В водном растворе полосы несколько смещаются. Действительно, енамино-кетонная форма (β-форма), по-видимому, более полярна*, а имидо-енольная (α-форма), а поэтому, по правилу Вант-Гоффа—Димита, концентрация первой должна расти, а второй падать, при растворении вещества в полярном растворителе. Относительно спектров других алкил-β-аминовинилкетонов трудно что-либо сказать при рассмотрении области средних частот; достаточно явного изменения спектров при переходе от жидкого состояния к твердому в области $1000\text{--}1250\text{ см}$ у них не наблюдается. Вообще интерпретировать полосы этой области, как известно, очень трудно, поскольку она очень чувствительна к наличию различных диалков и заместителей в молекуле, т. е. к строению молекулы в целом.

Область $400\text{--}700\text{ см}^{-1}$. Здесь в спектре смеси α- и β-форм гомологов алкил-β-аминовинилкетонов имеются широкие полосы с центром поглощения $\sim 650\text{ см}^{-1}$. Эти полосы становятся относительно значительно интенсивнее в спектрах α-форм и, возможно, что они соответствуют формационным колебаниям гидроксильной группы имидо-енольной

* Это можно предполагать, в частности, на том основании, что енамино-кетонная форма менее летуча.

формы. Это, вообще говоря, соответствует данным по исследованию колебаний гидроксильных групп спиртов [14, 15]. Можно, по-видимому, считать, что и данные этой области согласуются с заключениями сделанными на основании данных рассмотренных выше главных спектральных областей 2800—3600 и 1450—1700 см^{-1} .

Выводы

На основании данных по инфракрасным спектрам поглощения (в области 400—3500 см^{-1}) метил- β -аминовинилкетона, его гомологов и некоторых модельных соединений в различных физических состояниях доказывається, что алкил- β -аминовинилкетоны существуют в виде таумерных форм: енамино-кетонной (А) и имидо-енольной (В).

Московский государственный
университет
им. М. В. Ломоносова

Поступила
24.X.1956

ЛИТЕРАТУРА

1. А. Н. Несмеянов, Н. К. Кочетков и Я. В. Домбровский, Изв. АН СССР, ОХН, 179, 1955.
2. Н. К. Кочетков, и Я. В. Домбровский, Журн. общ. химии в печати.
3. K. V. Auwers, W. Susemihl, Ber. 63, 1072, 1930.
4. Keilhei Veno, A. E. Martell, Journ. Phys. Chem., 59, 998, 1955.
5. Н. К. Кочетков, Изв. АН СССР, ОХН, 991, 1953.
6. Ю. А. Пентин, Диссертация, Москва, 1955.
7. Ю. А. Пентин и В. М. Татевский, ДАН, 108, 290, 1956.
8. Д. Н. Шигорин, Журн. физ. химии, 24, 925, 1950.
9. Д. Н. Шигорин, Журн. общ. химии, 24, 932, 1950.
10. H. P. Schaad, Helv. Chim. Acta, 38, 1117, 1955.
11. В. М. Чулановский, Изв. АН СССР, сер. физ., 17, 624, 1953.
12. L. P. Kuhn, Journ. Amer. Chem. Soc., 74, 2492, 1952.
13. N. H. Cromwell, F. A. Miller, A. R. Johnson, R. L. Francis, W. I. Wallace, Journ. Amer. Chem. Soc., 71, 3337, 1949.
14. A. V. Stuart, I. B. B. Sutherland, Journ. Chem. Phys., 20, 1977, 1952.
15. H. W. Thompson, P. Torkington, Trans. Farad. Soc., 43, 432, 1946.

AN INFRA-RED ABSORPTION STUDY OF THE TAUTOMERISM OF ALKYL- β -AMINOVINYL KETONES

*Urzula Dombrovskaya, Yu. A. Pentin, V. M. Tatevskii,
Yanusk Dombrovskii and N. K. Kochetkov (Moscow)*

Summary

Based on measurements of the infra-red absorption spectra (in the region 400—3500 cm^{-1}) of methyl- β -aminovinyl ketone, of its homologs and of a number of model compounds in various physical states it has been shown that alkyl- β -aminovinyl ketones exist in two tautomeric forms: imidoenol ($\text{RCH}_2 : \text{C}(\text{OH}) = \text{CH}(\text{CH}_2)_n\text{NH}_2$) and enaminketone ($\text{RCH}_2\text{COCH}(\text{CH}_2)_n\text{NH}_2$).

ИССЛЕДОВАНИЕ ПРОДОЛЬНОГО ПЕРЕНОСА ПРИ ДВИЖЕНИИ РАСТВОРОВ ЧЕРЕЗ НЕСОРБИРУЮЩУЮ ШИХТУ

И. Е. Ампилогов, А. Н. Харин и П. С. Бурочкина

В разных теориях динамической сорбции различно учитывается продольный перенос, представляющий собой молекулярную диффузию и конвективное перемешивание вдоль шихты, и явления, связанные с неоднородностью набивки шихты [1, 2]. Поэтому исследование продольного переноса важно в теоретическом отношении для выяснения его роли в динамике сорбции. Работ же, посвященных изучению продольного переноса растворенных веществ, очень мало. Частично этот вопрос был решен в работе [3], в которой использовались некоторые методы изучения динамики адсорбции растворенных веществ, ранее разработанные нашим коллективом [4, 5].

Целью настоящей работы является изучение продольного переноса на несорбирующей (стеклянной) шихте с различными диаметрами зерен, при различных скоростях подачи водных растворов некоторых веществ.

Опыты проводились в стеклянной трубке длиной 7 см и площадью поперечного сечения $0,95 \text{ см}^2$. Стеклонаполненная шихта в нижней части динамической трубки (рис. 1) клалась на медную (или слюдяную) сетку 2, которая находилась между концами трубок 1 и 3, склеенных в отверстие, высверленное в резиновой пробке 4. На уровне сетки 2 в пробку 4 вставлялся вентильный кран 5. Нижний конец трубки 3 закрывался пробкой 6, через которую входила подающая раствор трубка 7. Стеклонаполненная трубка 8 с краном 9 и капилляр 10.

Раствор через верхний конец динамической трубки тек в чашку, откуда через трубку попадал в медный цилиндр. Стеклонаполненная палочка 13 вставлялась между стенками трубки и чашечки так, чтобы по ней жидкость стекала в чашечку. При этом уровень жидкости в трубке был всегда ровным с верхним краем этой трубки. Верхний край зерновой шихты не доходил до конца динамической трубки и закрывался сеткой, после которой шло продолжение 14 динамической трубки, сделанное по типу бюретки с делениями. В колбе 7 с подаваемым раствором поддерживался постоянный рабочий уровень.

Скорость подачи раствора определялась высотой поднятия рабочего уровня над верхним концом динамической трубки.

Перед проведением опыта устанавливалась нужная скорость подачи раствора, после чего динамическая трубка промывалась дистиллированной водой. Для этого верхний конец при помощи пробки 15 с трубкой 16 и краном 17 соединялся с колбой 18, наполненной дистиллированной водой. Кран 9 закрывался, а краны 5 и 17 открывались, через динамическую трубку сверху вниз пропускалось 150–200 мл воды. Затем кран 17 закрывался, а кран 9 открывался, и сливалось 5–10 мл раствора из колбы 7. Последующим двух-, трехкратным поочередным сливанием 3–5 мл воды и раствора устанавливалась резкая граница раствора — растворитель по обе стороны сетки 2. После этого краны 5 и 9 закрывались, пробка 15 вынималась, динамическая трубка сверху полностью заливалась водой и была готова к употреблению. Внутренний объем трубки в наших опытах был равен 168,1 мл.

Если доля свободного сечения была равна 0,454 (например, для трубки с шихтой, имеющей зерна со средним диаметром 0,25 см), то между зернами находилось 76,3 мл

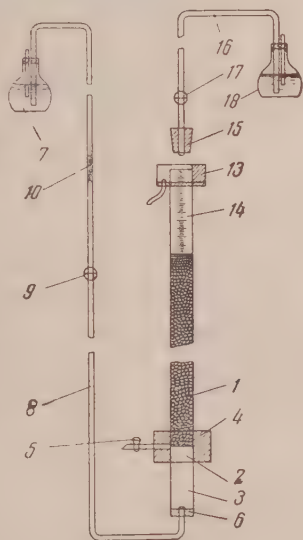


Рис. 1. Прибор для изучения продольного переноса

жидкости. Так как размытие движущейся границы раствор — растворитель симметрично, то концентрация $c = 0,5 c_0$, будет в конце слоя шихты, когда вытечет 76,3 мл жидкости. В прежних методиках изучения динамики адсорбции растворенных веществ для построения выходной кривой, начиная с «проскока», вытекающая жидкость собиралась отдельными порциями и титровалась. Для сорбирующей шихты этот метод не оправдывал, так как от проскока до конца опыта проходило от нескольких часов до нескольких дней и недель [3—5]. Для несорбирующей шихты это время исчисляется десятками минут [3]. Следовательно, при отборе проб (по 1 мл) необходимо было точно отмечать время отбора. Все это трудно делать при больших скоростях подачи раствор. Во избежание этих затруднений мы продолжили динамическую трубку трубкой 1, вмещающей 10 мл. Так как в нашем приборе концентрационная волна укладывалась в 16—20 мл, то после вытекания 76,3 мл жидкости концентрация $c = 0,5 c_0$ находилась в конце слоя шихты, а одна половина концентрационной волны находилась в 10 мл, лежащих выше слоя шихты.

Осторожно отбирая при помощи пипетки по 1 мл и зная скорость подачи раствор мы легко строили выходную кривую в координатах $c/c_0 - t$. Время опыта давало так называемое нулевое время t_0 (время выхода концентрации $c = 0,5 c_0$ за слоем длиной L см), которое можно найти из равенства $t_0 \approx L/\alpha$.

В рассматриваемом случае неподвижная система координат связана началом слоя шихты, подвижная система координат перемещается вместе с границей раствор — растворитель, и решение диффузионного уравнения

$$\frac{\partial c}{\partial t'} = D^* \frac{\partial^2 c}{\partial x'^2}, \quad (3)$$

с граничными условиями при $t' = 0$, $c = c_0$ для $x' < 0$ и $c = 0$ для $x' > 0$ имеет вид:

$$c = \frac{c_0}{2} \left[1 - \frac{2}{\sqrt{\pi}} \left\{ \left(\frac{x'}{2\sqrt{D^*t'}} \right) - \frac{1}{3 \cdot 1!} \left(\frac{x'}{2\sqrt{D^*t'}} \right)^3 + \frac{1}{5 \cdot 2!} \left(\frac{x'}{2\sqrt{D^*t'}} \right)^5 - \frac{1}{7 \cdot 3!} \left(\frac{x'}{2\sqrt{D^*t'}} \right)^7 \right\} \right]. \quad (2)$$

Здесь $t' = t$ — время от начала опыта, $x' = x - \frac{\alpha}{\kappa} t$ — расстояние от подвижной границы до данного места слоя шихты x в данный момент времени. Если $x' \ll 1$, то ряд быстро сходится, и для определения D^* можно воспользоваться только первым членом ряда. Поэтому

$$D^* = \left[\frac{1}{1 - 2(c/c_0)} \frac{x - \alpha't}{\sqrt{\pi t}} \right]^2. \quad (4)$$

Подставляя в (3) $x = L = \alpha't$ и $t = t_0 \pm t_1$ (где t_1 равно малому значению времени, отсчитанному от момента выхода концентрации $c = 0,5 c_0$ за слой длиной L см) и пренебрегая в знаменателе t_1 ($|t_1| \ll t_0$), получаем приближенное уравнение

$$D^* = \left[\frac{1}{1 - 2(c/c_0)} \frac{\mp \alpha't_1}{\sqrt{\pi t_0}} \right]^2. \quad (5)$$

Формулы (3) и (4) дают близкие результаты. Возьмем, например, выходную кривую, снятую при скорости $\alpha = 1,93$ см/мин $= 0,03217$ см/сек.

Так как доля свободного сечения в шихте со средним диаметром зерен 0,075 см, $\kappa = 0,416$, то скорость, рассчитанная на свободное сечение $\alpha' = \alpha/\kappa = 0,07733$ см/сек, $t_0 = 2289$ сек. $x = L = 177$ см.

Для этого случая данные относительной концентрации, времени, результаты вычисления коэффициентов продольного переноса сведены в табл. 1.

Из таблицы видно, что обе формулы дают близко сходящиеся результаты, однако производить расчеты по формуле (4) значительно проще, результаты отдельных вычислений дают меньшие отклонения от средних чем результаты, полученные при помощи формулы (3).

* См. [6], стр. 18—20.

Таблица 1

c/c_0	t_1 , сек.	$D^* \cdot 10^3$ см ² /сек, найденный по формуле (3)	$D^* \cdot 10^3$ см ² /сек, найденный по формуле (4)
0,5140	+3,27	12,07	11,32
0,5485	+11,45	11,75	11,56
0,5780	+17,99	11,10	11,05
Среднее		11,64	11,31

Беря другие значения как положительного, так и отрицательного времени, находим ряд значений D^* , из которых вычисляем среднее значение $D_{\text{ср}}^*$.

Подставляя $D_{\text{ср}}^*$ в формулу (2), находим c/c_0 для разных времен, когда значение $(x'/2\sqrt{D^*t})$ близко к единице (при больших временах), остались четыре члена ряда, а для малых времен было достаточно и двух первых членов. Однако не всегда найденная таким образом теоретическая

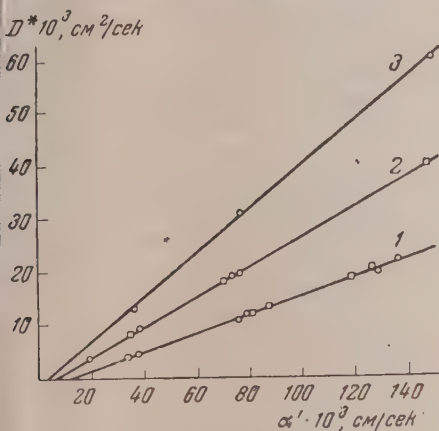


Рис. 2

Рис. 2. Зависимость коэффициентов продольного переноса D^* от скорости потока при различных размерах зерен шихты: 1 — для $d = 0,075$ см; 2 — для $d = 0,15$ см; 3 — для $d = 0,25$ см; кружки — уксусная кислота; квадраты — масляная кислота

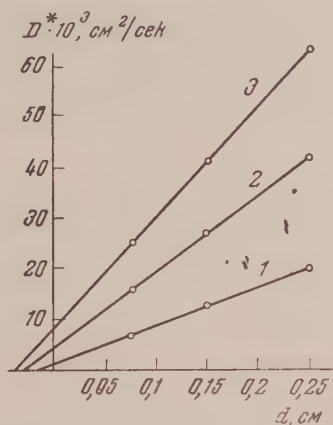


Рис. 3

Рис. 3. Зависимость коэффициентов продольного переноса D^* от диаметра зерен шихты при различных скоростях потока: 1 — для $\alpha' = 0,05$ см/сек; 2 — для $\alpha' = 0,10$ см/сек; 3 — для $\alpha' = 0,15$ см/сек

кривая, вычисленная при помощи $D_{\text{ср}}^*$, хорошо совпадает с опытной выходной кривой. Если $D_{\text{ср}}^*$ давало теоретическую кривую, плохо совпадающую с опытной, то бралось другое значение $D_{\text{ср}}^*$, и снова вычислялась теоретическая выходная кривая. То значение $D_{\text{ср}}^*$, которое давало теоретическую кривую, лучше всего совпадающую с опытной выходной кривой, считалось истинным коэффициентом продольного переноса $D_{\text{и}}^*$. Так, например, для приведенного случая $D_{\text{и}}^* = 11,10 \cdot 10^{-3}$ см²/сек лучше всего удовлетворяло опытной выходной кривой, а не те значения $D_{\text{ср}}^*$, которые указаны в табл. 1. Совпадение опытной и теоретической кривой для этого случая при употреблении в расчетах $D_{\text{и}}^* = 11,10 \cdot 10^{-3}$ см²/сек показано в табл. 2. Несовпадение некоторых значений $D_{\text{ср}}^*$ с $D_{\text{и}}^*$ происходит потому, что очень трудно определить величину c/c_0 соответствующую

шую малому времени. Для более точного определения c/c_0 мы проводили прямую, параллельную среднему участку опытной выходной кривой и из прямоугольного треугольника, по отношению катетов, находил c/c_0 , соответствующие малому времени (1—3 сек.). Этим ошибки в определении c/c_0 были значительно уменьшены, что дало возможность определять коэффициенты продольного переноса с точностью до 5—7%.

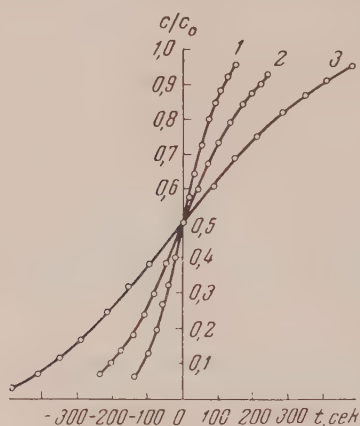


Рис. 4. Выходные кривые при различных скоростях потока при диаметре зерен шихты $d = 0,25$ см и $\kappa = 0,453$: 1 — для $\alpha' = 0,148$ см/сек; 2 — для $\alpha' = 0,074$ см/сек; 3 — для $\alpha' = 0,037$ см/сек

В результате исследования были найдены значения коэффициентов продольного переноса для водных растворов уксусной и масляной кислот. По этим данным на рис. 2 изображена зависимость D^* от α для различных диаметров зерен стеклянной шихты. На рис. 3 дана зависимость коэффициентов D^* от диаметра зерен шихты для разных скоростей. На рис. 4 приведены выходные кривые c/c_0 в функции времени для разных скоростей α и одного диаметра зерен $d = 0,25$ см.

Из рассмотрения рис. 2 и 3 следует, что при отсутствии шихты существует размытие фронта раствор — растворитель, следовательно, и продольный перенос обусловленный ламинарностью течения жидкости в динамической трубе.

Для одной и той же скорости подачи раствора с уменьшением диаметра зерен шихты уменьшается продольный перенос; для каждого диаметра зерен шихты существует определенная скорость подачи раствора, при которой не наблюдается заметного продольного переноса. Коэффициенты продольного переноса уксусной и масляной кислот совпадают.

Таблица 2

t , сек.	+145,5	112,8	80,1	47,4	14,7	0	-14,7	-47,4	-80,1	-112,8	-145
Опытные c/c_0	0,945	0,892	0,810	0,695	0,565	0,500	0,435	0,300	0,190	0,110	0,09
Вычисленные* c/c_0	0,938	0,889	0,807	0,697	0,565	0,500	0,435	0,303	0,193	0,111	0,09

* Вычисление делалось по формуле (2) с коэффициентом $D^* = 11,1 \cdot 10^{-3}$ см²/сек.

Таблица 3

$\alpha' = \frac{\alpha}{\kappa}$ см/сек	$D^* \cdot 10^3$ см ² /сек					
	$d = 0,075$ см		$d = 0,15$ см		$d = 0,25$ см	
	По уравнению (5)	Опытные	По уравнению (5)	Опытные	По уравнению (5)	Опытные
0,05	6,75	6,75	12,45	12,65	20,05	20,10
0,10	15,95	15,60	26,90	27,00	41,50	41,30
0,15	25,15	24,50	41,35	41,60	62,95	62,70

Общая зависимость между D^* , см²/сек, d , см, и α' см/сек может быть выражена формулой, которая не может быть справедливой при очень малых скоростях, так как не переходит в молекулярный коэффициент диффузии:

$$D^* = (0,079 + 1,4d)\alpha' + 0,006d - 0,0029. \quad (5)$$

В табл. 3 показано, насколько совпадают найденные по уравнению (5) значения D^* с опытными.

Как видно из табл. 3, уравнение (5) вполне удовлетворительно описывает связь коэффициента продольного переноса с линейной скоростью подачи растворов уксусной и масляной кислот на стеклянную шихту с зернами различных диаметров.

Выводы

1. Разработана методика исследования продольного переноса при движении растворов через несорбирующую шихту.
2. Определены коэффициенты продольного переноса водных растворов уксусной и масляной кислот для разных скоростей подачи растворов и разных диаметров зерен стеклянной шихты.
3. Показано, что коэффициенты продольного переноса уксусной и масляной кислот совпадают.
4. Найдено уравнение, выражающее связь между коэффициентом продольного переноса D^* , диаметром зерен шихты d и линейной скоростью подачи раствора α' .

Краснодарский педагогический
институт.
Таганрогский радиотехнический
институт

Поступила
26.X.1956

ЛИТЕРАТУРА

1. Л. В. Радужкевич, ДАН, 57, 471, 1947.
2. О. М. Годес и Я. М. Биксон, ДАН, 75, 727, 1950.
3. И. Е. Ампилогов, Диссертация, Институт физической химии АН СССР, Москва, 1952.
4. А. Н. Харин и П. Н. Протасов, Журн. физ. химии, 22, 1219, 1958.
5. А. Н. Харин и Л. М. Войтко, Журн. физ. химии, 22, 1191, 1949.
6. Р. Бэррер, Диффузия в твердых телах, IIII, Москва, 1948.

A STUDY OF LONGITUDINAL TRANSPORT IN THE FLOW OF SOLUTIONS THROUGH A NON-SORBING CHARGE

I. E. Ampilogov, A. N. Kharin and I. S. Kurochkina (Krasnodar)

Summary

A technique has been developed for investigating the longitudinal transport in the flow of solutions through a non-sorbent charge. The longitudinal transport coefficients were determined for different rates of solution input and different sizes of glass granules constituting the charge. The coefficients were found to coincide.

An equation was obtained correlating the longitudinal transport coefficient D^+ , the diameter d of the charge granules and the linear rate of solution input α' .

ПОЛУЧЕНИЕ НЕКОТОРЫХ ДЕЙТЕРИРОВАННЫХ АРОМАТИЧЕСКИХ УГЛЕВОДОРОДОВ И ИХ СПЕКТРЫ КОМБИНАЦИОННОГО РАССЕЯНИЯ

*А. И. Шатеништейн, Г. В. Перегудов, Е. А. Израилевич
и В. Р. Калмыченко*

Проведение реакций изотопного обмена водорода является простым и наиболее универсальным способом получения дейтерированных соединений. Применение при водородном обмене сильных оснований и кислот позволяет дейтерировать углеводороды [1]. Так, водородным обменом между обычным дифенилом и раствором амида калия в жидком дейтероаммиаке был приготовлен декадейтеродифенил и измерены его колебательные спектры с целью установления динамических параметров молекулы дифенила [2,3].

В данной работе изотопным обменом водорода с $\text{ND}_3 + \text{KND}_2$ или с жидким DBr получены некоторые известные, а также еще не описанные в литературе препараты дейтерированных ароматических углеводородов, и измерены их спектры комбинационного рассеяния.

Сопоставление спектров комбинационного рассеяния препаратов гексадейтеробензола и октадейтернафталина*, приготовленных в данной работе этими двумя способами, с опубликованными в литературе спектрами тех же веществ, полученными иным путем [11, 12, 14, 15], доказывает идентичность всех препаратов и одновременно дает полное основание для апробирования новых методов получения дейтерированных углеводородов.

Эти методы имеют преимущества по сравнению с примененными другими авторами. Например, даже после усовершенствования метода получения октадейтернафталина пиролизической конденсацией дейтероацетилена [13, 14], выход продукта был ниже 20%.

Для того чтобы получить C_{10}D_8 изотопным обменом с $\text{D}_2\text{O} + \text{Ca(OD)}_2$ [16], смесь надо нагревать при 400°C в течение суток, повторяя операцию до семи раз, каждый раз выделяя из смеси нафталин. При получении C_{10}D_8 изотопным обменом с D_2SO_4 [15, 16] реакцию проводили в течение 200 час., заменяя кислоту новой порцией через каждые 24 часа. При этом происходит частичное сульфирование нафталина.

При концентрации раствора амида калия, равной 0,2 *N*, равновесие обменной реакции между нафталином и дейтероаммиаком достигается уже через 10 мин. при 25°C без побочных процессов [18]. Аммиак очень легко отгоняется от вещества. Положительной стороной нового способа получения дейтеросоединений являются не только быстрота реакции и легкость полного удаления растворителя, но особенно большое значение имеет возможность полного дейтерирования многочисленных ароматических, жирноароматических, этиленовых углеводородов и многих других органических соединений [1]. Так, например, сравнительно сложным синтезом, описанным в литературе [19], удается приготовить толуол, содержащий только три атома дейтерия в метильной группе, тогда как изотопным обменом с $\text{ND}_3 + \text{KND}_2$ получается полностью дейтерированный углеводород [20].

Преимуществом дейтерирования при помощи жидкого DBr по сравнению с жидким ND_3 является более высокий коэффициент распределения дейтерия между связями CH и HBr ($\alpha = 3,0$) по сравнению с $\alpha = 0,9$ для связей CH и NH (см. (18, 21)). Поэтому при одинаковой концентрации дейтерия в обоих растворителях при том же числе обменов удастся достигнуть более высокой концентрации дейтерия в веществе. Существенно также то, что из одинакового количества тяжелой воды получается в 25 раз больше DBr , чем ND_3 . Кроме того, при получении DBr легче избежать при меси противя, чем при синтезе ND_3 . Однако надо иметь в виду, что только часть из полностью дейтерированных углеводородов (например, C_6D_6 , C_{10}D_8 **) может быть приготовлена при помощи обоих растворителей.

* Получение этих веществ описано в работах [4—17].

** При получении C_6D_6 обменную реакцию катализуют AlBr_3 .

Замещение всех атомов водорода в веществах, содержащих, наряду с ароматическими и алифатическими С—Н-связи (например, толуол), достигается лишь при помощи $D_3 + KND_2$. Зато жидкий DBr может найти более широкое применение при частичном замещении на дейтерий определенных атомов водорода в молекулах ароматических углеводородов.

Используя различие в скоростях обмена неравноценных атомов водорода, легко значительно увеличить число частично дейтерированных веществ. Они могут быть также получены обратным обменом между дейтерированными соединениями и жидким HBr или HF, т. е. вымыванием части атомов дейтерия. Например, таким путем, принципе, можно приготовить 15 этилбензолов, дейтерированных в различных положениях (см. [1]). В данной работе приведены примеры нескольких частично дейтерированных веществ. В молекуле $C_{10}H_8$ α -атомы водорода обмениваются со скоростью, 10—50 раз большей, чем β -атомы [22]. Это обстоятельство использовано нами для получения 1, 4, 5, 8- $C_{10}D_4H_4$. Исходя из $C_{10}D_8$, обратным обменом с жидким HBr получили 2, 3, 6, 7- $C_{10}D_4H_4$. С жидким DBr в молекуле дифенила за сотни часов обменяются не более шести атомов водорода, а именно: орто-пара-атомы [23]. Это позволило изготовить 2,4,6,2',4',6'- $C_{12}D_6H_4$. Из $C_{12}D_{10}$ обменом с жидким HBr получен 3,5,3',5'- $C_{12}D_8H_4$.

Перспективность новых способов приготовления дейтерированных соединений выявляется особенно отчетливо, если обратиться к работе Иппинкота и Рейли [15], которые отмечают, что все попытки синтезировать 1,4,5,8-тетрадейтеро-нафталин известными методами остались безрезультатными.

Экспериментальная часть

Исходные вещества. Чистые препараты бензола и толуола предоставлены Л. Либерманом, которым измерены их константы: C_6H_6 т. кип. $80,1^\circ$ (760 мм); $d_4^{20} 1,5012$; $d_4^{25} 0,87906$; $d_{25}^{25} 0,8761$ *; $C_6H_5CH_3$; $n_D^{20} 1,4969$; $d_4^{20} 0,86685$; $d_{52}^{25} 0,8648$ *; $C_{10}H_8$ $C_{12}H_{10}$ — чистые препараты несколько раз возогнаны в вакууме; $C_{10}H_8$ т. пл. $-3-80,4^\circ$ C; $C_{12}H_{10}$ т. пл. $69-70^\circ$ C.

Опыты по дейтерированию. Жидкий ND_3 получали действием D_2O (99,6 ат. % D) на Mg_3N_2 [2], а жидкий DBr синтезировали из элементов [24]. В цитированных статьях описана техника эксперимента. В настоящее время получение дейтероаммиака упрощено: Mg_3N_2 и ампулу с тяжелой водой помещают в стальной баллончик, в который далее ввинчивают вентиль. Разбивая ампулу, осуществляют реакцию между Mg_3N_2 и D_2O .

При водородном обмене вещества находились в растворе. Как правило, концентрация амида калия была невелика (0,02 N), так как ее повышение усиливает фон при съемке спектра вещества. Реакция обмена проводилась повторно с новыми порциями растворителя при комнатной температуре в течение времени, которое, судя по кинетическим измерениям, обеспечивает достижение равновесия обменной реакции. В опытах с $C_{10}H_8$ на моль вещества приходилось 50—150 молей ND_3 , а в опытах с бензолом и толуолом на моль вещества брали только 20—40 молей растворителя, так как эти углеводороды (особенно бензол) легко увлекаются аммиаком при его отгонке после опыта. В этой работе не была полностью исключена возможность попадания против в аммиак вследствие поглощения нитридом магния влаги из воздуха. При получении препаратов изотопным обменом с жидким DBr 1 г вещества растворяли в 15—22 г жидкого DBr. После спарения растворителя жидкие вещества перегоняли (над $CuSO_4$, чтобы удалить следы ND_3 , или над Na, чтобы связать DBr). Твердые вещества перегоняли 2—3 раза.

Для того чтобы судить о чистоте препаратов и проверить, не образуются ли в процессе дейтерирования трудно удаляемые загрязнения, в контрольных опытах обычные вещества обрабатывались совершенно так же, как и при дейтерировании растворителем и катализатором, лишенным дейтерия. Измеренные спектры соответствовали литературным данным.

* Значения плотности, отмеченные звездочкой, определены Ю. И. Антончик микрометодом с количествами вещества 0,2—0,5 мл. Ею же измерена плотность дейтерированных препаратов.

Методика исследования спектров. Спектры комбинационного рассеяния измерялись на двухпризменном спектрографе «Нует» В. П. с относительным отверстием $1:4,7$, дисперсией 100 см^{-1} в области 4358 \AA . Сосуды для измерений и точник освещения описаны в предыдущей статье [2]. В таблицах приняты следующие обозначения: цифры в скобках соответствуют визуальной оценке интенсивности линий по десятибалльной шкале: ш — широкая, о. ш — очень широкая, д — диффузная — двойная. Частоты, приведенные в таблицах, являются средним из 4—5 независимых измерений. Предполагается в связи с расчетами и интерпретацией спектров в следующей работе уточнить значения отдельных частот.

Спектры веществ

Гексадейтеробензол приготовлен обменом с $\text{DBr} + \text{AlBr}_3$. Плотность по измерению Ю. И. Антончик $d_{25}^{25} 0,9438 \text{ г, см}^3$ 580 (1); 661 (3ш); 843 (0ш); 867 (3ш); 943 (10); 950 (4); 960 (0); 970 (0); 990 (1551 (5); 1560 (0); 2271 (5); 2294 (8).

Деутеронафталины. В табл. 1 суммированы данные спектров C_{10}H_8 , $\alpha\text{-C}_{10}\text{D}_4\text{H}_4$, $\beta\text{-C}_{10}\text{D}_4\text{H}_4$ и C_{10}D_8 .

Молекулы всех веществ имеют одну и ту же симметрию класса V_t , т. е. три взаимно перпендикулярные оси второго порядка, три взаимно перпендикулярные плоскости и центр симметрии. Наличие последнего обуславливает альтернативный запрет. Из 48 возможных колебаний 24 активны в спектре комбинационного рассеяния, 20 в спектре инфракрасного поглощения, а четыре частоты запрещены в обоих спектрах. Мы наблюдали в спектре C_{10}H_8 — 21 частоту, $\alpha\text{-C}_{10}\text{H}_4\text{D}_4$ — 23 частоты, $\beta\text{-C}_{10}\text{H}_4\text{D}_4$ — 26 и в спектре C_{10}D_8 — 27 частот. Близость числа наблюдаемых частот к теоретически ожидаемому позволяет заключить о высокой симметрии молекул и подтверждает предполагаемое строение полученных веществ.

Таблица

Спектры нафталинов

C_{10}H_8 $\nu, \text{см}^{-1}$	$\alpha\text{-C}_{10}\text{D}_4\text{H}_4$ $\nu, \text{см}^{-1}$	$\beta\text{-C}_{10}\text{D}_4\text{H}_4$ $\nu, \text{см}^{-1}$	C_{10}D_8 $\nu, \text{см}^{-1}$	C_{10}H_8 $\nu, \text{см}^{-1}$	$\alpha\text{-C}_{10}\text{D}_4\text{H}_4$ $\nu, \text{см}^{-1}$	$\beta\text{-C}_{10}\text{D}_4\text{H}_4$ $\nu, \text{см}^{-1}$	C_{10}D_8 $\nu, \text{см}^{-1}$
—	—	—	168 (4ш дв)	947 (0)?	950 (0)	—	957 (2)
—	255 (2)	—	—	—	—	1008 (0)	—
341 (0)	—	—	339 (2)	1025 (10)	—	1030 (4)	1047 (0)
357 (0)	—	353 (1)	—	1087 (1)	1086 (1)	1080 (1)	1080 (0)
—	—	—	370 (1)	1142 (2ш)	—	1124 (0)	—
387 (3)	—	386 (1)	—	1167 (1)	—	1164 (0)	1167 (1)
—	—	415 (0)	408 (0)	1238 (2)	—	1230 (1)	—
—	—	443 (0)	—	—	—	—	1290 (4)
510 (10)	501 (4)	503 (4)	495 (10)	—	—	—	—
—	—	—	540 (3)	—	1351 (3)	—	—
—	—	—	586 (0)?	1377 (10)	1374 (4)	1380 (10)	1383 (10)
—	—	630 (0)	—	—	1391 (10)	1398 (2)	—
—	673 (0)?	—	675 (0)	—	1405 (4)	1413 (3)	—
—	704 (2)	—	693 (10)	1437 (0)?	—	1430 (2)	1446 (0)
—	709 (4)	710 (0)	—	1459 (8)	—	—	—
—	716 (1)	—	—	—	—	—	1528 (2)
—	721 (2)	—	—	—	—	1553 (1)	1550 (10)
—	—	732 (4)	—	—	1560 (8)	1565 (4)	—
—	—	738 (4)	—	1574 (6)	—	—	—
761 (10)	—	—	760 (3)	—	—	2263 (3)	2263 }
771 (0)	—	—	—	—	—	2277 (4)	2275 }
778 (0)	—	—	—	—	2284 (2ш)	2294 (4)	2293 (3)
808 (0)	—	—	833 (8)	—	—	—	2302 (2)
846 (1)	—	853 (2)	—	—	3045 (6)	3048 (0)	2312 (0)
—	861 (8)	—	864 (10)	3057 (10)	3054 (2)	—	—
876 (0)	871 (1)	—	—	—	3064 (2ш)	—	—
—	906 (0)	—	927 (0)	—	—	—	—

Таблица 2

Спектры дифенилов

$C_{12}H_{10}$ $\nu, \text{см}^{-1}$	$C_{12}H_8D_4$ $\nu, \text{см}^{-1}$	$C_{12}H_6D_6$ $\nu, \text{см}^{-1}$	$C_{12}D_{10}$ $\nu, \text{см}^{-1}$	Частично дей- терированный препарат
168 (1/2)	—	—	122 (1 1/2)	130 (3д фон)
—	—	249 (1)	248 (2ш.)	245 } (2)
267 (2ш)	254 (0)	—	—	256 }
—	—	306 (1)	300 (1 1/2)	306 (3)
315 (1 1/2)	312 (0)	—	—	—
—	366 (0)	—	355 (2ш)	361 }
—	378 (2)	381 (2)	—	378 } (2)
407 (3ш)	—	—	—	391 (1ш)
—	485 (0)	496 (0)	—	451 (0)
—	540 (0)	—	540 (0) ?	—
—	599 (1)	604 (2)	589 (2 1/2)	593 (3дв)
612 (2 1/2)	—	—	—	—
—	642 (1/2)	646 (0)	654 (4)	658 (3)
—	—	675 (0)	—	—
—	700 (4)	704 (4)	692 (3)	702 (3дв)
—	—	—	713 (0) ?	725 (1)
740 (4)	—	735 (5)	—	744 (0)
780 (1ш)	—	780 (0)	780 (1 2)	779 (0)
838 (1 1/2)	—	833 (0)	835 }	838 }
—	844 (0)	—	840 } (1/2)	845 } (2)
—	854 } (6)	—	—	856 (2 1/2)
—	862 } (0)	—	—	—
897 (0)	873	—	870 (4)	869 (3)
—	—	—	—	902 (0ш)
—	938 (1)	928 (1)	—	—
—	—	956 }	—	—
965 (1/2)	—	962 } (10)	960 (10)	957 } (5ш)
—	—	974 (8)	—	973 } (7ш)
—	990 (3)	—	—	985 } (6)
1003 (8)	1002 (8)	—	—	1002 } (1/2)
1032 (4)	—	—	—	—
—	—	1057 (1)	—	1056 (1 1/2)
1092 (0)?	1088 (1)	1080 (4)	1070 (0)	1086 (1 1/2)
—	—	1094 (0)	—	1124 (2ш)
—	—	—	—	1142 }
1156 (2ш)	—	1158 (0)	—	1154 } (2ш)
1185 (1 1/2)	1196 (1)	—	1188 (8)	1188 (2)
—	1236 (0)	—	—	1222 (4ш)
1326 (0)	1255 (0)	—	—	1254 (5ш)
—	1264 (8)	1260 (3)	—	1263 (5ш)
1280 (10ш)	—	1292 (0)	—	1276 (5ш)
—	—	—	—	1285 (1ш)
—	—	—	1345 (0)	1342 (2)
—	—	—	—	1379 (3ш)
—	—	—	1412 (6)	1414 (2)
—	—	—	—	1430 (2)
—	—	—	—	1443 (3)
1452 (0)	1452 (8)	1452 (8)	—	1455 (3)
—	—	1475 (1/2) ?	—	1476 (1/2)
1504 (4)	—	—	—	—
—	1567 (1)	—	1566 (8ш)	1567 (8ш)
—	—	1582 (10)	1574 (10)	1586 (10дв)
1592 (6)	1595 (6дв)	1590 (10)	—	—
1611 (8)	1608 (0)	—	—	—
—	2278 (0)	2275 } (3ш)	2272 (3)	2280 (30ш)
—	—	2283 }	2286 (2)	—
—	—	—	2297 (3)	—
3060 (2ш, дв)	3060 (2)	3060 (2ш)	—	3060 (2ш)

Следует отметить, что в каждом из спектров почти отсутствуют линии характерные для других изотопных форм, что говорит об индивидуальности веществ.

Дейтеродифенилы. В табл. 2 приводятся спектры $C_{12}H_{10}$, $C_{12}D_{10}$, а также гекса- и тетрадейтеродифенила, приготовленных, как указано на стр. 148. Все спектры содержат небольшое число линий, что говорит о высокой симметрии молекул. В последнем столбце приведен спектр частично дейтерированного препарата, полученного изотопным обменом с $ND_3 + KND_2$. По изотопному составу он близок к гексадейтеродифенилу, приготовленному обменом с жидким D_2Br , но является смесью многих дейтеропроизводных. Этот пример наглядно иллюстрирует правильность положения о том, что неравноценность атомов водорода в молекулах ароматических углеводородов проявляется в гораздо большей степени при водородном обмене с жидким D_2Br , чем при обмене, катализируемом KND_2 [23].

Дейтеротолуол. Препарат дейтеротолуола, в котором водород замещен на дейтерий в метильной группе и в ароматическом кольце, приготовлен двукратным обменом водорода с $ND_3 + KND_2$. Его плотность по измерению Ю. И. Антончик $d_{25}^{25} 0,9318$.

$\nu, \text{см}^{-1}$: 197(1ш) 298(0) 349(1/2) 390(0) 436(0) 490(2) 541(1/2) 605(1 1/2) 658(1) 680(0) 703(1/2) 720(4) 735(1/2) 839(3) 867(2) 950(0) 961(10) 975(1 1/2) 990(0) 1004(0)? 1034(1 1/2), 1085(0) 1280(0), 1390(0), 1545(1ш) 1554(0) 1573(2ш) 1584(0) 2051(2ш) 2082(1/2) 2126(3) 2142(0) 2211(1ш) 2240(0) 2260, 2271(2) 2286 2293(3) 2309(0)?

Проведенные М. А. Ковнером и Г. В. Перегудовым расчеты спектра октадейтеротолуола (которые будут опубликованы отдельно) подтвердили, что данный спектр принадлежит $C_6D_5CD_3$ с небольшой примесью неполностью замещенных форм.

Приносим глубокую благодарность акад. Г. С. Ландсбергу и проф. П. А. Бажулину за интерес к работе и ценные советы; П. Н. Маночкину за помощь в работе; Ю. И. Антончик за измерение плотности препарата и А. Л. Либрману за предоставление препаратов.

Выводы

1. Описано применение водородного обмена с жидким ND_3 , D_2Br для приготовления полностью и частично дейтерированных ароматических углеводородов и обсуждаются особенности дейтерирования названными реагентами.

2. Измерены спектры комбинационного рассеяния следующих веществ C_6D_6 , $C_{10}D_8$, $C_{12}D_{10}$, $C_6D_5CD_3$, 1,4,5,8- $C_{10}D_4H_4$, 2,3,6,7- $C_{10}D_4H_4$, 2,4,6,2',4',6'- $C_{12}D_6H_4$ и 3,5,3',5'- $C_{12}D_4H_6$.

Физико-химический институт
им. Л. Я. Карпова
Академия наук СССР
Физический институт
им. П. Н. Лебедева
Москва

Поступила
31.X.1956

ЛИТЕРАТУРА

1. А. И. Шатенштейн и Е. А. Израилевич, Доклад на Совещании по применению изотопов в катализе, 1956.
2. Г. С. Ландсберг, А. И. Шатенштейн, Г. В. Перегудов, Е. А. Израилевичи Л. А. Новикова, Изв. АН СССР, часть физ. № 6, 669, 1956. Оптика и спектроскопия, 1, 35, 1956.
3. М. А. Ковнер, Оптика и спектроскопия, 1, 742, 1956.
4. С. K. Ingold, G. G. Raysin, C. L. Wilson, C. H. Bailay, B. T. O'Leary, Journ. Chem. Soc., 915, 1637, 1936.
5. J. A. Dixon, R. W. Schiessler, Journ. Amer. Chem. Soc., 76, 2197, 1954.
6. A. Klit, A. Langseth, Zs. phys. Chem., 176, 65, 1936.

7. P. J. Bowman W. S. Benedict H. S. Taylor, Journ. Amer. Chem. Soc., 57, 960, 1935.
8. H. Erlenmeyer, H. Lobeck, H. Gärtner, A. Epprecht, Helv. Chim. Acta, 18, 1464, 1935; 19, 336, 1936.
9. J. W. Murray, C. F. Squire, D. H. Andrews, Journ. Chem. Phys., 2, 714, 1934.
0. G. R. Clemon, A. McQuillen, A. C. Robson, Journ. Chem., Soc., 429, 1939; 851, 1935.
1. Langseth, R. C. Lord, Kgl. Danske Videnskab. Selskab Mat. fys. Medd., 16, No 6, 85, 1938.
2. W. R. Angus, C. K. Ingold, A. H. Leckie, Journ. Chem. Soc., 930, 1936.
3. G. R. Clemon, A. McQuillen, Journ. Chem. Soc., 1325, 1935.
4. J. Gubeau, H. Luther, K. Feldman, G. Brandes, Ber., 86, 214, 1953.
5. E. R. Lippincott, E. J. O. Reilly, Journ. Chem. Phys., 23, 238, 1955.
6. W. P. Bearson, G. C. Pimental, O. Schnepp, Journ. Chem. Phys., 23, 230, 1955.
7. H. Luther, G. Brandes, H. Günzler, B. Hämpel, Z. Electrochem., 59, 1008, 1012, 1955.
8. А. И. Шатенштейн и Е. А. Израилевич, Журн. физ. химии, 28, 3, 1954.
9. R. Renaud, L. C. Leitch, Canad. Journ. Chem., 34, 98, 1956.
0. Н. М. Дыхно и А. И. Шатенштейн, Журн. физ. химии, 28, 11, 1954.
1. Я. М. Варшавский, В. Р. Калиначенко, С. Э. Вайсберг и А. И. Шатенштейн, Журн. физ. химии, 30, 1647, 1956.
2. А. И. Королев, А. И. Шатенштейн, Е. Н. Юрыгина, В. Р. Калиначенко и П. П. Алиханов, Журн. общ. химии, 26, 1666, 1956.
3. А. И. Шатенштейн, В. Р. Калиначенко и Я. М. Варшавский, Журн. физ. химии, 30, 2093, 1956.
4. В. Р. Калиначенко, Я. М. Варшавский и А. И. Шатенштейн, Журн. физ. химии, 30, 1140, 1956.

THE SYNTHESIS OF SOME DEUTERATED AROMATIC HYDROCARBONS AND THEIR RAMAN SPECTRA

*A. I. Shatenshtein, G. V. Peregudov, E. A. Izrailevich
and V. R. Kalinachenko (Moscow)*

Summary

A description is given of the application of hydrogen exchange with liquid N_3D and D_2O in the synthesis of completely and partially deuterated aromatic hydrocarbons and a discussion presented of the specificities of deuteration with these solvents.

The Raman spectra of the following substances have been obtained: C_6D_6 , $C_{10}D_8$, $C_{12}D_{10}$, $C_6D_5Cl_3$, 1,4,5,8- $C_{10}D_4H_4$, 2,3,6,7- $C_{10}D_4H_4$, 2,4,6,2',4',6'- $C_{12}D_8H_4$ and 3,5,3',5'- $C_{12}D_4H_8$.

РАСПРЕДЕЛЕНИЕ ТЕМПЕРАТУР В РЕАКЦИОННОЙ КОЛОНКЕ ДЛЯ ПРОЦЕССОВ, ПРОТЕКАЮЩИХ В ДИФфуЗИОННОЙ ОБЛАСТИ

М. М. Шелечник

Знание температурного режима реакционной колонны чрезвычайно важно для правильного ведения технологических процессов. Между тем число работ, посвященных анализу этой задачи, далеко не соответствует ее практическому значению.

Ниже делается попытка приближенно решить вопрос для случая протекания процесса в диффузионной области [1], т. е. когда диффузионное сопротивление гораздо больше химического. Рассматривается распределение температур в колонке, заполненной гранулированным твердым веществом, сквозь которое продвигается смесь газов; при этом один из компонентов смеси реагирует с наполнителем колонки.

Известно [2], что состояние в колонке определяется четырьмя уравнениями: два из них — балансы элементарного слоя колонки, два других учитывают перенос вещества и теплоты. В общем случае все четыре уравнения должны решаться совместно, так как константа скорости переноса вещества зависит от температуры. Если процесс протекает не в кинетической области, то константа скорости диффузии можно, по аналогии с коэффициентом теплоотдачи, считать не зависящей от температуры. При этом уравнения, относящиеся к переносу вещества, решаются самостоятельно, и результаты используются в тепловых уравнениях.

В порядке первого приближения производится следующая схематизация процесса. Предполагается, что время защитного действия слоя пропорционально его длине [3] и что газ взаимодействует с наполнителем колонки с бесконечно большой скоростью, т. е. процесс поглощения оканчивается мгновенно. Тогда кинетическое уравнение может быть записано при помощи функции Дирака, а количества поглощенного вещества в газе-носителе и в насадке равны

$$H_g = H_0 \int_0^{\tau-x/w} \delta(s) ds, \quad (1)$$

$$H_s = H \int_0^{\tau-x/w} \delta(s) ds. \quad (2)$$

Выражения (1) и (2) удовлетворяют уравнению материального баланса элементарного слоя колонны

$$G \frac{\partial \Pi_g}{\partial x} + \gamma \frac{\partial H_s}{\partial \tau} = 0,$$

где H_0 — количество поглощаемого газа, приходящееся на единицу газ-носителя, до поступления в колонку ($\kappa\text{г}/\kappa\text{г}$); H — количество поглощаемого газа в насыщенном наполнителе колонки ($\kappa\text{г}/\kappa\text{г}$); x — расстояние с места входа газа в колонку (м); τ — время с момента начала процесса (час); w — линейная скорость, с которой происходит обработка наполнителя колонки ($\text{м}/\text{час}$); ее величина равна $w = GH_0/\gamma H$; G — количество газ-носителя, поступающее в единицу времени через единицу площади по-

го сечения колонки ($\text{кг}/\text{м}^2\text{час}$); γ — насыпной вес наполнителя колонки ($/\text{м}^3$).

Сравнение действительного процесса с идеализированным представлено на рис. 1. Скорость действительного процесса вначале невелика; затем, увеличиваясь, достигает своего максимума, после чего снижается. Идеализированный процесс сводится к одновременному акту, осуществляющемуся в момент достижения реальным процессом наибольшей скорости. Следует отметить, что чем более удален рассматриваемый слой наполнителя от места входа газа в колонку, тем выше скорость процесса насыщения (кривая 2 более отлога) и, следовательно, большее расхождение между реальным процессом и его изображением при помощи δ -функции.

Тепловой баланс элементарного слоя колонки, образованного двумя плоскими, перпендикулярными оси сечениями, расположенными на бесконечно малом расстоянии друг от друга, запишется так:

$$\gamma C_s \frac{\partial t_s}{\partial \tau} + G C_g \frac{\partial t_g}{\partial x} - r \gamma \frac{\partial H_s}{\partial \tau} = 0, \quad (3)$$

и t_g — температура насадки и газа; C_s , C_g — теплоемкости насадки и газа ($\text{ккал}/\text{кг}^\circ\text{C}$); r — тепло, выделяющееся при поглощении единицы массы газа насадкой ($\text{ккал}/\text{кг}$).

При выводе (3) не учитывается тепло, накапливающееся в газе, заключенном между гранулами. Игнорируются теплопроводность, лучеиспускание, тепловые градиенты в насадке и потери тепла системой [4].

Уравнение баланса следует решать совместно с уравнением теплоотдачи

$$-G C_g \frac{\partial t_g}{\partial x} = \alpha_0 (t_g - t_s), \quad (4)$$

где α_0 — коэффициент теплоотдачи, отнесенный к поверхности одного кубометра насадки ($\text{ккал}/\text{м}^3\text{ час}^\circ\text{C}$).

Преобразования сводятся к замене τ и x безразмерными, приведенными величинами: $\theta = \alpha_0 \tau / \gamma C_s$ и $\chi = \alpha_0 x / G C_g$ подстановки вместо $\partial H_s / \partial \tau$ ее значения из (2) и исключения t_s :

$$\frac{\partial t_g}{\partial \chi} + \frac{\partial t_g}{\partial \theta} + \frac{\partial^2 t_g}{\partial \chi \partial \theta} - \frac{r H}{C_s} \delta \left(\theta - \frac{C_g H}{C_s H_0} \chi \right) = 0. \quad (5)$$

Решая (5) совместно с граничными и начальными условиями $t_g = 0$ при $\chi = 0$ и при $\theta = 0$, получим

$$t_g = \frac{\Delta}{\eta - 1} \left\{ e^{-\chi} \int_0^\theta [1 - 1/\eta e^{(1/\eta - 1)(\theta - s)}] e^{-s} I_0(2\sqrt{\chi s}) ds - [1 - e^{(1/\eta - 1)(\theta - \eta \chi)}] \right\}, \quad (6)$$

при $\theta \geq \eta \chi$.

Выражение для температуры насадки определится путем подстановки в (4):

$$t_s = \frac{\Delta}{\eta - 1} \left\{ e^{-\chi} \int_0^\theta [1 - 1/\eta e^{(1/\eta - 1)(\theta - s)}] e^{-s} \sqrt{\frac{s}{\chi}} I_1(2\sqrt{\chi s}) ds - [1 - \eta e^{(1/\eta - 1)(\theta - \eta \chi)}] \right\} \quad (7)$$

при $\theta \geq \eta \chi$.

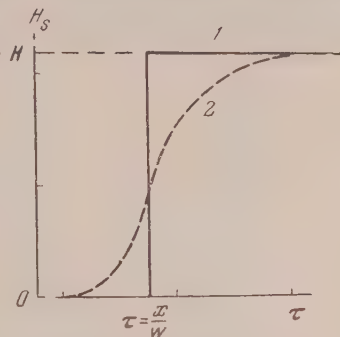


Рис. 1. Изменение количества газа, поглощенного фиксированным слоем насадки. 1 — изображение процесса при помощи δ -функции; 2 — изображение действительного процесса

Если $\eta\chi > 0$, то последние два члена в прямых скобках исключают

В формулах (6), (7) $\Delta = rH/C_s$; $\eta = C_g H/C_s H_0$. Если ввести понятие скорости распространения «тепловой волны» $u = GC_g/\gamma C_s$ — линейная скорость, с которой перемещался бы фронт нагретой насадки, если тепло от газа полностью передавалось насадке и она нагревалась температуры газа, то величина η будет отношением двух величин: скорости тепловой волны и скорости распространения фронта реакции — $\eta = u/w$. В зависимости от соотношения скоростей возможны три типа распределения температур в колонке: наиболее часто встречающийся на практике случай $u > w$ и два других $u < w$ и $u = w$.

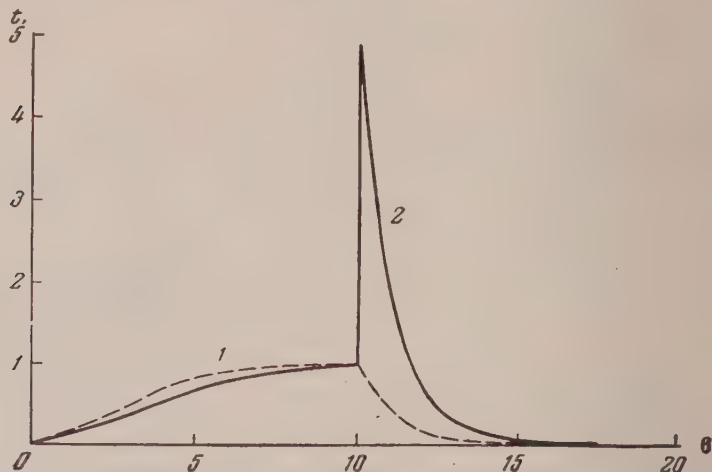


Рис. 2. Изменение температуры газа и насадки в фиксированном слое: 1 — температура газа; 2 — температура насадки, для сечения колонки, отстоящего на расстоянии $\chi = 2$ от места входа газа, при условии $u > w$

На рис. 2 изображено изменение температуры газа и насадки, рассчитанные по уравнениям (6) и (7).

Отношение скоростей принято $\eta = 5$. Процесс можно разделить на два периода: первый период характеризуется тем, что реакция в данном слое еще не произошла и разогрев насадки происходит за счет теплоотдачи от газа, предварительно нагретого в тех слоях, где процесс поглощения уже закончился, т. е. в слоях, расположенных, считая по ходу газа, перед данным слоем. В течение этого периода температура газа выше температуры насадки. Во втором периоде в результате реакции происходит мгновенный разогрев насадки, температура последней становится выше температуры газа и в дальнейшем происходит быстрое охлаждение ее током холодного газа.

Наибольшие значения температур t_g и t_s достигаются в момент поглощения газа. Они равны: $t_g = \Delta/(\eta - 1)$, $t_s = \Delta/(1 - 1/\eta)$.

До начала реакции температура насадки повышается до температуры газа $t_s^* = t_g$, а прирост температуры насадки в результате реакции равен

Изменение температуры насадки в различных сечениях колонки при $\eta = 5$ показано на рис. 3.

В реальных процессах должны отсутствовать пики и температурные скачки, а значения максимальных температур должны быть меньшими, так как процесс поглощения протекает с конечной скоростью.

Изменение температуры при $\eta = 0,2$ для случая, когда тепловая скорость меньше массовой ($u < w$), изображено на рис. 4.

Наибольшая температура газа достигается к моменту протекания реакции $t_g = \Delta/(1 - \eta)$. За счет теплоотдачи от газа насадка нагревается до температуры $t_s^* = \Delta/(1/\eta - 1)$ более низкой, чем температура газа, вследствие того, что тепловая скорость мала и тепло не успевает перейти от газа к насадке. По окончании реакции температура насадки поднимается до величины $t_s = \Delta/(1 - \eta)$ и становится равной температуре газа.

Температурный скачок, возникающий в результате реакции, как и в первом случае, равен Δ .

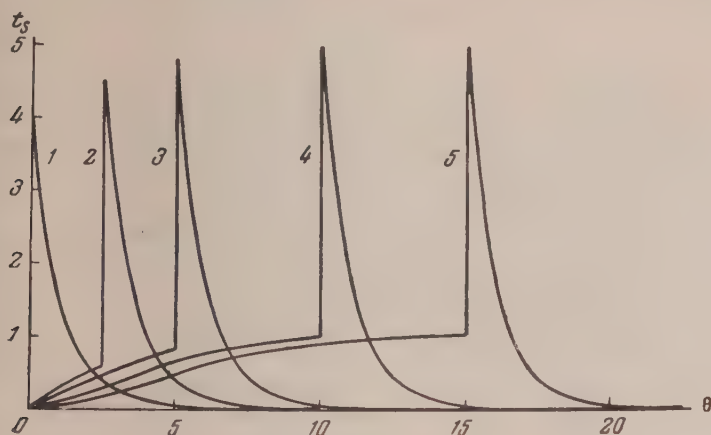


Рис. 3. Изменение температуры слоев насадки: 1 — $\chi = 0$; 2 — $\chi = 0,5$; 3 — $\chi = 1$; 4 — $\chi = 2$ и 5 — $\chi = 3$

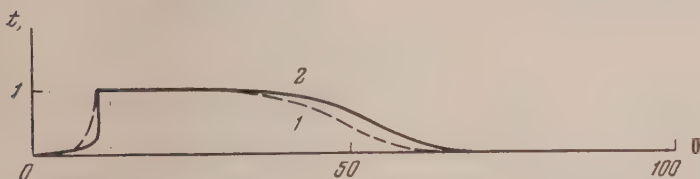


Рис. 4. Изменение температуры газа и насадки в фиксированном слое: 1 — температура газа; 2 — температура насадки для сечения колонки отстоящего на расстоянии $\chi = 50$ от места входа газа, при условии $u < w$

При равенстве тепловой и массовой скоростей $u = w$ величина $\Delta/(\eta - 1)$ стремится к бесконечности.

Тепловая волна, являющаяся результатом процесса теплоотдачи, распространяется по колонке совместно с тепловым импульсом, возникающим в зоне реакции. Происходит непрерывное суммирование ранее выделившегося тепла с вновь выделившимся. Тепло аккумулируется в зоне реакции. Теоретически должно происходить ничем неограниченное нарастание температуры в зоне реакции и наступить явление «теплового резонанса». Подобное явление, по-видимому, наблюдалось в работе [5] в ионообменной колонке.

Расчеты по формулам (6) и (7) требуют применения численных методов. При использовании интеграла вероятности в качестве приближения исчезает разность температур $t_g - t_s$ (до момента реакции) и затушевывается физический смысл явления.

Допущения, положенные в основу расчета, особенно сильно искажают ход температурных кривых насадки, поэтому полученные выражения для t_s не пригодны для количественного определения температуры.

Вообще найденное распределение температур лишь качественно отображает действительное явление. Выведенные формулы показывают общие закономерности процесса, соотношения между температурами газа и насадки и могут служить лишь для приблизительной оценки значений температур в колонке.

При выводе упомянутых уравнений не делалось никаких специальных предположений о реагирующих веществах. Улучшение решений может быть достигнуто путем применения уравнений конкретных процессов переноса вещества.

Выводы

1. В реакционной колонке при протекании процесса в диффузионной области возможны три типа распределения температур, характеризующихся соотношением между скоростями распространения «фронта реакции» и «тепловой волны».

2. Если скорость распространения «тепловой волны» больше скорости распространения фронта реакции, то к моменту ее протекания в слое температуры газа и насадки выравниваются, а в результате реакции насадка приобретает более высокую температуру.

3. В противоположном случае температура газа к моменту начала реакции выше температуры насадки, и лишь после реакции они выравниваются.

4. В случае равенства скоростей возможен неограниченный разогрег содержимого колонки.

Институт автогенной
обработки металлов
Москва

Поступила
1.XI.1956

ЛИТЕРАТУРА

1. Д. А. Франк-Каменецкий, Диффузия и теплопередача в химической кинетике, Изд-во АН СССР, 1947, стр. 57.
2. А. А. Жуховицкий, Я. Л. Забежинский и А. Н. Тихонов, Журн. физ. химии, 19, 253, 1945.
3. Н. А. Шилов, Л. К. Лепинь и С. А. Вознесенский, ЖРФ-ХО, част. химическая, 1107, 1929.
4. А. Ф. Чудновский, Теплообмен в дисперсных средах, Гостехиздат, 1954, стр. 378.
5. J. F. Short, P. G. Smith, G. H. Twig, Journ. Appl. Chem., 3, 198, 1953.

TEMPERATURE DISTRIBUTION IN A REACTION COLUMN IN PROCESSES TAKING PLACE IN THE REGION OF DIFFUSION KINETICS

M. M. Shelechnik (Moscow)

Summary

In a reaction column three types of temperature distributions are possible for processes taking place in the region of diffusion kinetics, in conformity with the ratio between the rates of the "reaction front" and "heat wave" propagations.

If the rate of propagation of the "heat wave" is greater than that of the "reaction front" then at the time of reaction in the layer the temperatures of the gas and the filler equalize and, owing to the reaction, the filler assumes a higher temperature.

In the reverse case the gas temperature at the time of reaction is higher than that of the filler and they become equal only after the reaction.

If the rates are equal there are no limits to the heating up of the column content.

ЭЛЕКТРОКАПИЛЛЯРНЫЕ ЯВЛЕНИЯ В РАСТВОРАХ СОЛЕЙ
ТАЛЛИЯ И КАДМИЯ. II

А. Н. Фрумкин и Н. С. Поляновская

Аномальные электрокапиллярные кривые в растворах солей таллия. В предыдущей нашей статье были приведены результаты измерения электрокапиллярных кривых ртути в растворах, содержащих соли таллия. Измерения эти были продолжены до потенциала $\varphi = -0,45$ по нормальному каломельному электроду, при котором делалось заметным прохождение тока через раствор в капилляре капиллярного электрометра. При проверочном измерении, выполненном со слегка подкисленным раствором $0,2N \text{TiNO}_3 + 0,8N \text{KNO}_3$ по методике, описанной в [1], оказалось, что измерения эти могут быть продолжены и до более отрицательных потенциалов. При этом получилась электрокапиллярная кривая необычной формы (рис. 1, кривая 2) с двумя максимумами. Можно показать, однако, что в данном случае в одном опыте в действительности измеряются две относящиеся к различным системам электрокапиллярные кривые, разделенные на рисунке пунктирным переходом. Кривую, расположенную слева (кривая 2а), как это было показано в первой части работы, правильно рассматривать как электрокапиллярную кривую ртути в растворе солей таллия*.

Мы покажем в дальнейшем, что правая часть суммарной двугорбой кривой (кривая 2б) выражает электрокапиллярную кривую амальгамы Ti постоянного состава в растворе $\sim 0,9 N \text{KNO}_3$.

Как было разобрано в первой части, при потенциалах, при которых производится измерение электрокапиллярной кривой Hg в растворе соли таллия, находящейся в равновесии с раствором ртути, должен содержаться таллий в некоторой концентрации, возрастающей по мере роста отрицательного потенциала поляризованного мениска — φ , согласно экспоненциальному закону.

Потенциал 0,1% амальгамы таллия в растворе $0,2 N \text{TiNO}_3 + 0,8N \text{KNO}_3 + 0,077 N \text{HNO}_3$, измеренный против нормального каломельного электрода, оказался равным $-0,489$. Отсюда следует, что при потенциале $-0,45$, при котором обрывались измерения в первой части работы, концентрация таллия в Hg была равна $0,014 M$, т. е. составляла 0,07 от концентрации таллия в растворе.

Так как таллий, растворенный в находящейся в соприкосновении с электролитом ртути, диффундирует в глубь ртутной фазы, то для поддержания его концентрации постоянной необходимо, чтобы через систему

* В первой части отмечено, что восходящая ветвь электрокапиллярной кривой растворов, содержащих таллий, и при значительных положительных зарядах понижалась по сравнению с восходящей ветвью раствора фона. Это объяснялось участием в адсорбционном процессе содержащих таллий комплексных анионов. Этот же эффект наблюдается и на кривых рис. 1, однако он несколько менее выражен. Различие это зависит от того, что в первой части сравнивались кривые $N \text{KNO}_3$ и $N \text{KNO}_3 + 0,2 N \text{TiNO}_3$, вследствие чего на адсорбционный эффект солей таллия в области положительных потенциалов накладывалось понижение, вызванное увеличением суммарной концентрации, в то время как в настоящей работе сопоставлялось поведение растворов $N \text{KNO}_3$ и $0,8N \text{KNO}_3 + 0,2 N \text{TiNO}_3$, т. е. соблюдалось условие постоянства общей концентрации.

шел некоторый ток, и, следовательно, чтобы существовал перепад концентраций ионов Tl^+ в растворе. Для того чтобы оценить величину этого перепада, необходимо рассмотреть условия диффузии в капиллярном электрометре. В последнем относительно широкий капилляр диаметром $\sim 0,35$ мм через коническое сужение переходил в почти цилиндрическую часть с диаметром, равным $0,036$ мм, в которой на расстоянии $0,4$ мм от конца капилляра находился мениск во время измерений. Длина узкой части капилляра ~ 5 мм. Концентрацию таллия в широкой части капилляра можно принять равной нулю. Обозначим исходную концентрацию ионов Tl^+ в растворе через $c_{Tl^+}^0$, концентрацию у границы со ртути через $c_{Tl^+}^s$ и концентрацию таллия в амальгаме на границе с раствором через c_{Tl}^s . Тогда условие равновесия, предполагающее применимость законов идеальных растворов к раствору и амальгаме, гласит

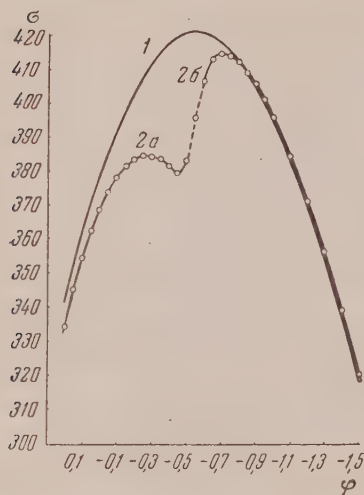
$$c_{Tl}^s = c_{Tl^+}^s e^{(\varphi_0 - \varphi)F/RT}, \quad (1)$$

где φ_0 — потенциал амальгамы в исследуемом растворе при $c_{Tl}^s = c_{Tl^+}^s$; и вышеприведенных данных следует, что $\varphi_0 = -0,517$. Далее, в стационарных условиях

$$D_{Tl^+} \frac{c_{Tl^+}^0 - c_{Tl^+}^s}{l_1} = D_{Tl} \frac{c_{Tl}^s}{l_2}, \quad (2)$$

где D_{Tl^+} и D_{Tl} — коэффициенты диффузии ионов Tl^+ в растворе и атомов таллия в амальгаме, l_1 — длина узкой части капилляра, заполненной раствором, и l_2 — некоторая эффективная длина его части, заполненной ртутью. Мы предполагали первоначально, что величину l_2 следует приближенно

Рис. 1. Зависимость пограничного натяжения от потенциала (по н. к. э.): 1 — ртуть — $1N KNO_3$ и 2 — ртуть — $0,2 N KNO_3 + 0,8 N KNO_3$ $t = 19^\circ C$



приравнять длине узкой части капилляра от мениска до перехода к более широкой части. Однако при длине диффузионного пути порядка 5 мм стационарный режим диффузии после наложения определенной поляризации мог бы установиться только через промежуток времени порядка $(l_2)^2/D_{Tl}$, т. е. через несколько часов. В течение этого времени концентрация c_{Tl}^s возрастала бы, и пограничное напряжение должно было изменяться. В действительности медленных изменений пограничного натяжения σ , которые затруднили бы измерения, не наблюдалось, откуда можно сделать вывод, что эффективная величина l_2 , по крайней мере, на порядок меньше геометрической и одного порядка с l_1 . Как будет показано ниже, вывод этот может быть подтвержден независимым путем. Сокращение диффузионного пути в заполненной ртутью части капилляра вызвано, вероятно, тем, что образующаяся на границе ртуть — раствор амальгама легче ртути, и поднимаясь вверх, вызывает некоторое размешивание столба ртути.

Из (2) следует, что

$$c_{Tl^+}^s = c_{Tl^+}^0 - \frac{D_{Tl}}{D_{Tl^+}} \frac{l_1}{l_2} \cdot c_{Tl}^s. \quad (3)$$

Так как D_{Tl} и D_{Tl^+} — величины одного порядка, то из (3) вытекает, что $c_{Tl^+}^s \sim c_{Tl^+}^0$ до тех пор, пока c_{Tl}^s мало по сравнению с $c_{Tl^+}^0$. Это условие, согласно приведенному выше расчету концентрации амальгамы, образующейся при $\varphi = -0,45$, выполнялось в пределах потенциалов, в которых

производились измерения в первой части работы, что подтверждает законность применявшейся в этой части трактовки.

При $c_{\text{Tl}^+}^s \sim c_{\text{Tl}^+}^0$ согласно (1) $c_{\text{Tl}^+}^s = c_{\text{Tl}^+}^0 e^{(\varphi_0 - \varphi) F/RT}$, как это и принимается при выполнении вышеприведенного расчета.

Другой предельный случай определяется условием $c_{\text{Tl}^+}^s \sim 0$, и, следовательно,

$$c_{\text{Tl}^+}^s = \frac{D_{\text{Tl}^+} l_2}{D_{\text{Tl}^+} l_1} c_{\text{Tl}^+}^0. \quad (4)$$

Предельное значение $c_{\text{Tl}^+}^s$, которое достигается при $c_{\text{Tl}^+}^s = 0$, мы обозначим без $(c_{\text{Tl}^+}^s)_l$. Эта величина может быть найдена из следующих соображений. Максимум кривой 2б на рис. 1 смещен относительно максимума в KNO_3 на $-0,155 \text{ V}$ и понижен по сравнению с ним на $6,75 \text{ дин/см.}$ В работах [2,3] приведены данные по зависимости положения электрокапиллярного максимума амальгам Tl от концентрации * Tl, из которых следует, что указанному положению максимума должна соответствовать 0,45% или 0,3 M концентрация Tl в амальгаме; таким образом $(c_{\text{Tl}^+}^s)_l = 0,3 \text{ M}$. Отсюда следует согласно [4], так как $c_{\text{Tl}^+}^0$ в наших экспериментах равнялось 0,2 M, что величина $D_{\text{Tl}^+} l_2 / D_{\text{Tl}^+} l_1 = 1,5$, т. е. l_2 / l_1 — действительно порядка единицы. При помощи найденной величины можно определить, в какой области потенциалов условие постоянства $c_{\text{Tl}^+}^s$ выполняется с определенной степенью точности. Предположим, например, что $(c_{\text{Tl}^+}^s)_l = 0,27 \text{ M}$, тогда, согласно [3], $c_{\text{Tl}^+}^s = 0,2 - \frac{0,27}{1,5} = 0,02$; соответствующее значение φ равно $\varphi_0 - \frac{RT}{F} \ln \frac{0,27}{0,02} = -0,517 - 0,065 = -0,582$. Таким образом, при $\varphi \leq -0,582$ с точностью до 10% состав образующейся в капилляре электрометра амальгамы оказывается постоянным, а концентрация ионов Tl^+ пониженной, по крайней мере, в 10 раз, т. е. до 0,02 N; в этом приближении кривую 2б в указанной области потенциалов следует рассматривать как электрокапиллярную кривую амальгамы Tl в растворе KNO_3 . При $\varphi = -0,642$ предельное значение достигается с точностью до 1%, а величина $c_{\text{Tl}^+}^s$ падает до 0,002 N и т. д.

Нисходящая ветвь электрокапиллярной кривой амальгамы Tl на рис. 1 близка к нисходящей ветви электрокапиллярной кривой N KNO_3 , но несколько смещена в отрицательную сторону. Как это следует из данных Гумкина и Городецкой [2], пограничное натяжение в растворе того же состава при потенциалах, более отрицательных чем $\varphi = -1,1$, должно возрастать при переходе от ртути к 0,45% амальгаме на $\sim 0,5 \text{ дин/см.}$, что соответствует сдвигу нисходящей ветви в среднем на 3,5 mV в сторону более отрицательных потенциалов. На этот сдвиг накладываются еще два эффекта, условия возникновения которых делаются ясными, если разделить падение потенциала и величину концентрационных изменений, возникающих при прохождении тока через капилляр.

Обозначим концентрации ионов K^+ и NO_3^- в объеме раствора через $c_{\text{K}^+}^0$ и $c_{\text{NO}_3^-}^0$, концентрации у поверхности образующейся амальгамы через $c_{\text{K}^+}^s$ и $c_{\text{NO}_3^-}^s$ и падение потенциала в столбе раствора в капилляре через $\Delta\varphi$. Как в стационарных условиях ионы K^+ и NO_3^- неподвижны, то

$$c_{\text{K}^+}^s = c_{\text{K}^+}^0 e^{\Delta\varphi F/RT}; \quad (5)$$

$$c_{\text{NO}_3^-}^s = c_{\text{NO}_3^-}^0 e^{-\Delta\varphi F/RT}. \quad (6)$$

* Фоном в этих измерениях служил подкисленный раствор N Na_2SO_4 , а не KNO_3 , как в настоящей работе; однако, как это видно из [2], различие в относительных положениях максимума амальгамы и ртути для этих двух растворов должно быть мало.

При достижении предельного тока по иону Tl^+

$$c_{K^+}^s = c_{NO_3^-}^s = c_{KNO_3}^s,$$

где $c_{KNO_3}^s$ — концентрация фона, устанавливающаяся у поверхности амалгамы при прохождении тока. Из (5), (6) и (7) следует

$$\Delta\varphi = \frac{RT}{2F} \ln \frac{c_{NO_3^-}^0}{c_{K^+}^0}$$

и

$$c_{KNO_3}^s = (c_{K^+}^0 c_{NO_3^-}^0)^{1/2}.$$

Подставляя в (8) и (9) $c_{K^+}^0 = 0,8$ и $c_{NO_3^-}^0 = 1,0$, находим $\Delta\varphi \equiv 2,7$ mV, $c_{KNO_3}^s = 0,895$ N $\sim 0,9$ N. Наличие омического падения потенциала $\Delta\varphi$ должно вызвать соответствующий сдвиг нисходящей ветви в сторону отрицательных потенциалов на такую же величину. Измерение пограничного натяжения при достаточно отрицательных φ , если исходный раствор содержал ионы Tl^+ согласно уравнению (9), производится фактически в растворе концентрации $(c_{K^+}^0 c_{NO_3^-}^0)^{1/2} \sim 0,9$ N, и результаты измерения сравниваются с результатами измерения в растворе концентрации $c_{NO_3^-}^0 = 1,0$ N. Это обстоятельство должно вызвать дополнительный сдвиг нисходящей ветви на такую же величину

$$\frac{RT}{F} \ln \frac{c_{NO_3^-}^0}{(c_{NO_3^-}^0)^{1/2} (c_{K^+}^0)^{1/2}} = \frac{RT}{2F} \ln \frac{c_{NO_3^-}^0}{c_{K^+}^0} = 2,7 \text{ mV}.$$

Суммируя все перечисленные эффекты, мы находим таким образом, что нисходящая ветвь электрокапиллярной кривой $0,2$ N $TlNO_3 + 0,8$ N KNO_3 должна быть смещена по сравнению с той же ветвью раствора N KNO_3 на $\sim 2,7 + 2,7 + 3,5 = 9$ mV в отрицательную сторону; смещение, наблюдаемое на опыте, составляет около 10 mV.

Рис. 1 наглядно иллюстрирует тот факт, что в системе, содержащей и Tl , имеются две точки нулевого заряда, разделенные интервалом потенциалов в 0,44V. В связи с этим следует сделать следующие замечания.

Необходимо, во-первых, отметить, что переход от установленного на опыте факта наличия двух максимумов на кривой, выражающей зависимость пограничного натяжения металл — электролит σ от потенциала, к утверждению о существовании двух нулевых точек содержат в себе некоторый элемент условности, будучи связан с различной интерпретацией представления о точке нулевого заряда при трактовке обоих максимумов. А именно, в пограничном слое на границе металл — раствор в обоих случаях имеется адсорбированный таллий. Истолковывая максимум кривой 2a, как точку нулевого заряда ртути в растворе соли таллия, мы предполагаем, что таллий находится в этом случае в пограничном слое в виде специфически адсорбированных ионов Tl^+ , заряд которых мы относим целиком к водной, а не к металлической фазе. Только при этом допущении первый максимум на кривой 2 определяет собой положение точки нулевого заряда ртути в растворе соли таллия. Если бы мы принимали, что адсорбированный таллий присутствует в пограничном слое в виде адсорбированных на металле атомов, то положительные заряды ионов Tl^+ следовало бы включить в заряд поверхности металла, и последний не обращался бы в нуль в электрокапиллярном максимуме.

При рассмотрении правого максимума мы принимаем, что таллий находится в пограничном слое в виде связанных с ртутью атомов. Связь

ет дипольный характер, как это видно из смещения максимума по сравнению с максимумом в случае чистой ртути. Однако сумма зарядов диполей, образованных атомами Hg и Tl, равна нулю, и мы их не учитываем при распределении заряда поверхности. Если бы мы приняли в этом случае, что таллий находится в пограничном слое в виде ионов Tl^+ , мы должны были бы включить в величину заряда поверхности отрицательные заряды ртути в количестве, эквивалентном количеству положительных зарядов ионов Tl^+ , и заряд поверхности уже не обращался бы в нуль в максимуме кривой 2б.

Укажем далее, что к выводу об изменении знака смещения точки нулевого заряда при адсорбции поверхностно-активного вещества в зависимо-

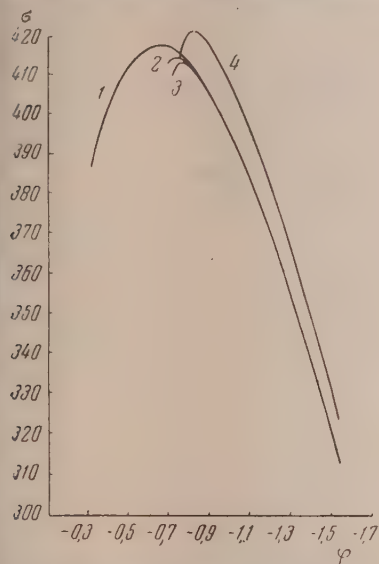


Рис. 2. Электрoкапиллярные кривые амальгам кадмия в 1N KBr. 1 — Hg; 2 — 0,01% Cd; 3 — 0,1 % Cd; 4 — 4,86 % Cd

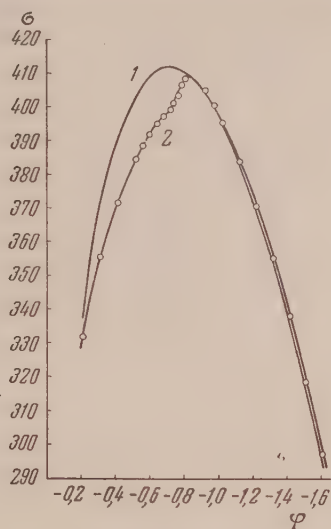


Рис. 3. Зависимость пограничного натяжения от потенциала. 1 — ртуть—2,5N KBr; 2 — ртуть—0,5N $CdBr_2$ + 2,0 N KBr

и от того, адсорбируется ли оно в виде иона или атома, в последнее время привели независимым путем исследования явлений, наблюдаемых при сорбции анионов на твердых металлах. Как хорошо известно, адсорбция ионов хлора, брома, йода вызывает сдвиг точки нулевого заряда ртути других металлов в сторону более отрицательных потенциалов. При исследовании электрохимических процессов и явлений адсорбции органических ионов в присутствии в растворе ионов галоидов на железе [4], свинце кадмия [5] оказалось, однако, что наблюдаемые явления легче всего объяснить, если предположить, что галоиды в этом случае необратимо адсорбируются в виде атомов и присутствие такого хемосорбированного слоя, например, брома или йода приводит к сдвигу точки нулевого заряда положительную сторону, в соответствии с тем, что было предположено более ранних работах [6] о влиянии окисных слоев на точку нулевого заряда платины.

Электрoкапиллярные явления в растворах солей кадмия. Как было показано А. Н. Фрумкин и Ф. Сервиом [3], точка нулевого заряда амальгам кадмия в растворах KCl, KBr, KI, как и в случае солей таллия, смещены в сторону более отрицательных потенциалов. Этот вывод был подтвержден измерениями электрoкапиллярных кривых амальгам Cd, проведенными А. В. Городецкой. По данным А. В. Городецкой поверхностная активность растворенного

в ртути Cd хорошо проявляется, если использовать в качестве электролит раствор KBr. На рис. 2 приведены электрокапиллярные кривые амальгама Cd в растворе N KBr*.

Как было упомянуто в первой части этой работы [1], положение максимума электрокапиллярной кривой ртути в растворах $CdSO_4$ указывало на значительно более слабую поверхностную активность ионов Cd^{2+} по сравнению с ионами Tl^+ ; в этих растворах наблюдается лишь небольшое смещение максимума в положительную сторону. В растворах $CdCl_2$ и особенно проявляется поверхностная активность содержащих Cd комплексов анионов, адсорбция которых вызывает значительное понижение поверхностного натяжения на восходящей ветви электрокапиллярной кривой и сдвиг максимума в отрицательную сторону. При измерении пограничного натяжения между ртутью и растворами солей Cd в широком интервале потенциалов нельзя было поэтому ожидать такого четкого разделения областей, в которых происходит адсорбция кадмия в ионной и атомной формах, как это имело место в случае Tl. Однако, как это видно из рис. 3, суммарная кривая, которая получается при измерении зависимости пограничного натяжения ртути от поляризации в растворе $2,0\ N\ KBr + 0,5\ N\ CdBr_2$, явно состоит из двух электрокапиллярных кривых, из которых левую следует трактовать как обычную электрокапиллярную кривую ртути в указанном растворе, а правую как электрокапиллярную кривую амальгамы Cd в растворе KBr. Аналогичные результаты были получены с раствором $0,8\ N\ KBr + 0,2\ N\ CdBr_2$, между тем как в случае раствора $0,8\ N\ Na_2SO_4 + 0,2\ N\ CdSO_4$ излома на суммарной σ , ϕ кривой не удалось обнаружить. По-видимому, в этой системе поверхностные активности, как иона Cd^{2+} в растворе, так и Cd растворенного в ртути, слишком малы.

Выводы

1. Показано, что при измерении пограничного натяжения σ ртути электролит при помощи капиллярного электрометра в растворе $0,8\ N\ KNO_3 + 0,2\ N\ TlNO_3$ в широком интервале потенциалов ϕ получается кривая с двумя максимумами (рис. 1), которую следует рассматривать как состоящую из электрокапиллярной кривой ртути в указанном растворе и электрокапиллярной кривой приблизительно $0,3\ M$ амальгамы в $0,9\ N\ KNO_3$, сдвинутой в сторону более отрицательных потенциалов на $9 - 10\ mV$. Разобрано значение появления двух максимумов σ в системе Hg — Tl.

2. Показано, что аналогичные явления, хотя и слабее выражены, наблюдаются и при катодной поляризации ртути в растворах $KBr + CdBr_2$.

Академия наук СССР
Институт физической химии
Москва

Поступила
5.XI.1956

ЛИТЕРАТУРА

1. А. Н. Фрумкин и А. С. Титневская Журн. физ. химии, **31**, 485, 1957.
2. А. Н. Фрумкин и А. В. Городецкая, Zs. phys. Chem., **136**, 451, 1957.
3. А. Н. Фрумкин и Ф. Сервис, Журн. физ. химии, **1**, 52, 1930; Journ. Phys. Chem., **34**, 74, 1930.
4. З. А. Иофа, Э. Ляховецкая и К. Шарифов, ДАН, **84**, 543, 1953; З. А. Иофа и Т. Рождественская, ДАН, **91**, 1159, 1953; Э. О. Аяз, ДАН, **100**, 473, 1955.
5. Н. Я. Бунз и Я. М. Колотыркин, ДАН, **100**, 295, 1955; Я. М. Колотыркин и Н. А. Бунз, Журн. физ. химии, **29**, 435, 1955.
6. А. И. Шлыгин, А. Н. Фрумкин и В. И. Медведовский, Acta phys. chim. URSS, **4**, 911, 1936.

* Мы выражаем благодарность А. В. Городецкой за разрешение использовать экспериментальные данные.

ELECTROCAPILLARY PHENOMENA IN SOLUTIONS OF THALLIUM
AND CADMIUM SALTS. II*A. N. Frumkin and N. S. Polyanskaya (Moscow)*

Summary

On measuring the mercury-electrolyte interfacial tension in an $0,8\text{ }N\text{ KNO}_3 + 0,2N\text{ TlNO}_3$ solution over a sufficiently wide range of potentials a curve with two maxima obtained (Fig. 1). This curve should be considered as comprising the usual electrocapillary curve of Hg in the given solution and the electrocapillary curve of a ca. 0,3 molar amalgam in a ca. $0,9\text{ }N\text{ KNO}_3$ solution, the latter curve being shifted a few millivolts towards more negative potentials. The significance of the appearance of the two electrocapillary maxima in the Hg + Tl system is discussed.

Similar although less pronounced effects are observed on the cathodic polarization of mercury in $\text{KBr} + \text{CdBr}_2$ solutions (Fig. 3).

О МЕХАНИЗМЕ ЭЛЕКТРООКИСЛЕНИЯ И ЭЛЕКТРОВОССТАНОВЛЕНИЯ НЕКОТОРЫХ СОЕДИНЕНИЙ НА ПЛАТИНЕ

Г. А. Мартинюк и А. И. Шлыгин

Применение ряда оригинальных методик, разработанных А. И. Шлыгиным с сотрудниками, к изучению процессов электровосстановления электроокисления на платинированной платине позволяет более глубоко и детально изучить также и процесс непосредственного взаимодействия органических веществ с электродом. В более ранних работах А. И. Шлыгина [1] взаимодействие органических веществ с электродом рассматривалось лишь с точки зрения адсорбции их на электроде, поскольку вообще адсорбция диполей на электроде должна приводить к изменению потенциала последнего. Однако исследования, проведенные нами в последнее время, дают более точные представления о взаимодействии органических молекул с электродом, что и является темой данной статьи.

В настоящей работе наряду с другими методами исследования применялся, в частности, следующий. Электрод из платинированной платины поляризовался анодно в 0,1 N H_2SO_4 , насыщенной азотом, до потенциала 0,5 — 0,6V по обратимому водородному электроду в данном растворе. Благодаря этому достигалась полная его дегазация в отношении электрохимически активных газов (H_2 , O_2). Затем вводилось исследуемое органическое вещество и определялось изменение потенциала электрода во времени.

В данной работе приведены материалы по исследованию поведения некоторых соединений с тройной и двойной связью, одноатомных спиртов, альдегидов, кислот и соединений ароматического ряда.

Для некоторых веществ (этиловый спирт, коричный спирт, нитробензол, ацетальдегид) смещение потенциала наблюдалось в катодную сторону, в то время как для других (нитрометан, нитробензол) потенциал смещался в анодную сторону.

Как видно из соответствующих кривых рис. 1, для всех указанных веществ мгновенно наблюдалось резкое смещение потенциала с постепенным замедлением скорости; в конечном счете потенциал достигал стационарного значения, характерного для данного вещества.

Интересно отметить, что ряд неорганических веществ (SO_2 , SO , HSO_3) характеризуется той же зависимостью изменения потенциала времени, как это следует из рассмотрения рис. 2.

Поскольку в условиях наших опытов вводимое вещество могло взаимодействовать лишь с дегазированной поверхностью электрода, естественно предположить, что взаимодействие молекул с электродом, приводящее к изменению потенциала последнего, может быть обусловлено лишь ориентированной адсорбцией молекул на электроде и изменением емкости двойного слоя при адсорбции.

Однако рассмотрение наблюдавшейся зависимости изменения потенциала при введении исследуемых веществ не может быть объяснено ни тем, ни другим процессом.

Так, в случае этилового спирта потенциал, как указывалось выше, резко смещался в катодную сторону. Однако известно из электрокапи-

рных явлений, что этиловый спирт адсорбируется положительным концом диполя, т. е. при адсорбции дает смещение потенциала нулевого заряда анодную сторону. Изменение емкости двойного слоя ввиду наличия положительных зарядов платины также должно приводить к изменению потенциала в анодную сторону.

Таким образом, ни тот, ни другой процесс в данном случае не могут дать смещения потенциала в катодную сторону, и единственным процессом, который может предопределить в этом случае смещение потенциала, является, очевидно, процесс электронного взаимодействия между молекулами спирта и электродом. Отсюда ясно, что мгновенное катодное смещение

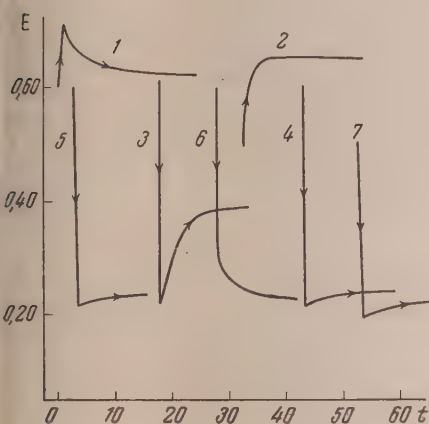


Рис. 1

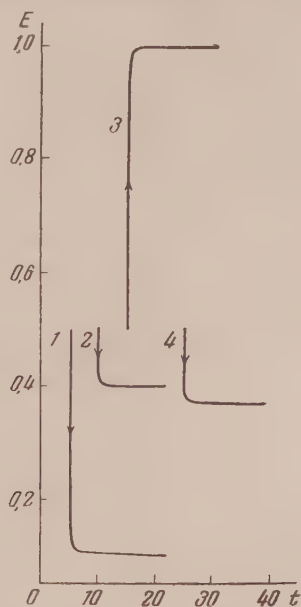


Рис. 2

Рис. 1. Кривые зависимости потенциала от времени контакта органических веществ дегазированной поверхностью платины при контакте с 1 — $C_6H_5NO_2$; 2 — CH_3NO_2 ; 3 — C_6H_5NO ; 4 — C_2H_5OH ; 5 — $C_6H_5CHCHCH_2OH$; 6 — $C_6H_5CHCHCHCHO$; 7 — CH_3CHO

Рис. 2. Кривые зависимости потенциала от времени контакта неорганических веществ дегазированной поверхностью платины: 1 — в 1 N растворе Na_2SO_3 ; 2 — в 1 N растворе $Na_2SO_3 + 1 N H_2SO_4$; 3 — в 1 N растворе $NaHSO_3$; 4 — в растворе $SO_2 + H_2O$

ие потенциала связано с отдачей электронов молекулами спирта электроду.

Как известно, каждый металл характеризуется определенным критическим уровнем электронов, что предопределяет определенную работу выхода электрона с поверхности металла. С другой стороны, естественно предположить, что различные молекулы обладают определенными как занятыми, так и свободными электронными уровнями, а следовательно, определенной работой отщепления или присоединения электронов.

В зависимости от соотношения указанных энергетических уровней электронов в молекуле и работы выхода электрона с электрода должен иметь место переход электронов от молекулы к электроду, или наоборот. Например, факт смещения потенциала при введении C_2H_5OH в отрицательную сторону говорит о том, что основной электронный уровень в молекуле спирта лежит выше (в энергетическом смысле), чем критический уровень электронов электрода, т. е. работа выхода электронов из металла больше, чем работа отрыва электрона из молекулы спирта.

Очевидно, что в случае нитрометана критический электронный уровень в металле выше, чем незанятый электронный уровень в молекуле.

Исследование смещения потенциала на дегазированной поверхности электрода при введении различных веществ открывает возможность сразу же судить о способности данного вещества восстанавливаться или окисляться по электронному механизму и о скорости протекания данного процесса. Смещение в этом случае потенциалов электродов в катодную сторону говорит о ясно выраженных восстановительных свойствах исследуемого вещества и, наоборот, смещение потенциала в анодную сторону — о его окислительной способности. Наличие большой скорости этого процесса приводит к выводу о возможности обмена электронами между электродами и молекулами вещества без предварительной адсорбции последних и с вероятности проявления в данном случае туннельного механизма.

Процесс адсорбции на дегазированной поверхности платины при наличии интенсивного двойного слоя не может протекать быстро, так как сильное поле двойного слоя в сильной степени должно тормозить проникновение молекул к электроду. Действительно, из электрокапиллярных измерений известно, что смещение потенциала от точки нулевого заряда приводит к уменьшению адсорбции, и, в конечном счете, к полному удалению адсорбированного вещества, что, например, в случае спирта достигается при смещении потенциала на $+0,3\text{ V}$. Поэтому внесение $\text{C}_2\text{H}_5\text{OH}$ на дегазированной поверхности в наших опытах происходит уже в области его десорбции (при удалении на $0,4\text{--}0,5\text{ V}$ от точки нулевого заряда платины).

Для экспериментального подтверждения высказанных соображений об отсутствии адсорбции при быстром смещении потенциала были проведены следующие опыты.

Электрод поляризовался в $0,1\text{ N H}_2\text{SO}_4$, насыщенном азотом, до потенциала $0,6\text{ V}$; затем вводилось исследуемое вещество ($0,1\text{ мл C}_2\text{H}_5\text{OH}$) и измерялось значение потенциала. Потенциал мгновенно, как указывалось выше, смещался в катодную сторону до $0,3\text{ V}$. После этого раствор сразу же сливался в токе азота, электрод промывался чистой децинормальной H_2SO_4 , и снималась обычная кривая заряжения.

Кривая оказалась идентичной с кривой заряжения, снятой в отсутствие спирта, в то время как кривая заряжения, полученная при сливании раствора через 15 мин. после введения этилового спирта (времена, достаточного для адсорбции спирта на электроде) показала при потенциале $0,55\text{ V}$ задержку, связанную с электроокислением адсорбированных молекул спирта.

Таким образом имеет место парадоксальный случай: не адсорбция является необходимой предварительной стадией в электрохимическом процессе, а, наоборот, электрохимический процесс (взаимодействие электронного характера) делает возможным протекание адсорбции.

Кроме того, уже сам факт значительного смещения потенциала при введении исследуемых веществ на дегазированной поверхности электрода составляющего $0,5\text{ V}$ и более, указывает на обмен электронами между молекулами вещества и электродом, поскольку наибольшее смещение максимума электрокапиллярной кривой при адсорбции составляет $0,2\text{--}0,3\text{ V}$ (для случая $\text{C}_2\text{H}_5\text{OH}$ в условиях наших опытов $\approx 0,15\text{ V}$).

Детально этот вопрос может быть изучен при помощи осциллографического исследования, но уже наши исследования показали, что основное падение потенциала происходит в первые несколько секунд.

Если правильно то, что электронный обмен происходит между электродом и молекулами, находящимися лишь во внешней обкладке двойного электрического слоя (на расстоянии, обеспечивающем возможность проявления туннельного эффекта, т. е. не свыше 10 \AA), то в опытах кривая должна быть участок более медленного изменения потенциала, указывающий на характер и интенсивность адсорбционного процесса.

В этой связи особый интерес представляют кривые 3, 4, 5 и 7 рис. 1 где после быстрого изменения потенциала в катодную сторону наблюдался обратный, значительно более медленный процесс в анодную сторону.

Поскольку из электрокапиллярных измерений известно, что C_2H_5OH сорбируется положительным концом диполя, естественно предположить, что медленное смещение потенциала в анодную сторону при введении спирта, равно как при введении вышеуказанных веществ, связано с их сорбцией на поверхности электрода. Для других веществ (см. кривые 2 и 6 на рис. 1), где ориентация диполей при адсорбции приводит, очевидно, к изменению потенциала в ту же сторону, что и обмен электронами, наблюдалось изменение потенциала в одну сторону. Но, как видно из рисунков, и в том и в другом случае адсорбционный эффект выражен намного слабее в сравнении с эффектом электронного взаимодействия.

Во всех случаях при введении исследуемых веществ на дегазированной поверхности электрода в конечном счете устанавливался стационарный

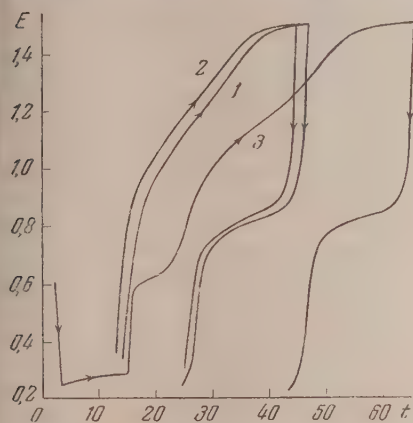


Рис. 3

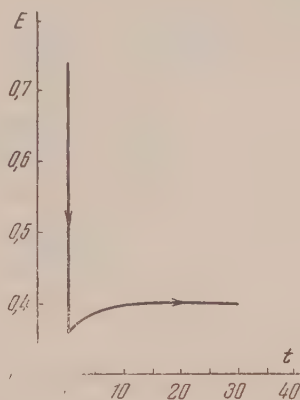


Рис. 4

Рис. 3. Кривые зависимости потенциала от количества пропущенного электричества в $0,1 N H_2SO_4$ кривые: 1 — зарядка электрода в отсутствие адсорбированного спирта; 2 — зарядка, полученные при поляризации электрода после быстрого удаления спирта из раствора; 3 — зарядка в присутствии адсорбированного спирта

Рис. 4. Кривая зависимости потенциала от времени контакта с поверхностью ртутного электрода

потенциал, характерный для данного вещества. Иногда он оказывался близким к обратимому окислительно-восстановительному потенциалу (например, для SO_2 , C_2H_5OH хингидрова). В других случаях этого не наблюдалось.

Существенным является тот факт, что введение исследуемых веществ при разных потенциалах электрода вызывает изменение общего смещения потенциала. Это лишний раз подтверждает вывод о том, что основное смещение потенциала не обусловлено адсорбцией вещества, ибо в противном случае смещение потенциала было бы всегда приблизительно постоянным.

Таким образом, исходя из высказанных нами соображений, можно прийти к выводу, что в отличие от каталитических химических процессов, где адсорбция является необходимой и предварительной стадией катализа, электрохимическая реакция не обязательно должна протекать на поверхности электрода, т. е. через адсорбционное состояние.

Поскольку зона потенциалов, при которых возможна адсорбция, довольно ограничена, хотя и специфична для различных адсорбирующихся веществ, можно в общем утверждать, что удаление от точки нулевого заряда на $0,5 - 1,0V$ должно приводить к десорбции вещества с поверхности электрода. В то же время известно, что многие реакции электровосстановления и особенно электроокисления органических веществ

протекают с достаточной скоростью лишь при очень высоких катодных или анодных значениях потенциала, т. е. при удалении до 2, а иногда более вольт от точки нулевого заряда (например, электроокисление CH_3COOH на платине, как известно, проходит при потенциале 3,5–4,0 V по н. в. э. в данном растворе, т. е. при удалении от точки нулевого заряда более чем на 3V).

Нам кажется совершенно очевидным, что электроокисление и электровосстановление в этом случае должно происходить по электронному механизму без предварительной адсорбции вещества на электроде, что вполне вероятно при наличии туннельного механизма. Поскольку явления обмена на электронами между веществом и электродом до сих пор не учитывались в электрокапиллярных исследованиях, в то время как адсорбция многих органических веществ изучалась этим методом весьма эффективно представляло также интерес исследовать описанные нами явления в электрокапиллярной установке.

В наших исследованиях методика снятия электрокапиллярной кривой в присутствии органического вещества была несколько изменена, так как при снятии обычной электрокапиллярной кривой потенциал на ртутный мениск накладывается уже в присутствии органического вещества в растворе и при этом не учитываются изменения в системе при введении органического вещества. Опыт проводился следующим образом. Не включая поляризации, фиксировался ртутный мениск в определенном положении шкалы. Затем снималась обычным путем электрокапиллярная кривая фона. Далее поляризация отключалась, и, судя по изменению высоты ртутного столба, потенциал возвращался к исходному значению. После этого в отсутствие поляризации к фону добавлялось исследуемое вещество. Изменение высоты ртутного столба в этом случае даст при помощи кривой фона представления об изменении потенциала электрода при введении данного вещества. Убедившись в неизменяемости потенциала, снималась обычная электрокапиллярная кривая в присутствии органического вещества.

Нами исследовалось введение $\text{C}_2\text{H}_5\text{OH}$ в раствор 0,2N NH_4NO_3 , при чем, как указывалось выше, предварительно снималась электрокапиллярная кривая 0,2 N NH_4NO_3 .

Основываясь на изменении ртутного столба при введении $\text{C}_2\text{H}_5\text{OH}$ в 0,2N NH_4NO_3 , можно заключить, что потенциал в этом случае, так же как и на платинированной платине в 0,1N H_2SO_4 , резко смещается в отрицательную сторону (до 0,1V по н. к. э.). Точное смещение потенциала ртутного электрода при введении этилового спирта определялось на установке для снятия кривых заряжения, где исследовался ртутный электрод относительно большой поверхности (стеклянный чашеобразный электрод с химически чистой ртутью вакуумной перегонки). Потенциал изменялся относительно водородного электрода в данном растворе, и смещение его при введении $\text{C}_2\text{H}_5\text{OH}$ составляло 0,4V в катодную сторону. Изменение потенциала при адсорбции в этом случае составляло 40–50 mV.

Электрокапиллярная кривая 0,2N NH_4NO_3 в присутствии этилового спирта снималась далее обычным путем. Кривая имела вполне стандартный вид с значительным понижением поверхностного натяжения и со сдвигом максимума электрокапиллярной кривой в положительную сторону на 0,1V.

Отдача электронов молекулами спирта электроду идентична в этом случае катодной поляризации последнего. Поэтому форма электрокапиллярной кривой, даже с учетом электронных взаимодействий между электродом и веществом, остается без изменений. В этом одновременно и достоинство и недостаток электрокапиллярного метода, ибо эффект смещения потенциала при электронном взаимодействии, на который он не реагирует, в несколько раз больше изменения потенциала за счет адсорбции.

Выводы

1. Изучено непосредственное взаимодействие молекул некоторых органических и неорганических веществ с дегазированной поверхностью платинового электрода, т. е. с поверхностью, лишенной электрохимически активных газов.
2. Показано наличие непосредственного обмена электронами между молекулами вещества и электродом. При этом в зависимости от вещества переход электронов наблюдался как с молекулы на электрод (C_2H_5OH , H_2CHO и др.), так и в обратном направлении (CH_3NO_2 , $C_6H_5NO_2$).
3. Процесс обмена электронами происходит настолько быстро, что успевает произойти адсорбция молекул на электроде. Высказано предположение, что первый процесс протекает по туннельному механизму.
4. Данным методом исследования можно изучить также адсорбцию ионных молекул и их ориентацию при адсорбции. Интересно отметить, что в ряде случаев лишь благодаря обмену электронами между электродом и веществом осуществляется возможность протекания адсорбции с заметной скоростью.
5. Явление электронного обмена между электродом и молекулами вещества имеет место и при электрокапиллярных исследованиях, но силу особенности метода снятия электрокапиллярных кривых не сказывается на их форме.
6. Высказано предположение о возможности протекания электрохимических реакций без предварительной адсорбции вещества на электроде.

Московский государственный
университет
им. М. В. Ломоносова

Поступила
30.X.1956

ЛИТЕРАТУРА

1. А. И. Шлыгин. Труды Совещания по электрохимии, Изд-во АН СССР, 1953, стр. 322.

THE MECHANISM OF THE ELECTROOXIDATION AND ELECTROREDUCTION
OF SOME COMPOUNDS ON PLATINUM. I

G. A. Martinyuk and A. L. Shlygin (Moscow)

Summary

In the previous work an electrochemical investigation has been made into the electrooxidation and electroreduction of a number of compounds on platinized platinum with the aid of a method developed by A. I. Shlygin. The existence of direct electron exchange between the molecules of the compound and the electrode has been demonstrated and an interpretation of this phenomenon has been given. It has also been indicated that electron exchange between the electrode and molecules of the substance occurs too in electrocapillary studies. It has been suggested that electrochemical reactions may occur without preliminary adsorption of the compounds on the electrode.

К ВОПРОСУ О КИНЕТИКЕ ВЗАИМОДЕЙСТВИЯ ГАЗОВ
С ПОВЕРХНОСТЬЮ МЕТАЛЛОВ

В. А. Арсламбеков

Вопрос о механизме взаимодействия газа с поверхностью твердого тела является предметом многочисленных исследований специалистов в области катализа, коррозии металлов и других отраслей знания. Особый интерес и значение имеет случай, когда взаимодействие приводит к образованию новой фазы — поверхностной пленки продуктов взаимодействия.

В последнем случае, анализируя вопрос о механизме процесса, исследователи уделяли основное внимание стадии перемещения реагирующих компонентов в фазе поверхностного соединения, т. е. процессам диффузии. Сосредоточение внимания на этой стадии оправдывается тем, что в большинстве случаев именно она определяет течение всего процесса. Менее многочисленные исследования посвящены механизму и кинетике непосредственного взаимодействия газа с поверхностью, причем анализ этого взаимодействия проводился без учета одновременно происходящего проникновения реагирующих частиц в глубь твердого тела.

В действительности же процесс взаимодействия газа с твердым телом на любой стадии его протекания сопровождается поверхностной реакцией с атомами, прибывающими из глубины или освобождающимися в результате ухода в глубь ионов окисляющего агента газовой фазы. Это поверхностное взаимодействие осуществляется как в самый первый момент соприкосновения чистой поверхности с газом, так и в последующих стадиях, включая стадию нарастания пленки.

В настоящей работе делается попытка молекулярно-кинетического рассмотрения вопроса о поверхностном взаимодействии газов с металлами с учетом возможности возобновления «активных центров» за счет перемещения реагирующих компонентов в образуемой фазе.

Рассмотрение вопроса о непосредственном взаимодействии поверхности металла с газом осуществлено при следующих предположениях: одна молекула газа вступает в реакцию взаимодействия с одним активным центром. Под активным центром будем понимать один или группу поверхностных атомов металла, способных одновременно вступить в реакцию с одной молекулой газа. Каждый удар молекул газа об активный центр можно характеризовать эффективным сечением σ , которое будет определяться площадью, занимаемой активным центром и молекулой реагирующей газа.

Необходимая энергия активации E может суммироваться из энергии как реагирующей молекулы газа, так и атомов металла в активном центре.

В процессе роста пленки число поверхностных активных центров не только расходуется во время протекания процесса, но и пополняется за счет выхода ионов (или атомов) металла на поверхность или за счет ухода с поверхности атомов (или ионов) газа в глубь образовавшейся пленки.

Количество пополняющихся активных центров за счет диффузии компонентов является функцией как времени, так и скорости перемещения компонентов в образующейся пленке, т. е.

$$N_{\text{дифф}} = f(t, v_{\text{дифф}}).$$

Допустим, что в исходном состоянии на поверхности металлического образца имелось N активных центров. Если к моменту времени t реакцию вступило всего n «центров», то число активных центров, не вступивших в реакцию с газом, в любой момент времени будет

$$N_t = (N + N_{\text{дифф}} - n).$$

Согласно представлениям «теории соударений» уравнение скорости процесса взаимодействия газа с поверхностью металла можно записать,

$$\frac{dn}{dt} = (N + N_{\text{дифф}} - n) \sigma Z e^{-E/RT}, \quad (1)$$

где R — газовая постоянная, T — температура $^{\circ}\text{K}$, Z — число ударов молекул газа в секунду на 1 см^2 , E — энергия активации, σ — эффективное сечение.

Решение этого уравнения в общем виде представляет большие трудности, однако для некоторых частных случаев оно может быть выполнено.

Максимально возможная скорость процесса имеет место в первый момент соприкосновения поверхности металла с газом. Для этого момента можно записать

$$\frac{\partial n}{\partial t_{\text{макс}}} = N \sigma Z e^{-E/RT}.$$

Рассмотрим три случая, упрощающих решение уравнения (1).

В первом случае, когда $v_{\text{дифф}} \ll \partial n / \partial t_{\text{макс}}$, все исходные активные центры, начальный момент времени вступят в реакцию с газом и образуют пассивную пленку. В результате процесс сильно затормозится и в дальнейшем протекает со скоростью, определяемой пополнением поверхностных активных центров за счет диффузии компонентов. Таким образом скорость всего процесса будет определяться скоростью диффузии компонентов через образующуюся пленку. Более подробно этот случай здесь не рассматриваться не будет,

Во втором случае, когда $v_{\text{дифф}} \gg \partial n / \partial t_{\text{макс}}$, уравнение (1) можно упростить, основываясь на следующих соображениях. Максимальное число поверхностных активных центров на единице поверхности обусловлено природой металла и строением его кристаллической решетки, а в случае реакции на поверхности пленки — кристаллохимической природой последней. Таким образом число активных центров на поверхности в любой момент времени не будет превышать их числа в исходном состоянии (N). Из этого следует, что число пополняющихся за счет диффузии активных центров $N_{\text{дифф}}$ не может превышать числа прореагировавших с газом центров, т. е. всегда выполняется условие $n \geq N_{\text{дифф}}$. А если учесть, что $v_{\text{дифф}} \gg \partial n / \partial t_{\text{макс}}$, то в этом случае будет выполняться условие $n \approx N_{\text{дифф}}$, и процесс будет протекать стационарно до тех пор, пока не будет иметь место соотношение $v_{\text{дифф}} \gg \partial n / \partial t_{\text{макс}}$.

При условии $n \approx N_{\text{дифф}}$ уравнение (1) можно представить, как

$$\frac{dn}{dt} = N \sigma Z e^{-E/RT}. \quad (2)$$

Для проведения процесса при постоянном давлении Z будет постоянной величиной, и, следовательно, вся правая часть уравнения (2) во время протекания процесса не будет изменяться.

Обозначив постоянные величины через константу K^* и решая уравнение (2), получим

$$n = K^* t + c. \quad (3)$$

Это уравнение является линейным.

В третьем случае, когда $\partial n / \partial t \gg v_{\text{дифф}}$ и абсолютное значение скорости диффузии в пленке очень мало, тогда членом $v_{\text{дифф}}$ в уравнении

(1) можно пренебречь. Уравнение (1) в этом случае примет вид:

$$\frac{dn}{dt} = (N - n) \sigma Z e^{-E/RT}. \quad (2)$$

Найдем решение уравнения (4) для случая проведения процесса ограниченном объеме, т. е. когда давление газа в системе может значительно изменяться.

Значение Z при давлении газа в каждый данный момент времени согласно кинетической теории газов, равно

$$Z = P_t \sqrt{\frac{N_0}{2\pi M k T}} = (A - n) \frac{kT}{v} \sqrt{\frac{N_0}{2\pi M k T}}, \quad (3)$$

где P_t — давление газа в момент времени t , N_0 — число Авогадро, M — молекулярный вес газа, k — постоянная Больцмана, T — температура, A — начальное число молекул газа в системе, n — число прореагировавших молекул газа, численно равное количеству прореагировавших центров, v — объем системы.

Подставив значение Z из (5) в (4) и обозначив все постоянные величины, не зависящие от n , через k_1 :

$$k_1 = \frac{kT}{v} \sqrt{\frac{N_0}{2\pi M k T}} \sigma e^{-E/RT}, \quad (4)$$

уравнение (4) перепишем, как

$$\frac{dn}{dt} = (N - n)(A - n)k_1. \quad (5)$$

При решении этого уравнения необходимо рассматривать два случая: первый, когда имеется избыток реагирующего газа, т. е. $A > N$, и случай, когда имеется недостаток реагирующего газа, т. е. $A < N$.

Решение уравнения (7) при условии $t = 0$, $n = 0$ будет

для $A > N$:

$$\ln \frac{(A - n)N}{(N - n)A} = (A - N)k_1 t, \quad (8)$$

для $A < N$:

$$\ln \frac{(N - n)A}{(A - n)N} = (N - A)k_1 t, \quad (9)$$

для $A \ll N$:

$$\ln \frac{A}{A - n} \approx N k_1 t, \quad (10)$$

где t — время.

Учитывая, что $(A - N)$ есть число молекул газа в системе к моменту, когда все N поверхностных активных центров прореагировали с кислородом, можно $(A - N)$ выразить через установившееся равновесное давление P_∞ :

$$A - N = \frac{v}{kT} P_\infty; \quad (11)$$

и произведение $(A - N)k_1$ обозначить через K :

$$K = (A - N)k_1 = P_\infty \sqrt{\frac{N_0}{2\pi M k T}} \sigma e^{-E/RT}. \quad (12)$$

Разрешая уравнение (8a) относительно n , получим

$$n = \frac{N(1 - e^{-Kt})}{1 - \frac{N}{A}e^{-Kt}}. \quad (13)$$

В случае проведения процесса при постоянном давлении число молекул газа A по сравнению с числом активных центров N на образце будет очень большим, т. е. $A \gg N$. В этом случае в уравнении (11) значением A в знаменателе можно пренебречь по сравнению с единицей, и тогда уравнение (11) примет вид

$$n = N(1 - e^{-Kt}). \quad (12)$$

Представляет некоторый интерес в уравнениях (8а), (8б), (8в) перейти к числу прореагировавших центров n , численно равных количеству поглощенных молекул газа, непосредственно к давлению и его изменению.

Выражая значения величин $(A - n)$, $(N - n)$, N , A через начальное давление газа P_0 , давление в текущий момент времени P_t и равновесное давление P_∞ и подставляя полученные выражения в (8а), (8б), (8в), получим уравнения, выраженные непосредственно через изменение давления во время проведения опыта:

$$\ln \frac{P_t}{P_t - P_\infty} + \ln \frac{P_0 - P_\infty}{P_0} = Kt; \quad (13a)$$

$$\ln \frac{(N - n) P_0}{P_t N} = (N - A) k_1 t; \quad (13б)$$

$$\ln P_0 - \ln P_t = N k_1 t. \quad (13в)$$

Для нахождения величины константы скорости экспериментальные данные можно представить в соответствующих координатах и значение константы скорости найти как тангенс угла наклона полученной прямой.

Нами был проанализирован также случай, когда в результате неоднородности поверхности взаимодействие металла с газом протекает на разных частях с различной энергией активации. Подробно этот случай будет рассмотрен в другом месте. Отметим лишь здесь, что в окончательном виде уравнение для процесса, протекающего при постоянном давлении газа в условиях, что скорость диффузии ($v_{\text{дифф}}$) компонентов через образующуюся фазу очень мала, имеет вид:

$$n = \sum_{i=1}^m N_i - \sum_{i=1}^m N_i e^{-k_i t}. \quad (14)$$

Здесь m — число разных групп активных центров, отличающихся между собой по энергиям активации, N_i — исходное число поверхностных активных центров в группе; $k_i = Z \sigma_i e^{-E_i / RT}$, где k_i — константа скорости, σ_i — эффективное сечение, E_i — энергия активации в этой группе центров.

Если уравнение (14) применить к случаю, когда поверхность металла однородна, т. е. энергия активации E_i и эффективное сечение σ_i для всех групп центров равны между собой, т. е.

$$E_1 = E_2 = \dots = E_i = \dots = E_m \text{ и } \sigma_1 = \sigma_2 = \dots = \sigma_i = \dots = \sigma_m,$$

тогда последнее уравнение обращается в уравнение (12) для однородной поверхности.

С целью экспериментальной проверки вышеприведенных соотношений было проведено специальное исследование взаимодействия чистого молибдена с конденсированным молибденом при температурах, близких к комнатной, с использованием манометрического метода.

Ниже приводятся результаты этого исследования. Исходная поверхность чистого молибдена готовилась методом конденсации пара металла в вакууме на стекле. Для этого молибденовая проволока, содержащая 99,9% Мо, предварительно прокаливалась электрическим током при температуре несколько ниже начала интенсивного испарения — в условиях непрерывного откачивания системы до давления $\sim 10^{-7}$ мм рт. ст. Одно-

временно проводилось тщательное обезгаживание системы с прогревом стенок. Видим поверхность конденсированной пленки молибдена составляла $\sim 200 \text{ см}^2$. Давление измерялось как манометром Мак-Леода, так и при помощи теплового манометра, расположенного непосредственно около сосуда с конденсированным молибденом. Показания последнего автоматически регистрировались самопишущим гальванометром (рис. 1).

Исходное количество кислорода бралось из расчета, чтобы после завершения всего процесса окисления в системе оставалось определенное давление кислорода. Это обеспечивало выполнение условия $A > N$ и давало возможность определить значение константы скорости K в уравнении (13а).

Результаты опытов по исследованию молибдена при температуре 20° в интервале давлений кислорода от $2,6 \cdot 10^{-2}$ до $4 \cdot 10^{-2}$ мм рт. ст. и температуре 76°С и давлениях кислорода $0,1-0,2$ мм рт. ст. приведены на рис.

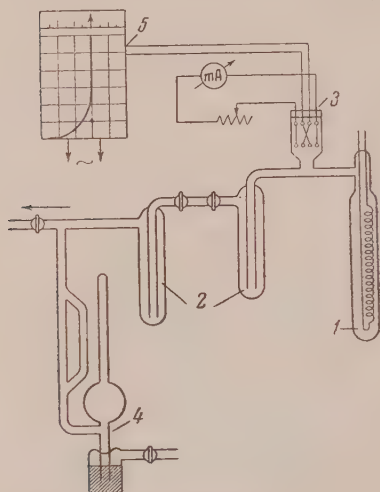


Рис. 1. Схема установки: 1 — прибор для распыления; 2 — ловушки; 3 — тепловой манометр; 4 — манометр Мак-Леода; 5 — самопишущий гальванометр

для 20° как в координатах $\lg \frac{P_t}{P_t - P_\infty}$ время, так и в координатах $\lg \frac{(A-n)N}{(N-n)A}$ — время (пунктирная прямая). Здесь P_t — давление кислорода в текущий момент времени, P_∞ — давление кислорода в момент достижения предела окисления, A — исходное количество кислорода в газовой фазе, N — количество поглощенного кислорода, соответствующее установлению предела окисления

данном опыте, т. е. количество, поглощенное к 25-й минуте, n — количество поглощенного кислорода в текущий момент времени. Данные исследования при 76°С в соответствующих координатах приведены на рис. 4.

Как видно из рисунков, представленные в указанных координатах экспериментальные данные удовлетворительно укладываются на прямую, что свидетельствует о применимости выведенных уравнений для данного случая. Это обстоятельство дает возможность определить константы скорости процесса взаимодействия кислорода с поверхностью молибдена: тангенса угла наклона прямых рис. 3 и 4 [согласно уравнениям (8а) (13а)].

Полученные значения констант скорости соответствуют для 20°С $P_{O_2} = 2,6 \cdot 10^{-2}$ мм рт. ст. $K = 3,8 \cdot 10^{-3} \text{ сек.}^{-1}$ и для 76°С и $P_{O_2} = 0,1$ мм рт. ст., $K = 5,3 \cdot 10^{-4} \text{ сек.}^{-1}$.

По данным для значений констант скорости можно оценить и значения величин энергии активации. Для этого необходимо в уравнение (10) поставить значение входящих в него постоянных величин. Для молибдена значение σ можно оценить, основываясь на кристаллохимических данных величиной $\sigma \approx 1 \cdot 10^{-15} \text{ см}^2$. Тогда уравнение (10) будет иметь вид:

$$K = 6 \cdot 10^6 \frac{P}{\sqrt{T}} e^{-E/RT}, \quad (1)$$

K — константа скорости в сек.⁻¹, P — давление в мм рт. ст., T — температура в °К, E — энергия активации в ккал/моль, R — газовая постоянная.

На основании полученных величин констант скорости при помощи следнего уравнения были оценены соответствующие величины энергии активации. Последние оказались равными для процесса взаимодействия

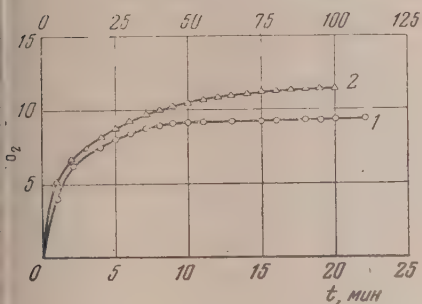


Рис. 2

Рис. 2. Кинетика взаимодействия O_2 с Mo : 1 — $20^\circ C$, P_{O_2} от $4 \cdot 10^{-2}$ до $2,6 \cdot 10^{-2}$ мм рт. ст.; 2 — $76^\circ C$, P_{O_2} от 0,2 до 0,1 мм рт. ст. Время: для $76^\circ C$ — верхние цифры, для $20^\circ C$ — нижние цифры

Рис. 3. Данные рис. 2 для $20^\circ C$ в координатах $\lg \frac{P_t}{P_t - P_\infty}$ — время (верхняя прямая) и в координатах $\lg \frac{(A-n)N}{(N-n)A}$ — время (нижняя прямая)

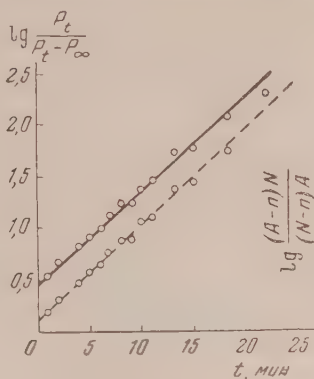


Рис. 3

кислорода с поверхностью молибдена при $20^\circ C$ и $P_{O_2} = 2,6 \cdot 10^{-2}$ мм рт. ст. $E \approx 8,7$ ккал/моль и при $76^\circ C$ и $P_{O_2} = 0,1$ мм рт. ст. $E = 12,5$ ккал/моль.

Интересно отметить, что скорость поглощения кислорода при температуре $20^\circ C$ больше, чем при $76^\circ C$. Это указывает на то, что процесс взаимодействия кислорода с молибденом при 0 и $76^\circ C$ происходит по несколько разным механизмам.

Отмеченное обстоятельство заставляет осторожно осуществлять расчеты энергии активации по данным достаточно далеко отстоящих температур. В нашем исследовании изменение механизма выявляется в кажущемся качественном нарушении законов химической кинетики; в других же случаях, не обнаруживаясь качественно, это изменение механизма обуславливает ошибку в вычисляемой энергии активации.

Более подробно вопрос о кажущихся противоречиях в данных об энергиях активации процессов в твердых телах был рассмотрен В. И. Архаровым [1].

Тот факт, что в нашем случае значение константы скорости для $20^\circ C$ оказалось выше, чем для $76^\circ C$, указывает на то, что в исследованиях при различных температурах обнаруживаются разные стадии процесса взаи-

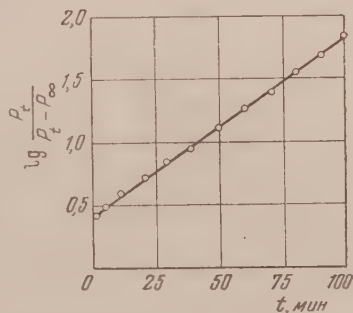


Рис. 4. Данные рис. 2 для $76^\circ C$ в координатах $\lg \frac{P_t}{P_t - P_\infty}$ — время

модействия кислорода с поверхностью молибдена, связанные с разным значениями энергии активации. Так, в опыте при 20°C , по-видимому проявляется взаимодействие кислорода лишь с наиболее активными поверхностными атомами, в то время как при 76°C взаимодействие распространяется на менее активные атомы. В качестве таковых можно рассматривать и атомы, расположенные в следующей нижележащей плоскости кристаллической решетки металла. Из рассмотрения расположения центральных атомов в объемноцентрированной решетке молибдена видно, что они также способны к непосредственному взаимодействию с кислородом. Однако совершенно очевидно, что взаимодействие с этими частично экранированными атомами связано с необходимостью более высокой энергии активации. В пользу этого предположения говорят и вычисленные значения энергий активации. Так, для 20°C энергия активации оказалась равной $\sim 8,7$ ккал/моль, для 76°C она равна $\sim 12,5$ ккал/моль.

Возможно, что различия в значениях энергии активации обусловлены тем, что при более высоких температурах протекает процесс присоединения не только первого атома кислорода, а и последующих, приводящий к формированию стехиометрически насыщенного окисла, например MoO_2 или MoO_3 .

Представляет интерес сопоставить результаты настоящего исследования с данными других авторов [2—6] по взаимодействию кислорода с конденсированными пленками металлов. Согласно исследованиям Райдла, Трэнселла и Лэниона [4, 5], данные, характеризующие взаимодействие кислорода с вольфрамом и молибденом при низких температурах, удовлетворительно укладываются на прямую линию, если представить их в координатах $\lg P$ — время. Экспериментальные данные [4, 5], получены в условиях, когда в газовой фазе исходное количество кислорода гораздо меньше, чем может прореагировать с поверхностью металла, т. е. относительно случаю, когда $A \ll N$ и даже $A \ll N$.

Данные [4] по взаимодействию кислорода с вольфрамом для каждой порции удовлетворительно согласуются с полученным уравнением (13). Некоторое отклонение от прямолинейности для данных, полученных [5], вероятно, связано с тем, что не полностью выполняется условие $A \ll N$, а также, вероятно, и с тем, что в этих условиях могут иметь место два процесса — быстрое и медленное поглощение кислорода.

Автор выражает глубокую признательность К. М. Горбуновой за постоянный интерес к работе, обсуждение результатов и просмотр рукописи.

Выводы

1. Подвергнут теоретическому рассмотрению процесс взаимодействия газов с поверхностью твердых тел с учетом диффузии компонентов в фазе поверхностного соединения. Выведены кинетические уравнения для процессов при повышенных температурах и низких давлениях, а также для первичной стадии поверхностного взаимодействия газа с металлом. Последнее уравнение при применении его к процессам, ограниченным предельно, позволяет оценить энергию активации по данным для одной температуры.

2. При помощи манометрического метода изучен процесс окисления молибдена при 20 и 76°C , полученного конденсацией пара металла в вакууме.

3. Показано, что кинетические данные по окислению молибдена удовлетворительно описываются выведенными для этого случая уравнениями.

4. Определены константы скорости первичной стадии окисления молибдена, на основании которых оценены значения энергии активации величинами порядка $E \approx 8,7$ ккал/моль для 20°C и $E \approx 12,5$ ккал/моль для 76°C .

5. Различия в значениях энергии активации, выявляемые в процессах, проводимых при разных условиях (температур и давлений кислорода), рассмотрены на основе предположения о разном характере взаимодействия молекул газа с самыми поверхностными атомами кристаллической сетки и с атомами, расположенными несколько глубже, однако также доступными для непосредственного взаимодействия.

Академия наук СССР
Институт физической химии
Москва

Поступила
29.XI.1956

ЛИТЕРАТУРА

- В. И. Архаров, Труды Института физики металлов, Уральского филиала АН СССР, вып. 16, 40, 1955.
B. M. W. Trapnell, Chemisorption, London, Butterworth's Scientific Publications, 1955.
B. M. W. Trapnell, Proc. Roy. Soc., 218, 566, 1953.
E. K. Rideal, F. R. S. a. B. M. W. Trapnell, Proc. Roy. Soc., 205, 409, 1951.
M. A. H. Lanyon a. B. M. W. Trapnell, Proc. Roy. Soc., 227, 387, 1955.
T. B. Grimley a. B. M. W. Trapnell, Proc. Roy. Soc., 234, 405, 1956.

ON THE KINETICS OF THE INTERACTION BETWEEN GASES AND METALLIC SURFACES

V. A. Arslambekov (Moscow)

S u m m a r y

In the present study an attempt has been made to describe the interaction between gases and the surface of a solid body on the basis of the collision theory allowing for the replenishment of the active surface "centers" through atomic diffusion. Kinetic equations derived in the light of these conceptions describe the process for the cases: (a) high temperatures and low gas pressures (linear relationship), (b) initial reaction of the gases and metal both at constant pressures as well as at constant volumes. The equations permitting evaluation of the activation energy from data for a single temperature are in satisfactory agreement with experimental data on the oxidation of molybdenum obtained with the aid of a manometric method, as well as with the experimental data of other authors.

ПОЛУПРОВОДНИКОВЫЕ СВОЙСТВА ФТАЛОЦИАНИНОВ

I. ЭЛЕКТРОПРОВОДНОСТЬ И ФОТОПРОВОДИМОСТЬ ФТАЛОЦИАНИНОВ
В ВАКУУМЕ И В КИСЛОРОДЕ*А. Т. Вартанян и И. А. Кирпович*

Ранее одним из нас [1] было показано, что твердые слои фталоцианинов обладают заметной электропроводностью, возрастающей при повышении температуры по экспоненциальному закону. Из этого и некоторых других свойств было сделано заключение, что фталоцианины являются электронными полупроводниками. Аналогичный результат независимо был получен Эли [2] на основании исследования электропроводности порошков фталоцианина (без металла) и фталоцианина меди.

В упомянутых работах для термической энергии активации ϵ были получены сильно расходящиеся значения: 0,87 [1] и 2,4 [2] eV для фталоцианина и 1,3 [1] и 2,17 [2] eV для фталоцианина меди. Это расхождение было обусловлено, по-видимому, сильным влиянием фактора упаковки на электропроводность органических порошков [3], так как позже для порошка фталоцианина, подвергнутого давлению 80 кг/см² Эли с сотрудниками [4] получили $\epsilon \sim 0,95$ eV, согласующееся с результатом работы [1].

В работах Эли предполагалось, что электропроводность является собственной. Учитывая согласие результатов, полученных в работах [1] и [4], можно было думать, что термическая энергия активации фталоцианина, характеризующая ширину запрещенной зоны, составляет $\sim 0,9$ eV. Однако, используя высокочастотный метод измерения электропроводности, позволяющий исключить влияние переходных сопротивлений, Эли и Парфит [5] нашли для фталоцианина $\epsilon = 1,5$ eV. Полученные ранее низкие значения авторы приписывают примесной проводимости, связанной с присутствием следов металла. Остается неясным, почему при использовании высокочастотной методики было получено более высокое значение ϵ , чем при использовании обычного метода. Возможно, что в исследованиях Эли и Парфита существенное значение имело помещен образцов в высокий вакуум.

Одним из нас [1] уже было установлено, что электропроводность слоев металлических комплексов фталоцианина значительно увеличивается в присутствии кислорода и при этом уменьшается энергия активации. Более слабое влияние кислород оказывает на слои фталоцианина. В работе [1] не удалось, однако, получить доказательств собственного характера проводимости фталоцианинов в вакууме и поэтому нельзя было установить характер повышенной электропроводности в присутствии кислорода.

Таким образом в настоящее время еще нет достаточной ясности, как в вопросе о собственной проводимости фталоцианинов (особенно металлических комплексов), так и в вопросе о влиянии кислорода на их электропроводность.

Слои фталоцианинов обладают также фотопроводимостью. Этот факт был установлен одним из нас еще в 1947 г., о чем упоминается в статье А. А. Красновского [6]. Вследствие малой чувствительности использованной тогда измерительной схемы наблюдаемые эффекты были сравнительно невелики, и поэтому возникли некоторые сомнения: не обманно ли увеличение проводимости при освещении тепловому действию света [1]. Последующее изучение показало, однако, что фотопроводимость действительно имеет место. О фотопроводимости фталоцианина меди на воздухе сообщил также Мейер [7]. Детально фотопроводимость фталоцианинов до сих пор не исследовалась. Фотоэ. д. с. в слоях фталоцианинов исследовали методом конденсатора Е. К. Пуцейко, А. Н. Теренин [8, 9].

В последнее время нами было предпринято более детальное исследование электропроводности и фотопроводимости слоев фталоцианина и его некоторых металлических комплексов в вакууме и в атмосфере кислорода. Предварительное сообщение о полученных результатах было опубликовано ранее [10]. В данной статье эти результаты рассматриваются более подробно.

Экспериментальная часть

Установка, на которой производилось исследование электропроводности и фотопроводимости, была описана ранее [11]. Слои фталоцианинов, толщиной от 0,1 мкм («тонкие» слои) до нескольких микрон («толстые» слои), наносились возгонкой красителя в вакууме на поверхность кварцевого «пальца», имевшего платиновые электроды, разделенные зазором в 1 мм. Для этого некоторое количество красителя помещалось в боковой отросток стеклянной рубашки, соединенной с вакуумной системой. Затем в рубашку вставлялся кварцевый «палец», и производилось тщательное обезгаживание порошка при температуре около 250°С в условиях вакуума (10^{-4} — 10^{-5} мм рт. ст.). Краситель, после многократной возгонки в вакууме, осаждался на кварцевый «палец». Поворотом «пальца» слой устанавливался против окошка, через которое производилось освещение. Этот способ обладает тем преимуществом, что слои после их нанесения возгонкой не выносятся на воздух. Слои перед измерениями, как правило, подвергались дополнительному обезгаживанию. Для этого в «палец» наливалось масло и нагревалось до 200°С электрическим кипятильником. Температуру слоя можно было менять в интервале от +200° до -100° посредством налитых в «палец» воды, спирта или масла.

Источником света служила вольфрамовая лампа накаливания с прямой нитью мощностью 100 W. Для получения монохроматического пучка света применялся зеркальный монохроматор ИСП-17А со стеклянной оптикой. Распределение энергии по длинам волн определялось термостойким. Интенсивность света изменяться при помощи зачерненных металлических сеток или нейтральных стеклянных фильтров.

Токи порядка 10^{-13} А измерялись при помощи усилителя постоянного тока, имевшего входное сопротивление 10^{10} — 10^{11} Ω. Токи больше 10^{-9} А измерялись зеркальным гальванометром.

Кислород был получен разложением марганцовокислого калия и сушился над пятиокисью фосфора.

Исследовались фталоцианин без металла (Фт.) и фталоцианины меди (Фт — Cu), цинка (Фт — Zn) и магния (Фт — Mg).

Электропроводность. Слои Фт, Фт — Cu и Фт — Zn, полученные возгонкой в вакууме и подвергнутые дополнительному обезгаживанию при 200°, обладают при комнатной температуре неизмеримо малой электропроводностью ($\sigma < 10^{-15}$ Ω⁻¹). Зависимость электропроводности таких слоев от температуры в интервале примерно от 60 до 160°С показана на рис. 1 (прямые 1—3). Изменение электропроводности с температурой может быть описано соотношением $\sigma = \sigma_0 \exp(-\epsilon/2kT)$. Величина ϵ для Фт и Фт — Cu составляет $1,7 \pm 0,1$ eV и для Фт — Zn $1,8 \pm 0,1$ eV. Полученные термические энергии активации близки к оптическим энергиям активации. Несколько большие значения термической энергии активации по сравнению с оптической (примерно на 0,1—0,2 eV) следует объяснить влиянием переходных сопротивлений на границах между микрокристалликами, о наличии которых свидетельствуют также некоторые результаты исследования фотопроводимости. Можно, таким образом, принять, что электропроводность тщательно обезгаженных слоев Фт, Фт — Cu и Фт — Zn собственная. Ориентировочные подсчеты с применением экстраполяции дают для удельной проводимости этих фталоцианинов при комнатной температуре значения порядка 10^{-12} — 10^{-13} Ω⁻¹ см⁻¹.

Слои Фт — Mg в тех же условиях обладали почти в 1000 раз большей проводимостью. Для энергии активации были получены значения около 1,2 eV (рис. 1, 4). Как будет показано в следующей статье, это значение меньше значения оптической энергии активации. Принимая также во внимание исключительно высокую чувствительность Фт — Mg к кислороду [1], мы склонны думать, что в условиях наших опытов проводимость слоев Фт — Mg была примесной.

В присутствии кислорода электропроводность слоев Фт — Cu, Фт — Zn и Фт — Mg растет. Чувствительность слоев Фт — Mg к кислороду настолько велика, что достаточно его присутствия в 0,1 мм рт. ст., чтобы обнаружить значительное увеличение электропроводности. Время, необходимое для достижения стационарного состояния, зависит от температуры, при которой слой выдерживается в кислороде. При комнатной температуре оно составляет несколько десятков часов, а при 150—200° — всего лишь 1—2 часа.

При комнатной температуре электропроводность слоев, обработанных в кислороде при 150—200°, примерно в 10^4 — 10^5 раз больше, чем в вакууме. С повышением температуры она возрастает по закону $\sigma = \sigma_1 \exp(-\varepsilon_1/2kT)$, но величина ε_1 оказывается значительно меньше величины ε , полученной в условиях вакуума. Значения ε_1 для слоев Фт — Cu, Фт — Zn и Фт — Mg, обработанных в кислороде при давлении 450 мм рт. ст., были 1,0; 0,73 и 0,53 eV соответственно. Величина ε_1 зависит от давления кислорода (рис. 1, а, б и в). Например, при 100, 200 и 450 мм рт. ст.

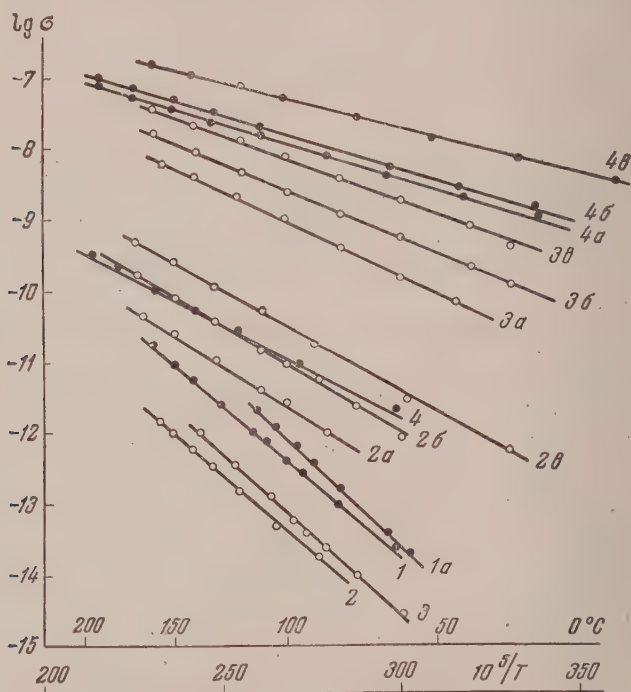


Рис. 1. Температурная зависимость электропроводности фталоцианинов: 1, 2, 3, 4 — соответственно Фт, Фт—Cu, Фт—Zn и Фт—Mg в вакууме; 1a — Фт в кислороде при давлении 450 мм рт. ст., 2a, 2b, 2c — Фт—Cu в кислороде при давлениях 20, 100 и 450 мм рт. ст. соответственно; 3a, 3b, 3c — Фт—Zn в кислороде при давлениях 100, 200 и 450 мм рт. ст. соответственно; 4a, 4b, 4c — Фт—Mg в кислороде при давлениях 0,1; 5 и 450 мм рт. ст. соответственно

энергия активации Фт — Zn составляет 0,98; 0,83 и 0,73 eV соответственно.

Сильное влияние кислорода на электропроводность комплексов фталоцианина, несомненно, обусловлено взаимодействием кислорода с атомами металла, входящими в комплекс, так как обработка слоев Фт в кислороде хотя и вызывает увеличение электропроводности, однако сравнительно небольшое (рис. 1, 1 и 1a). К тому же энергия активации Фт в кислороде несколько больше, чем в условиях вакуума. Наблюдавшаяся нами максимальная разница составляет 0,2 eV.

Откачка кислорода при комнатной температуре очень слабо сказывается на электропроводности комплексов. Прогрев слоев в вакууме при 200° в течение 2—3 час. уменьшает электропроводность на 1—2 порядка, но величина ε_1 увеличивается незначительно. Для полного удаления кис-

порода (если оно вообще возможно) требуется, по-видимому, длительное обезгаживание слоев при более высокой температуре.

Поведение комплексов фталоцианина в кислороде свидетельствует о появлении примесной проводимости*. Зависимость от давления кислорода величины ϵ_1 , характеризующей энергию ионизации примесей, представляет собой концентрационный эффект влияния примесей, хорошо известный для неорганических полупроводников. Этим эффектом объясняется и описанное ранее [1] уменьшение энергии активации Фт — Си и Фт — Mg в кислороде, поскольку электропроводность слоев, полученных натиранием, даже в условиях вакуума была примесной. Рост энергии активации Фт в кислороде следует приписать росту энергетических барьеров на границах между микрокристалликами.

Фотопроводимость.

Освещение видимым светом тщательно обезгаженных слоев фталоцианинов, обладающих, как было показано выше, высокими изолирующими свойствами, вызывает значительное увеличение проводимости. Для области максимального поглощения отношение $\Delta\sigma_{\text{ф}}/\sigma$, где $\Delta\sigma_{\text{ф}}$ — фотопроводимость и σ — темновая проводимость, было не меньше $10^2 - 10^3$ при монохроматическом освещении от лампы на 100 W. В этих условиях исследованные фталоцианины обладают примерно одинаковой фотоэлектрической чувствительностью.

В изолирующих слоях наблюдается образование объемных зарядов при прохождении как темнового тока (рис. 2, кривая 1), так и фототока (кривая 2). После завершения процесса образования объемного заряда фототок устанавливается и спадает практически безинерционно (кривая 3). В замкнутой цепи, после выключения напряжения, возникает ток обратного направления, обусловленный полем объемного заряда (кривая 4). Освещение способствует уничтожению объемного заряда (кривая 5).

Кислород усиливает не только темновую проводимость, но и фотопроводимость. Фотопроводимость слоев металлических комплексов фталоцианина, обработанных в кислороде при давлении 450 мм рт. ст. и при температуре $150-200^\circ$, в несколько сот раз больше, чем до обработки. Но даже при такой обработке фотопроводимость Фт увеличивается всего лишь в несколько раз. Отношение $\Delta\sigma_{\text{ф}}/\sigma$ с увеличением содержания кислорода в слое быстро падает. В данной работе, как правило, исследовались слои с относительно небольшим содержанием кислорода, для которых фототок был в несколько раз больше темнового тока.

В слоях, содержащих кислород, объемный заряд обычно не образуется. Наблюдается заметное запаздывание в установлении стационарного фототока и его спадании после прекращения освещения. Для одного и того же слоя время установления стационарного фототока возрастает с уменьшением интенсивности освещения (рис. 3, кривые 1 и 2). Спадание фототока после прекращения освещения подчиняется гиперболическому закону $1/i_t = 1/i_0 + at$, где i_0 — фототок в момент выключения света

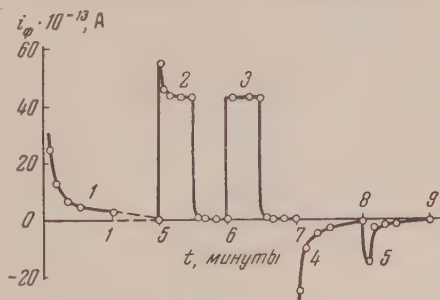


Рис. 2. 1 — изменение темнового тока во времени при постоянно приложенном напряжении; 2 — установление стационарного фототока при первом освещении; 3 — то же при повторном освещении; 4 — ток в замкнутой цепи после выключения напряжения; 5 — то же при освещении

* Сравнительно небольшой интервал температур, использованный в этих опытах, не позволил получить кривую $\lg \sigma = f(1/T)$, которая имела бы участки, характеризующие как примесную, так и собственную проводимость.

($t = 0$), i_t — фототок в момент времени t и a — постоянная (рис. 3, прямые 3 и 4).

Закон Ома выполняется только в полях до 1000 В/см; при больших напряженностях фототок растет быстрее, чем по закону Ома (рис. 4). Отклонение, по всей вероятности, обусловлено выделением джоулева тепла, оказывающего влияние преимущественно в местах соприкосновения микросталликов (переходные сопротивления).

На рис. 5 показана для слоев Фт — Zn зависимость фототока i_ϕ от интенсивности освещения L в условиях вакуума и в присутствии кислорода. Аналогичные кривые были получены и для других фталоцианинов. На рис. 6 показана зависимость $\lg i_\phi$ от $\lg L$ для тщательно обезгаженных слоев и слоев с относительно большим содержанием кислорода. Из линейной зависимости между $\lg i_\phi$ и $\lg L$ следует, что $i_\phi = kL^n$. Для тщательно обезгаженных слоев n близко к единице (рис. 6, прямые 1—4). По мере увеличения содержания кислорода в слое n уменьшается. Для комплексов фталоцианина наименьшее значение n близко к 0,5 (прямые 2а — 4а). Наименьшее значение n ,

Рис. 3. Рост и спадание фототока для слоя Фт, содержащего кислород: 1 — фототок при освещенности, принятой за 100; 2 — то же при освещенности единицы; 3 — спадание фототока для кривой 1 в координатах $1/i_t$, t ; 4 — то же для кривой 2. Единицы измерения $1/i_t$ — произвольные

полученное нами для Фт при давлении кислорода 450 мм рт. ст., было 0,68 (прямая 1а). Для данного слоя n не зависит от длины волны и остается почти постоянным при изменении интенсивности освеще-

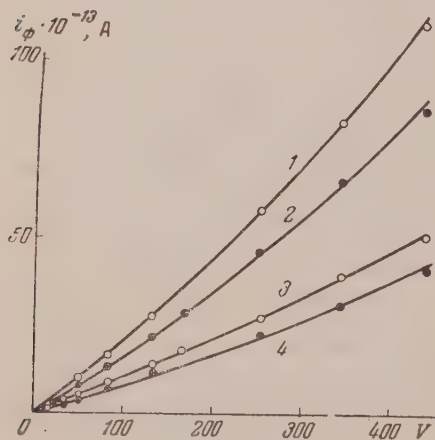


Рис. 4

Рис. 4. Зависимость фототока от напряжения: 1 — Фт; 2 — Фт — Cu; 3 — Фт — Zn и 4 — Фт — Mg

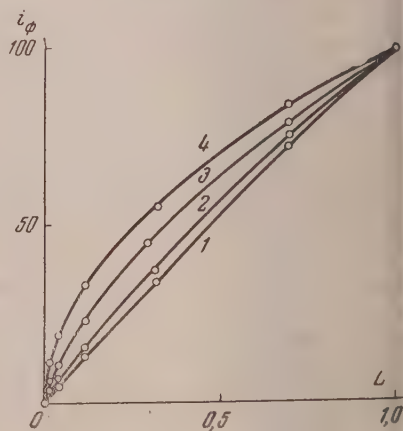


Рис. 5

Рис. 5. Зависимость фототока от интенсивности освещения для слоя Фт — Zn: 1 — тщательно обезгаженный слой; 2, 3, 4 — слои, обработанные в кислороде при давлении 60 мм рт. ст. и температуре 150°C в течение 10, 30 и 60 мин. соответственно. Единица измерения i_ϕ и L произвольные

ия 1:1000. «Нелинейность» фотопроводимости слоев, содержащих кислород, по-видимому, обусловлена увеличением концентрации носителей фототока, приводящим к преобладанию процессов рекомбинации имолекулярного типа. Это согласуется с установленным выше гиперболическим законом спадаения проводимости после выключения света.

Зависимость фототока от температуры для тщательно обезгаженных слоев подчиняется закону $i_{\phi} = a \exp(-\varepsilon_{\phi}/2kT)$ в интервале от 0 до 150° (рис. 7 и 8). Для Фт, Фт — Cu, Фт — Zn и Фт — Mg были получены близкие между собой значения ε_{ϕ} : 0,55; 0,5; 0,5 и 0,4±0,05 eV соответственно. Они составляют примерно одну треть термических энергий активации ε . Величина энергии активации фотопроводимости не зависит от длины волны

возбуждающего света, как это показано на рис. 8 для Фт. На рис. 9 (кривая 1) показана для Фт зависимость фототока от температуры в интервале от —80 до 150°. Как видно из рисунка, при температурах ниже 0° наблюдается отклонение от экспоненциальной зависимости. Аналогичное

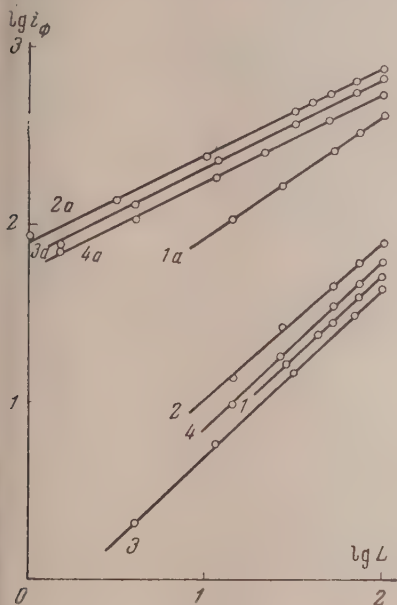


Рис. 6

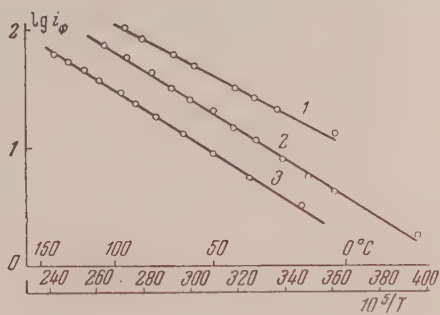


Рис. 7

Рис. 6. Зависимость фототока от интенсивности освещения: 1, 2, 3, 4 — тщательно обезгаженные слои Фт, Фт — Cu, Фт — Zn и Фт — Mg соответственно; 1a, 2a, 3a и 4a — те же слои после обработки в кислороде при давлении 100 мм рт. ст. и температуре 150° С. Единицы измерения i_{ϕ} и L — произвольные

Рис. 7. Температурная зависимость фототока для тщательно обезгаженных слоев 1 — Фт — Mg; 2 — Фт — Zn и 3 — Фт — Cu. Единицы измерения i_{ϕ} — произвольные

отклонение наблюдалось и для других фталоцианинов. Причина его пока неясна. Кривая 2 на рис. 9 показывает зависимость фототока от температуры для слоя Фт, подвергнутого обработке в кислороде при давлении 450 мм рт. ст. и 180°. Общий характер зависимости фототока от температуры не меняется в результате обработки слоя, но величина ε_{ϕ} для области от 0 до 150° оказывается большей, а именно 0,65 eV. Рост ε_{ϕ} не является неожиданным, если принять во внимание, что и для темновой проводимости слоев Фт, содержащих кислород, ε больше, чем в условиях вакуума. Причина этого роста в обоих случаях одна и та же; рост энергии активации мы связываем со специфическим действием кислорода на переходные сопротивления.

При высоких температурах измерение температурной зависимости фотопроводимости комплексов фталоцианина, содержащих кислород, было осложнено большим ростом темновой проводимости и появлением

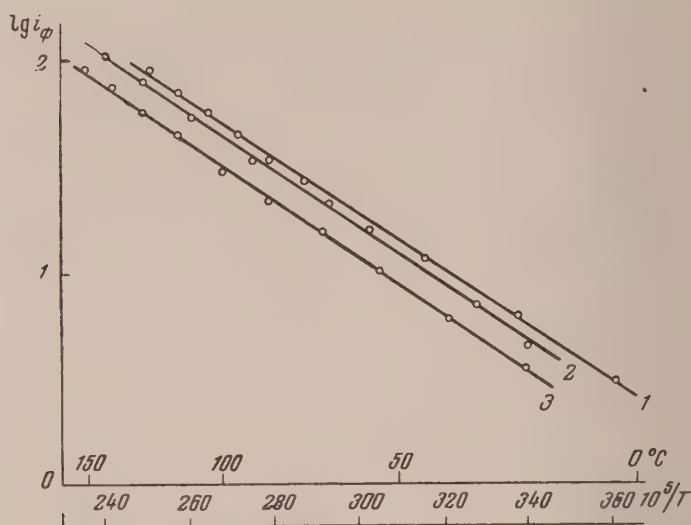


Рис. 8. Температурная зависимость фототока для тщательно обезгаженного слоя Фт: 1 — $\lambda = 880$ мμ; 2 — $\lambda = 700$ мμ и 3 — $\lambda = 500$ мμ. Единицы измерения i_ϕ — произвольные

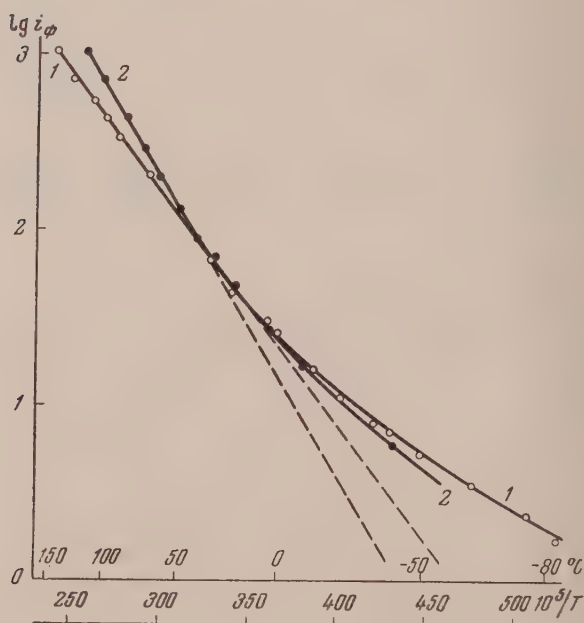


Рис. 9. Температурная зависимость фототока для слоя Фт: 1 — тщательно обезгаженный слой в вакууме; 2 — слой, обработанный в кислороде ($P_{O_2} = 450$ мм) в течение 30 мин. Единицы измерения i_ϕ — произвольные

значительной инерционности *. Вследствие этого зависимость фототока от температуры для слоев комплексов фталоцианина могла быть исследована лишь при температурах ниже комнатной. В области от $+20$ до -30° выполняется экспоненциальная зависимость. Энергия активации ϵ_f примерно такая же, как и в вакууме. При более низких температурах наблюдается отклонение от экспоненциальной зависимости, аналогичное описанному выше.

Обсуждение результатов

Полученные результаты позволяют сделать некоторые выводы относительно схемы энергетических уровней фталоцианинов в твердом состоянии.

Если принять, что энергетические схемы, обычно используемые для фотопроводимости электропроводности и фотопроводимости неорганических полупроводников, применимы и к органическим полупроводникам, то ширина запрещенной зоны, согласно измерениям температурной зависимости электропроводности тщательно обезгаженных слоев, составляет около $1,7$ eV для Фт и Фт — Cu и $1,8$ eV для Фт — Zn.

Чтобы объяснить примесную проводимость комплексов фталоцианина в кислороде, следует допустить наличие в запрещенной зоне локальных уровней. Эти уровни возникают в результате присоединения кислорода к металлу комплекса. Опытные данные о типе темновой проводимости фталоцианинов отсутствуют. Однако, учитывая известные акцепторные свойства кислорода, можно принять, что примесная проводимость комплексов фталоцианина дырочная. В пользу такого допущения свидетельствует тот факт, что фталоцианины на воздухе обнаруживают фотоэффект с дырочным типом проводимости, поскольку известно, что знак световых осцилляций тока обычно совпадает со знаком темновых. В таком случае величина ϵ_1 определяет расстояние между примесными уровнями и верхней границей заполненной зоны. Для слоев Фт — Cu, Фт — Zn и Фт — Mg, обработанных в кислороде при давлении 450 мм рт. ст. и температуре $150-200^\circ$, это расстояние составляет $1,0$; $0,73$ и $0,53$ eV соответственно.

Слой с ничтожно малой темновой проводимостью обнаруживают линейную зависимость фотопроводимости от интенсивности освещения. Это возможно при условии, если электроны, попавшие в свободную зону в результате поглощения света, непосредственно не рекомбинируют с дырками заполненной зоны: сначала они закрепляются на уровнях прилипания, с которых вероятность перехода в свободную зону мала, и затем рекомбинируют. Вероятность непосредственной рекомбинации электронов дырок не может быть большой еще и потому, что абсолютная величина фотопроводимости изолирующих слоев невелика.

Учитывая значительное увеличение фотопроводимости слоев, содержащих кислород, мы приходим к выводу, что в таких слоях наряду с рекомбинацией, происходящей по рассмотренной выше схеме и приводящей к линейной зависимости фотопроводимости от интенсивности освещения, будет иметь место и непосредственная рекомбинация электронов свободной зоны с дырками, приводящая к «нелинейной» фотопроводимости. С увеличением содержания кислорода в слое процессы непосредственной молекулярной рекомбинации становятся преобладающими, что проявляется в уменьшении показателя n , характеризующего «нелинейность» фотопроводимости.

В настоящее время имеются достаточные основания полагать, что поглощение света в молекулярных кристаллах органических соединений сопровождается образованием экситонов, способных мигрировать по кристаллу. Теоретическое рассмотрение поведения экситонов в молекулярных решетках было дано А. С. Давыдовым [12], однако автор не рассматривал

* Для Фт эти осложнения были невелики вследствие его малой чувствительности к кислороду.

случаи исчезновения экситонов, сопровождающиеся образованием свободных зарядов. Наличие фотопроводимости у многих органических соединений в твердом состоянии, несомненно, указывает на то, что такого рода процессы имеют место. Как известно, распад экситонов с образованием свободных зарядов может происходить при столкновении экситонов с примесными центрами или при получении ими дополнительной энергии за счет теплового движения решетке.

Увеличение фоточувствительности слоев фталоцианинов, содержащих кислород, естественно связывать с созданием благоприятных условий для распада экситонов на примесных центрах. Электроны при этом могут закрепиться на примесных центрах (которые в данном случае являются акцепторами), а дырки становятся свободными и могут принимать участие в проводимости. Из рассмотренной картины следует, что должна преобладать дырочная фотопроводимость в согласии с определением знака световых носителей тока методом конденсатора [9]. Возможен также такой механизм, когда экситон отдает свою энергию электрону примеси. Такой механизм был использован В. П. Жузе и С. М. Рывкиным [13] для объяснения закономерностей фотопроводимости закиси меди.

Объяснение температурной зависимости фототока фталоцианинов встречается затруднения, так как отсутствуют сведения о температурной зависимости параметров, определяющих фототок (квантовый выход, подвижность и время жизни носителей тока).

Выводы

1. Слои фталоцианина без металла, а также фталоцианинов меди и цинка, полученные и тщательно обезгаженные в условиях вакуума, обладают собственной проводимостью с термической энергией активации $1,7-1,8$ eV и удельной проводимостью порядка $10^{-12}-10^{-13} \Omega^{-1} \text{ см}^{-1}$.
2. Поглощение кислорода слоями металлических комплексов фталоцианина вызывает появление примесной проводимости. Энергия активации примесной проводимости значительно меньше энергии активации собственной проводимости и зависит от количества поглощенного кислорода.
3. Свободные от кислорода слои фталоцианинов обладают почти безинерционной фотопроводимостью, линейно связанной с интенсивностью освещения и экспоненциально возрастающей при повышении температуры.
4. Фотопроводимость слоев, содержащих кислород, значительно больше, чем в условиях вакуума; она отличается также заметной инерционностью и нелинейной зависимостью от интенсивности освещения.
5. Некоторые результаты указывают на наличие переходных сопротивлений в слоях фталоцианинов, полученных возгонкой.
6. Полученные результаты могут быть качественно интерпретированы при помощи обычных энергетических схем, используемых для неорганических полупроводников, и представления об экситонах.

Поступила
20.IX.1956

ЛИТЕРАТУРА

1. А. Т. Вартанян, Журн. физ. химии, **22**, 769, 1948.
2. D. D. Eley, Nature, **162**, 819, 1948.
3. H. Akamatsu, H. Inokuchi, Journ. Chem. Phys., **18**, 810, 1950.
4. D. D. Eley, G. D. Parfitt, M. J. Perry, D. H. Taysum, Trans. Farad. Soc., **49**, 79, 1953.
5. D. D. Eley, G. D. Parfitt, Trans. Farad. Soc., **51**, 1529, 1955.
6. А. А. Красновский, Изв. АН СССР, сер. биол. **377**, 1947.
7. H. Meier, Zs. Elektrochem., **58**, 860, 1954.
8. Е. К. Пудейко, ДАН, **39**, 471, 1948.
9. Е. К. Пудейко, и А. Н. Теренин, Журн. физ. химии, **30**, 1019, 1956.
10. А. Т. Вартанян и И. А. Карпович, ДАН, **111**, 561, 1956.
11. А. Т. Вартанян, Журн. физ. химии, **20**, 1065, 1946.
12. А. С. Давыдов, Теория поглощения света в молекулярных кристаллах. Изд-во АН УССР, Киев, 1951.
13. В. П. Жузе и С. М. Рывкин, Сборник, посвященный семидесятилетию академика А. Ф. Иоффе, Изд-во АН СССР, М., 1950, стр. 216.

THE SEMICONDUCTOR PROPERTIES OF PHTHALOCYANINES

I. THE ELECTRO- AND PHOTOCONDUCTIVITIES OF PHTHALOCYANINES
IN VACUUM AND IN OXYGEN*A. T. Vartanyan and I. A. Karpovich*

Summary

Layers of metal-less and copper and zinc phthalocyanines prepared and carefully passed under vacuum conditions possess a primary conductivity with a thermal activation energy of 1.7 — 1.8 eV and a specific conductivity of the order of $10^{-12} - 10^{-13} \Omega^{-1} \text{ cm}^{-1}$.

The absorption of oxygen by the metallic complex layers causes the appearance of allochromatic conductivity. The activation energy of the latter is considerably below primary conductivity and depends upon the quantity of oxygen absorbed.

Oxygen free phthalocyanine layers possess a nearly inertialess photoconductivity, nearly related to the intensity of the illumination and exponentially increasing with temperature.

The photoconductivity of oxygen containing layers is much greater than those in vacuum. It is also characterized by a marked inertia and a non-linear dependence on the illumination intensity.

Some of the results point out to the existence of transition resistances in the layers phthalocyanines obtained by sublimation.

The findings may be qualitatively explained in terms of the ordinary energy schemes inorganic conductors and of the exciton concept.

МЕТОДЫ И ТЕХНИКА ФИЗИКО-ХИМИЧЕСКОГО ИССЛЕДОВАНИЯ

ВЛИЯНИЕ ФОРМЫ И ВЕЛИЧИНЫ ПОВЕРХНОСТИ ЭЛЕКТРОДА НА ПОЛЯРИЗАЦИЮ ПРИ АНОДНОМ РАСТВОРЕНИИ МЕДИ

С. В. Горбачев и Н. И. Гусев

Методика измерения поляризационных кривых была предложена Лебланом [1], который оценил важность измерений зависимости силы тока от потенциала электрода, исследовавшейся рядом его предшественников. Этот метод принадлежит к числу наиболее важных методов электрохимии и применение его имело большое значение для развития этой области науки. Однако методика соответствующих измерений обычно описывается в монографиях очень кратко, в самых общих чертах, тогда как некоторые варианты и детали этой методики существенно влияют на результаты измерений. Так, например, в книгах Н. А. Изгарышева и С. В. Горбачева [2], Глессона [3] излагаются основные принципы методики. В книге Оствальда—Лютера [4], Кортюма и Бокриса [5] излагаются только некоторые частные вопросы, относящиеся к методике поляризационных измерений. В многочисленных оригинальных статьях описываются аппаратура, методика, применявшиеся данным автором в данном исследовании. При этом остается неясным, насколько допустимо некоторое модифицирование методики и к чему оно может повести. Попытки некоторых авторов (см. например, [6]) восполнить недостаточную освещенность вопросов методики применением упрощенных, схематических подсчетов приводят к результатам, противоречащим опытным данным и лишенным серьезного значения.

В настоящей работе проведены измерения с целью выяснения трех вопросов:

- 1) Как влияет форма электрода при неизменной поверхности его на величину анодной поляризации при прочих равных условиях (постоянной плотности тока и температуре).
- 2) Как влияет величина поверхности электрода при одинаковой форме его на величину анодной поляризации при прочих равных условиях (постоянной плотности тока и температуре).
- 3) Характер и масштаб этого влияния в случае концентрационной и химической поляризации.

Экспериментальная часть

Все измерения проведены при 20° С в двух электролитах: 0,05 М $\text{CuSO}_4 \cdot 5\text{H}_2\text{O}$ и 0,05 М $\text{CuSO}_4 \cdot 5\text{H}_2\text{O} + 4\text{M H}_2\text{SO}_4$. Изучался анодный процесс. После каждого опыта раствор обновлялся. Анод во всех опытах изготовлялся из электролитической меди, которая предварительно омеднялась в электролите 0,75 М $\text{CuSO}_4 \cdot 5\text{H}_2\text{O} + 0,5\text{M H}_2\text{SO}_4 + 50\text{ мл/л C}_2\text{H}_5\text{OH}$ при плотности тока 20 мА/см² в течение 20 мин.

Результаты измерений. На рис. 1 представлены поляризационные кривые, снятые при помощи анода в форме вертикальной проволоочки в растворе 0,05 М $\text{CuSO}_4 \cdot 5\text{H}_2\text{O}$ при 20° С. Как видно из рисунка, с увеличением длины анода потенциал поляризации сильно возрастает.

На рис. 2 даны поляризационные кривые, снятые при помощи анода в форме расположенной горизонтально спирали, в том же растворе, при той же температуре. Как видно из рис. 2, с увеличением числа витков потенциал поляризации сильно уменьшается.

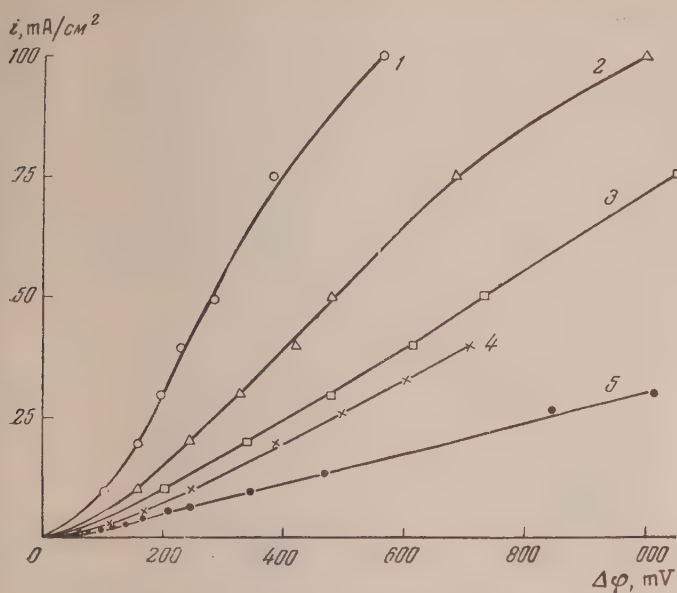


Рис. 1. Влияние на величину потенциала поляризации поверхности (длины) анода в форме, расположенной вертикально проволоки в растворе $0,05\text{ M CuSO}_4 \cdot 5\text{H}_2\text{O}$ при 20°C : 1—2; 2—4; 3—10; 4—15 и 5—30 мм

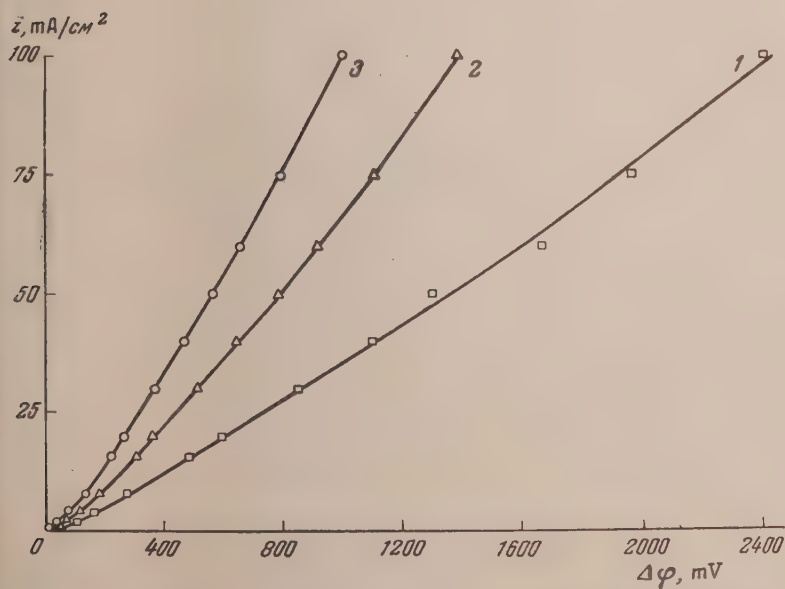


Рис. 2. Влияние на величину потенциала поляризации поверхности (числа витков) анода в форме расположенной горизонтально спирали, в растворе $0,05\text{ M CuSO}_4 \cdot 5\text{H}_2\text{O}$, при 20°C : 1— $n = 1$; 2— $n = 2$; 3— $n = 3$

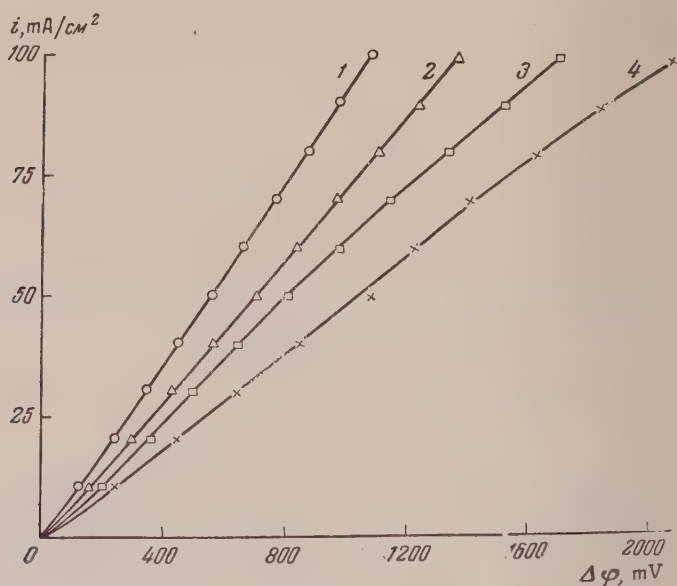


Рис. 3. Влияние на величину потенциала поляризации поверхности анода в форме расположенной вертикально квадратной пластинки, в растворе $0,05\text{ M CuSO}_4 \cdot 5\text{H}_2\text{O}$ при 20°C : 1 — 2; 2 — 1; 3 — 0,5 и 4 — 0,25 cm^2

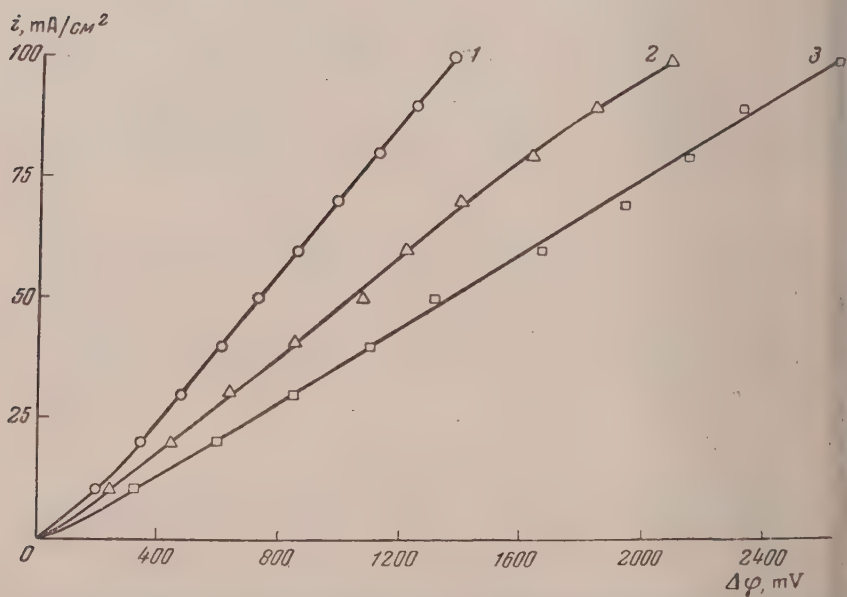


Рис. 4. Влияние на величину потенциала поляризации формы анода в растворе $0,05\text{ CuSO}_4 \cdot 5\text{H}_2\text{O}$ при 20°C : 1 — вертикальная проволочка, $S = 0,25\text{ cm}^2$; 2 — вертикальная квадратная пластинка $S = 0,25\text{ cm}^2$; 3 — горизонтальная спираль, $S = 0,25\text{ cm}^2$

На рис. 3 представлены поляризационные кривые, снятые при помощи анода в форме расположенной вертикально квадратной пластинки, в том же растворе, при той же температуре. Как видно из рисунка, с увеличением поверхности квадратной пластинки потенциал поляризации значительно уменьшается.

На рис. 4 сопоставлены поляризационные кривые, снятые при помощи анодов, имеющих одинаковую величину поверхности, но различную форму электрода. Как видно из рисунка, потенциал поляризации значительно изменяется с изменением формы анода. Потенциал поляризации меньше в случае вертикальной проволоочки, больше в случае вертикальной квадратной пластинки, еще больше в случае горизонтальной проволоки.

На рис. 5 представлена поляризационная кривая, снятая при помощи анодов различных форм в растворе $0,05\text{ M CuSO}_4 \cdot 5\text{H}_2\text{O} + 4\text{ M H}_2\text{SO}_4$ при 20°C . Как видно из рисунка, потенциал поляризации с изменением формы анода не изменяется. В пределах ошибки опыта все точки ложатся на одну кривую.

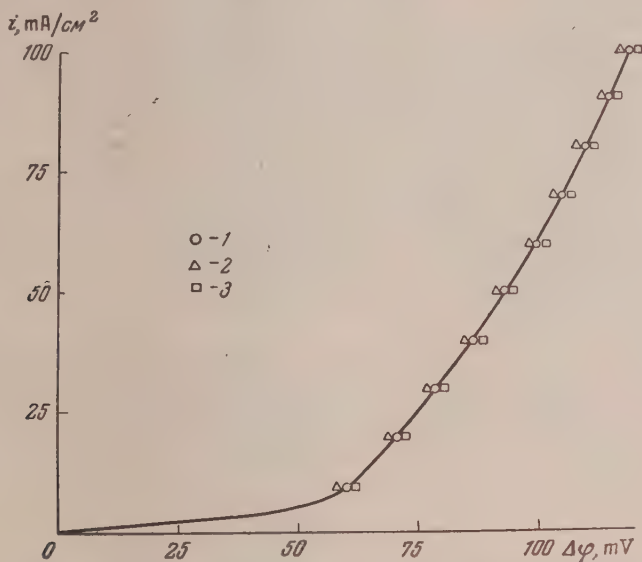


Рис. 5. Влияние на величину потенциала поляризации формы и поверхности анода в растворе $0,05\text{ M CuSO}_4 \cdot 5\text{H}_2\text{O} + 4\text{ M H}_2\text{SO}_4$ при 20°C : 1 — вертикальная проволоочка; 2 — вертикальная квадратная пластинка; 3 — горизонтальная спираль

А. Г. Атанасянц исследовал поляризацию при катодном восстановлении $0,1\text{ M CO}_2$ при 20°C . В его измерениях положение носика ключа, ведущего к электроду равнения (нормальный каломельный полуэлемент), варьировалось в интервале 15 мм определялось с точностью $\pm 0,01\text{ мм}$. Результаты измерений показали, что изменения положения носика ключа в пределах $0-2\text{ мм}$ оказывают несравненно меньшее влияние на результаты измерений, чем размер и форма электрода. Особенно мало влияние положения носика электролитического ключа при работе с электродом в форме горизонтальной спирали, расположенной в плоскости, перпендикулярной к линиям тока. Увеличение длины проволоки в плоской спирали ведет к значительным понижениям поляризации. Напротив, при удлинении электрода в форме вертикальной проволоки идет к возрастанию поляризации в условиях постоянства плотности тока.

Обсуждение результатов измерений

Указанные измерения показывают прежде всего, что влияние конвективных процессов при концентрационной и при химической поляризации резко различно. При химической поляризации влияние конвекции весьма незначительно, и с некоторым приближением его можно считать ничтожным. Напротив, при лимитирующем значении концентрационной поляризации при неизменной плотности тока конвективные процессы смещают поляризацию на сотни милливольт.

При сопоставлении трех типов электродов: вертикальный стержень, вертикальная пластинка и горизонтальная спираль, как показывает рис. 4, наибольшая поляризация наблюдается на горизонтальной спирали. На пластинке конвекция более

интенсивная, и поляризация оказывается пониженной. На стержне еще более интенсивная конвекция вызывает дальнейшее понижение поляризации.

Обращает на себя внимание противоположное влияние удлинения проволоки в случае расположения ее в форме вертикального стержня (рис. 1) и в форме плоской горизонтальной спирали (рис. 2). В первом случае удлинение проволоки ведет при постоянной плотности тока к повышению поляризации. Возникающий при анодном растворении медного электрода более концентрированный раствор CuSO_4 , в результате нисходящего конвективного движения раствора вдоль поверхности электрода, облекает этот электрод как бы чехлом с повышенной концентрацией. Это и ведет к повышению анодной поляризации.

В случае электрода в виде горизонтальной плоской спирали (рис. 2) конвективный поток перемещает область повышенных концентраций CuSO_4 не вдоль поверхности электрода, а вниз от электрода в толщу раствора. Увеличение поверхности спиралей при неизменной плотности тока означает возрастание силы тока и интенсивности растворения анода. Это повышение интенсивности растворения анода ускоряет конвективное движение жидкости. Последнее, в свою очередь, понижает величину поляризации.

Рассмотрение поведения электродов в виде вертикального стержня и горизонтальной спирали четко выявляет действие двух факторов в процессах конвекции. Движение жидкости само по себе равносильно перемешиванию и способствует понижению поляризации. С другой стороны, обволакивание электрода продуктами электролиза тормозит процесс и повышает поляризацию.

Представляет интерес изучение плоских электродов. Как видно на рис. 3, увеличение поверхности электрода при постоянной плотности тока ведет к понижению поляризации. Качественно это соответствует тому типу влияния, который отмечен для горизонтальной спирали. Однако масштаб смещения поляризации у электродов в виде пластинки существенно меньше, чем у горизонтальной спирали. Это различие в смещениях поляризации обусловлено тем, что конвекция у пластинчатых электродов не только способствует перемешиванию раствора, но и частично обволакивает электрод продуктами электролиза. Однако значение фактора перемешивания остается преобладающим.

Изложенные наблюдения показывают, что конвективные процессы имеют существенное значение не только для больших электродов промышленного типа, но и для процессов, протекающих в лабораторных приборах, применяемых в исследовательских работах. Без учета процессов конвекции истолкование результатов измерений методом поляризационных кривых может натолкнуться на существенные трудности, так как масштаб влияния конвекции при концентрационном механизме поляризации весьма значителен.

Выводы

1. При химической поляризации, имеющей место в процессе анодного растворения меди в сильно кислом растворе CuSO_4 , форма и размер электрода не оказывают существенного влияния на величину поляризации.
2. При концентрационной поляризации, имеющей место в процессе анодного растворения меди в нейтральном растворе CuSO_4 , форма и размер электрода оказывают большое влияние на величины поляризации, достигающие сотен милливольт.
3. В зависимости от формы электрода конвективные процессы могут как повышать, так и понижать величину поляризации. На электродах в виде горизонтальной спирали конвекция действует аналогично перемешиванию, снижая поляризацию. На электродах в виде вертикальных стержней конвекция повышает поляризацию, так как поверхность электрода обволакивается концентрированным раствором продуктов электролиза.

Химико-технологический институт
им. Д. И. Менделеева
Москва

Поступила
17.I.1957

ЛИТЕРАТУРА

1. М. Леблан, Учебник электрохимии, 1909.
2. Н. А. Изгарышев и С. В. Горбачев, Курс теоретической электрохимии, Госхимиздат, М., 1950.
3. С. Глестон, Введение в электрохимию, ИИЛ, М., 1951.
4. Ostwald—Luther, Physiko-chemische Messungen, стр. 390.
5. G. Kortüm, J. O. M. Bockris, Textbook of Electrochemistry, Amsterdam 1951.
6. О. С. Ксенжек, Журн. физ. химии, 30, 2812, 1956.

THE EFFECT OF THE FORM AND THE SIZE OF THE ELECTRODE SURFACE
ON THE POLARIZATION IN THE ANODIC DISSOLUTION OF COPPER*S. V. Gorbachev and N. I. Gusev (Moscow)*

S u m m a r y

In chemical polarization taking place on anodic dissolution of copper in strongly CuSO_4 solution the form and size of the electrode have no significant effect on the polarization value.

In concentration polarization taking place on anodic dissolution of copper in neutral O_4 solutions the form and size of the electrode exert a considerable influence on the polarization values which may attain a magnitude of hundreds of millivolts.

Depending upon the form of the electrode convection may either increase or decrease the polarization value. With electrodes in the form of horizontal spirals convection has an effect similar to stirring, lowering the polarization. With electrodes in the form of vertical rods convection increases the polarization owing to the enveloping of the electrode surface with a concentrated solution of the electrolysis products.

ПРИБОР ДЛЯ ИЗМЕРЕНИЯ КОНТАКТНОЙ РАЗНОСТИ ПОТЕНЦИАЛОВ КОНДЕНСАТОРНЫМ МЕТОДОМ

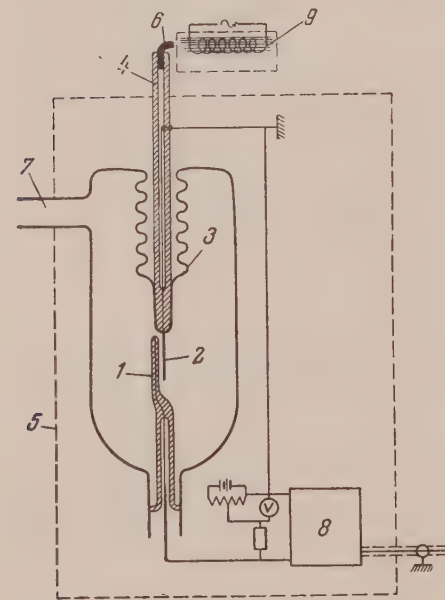
Р. Х. Бурштейн и Л. А. Ларин

В ряде случаев для исследования механизма образования поверхностных соединений и адсорбции газов на металлах применяются методы, основанные на изменении работы выхода электрона. Используемые для этой цели методы измерения контактной разности потенциалов имеют существенные недостатки, а именно, адсорбция газа происходит как на изучаемом электроде, так и на электроде сравнения, что искажает результаты измерения. Поэтому при изучении влияния необратимо адсорбированных газов на контактную разность потенциалов методом сдвига характеристик диода электрод сравнения либо удаляется из пространства, в котором происходит измерение

адсорбции [1], либо он очищается прокаливанием в вакууме [2]. Для измерения влияния как обратимо, так и необратимо адсорбированных газов контактную разность потенциалов настоящее время часто используют конденсаторный вибрационный метод [3], применяя прибор с двумя металлическими электродами. При этом полагают, что адсорбцией газа на электроде сравнения и изменением его работы выхода можно пренебречь.

Однако в действительности применение подобного метода может в ряде случаев привести к неправильным результатам. Недостатком конденсаторного метода, в особенности при использовании его в вакууме, является трудность устранения помех, возникающих вследствие использования вибраторов электромагнитных устройств, находящихся вблизи от исследуемых электродов.

Примененный нами прибор позволяет в значительной мере избавиться от описанных выше недостатков. Электродом сравнения 1 (рисунок) служит платиновая пластина, опаянная со всех сторон стеклом № 23. Толщина стеклянной оболочки 0,5—0,7 мм. Электроды имели размер $1,5 \times 1,5$ см, расстояние



между ними было равно 1—1,5 мм. Весь прибор сделан из молибденового стекла, к которому остекленный электрод припаявался при помощи переходного стекла.

Следует отметить, что остекленный электрод не портится при прогреве токами высокой частоты, и поэтому он не мешает прокаливанию и тщательному обезгаживанию исследуемого электрода.

Вибрация исследуемого электрода 2 осуществляется при помощи электромагнита 9 и стеклянного сильфона 3, соединенного внутренней спаем с трубкой 4, что позволяет помещать электромагнит на значительном расстоянии от электродов. Прибор помещается в ящик 5, служащий экраном, а электромагнит — на верхней стенке ящика. В трубку 4 вставляется железный стержень 6, и его колебания в магнитном поле вызывают вибрацию электрода. Такое устройство позволяет избавиться от помех, связанных с применением электромагнита. При помощи отводка 7 прибор присоединяется к вакуумной установке. Так как адсорбция большинства газов на стекле значительно меньше, чем на металле, то можно ожидать, что применение остекленного электрода сравнения позволит получить более точные данные о влиянии адсорбированных газов на работу выхода электрона из металла. Этот прибор был испытан

при измерении влияния адсорбированного кислорода и водорода на работу выхода электрона из никеля и германия. Были получены вполне воспроизводимые результаты. Примененная нами схема усилителя δ и измерительная схема не отличались от описанных в литературе.

Академия наук СССР
Институт физической химии
Москва

Поступила
3.IV. 1957

ЛИТЕРАТУРА

- Р. Х. Бурштейн, С. Д. Сурова и И. А. Зайденман, Журн. физ. химии, 24, 214, 1950.
Bosworth a. Ridcal, Proc. Roy. Soc., 162, 1, 1937.
Б. М. Царев, Контактная разность потенциалов, ГИТТЛ, М., 1949; J. C. P. Mignolet, Disc. Farad. Soc., 8, 105, 1950; N. Hackerman, Journ. Phys. Chem., 59, 900, 1955.

AN APPARATUS FOR MEASURING CONTACT POTENTIAL DIFFERENCES BY THE CONDENSER METHOD

R. Kh. Burshtein and L. A. Larin (Moscow)

Summary

In the apparatus described the reference electrode 1 is a platinum plate sealed in glass (No.23). Vibration of the electrode 2 under investigation is accomplished with the aid of an electromagnet and the glass sylphon bellows 3 connected through an inner seal to the tube 4.

ПИСЬМА В РЕДАКЦИЮ

О ПОЛЯРОГРАФИЧЕСКОЙ ВОЛНЕ АЛЮМИНИЯ

Я. П. Страдынь и Л. К. Лепинь

Несмотря на то что полярографическое определение алюминия уже нашло известное применение и для специальных целей анализа разработаны подробные методы [1, 2], деполяризующее действие ионов алюминия на капельный ртутный электроизучено недостаточно. Между тем, полярографическому поведению ионов алюминия свойственны некоторые особенности, отличные от характера поведения многих других катионов.

Полярографическая волна алюминия ($E_{1/2} = -1,76$ V) расположена непосредственно за волной восстановления водородных ионов сильных кислот ($E_{1/2} = -1,60$ V). Это затрудняет определение алюминия в кислой среде, поскольку при известных соотношениях концентраций обе волны могут слиться. С другой стороны, вследствие гидролиза раствором солей алюминия присуща кислая реакция, а pH полярографического раствора не должно превышать нативное pH жидкости для предотвращения образования гидроокиси алюминия. В щелочной же среде появляющийся ион алюмината не дает волны восстановления. Поэтому полярографическое определение алюминия может быть проведено в пределах pH от 3,0 до 4,5. Кроме того, зависимость высоты волны алюминия от pH создает необходимость для определения концентрации по калибровочной кривой сравнивать растворы при строго постоянном pH. Для установки pH не пригодны буферные растворы, содержащие слабые кислоты: они дают волну перекрывающую волну алюминия. Поэтому следует работать в разбавленных растворах сильных кислот, устанавливая pH либо по цветному индикатору, либо электрометрически. Водородная волна сильной кислоты перестает появляться при $\text{pH} > 3$, (см. рис. 1). Упомянутые условия, отмеченные рядом авторов [1—4], в теоретическом отношении не представляют ничего необычайного, лишь усложняя соответствующие аналитические процедуры.

Проверяя возможность применения полярографического метода при исследовании растворов солей алюминия, мы обратили внимание на ряд других особенностей волны алюминия, частично уже освещенных в литературе.

Первые исследователи в области полярографии алюминия приняли, по аналогии с другими катионами, образование амальгамы алюминия в электродной реакции [5]. Однако уже Гевкер [6] отметил необратимость электродного процесса и сопутствующее выделение водорода. Бросается в глаза несовпадение потенциалов полуволны алюминия по данным разных авторов: $-1,70$ V [7], $-1,63$ V [4], $-1,76$ V [8]. Причина несовпадения в известной мере выяснена Штакельбергом, который установил смещение волн алюминия в сторону положительных потенциалов на ~ 100 mV с увеличением pH в единицу [2]. Влияние кислотности среды на волну алюминия исследовал также Зуман [9]. Добавляя к раствору $\text{KAl}(\text{SO}_4)_2$ кислоту, он установил изменение потенциала полуволны от $-1,74$ V ($0,005$ M H_2SO_4) до $-1,85$ V ($0,015$ M H_2SO_4) при этом наблюдалось повышение волны после первых порций прибавленной кислоты и постоянно в дальнейшем — факт, уже ранее отмеченный Геллером и Занько [4] и связанный с гидролизом растворов солей алюминия. Из своих наблюдений Зуман сделал вывод, что полярографическая волна алюминия не обусловлена разрядом алюминия, а вероятно всего восстановлением H^+ , только по-иному механизму, нежели в растворах чистых кислот. Подобный взгляд был поддержан и Гейровским [10], который привел следующие доводы: электродная реакция соответствует $2/3F$ процессу; влияние режима капания и температурный коэффициент потенциала полуволны алюминия совпадают с соответствующими данными для водородной волны; некоторые красители, уменьшающие перенапряжение водорода, смещают волну алюминия в сторону более положительных потенциалов. Известным подтверждением может служить и полярографическое поведение алюминия в среде жидкого аммиака [11]: безводный AlI_3 на фоне $[(\text{C}_2\text{H}_5)_4\text{N}]^+$ дает волну с $E_{1/2} = -1,41$ V, а NH_4^+ (сольватированный протон) в этой же среде имеет весьма близкое значение $E_{1/2} = -1,37$ V.

Стандартный потенциал системы $\text{Al}^{3+} + 3e \rightarrow \text{Al}$ равен $E_0 = -1,66$ V (или $-1,90$ V по отношению к насыщенному Hg_2Cl_2). При образовании амальгамы потенциал делается несколько более положительным вследствие экзотермического характера

реакции амальгамирования. Амальгамный потенциал алюминия равен $-1,59 \text{ V}$ [12], тем же, следовательно, должен бы быть и полувольтный потенциал алюминия в случае обратимой реакции $\text{Al}^{3+} + 3e \rightarrow \text{Al}$ на капельном электроде. Угловой коэффициент графического изображения данной реакции в координатах $E - \lg \frac{i}{i_d - i}$ должен быть равным $RT/nF = 0,02 \text{ V}$. Вычисляемые значения, однако, не отвечают эретическому. Годгсон и Гловер на фоне $0,05 \text{ N BaCl}_2$ нашли $0,057 \text{ V}$ [4] — величину, характерную для одноэлектронного процесса. Мы вычислили угловой коэффициент для волн алюминия, полученных на фонах 1 N LiCl и 1 N KCl . Для волн, разованных на фоне 1 N KCl , он оказался равным $0,055 \text{ V}$, для волн на более разведенных фонах KCl или на фоне 1 N LiCl — $0,087 \text{ V}$ ($n = 2/3$). При этом волны следного типа проявляют резко выраженную асимметрию по отношению к точке дуловны; верхняя часть гораздо более пологая, нежели крутая нижняя часть (рис. 1).

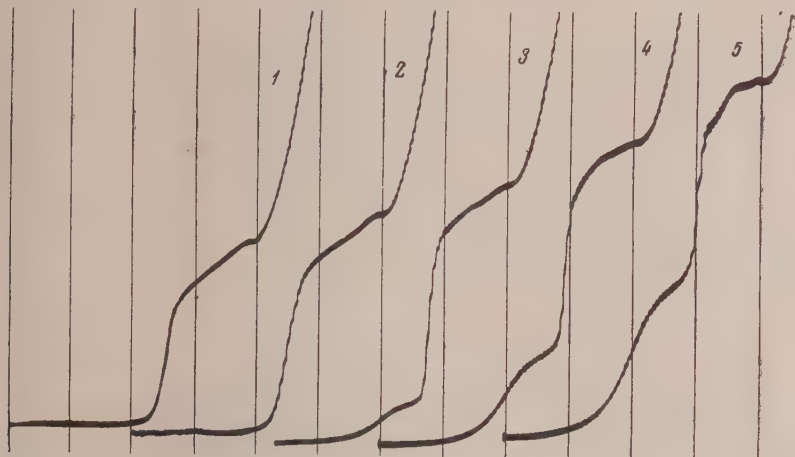


Рис. 1. Полярограммы $0,006 \text{ N}$ раствора AlCl_3 на фоне 1 N LiCl при различных pH: 1 — pH = 4,9; 2 — pH = 4,4; 3 — pH = 3,4; 4 — pH = 3,0; 5 — pH = 2,7. Аккумулятор 4 V , от $1,2 \text{ V}$. $m^{3/2} t^{1/2} = 1,97 \text{ s} = 2/300$

На фоне BaCl_2 и 1 N KCl , потенциал выделения которых более положителен, асимметрия не проявляется столь ярко, волна алюминия не успевает полностью развиться и ее пологая верхняя часть как бы срезается последующим выделением фона*. Против измерений волны алюминия на фоне концентрированного раствора KCl и на фоне BaCl_2 поэтому может быть выдвинуто принципиальное возражение, так как измеряется высота недоразвитой волны; однако в аналитической практике это не мешает нахождению концентрации алюминия по калибровочной кривой, при условии соблюдения единства условий измерения (это даже является более выгодным, поскольку форма волны более правильная и отпадает необходимость устранения максимумов). Значение углового коэффициента $0,087 \text{ V}$ ($n = 2/3$) кажется более характерным для электродной реакции, обуславливающей появление волны алюминия. При полярографическом восстановлении H^+ -ионов в зависимости от режима капания и силы тока также наблюдается $1/2 < n < 1$ [6].

Число электронов, вычисленное из коэффициента при $\lg \frac{i}{i_d - i}$, однако, может касываться лишь на необратимость электродного процесса, но не представляет собою истинного числа электронов, участвующих в процессе; последнее может быть найдено из уравнения Ильковича. Константа диффузионного тока алюминия, полученная из наших экспериментальных данных, равна:

$$I = \frac{i_d}{cm^{3/2} t^{1/2}} = 4,36.$$

* Непонятным для нас осталось наблюдение, что убывание высоты волны при возрастании pH связано лишь с уменьшением крутой части волны, в то время как пологая вершина остается нетронутой; лишь при $\text{pH} > 5,0$, когда уже заметно образование гидроксида алюминия, начинает исчезать и она (рис. 2).

Коэффициент диффузии ионов алюминия, вычисленный из эквивалентной электропроводности ($\lambda_{\infty}^{25} = 63 \Omega^{-1} \text{ см}^2$), равен $D = 0,56 \cdot 10^{-5} \text{ см}^2 \text{ сек}^{-1}$. Подставляя эти значения в уравнение Ильковича:

$$I = 605 n D^{1/2},$$

находим число электронов: $n = 3,04$. Однако если заключить отсюда, что трехэлектронный процесс соответствует восстановлению Al^{3+} до металла, то остались бы не объясненными все отмеченные особенности полярографической волны алюминия. Сдвиг полуволны алюминия в зависимости от pH не может быть объяснен восстановлением Al^{3+} из гидроксокомплексов, обладающих разной прочностью при различных соотношениях $\text{Al}^{3+}/\text{OH}^-$. Если бы имело место восстановление Al^{3+} и разрушенного комплекса, то следовало бы ожидать сдвига в отрицательную сторону

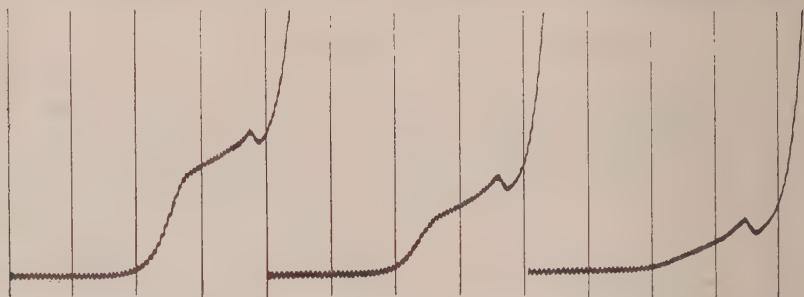


Рис. 2. Исчезновение волны алюминия с прибавлением щелочи при $\text{pH} > 4,5$

возрастанием pH, т. е. с возрастанием прочности комплекса, на самом же деле наблюдается сдвиг в противоположную сторону.

Вышеприведенные соображения довольно убедительно говорят о том, что деполаризующий эффект ионов Al^{3+} связан с выделением водорода, а не с восстановлением до металла. При этом необходимо учесть, что волна алюминия расположена за водородной волной сильных кислот как в среде воды, так и в среде аммиака, и что высота волны при постоянном pH строго пропорциональна концентрации ионов алюминия в растворе.

Подчеркнем также, что волна по своим свойствам не соответствует каталитической волне выделения водорода из воды. Доказано, что ионы Al^{3+} не оказывают влияния на полярографический потенциал разложения воды [14]. Если это так, то интересно проследить, что могло бы обусловить отмеченные особенности.

Известно, что в водных растворах Al^{3+} существует в виде гидратированного иона $[\text{Al}(\text{H}_2\text{O})_6]^{3+}$, причем значительная теплота растворения ($21,2 \text{ ккал/моль H}_2\text{O}$), а равные рентгенографические исследования кристаллогидрата, говорят о прочности этого аквокомплекса. По предложению Бренстеда аквокомплекс можно рассматривать как аквокислоту, сопряженную с соответствующим аквооснованием:



Подобным образом интерпретируются и гидроксокомплексы $[\text{Al}(\text{H}_2\text{O})_5\text{OH}]^{2+}$, $[\text{Al}(\text{H}_2\text{O})_4(\text{OH})_2]^+$ и др., причем каждому кислотно-основному равновесию отвечает определенный район pH.

Таким образом, молекулы воды гидратной оболочки $[\text{Al}(\text{H}_2\text{O})_6]^{3+}$ оказываются сильно лабильными в силу поляризующего действия поля трехзарядного Al^{3+} и их восстановление у капельного электрода должно быть облегчено по сравнению с разложением воды, требующим потенциала порядка 3V. Это заставляет нас думать, что волна алюминия обусловлена восстановлением молекул воды из гидратной оболочки $[\text{Al}(\text{H}_2\text{O})_6]^{3+}$, в то время как Al^{3+} сам не восстанавливается. Поэтому в присутствии Al^{3+} в кислой среде появляются две волны восстановления водорода: более положительная ($E_{1/2} = -1,60 \text{ V}$) отвечает восстановлению H^+ -ионов, образуемых от прибавленной сильной кислоты или гидролиза $[\text{Al}(\text{H}_2\text{O})_6]^{3+}$ в растворе (при $\text{pH} > 3,5$ эта волна не появляется), и более отрицательная ($E_{1/2} = -1,76 \text{ V}$) отвечает восстановлению молекул воды из аквокомплексов алюминия (рис. 1), согласно уравнению $[\text{Al}(\text{H}_2\text{O})_6]^{3+} + 3\text{e}^- \rightarrow \text{Al}(\text{OH})_3 \cdot x\text{H}_2\text{O} + 3/2\text{H}_2$. Известно, что потенциал полуволны слабой кислоты смещается к более положительному потенциалу с возрастанием pH, т. е. концентрации кислоты [1]

$$\frac{\Delta E_{1/2}}{\Delta \lg c_{\text{кисл}}} = - \frac{3}{2} \frac{RT}{F}.$$

Эффект сдвига волны алюминия по знаку и по численному значению близок к сдвигу водородных волн слабых кислот (-90 mV). Это и следует ожидать, поскольку первая константа гидролиза $K = 1,4 \cdot 10^{-5}$ [15] определяет гидратированный Al^{3+} как слабую кислоту (правильнее говорить не о закономерности изменения $E_{1/2}$ с pH, а с концентрацией разбавленной кислоты, так как полярографируемая система обладает известной буферной емкостью). По этой же причине невозможно полярографическое определение Al^{3+} в растворах, содержащих слабые кислоты: водородные волны слабых кислот взаимно перекрываются. При этом, $E_{1/2}$ алюминия зависит от $c_{\text{Al}^{3+}}$ только в том смысле, что с изменением $c_{\text{Al}^{3+}}$ меняется нативный pH гидролиза и, следовательно, потенциал полу волны. Если же растворы различной концентрации привести к одному и тому же путем добавления чужой кислоты (основания), то $E_{1/2}$ остается постоянным [8].

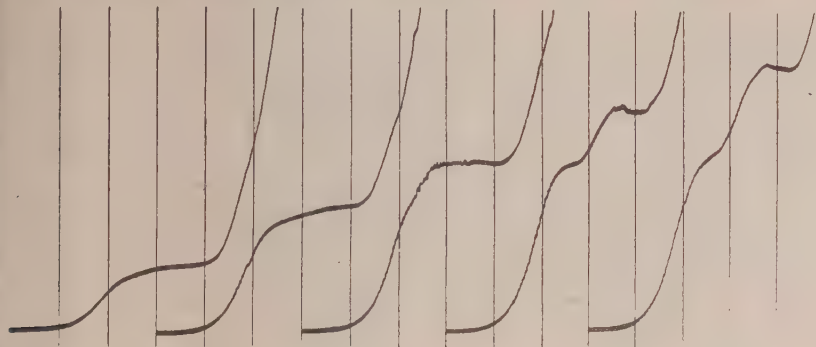


Рис. 3. Полярограммы 0,002 M раствора трилона B на фоне 1 N LiCl в 0,002 N ; 0,004 N ; 0,006 N ; 0,008 N ; 0,010 N растворах AlCl_3 ; желатина. Аккумулятор 4 V ; от 1,2 $V \cdot s = 1/200$

Таким образом, появление волны алюминия можно связать с восстановлением молекул воды гидратной оболочки. В случае $\text{Al}(\text{OH})_3$ у аквокомплекса отсутствует суммарный заряд и облегчено образование более крупных коллоидных частиц ила. В щелочных растворах, где ион существует в виде $\text{Al}(\text{OH})_4^-$, преобладающие отрицательные заряды OH^- парализуют поляризующее действие поля трехвалентного Al^{3+} , и восстановление H^+ из гидратной оболочки крайне затруднено; этим объясняется отсутствие волны восстановления алюмината. При этом число электронов, даваемое восстановлением Илькивича, $n = 3$, говорит о разряде трех молекул воды из гидратной оболочки каждого иона алюминия с образованием $\text{Al}(\text{OH})_3$ у поверхности ртутной капли. Убывание высоты волны с возрастанием pH обусловлено появлением гидроксокомплексов, что приводит к уменьшению числа молекул воды, разряжающихся из оболочки каждого Al^{3+} . Весьма интересным представляется изменение волны алюминия во времени. Разбавленные растворы AlCl_3 (порядка $10^{-3} N$), нативное pH которых превышает 4, в свежеприготовленном виде дают полярографическую волну. При продолжительном хранении (до месяца) волна становится менее выраженной или исчезает. Это предварительное наблюдение согласуется с представлениями о равновесном существовании определенных форм основных солей алюминия при определенном pH [16]. В районе $\text{pH} > 4$ равновесная форма соли алюминия отвечает полимерной соли, поэтому растворы обладают тенденцией к старению — к полимеризации. Полимеризация приводит к снижению поляризующего действия Al^{3+} на гидратную оболочку и, следовательно, к исчезновению волны алюминия.

Замена H_2O у иона Al^{3+} другими аддендами, обладающими большей склонностью к образованию комплекса (винная кислота, молочная кислота, этилендиамин, комплексон), также приводит к исчезновению полярографической волны алюминия, что может быть использовано для полярографического устранения алюминия при определении других ионов [2]. Нами были сняты полярограммы растворов хлорида алюминия в присутствии комплексона (трилона B) на фоне 1 N LiCl . Вопреки Зуману [9] мы не наблюдали волны, соответствующей восстановлению комплексоната алюминия. Прибавление хлорида алюминия к раствору комплексона в отношениях, близких к эквивалентному, вызвало резкое уменьшение pH и появление на полярограммах водородной волны. Это обусловлено вытеснением H^+ из комплексона и образованием комплексоната алюминия (высота водородной волны при избытке комплексона была пропорциональна количеству прибавленной соли алюминия, а по достижении эквивалентной точки оставалась постоянной). При избытке ионов алюминия, помимо водородной волны, появилась волна несвязанного аквокомплексного алюминия, высота и потенциал полу волны которой отвечают соответственным значениям волны алюминия в растворах сильных кислот при том же pH. При эквимоллярных отношениях Al^{3+} и

комплексона появлялась только водородная волна (рис. 3). При избытке комплексов в известных случаях появлялась также вторая волна, соответствующая восстановлению бетаиновых водородов комплексона*. Нейтрализация раствора до pH порядка 6 приводит к исчезновению всех волн.

Существование аквокомплексов отражается и на полярографическом поведении некоторых других ионов. Полную аналогию с волной алюминия проявляет и волна бериллия ($E_{1/2} = 1,80$ V) [9]. Сюда же, по-видимому, следует отнести и волну циркония. Хотя Лаубенгейер и Итон, обнаружившие в полярограммах растворов Zr^{IV} помимо водородной волны и вторую волну с $E_{1/2} = -1,65$ V, приписали ее восстановлению Zr^{4+} до Zr [17], однако ими не дан анализ волны, а зависимость $E_{1/2}$ от pH и кривизна волны позволяют думать и об электродной реакции выделения водорода. По-видимому, для ионов, стандартный потенциал которых близок к потенциалу выделения водорода на ртути ($E_{0Al} = -1,66$ V, $E_{0Be} = -1,70$ V, $E_{0Zr} = -1,43$ V), а сродство к ртути невелико, имеет место восстановление молекул воды из гидратной оболочки не требующее полного разрушения комплекса. При восстановлении же ионов никеля ($E_0 = -0,23$ V) или кобальта ($E_0 = -0,27$ V) на ртутном электроде, которое является также необратимым, после полного распада аквокомплекса происходит выделение металла. Прочность аквокомплексов, пожалуй, является немаловажным фактором в электродных процессах у капельного электрода, тем не менее систематические исследования в этом направлении не проводились.

Изложенные заметки являются лишь попыткой обсудить полярографические особенности алюминия по имеющимся данным. Для выяснения вопроса потребуются более углубленное теоретическое и экспериментальное изучение свойств волн алюминия а также исследования анодного растворения разбавленных амальгам алюминия. В свою очередь, это могло бы способствовать выявлению путей рационализации методики полярографического определения алюминия.

Латвийский государственный
университет
Рига

Поступила
9.XI.1956

ЛИТЕРАТУРА

1. J. M. Kolthoff, J. J. Lingane, Polarography, New York, Interscience Publishers, 1952.
2. M. v. Stackelberg, Polarographische Arbeitsmethoden, Berlin, de Gruyter Verlag, 1950.
3. Б. А. Геллер, А. М. Занько, Бюл. Инст. Физ. Химии АН УССР, 12, 163, 1946.
4. H. W. Hodgson, J. H. Glover, Analyst, 76, 706, 1951.
5. J. Prajzler, Coll. Czech. Chem. Commun., 3, 406, 1934.
6. J. Heyrovsky, Polarographie, Wien, Springer's Verlag, 1941; Hövke, Dissert., Hamburg, 1938.
7. H. C. Gull, Journ. Soc. Chem. Ind., 56, 177, 1937.
8. M. Ishibashi, T. Fujinaga, Proceedings of the I Internat. Polarographic Congress, P. I., p. 111, Prague, 1951.
9. P. Zuman, Chem. listy, 46, 326, 1952.
10. J. Heyrovsky, Сб. чех. хим. раб., 18, 349, 1953.
11. A. D. McElroy, H. A. Laitinen, Journ. phys. Chem., 57, 564, 1953.
12. J. Heyrovsky, Journ. Chem. Soc., 117, 27, 1920.
13. В. М. Латимер. Окислительные состояния элементов и их потенциалы водных растворах, 1954.
14. D. Ilkovic, Coll. Czech. Chem. Commun., 4, 480, 1932.
15. J. Bjerum, Zs. phys. Chem., 59, 350, 1907.
16. Л. К. Лепинь и А. Я. Вайваде, Журн. физ. химии, 27, 217, 1953.
17. A. W. Laubengayer, R. B. Eaton, Journ. Amer. Chem. Soc., 62, 270, 1940.

* 0,01—0,001 M растворы чистого комплексона на фоне 1 N LiCl при pH = 5, дают волну, высота которой пропорциональна концентрации комплексона. Потенциал полувысокой сдвигается в отрицательную сторону по мере возрастания концентрации комплексона (от -1,67 V для 0,002 M раствора до -1,74 V для 0,01 M раствора). В подкисленных растворах появляется и вторая волна — обыкновенная водородная волна сильной кислоты, при малых концентрациях комплексона обе волны сливаются. С прибавлением щелочи волна комплексона исчезает. Анализ волны ($\Delta E_{1/2}/\Delta \lg c_{\text{комп.}} = 100$ mV, $n = 1/2$ до $2/3$) указывает, что это — волна слабой кислоты, следовательно, соответствующая восстановлению бетаиновых водородов трилона Б.

ЭЛЕКТРОВОССТАНОВЛЕНИЕ КИСЛОРОДА НА ПОРИСТОМ ХРОМОВОМ КАТОДЕ

С. В. Трачук и Н. Н. Воронин

Большое значение в электрохимических процессах имеет снижение удельного расхода электроэнергии. Оно достигается либо путем снижения перенапряжения на электродах, либо деполяризацией электродных процессов, т. е. заменой одних процессов другими. Одной из многих возможных катодных реакций деполяризации является ионизация кислорода на катоде.

Теория кислородной деполяризации, а также вопросы механизма процесса восстановления кислорода успешно исследовались в работах советских и зарубежных ученых [1—6]. Следует, однако, отметить, что большинство исследований было проведено при низких плотностях тока, не имеющих промышленного значения.

С целью увеличения плотностей тока до промышленных значений, а также выяснения механизма и других закономерностей ионизации кислорода, интересно было исследовать процесс электролиза с применением электродов, изготовленных из пористых материалов, обладающих весьма развитой поверхностью.

Процессы электровосстановления кислорода исследовались на таких пористых материалах, как медь [7], железо, кобальт, никель [8], уголь, графит и активированный уголь [9].

Большой научно-технический интерес представляет изучение деполяризации катодного выделения водорода кислородом на пористых металлах подгруппы хрома.

В настоящей работе исследован процесс восстановления кислорода на пористом хромовом электроде при пропускании кислорода и воздуха через поры электрода в растворе 1 N NaOH.

При исследовании кислородной деполяризации замечено, что скорость ионизации кислорода зависит от режима подачи кислорода к рабочей поверхности электрода, температуры электролиза, концентрации щелочи, парциального давления кислорода над электролитом, а также от способа изготовления электрода, т. е. величины зерна порошка металла, давления прессования и режима спекания.

Хорошие результаты деполяризации были получены на электродах, изготовленных из мелкой фракции порошка хрома дисперсностью 20—60 μ прессованием при давлении 1200 кг/см^2 и при температуре спекания 800°С в атмосфере водорода в течение 4 час. Для увеличения пористости электрода применялся наполнитель — двууглекислый аммоний — в количестве 10—15% от веса порошка хрома. Пористость такого электрода составляла 55—62%.

Применение пористых электродов дало возможность продувать воздух через поры электрода, благодаря чему увеличилась скорость поступления кислорода к рабочей поверхности электрода. Наряду с этим возникла возможность непосредственной адсорбции кислорода электродом из газовой фазы.

О том, насколько эффективнее протекает процесс ионизации кислорода на пористом хромовом электроде по сравнению с аналогичным железным и гладким хромовым электродами, можно судить по поляризационным кривым (рис. 1). Кривая 1 снята на пористом хромовом электроде при расходе воздуха, равном 1,68 $\text{см}^3/\text{сек}$ на 1 см^2 поверхности электрода, кривая 2 — при аналогичных условиях на железном пористом электроде [8] и кривая 3 — на гладком хромовом электроде [2].

Сравнивая эти кривые, можно сказать, что на пористом хромовом электроде наблюдается более положительный потенциал, чем на железном, примерно на 80—120 мВ. На гладком же хромовом электроде уже при плотности тока 1,5 mA/см^2 достигается предельный ток.

Как показывают кривые рис. 2, скорость электровосстановления кислорода достигает значительных величин. Кривая 1 соответствует выделению водорода на по-

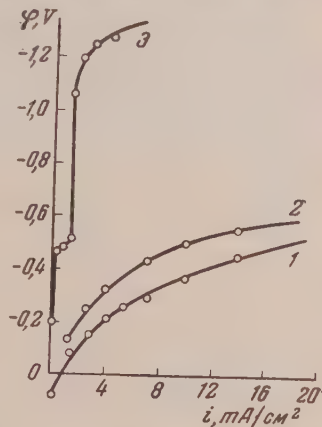


Рис. 1. Электровосстановление кислорода на: 1 — пористом хромовом электроде; 2 — пористом железном электроде; 3 — гладком хромовом электроде

ристом электроде, кривые 2—5 — процессу ионизации кислорода при различных давлениях воздуха (от 0 до 250 мм рт. ст.), кривая 6 снята при продавливании через электрод кислорода при $\Delta P = 250$ мм рт. ст. и расходе его $1,68 \text{ см}^3/\text{сек}$ на 1 см^2 поверхности электрода.

Исследование процесса электровосстановления кислорода на хромовых пористых электродах в зависимости от различных режимов подачи воздуха или кислорода показало, что увеличение скорости продавливания воздуха через электрод способствует значительному снижению катодного потенциала, особенно при замене воздуха кислородом. При плотности тока $70 \text{ mA}/\text{см}^2$ это снижение потенциала достигает $0,75 \text{ V}$. Скорость кислородной деполяризации при продувании кислорода достигает значений плотности тока в $250 \text{ mA}/\text{см}^2$, выше которых происходит преимущественное выделение водорода.

Принципиально важным было дать количественную оценку зависимости катодного потенциала от парциального давления кислорода при определенной постоянной плотности тока и при одинаковом расходе кислорода. Парциальное давление кислорода над раствором менялось от 150 до 1150 мм рт. ст. при постоянном перепаде давлений,

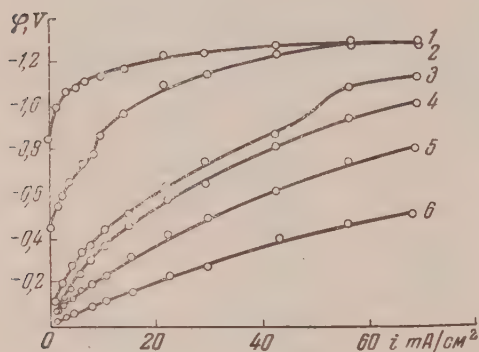


Рис. 2

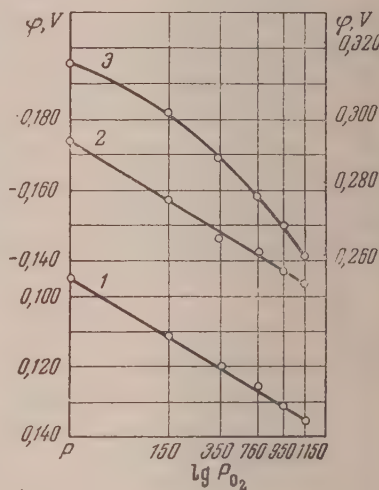


Рис. 3

Рис. 2. Электровосстановление кислорода на пористом хромовом электроде в зависимости от режима подачи деполяризатора

Рис. 3. Зависимость потенциала от логарифма парциального давления кислорода: 1 — при плотности тока $1,5 \text{ mA}/\text{см}^2$; 2 — при $14,3 \text{ mA}/\text{см}^2$; 3 — при $28,6 \text{ mA}/\text{см}^2$. Кривым 1 и 2 соответствуют значения на ординате слева, а 3 — справа; значения потенциалов отрицательные

равном 150 мм рт. ст. Результаты измерений представлены на рис. 3 в координатах $\varphi - \lg P_{O_2}$. Увеличение давления кислорода, естественно, сдвигает потенциал электрода в положительную сторону. При незначительных плотностях тока (примерно до $20 \text{ mA}/\text{см}^2$) наблюдается прямолинейная зависимость между потенциалом и логарифмом парциального давления кислорода, выражающаяся формулой

$$\varphi = a + 0,046 \lg P_{O_2}.$$

При плотности тока выше $20 \text{ mA}/\text{см}^2$ прямолинейная логарифмическая зависимость нарушается.

Изучение влияния парциального давления кислорода на потенциал катода дает возможность выяснить некоторые детали механизма электровосстановления кислорода на хrome в щелочной среде.

На поверхности металла кислород адсорбируется как в виде атомов (прочно), так и в виде молекул (непрочно). Рассматривая механизм ионизации кислорода на пористом хромовом электроде, можно предположить, что в первую очередь восстанавливается молекулярный кислород. Если считать замедленной стадией ионизации кислорода в щелочной среде присоединение электрона к радикалу пергидроксила $\text{HO}_2 + e = \text{HO}_2^-$, то скорость реакции будет выражаться формулами

$$i = k [\text{HO}_2] e^{-\varphi F/2RT}, \quad \text{при } \alpha = 0,5$$

$$\varphi = \text{const} + \frac{2}{3} \frac{RT}{F} \ln [\text{O}_2] - \frac{2}{3} \frac{RT}{F} \ln [\text{OH}^-] - \frac{2}{3} \frac{RT}{F} \ln i,$$

это довольно хорошо согласуется с опытными данными (теоретически $\frac{2}{3} \cdot \frac{RT}{F} = 0,040$, экспериментально $b = 0,046$).

Такое предположение подтверждается также тем фактом, что в растворе электролита обнаружена перекись водорода (до 1 г/л).

При более высоких плотностях тока, наряду с молекулярным, по-видимому, восстанавливается атомарный кислород.

В кислых растворах (1 N H₂SO₄) область кислородной деполяризации очень мала. Даже при продувании кислорода предельный ток наступает уже при 9 мА/см².

В заключение следует отметить, что спекаемые пористые электроды обладают достаточной прочностью и стойкостью в отношении коррозии, и что их деполяризационные свойства после длительной 150-час. работы не ухудшаются, вследствие чего такие электроды могут представлять интерес для промышленного электролиза.

Киевский политехнический
институт

Поступила
20.XI.1956

ЛИТЕРАТУРА

1. А. Н. Фрумкин, В. С. Багоцкий, З. А. Иофа и Б. Н. Кабанов, Кинетика электродных процессов, Изд-во МГУ, 1952.
2. Н. Д. Томашов, Коррозия металлов с кислородной деполяризацией, Изд-во АН СССР, 1947; Теория коррозии металлов М, 1952.
3. В. С. Багоцкий и И. Е. Яблокова, ДАН, 84, 745, 1952.
4. З. А. Иофа, Я. Б. Шимшелевичи Е. Н. Андреева, Журн. физ. химии, 23, 828, 1949.
5. А. И. Красильщиков, Журн. физ. химии, 23, 332, 1949; 26; 216, 1952.
6. Paul Delahay, Journ. Electrochem. Soc., 97, 198, 1950; Paul Delahay a. Lee Stagg, Journ. Electrochem. Soc., 99, 546, 1952.
7. Н. Н. Воронини В. Г. Приходченко, Изв. КПИ, 14, 51, 195, 1952.
8. А. А. Едигарян, Диссертация, КПИ, Киев, 1953.
9. О. В. Избекова, Диссертация, КПИ, Киев, 1955.



ИВАН АЛЕКСЕЕВИЧ КАБЛУКОВ

1857—1942

(К столетию со дня рождения)

Имя Ивана Алексеевича Каблукова памятно не одному поколению химиков. С этим именем связана эпоха, когда в нашей стране начинали формироваться основные направления физической химии. От тех, кто начинает разработку широких новых областей науки, требуется самоотверженный труд, глубокие знания, критическое чутье и, наконец, самое главное — беззаветная любовь к своему делу и страстное стремление передать ученикам то, чем может гордиться ученый, — плоды своей науки.

Всеми этими качествами обладал И. А. Каблуков. Его мировоззрение развивалось под мощным влиянием Д. И. Менделеева, он был учеником выдающихся русских химиков В. В. Марковникова и А. М. Бутлерова. В лаборатории Оствальда он знакомится с Аррениусом и анализирует работы Вант-Гоффа. Он занимается и электрохимией, и термохимией, его привлекают и вопросы органической и неорганической химии. Трудно представить себе; какое множество фактов и взглядов надо было усвоить ему и какую проницательность проявить для того, чтобы в это время — время становления новой науки — ясно видеть ее будущие пути.

Обширный перечень научных работ И. А. Каблукова рисует нам образ неутомимого исследователя, до конца дней своих живо интересующегося всем, что дает естествознание; талантливого педагога, создателя ряда прекрасных учебников; общественного деятеля, глубоко сознающего свой долг перед родиной и народом; великого труженика, отдающего все силы науке и просвещению народа.

Помимо своих крупных работ в различных областях химии, он пишет труды по пчеловодству, описывает Крымские озера, печатает целый ряд статей в энциклопедическом словаре, составляет биографии выдающихся ученых. Он активный общественный деятель — вот его статья в Комсомольской Правде о соревновании, а в газете «Совхозная газета» статья «Химию на службу совхозам и колхозам». Вот «Советское студенчество» от 1937 г. (№ 8) статья И. А. Каблукова «Работайте неустанно!», и, наконец, уже в 1941 г. в журнале «Знание — сила» снова его имя: «Победы химии» — это одна из последних статей ученого, завершающего свою 85-летнюю жизнь и свое прекрасное служение народу.

В 1857 г. в семье скромного сельского врача, бывшего крепостного, родился 8-й ребенок, названный Иваном. Родители, как могли, заботились о его образовании. Свою будущую докторскую диссертацию И. А. Каблуков посвятил им, в знак любви и благодарности.

В 19 лет он уже студент Московского университета и вскоре начинает работу у проф. В. В. Марковникова, прогрессивные общественные идеи и научный авторитет которого сыграли большую роль в формировании мировоззрения молодого ученого. И. А. Каблуков оканчивает университет с золотой медалью за сочинение по много-

атомным спиртам; он остается при университете для подготовки к профессорскому званию.

В 1881 г. И. А. Каблуков в лаборатории А. М. Бутлерова начинает исследование способа получения оксиметилена; в это время он слушает лекции Д. И. Менделеева, А. М. Бутлерова, Н. А. Меншуткина и других крупнейших русских химиков. С 1885 г. И. А. Каблуков приват-доцент Московского университета, и в 1887 г. он успешно защищает магистерскую диссертацию на тему «Глидерины или трехатомные спирты и их производные».

В 1889 г. И. А. Каблуков едет за границу и работает в лаборатории Оствальда. Непосредственный контакт с Оствальдом и Аррениусом способствует развитию у него интереса к физической химии, проблемы которой занимали его уже в период работы над магистерской диссертацией.

В 1891 г. появляется новый труд И. А. Каблукова — его докторская диссертация, посвященная теории растворов электролитов: «Современные теории растворов электролитов (Вант-Гоффа и Аррениуса) в связи с учением о химическом равновесии». Выступая в этом труде пропагандистом новых физико-химических теорий, И. А. Каблуков вносит много нового как в познание свойств растворов электролитов, так и в теории растворов. Он открыл явление аномальной электропроводности в различных растворителях. Он расширил и углубил теорию Аррениуса, выдвинув представление о сольватации ионов и диссоциирующей силе растворителя. Своими исследованиями И. А. Каблуков положил прочное начало сближению физической и химической теории растворов, приведшему к их позднейшему объединению.

С 1899 г. И. А. Каблуков — профессор Московского сельскохозяйственного института в Петровско-Разумовском (позднее — Тимирязевской сельскохозяйственной академии). С 1903 г. — он профессор Московского университета. С этими Высшими учебными заведениями И. А. Каблуков был связан до глубокой старости. Читая лекции в этих вузах, он подготовил и многократно переиздавал свои известные учебники по неорганической и физической химии, по которым обучалось несколько поколений студентов. Относясь чрезвычайно внимательно к подготовке лекций и экспериментов, И. А. Каблуков пользовался неизменной любовью и уважением своих слушателей, многие из которых и ныне с признательностью и теплым чувством вспоминают годы учения у И. А. Каблукова.

С 1915 по 1933 г. он заведует в Московском университете термической лабораторией им. В. Ф. Лутгина. В 1924 г. И. А. Каблуков удостоивается звания Героя труда. В 1932 г. он избирается почетным академиком. Общественная деятельность И. А. Каблукова играла важную роль в его жизни. В 1927 г. он избирается в Московский Совет, а затем в Московский Губисполком. Он работает также в Государственном ученом Совете, в Научно-техническом отделе ВСНХ, в Центральном Совете секции научных работников и в других общественных организациях.

И. А. Каблуков был участником многочисленных конгрессов и конференций в Париже, Берлине, Лондоне, Нью-Йорке и других городах, где его имя и авторитет пользовались уважением. Установив научный контакт и личные связи с крупнейшими учеными своего времени, И. А. Каблуков имел возможность непосредственно следить за всеми сторонами развития физической химии и до глубокой старости был в курсе всех ее достижений.

Необыкновенная разносторонность интересов И. А. Каблукова привлекала его к вопросам, лежащим в совершенно иной плоскости. Он был большим знатоком пчеловодства и написал ряд работ в этой области. Он был избран почетным членом Русского общества акклиматизации животных и растений; он успешно исследовал соляные промыслы на Сиваше, Саках и в Крыму; охотно занимался историей естествознания и т. д.

Биографы И. А. Каблукова — химики различных специальностей — никак не могут «поделить» его: органики, ссылаясь на его исследования трехатомных спиртов, которыми он начал свою научную деятельность, утверждают, что И. А. Каблуков никогда не терял интереса к органической химии; термохимики придают большое значение его термохимическим работам, в результате которых было доказано, что теплоты образования изомеров не одинаковы; электрохимики указывают на важность его исследований неводных растворов; наконец, химики-неорганики причисляют И. А. Каблукова к числу специалистов в области неорганической химии.

В действительности, несмотря на широту своих познаний в различных отраслях химии, И. А. Каблуков был по преимуществу физико-химиком, но он прекрасно понимал условность границ, отделяющих одну область науки от другой, и плодотворность применения строгих методов физической химии к громадному материалу органической и неорганической химии.

Для него, ученого-материалиста, эксперимент и теории не существовали в отрыве друг от друга, он, по удачному замечанию А. П. Терентьева, «одинаково любил и кривые и вещества»; так же точно он органически не мог разделять науку и практику, непосредственно ощущая их неразрывную связь. Это чувство, так же как глубокое сознание своего общественного долга, заставляло его всегда стремиться участвовать в решении проблем, важных для народного хозяйства, до глубокой старости отдавая все силы и знания своей родине и народу, строящему социализм.

Л. А. Николаев

СОДЕРЖАНИЕ

М. Д. Лагунов. Структура и свойства водных растворов сильных электролитов	3
Р. Б. Гершман. Тепловые эффекты при плавлении в системе свинец—олово—висмут. I	12
Б. П. Никольский, М. М. Шульц и Н. В. Пешехонова. Теория стеклянного электрода. VII	19
Д. П. Добычин и Н. Н. Киселева. О влиянии термической обработки натровоборосиликатных стекол на пористую структуру продуктов их выщелачивания в кислоте	27
В. Ф. Бойко. Определение химического состава тонкодисперсных твердых фаз в многокомпонентных системах по методу индифферентного компонента	35
И. В. Смирнова, К. В. Топчиева и Л. П. Милькова. Адсорбция из растворов алкилароматических углеводородов на промышленных катализаторах. I	43
<u>Л. Н. Соболева</u> и А. В. Киселев. Адсорбция паров метанола на гидратированной поверхности силикагелей и кварце	49
П. А. Акишин, В. П. Спиридонов, Г. А. Соболев и В. А. Наумов. Электронографическое исследование строения молекул. VIII	58
И. М. Кулешов и А. Ф. Наумова. Изучение сорбции некоторых катионов металлическим германием при помощи радиоактивных индикаторов	62
И. К. Маршаков и И. Л. Розенфельд. Механизм коррозии металлов в узких зазорах. IV	66
А. Н. Кузнецов, А. А. Шестопалова и Н. Ф. Кулиш. О кинетике и механизме восстановления окислов кобальта	73
Р. И. Назарова. Исследование окисления металлов в условиях тлеющего разряда в кислороде	79
Л. А. Реаницкий, К. Г. Хомяков, Л. И. Некрасов и И. И. Скороходов. К вопросу о высшей перекиси водорода и замороженных радикалов I	87
В. И. Кузьмич и И. З. Фишер. Границы термодинамической устойчивости многокомпонентных систем	93
Е. Т. Денисов. Особенности действия ингибиторов на цепные вырожденно-разветвленные реакции	99
М. А. Герович и Г. Ф. Рыбальченко. Электрокапиллярное поведение непредельных алициклических и алифатических углеводородов	109
А. М. Чайкин и А. М. Маркевич. Измерение коэффициентов теплопроводности газов и газовых смесей	116
В. К. Семенченко и Я. В. Егупов. Фазовые переходы II рода и критические явления. VIII	121
Ю. С. Липатов, В. А. Каргин и Г. Л. Слонимский. Исследование ориентации в высокополимерах. III	131
У. Домбровская, Ю. А. Пентин, Я. Домбровский, В. М. Татевский и Н. К. Кочетков. Исследование таутомерии алкил-3-аминовинилкетонов по инфракрасным спектрам поглощения	135
И. Е. Ампилогов, А. Н. Харин и И. С. Курочкин. Исследование продольного переноса при движении растворов через несорбирующую шихту	141
А. И. Шатенштейн, Г. В. Перегудов, Е. А. Израилевич и В. Р. Калиначенко. Получение некоторых дейтерированных ароматических углеводородов и их спектры комбинационного рассеяния	146
М. М. Шелечник. Распределение температур в реакционной колонке для процессов, протекающих в диффузионной области	152
А. Н. Фрумкин и Н. С. Поляновская. Электрокапиллярные явления в растворах солей таллия и кадмия. II	157
Г. А. Мартинюк и А. И. Шлыгин. О механизме электроокисления и электровосстановления некоторых соединений на платине	164
В. А. Арсламбеков. К вопросу о кинетике взаимодействия газов с поверхностью металлов	170
А. Т. Вартамян и И. А. Карпович. Полупроводниковые свойства фталоцианинов. I	178

Методы и техника физико-химического исследования

С. В. Горбачев и Н. И. Гусев. Влияние формы и величины поверхности электрода на поляризацию при анодном растворении меди	188
Р. Х. Бурштейн Л. А. Ларин. Прибор для измерения контактной разности потенциалов конденсаторным методом	194

Письма в редакцию

Я. П. Страдынь и Л. К. Лебинь. О полярнографической волне алюминия	196
С. В. Трачуки и <u>Н. Н. Воронин</u> . Электровосстановление кислорода на пористом хромовом катоде	201

Хроника

Л. А. Николаев. Иван Алексеевич Каблуков (к столетию со дня рождения)	204
---	-----

CONTENTS

M. D. Lagunov. The Structure and Properties of Aqueous Solutions of Strong Electrolytes	3
R. B. Gershman. Heat Effects during Melting in the System Lead-Tin-Bismuth. I.	12
B. P. Nikol'skii, M. M. Shults and N. V. Peshekhonova. The Theory of the Glass Electrode. VII.	19
D. P. Dobychin and N. N. Kiseleva. The Effect of the Thermal Treatment of Sodium Borosilicate Glasses on the Porous Structure of Their Residues after Acid Etching	27
V. F. Boiko. Determination of the Chemical Composition of Finely Disperse Solid Phases in Multicomponent Systems by the Indifferent Component Method	35
I. V. Smirnova, K. V. Topchieva and L. P. Mil'kova. The Adsorption of Alkylaromatic Hydrocarbons from Solution by Industrial Catalysts	43
<u>L. N. Soboleva</u> and A. V. Kiselev. The Adsorption of Methanol Vapors on the Hydrated Surface of Silica Gels and Quartz	49
P. A. Akishin, V. P. Spiridonov, G. A. Sobolev and V. A. Naumov. Electron Diffraction Studies of Molecular Structure. VIII.	58
I. M. Kuleshov and A. F. Naumova. A Study of the Sorption of Some Cations by Metallic Germanium with the Aid of Radioactive Indicators	62
I. K. Marshakov and I. L. Rosenfel'd. On the Mechanism of Stainless Steel Corrosion in Narrow Slits and Crevices	66
A. N. Kuznetsov, A. A. Shestopalova and N. F. Kulish. The Kinetics and Mechanism of the Reduction of Cobalt Oxides	73
R. I. Nazarova. A Study of the Oxidation of Metals under the Conditions of Glow Discharge in Oxygen	79
L. A. Reznitskii, A. G. Khomyakov, L. I. Nekrasov and I. I. Skorokhodov. Concerning the Higher Peroxide of Hydrogen. I.	87
V. I. Kuzmich and I. Z. Fisher. The Thermodynamic Stability Limits of Multicomponent Systems	93
E. T. Denisov. The Specific Action of Inhibitors on Degenerate Branching Chain Reactions.	99
M. A. Gerovich and G. F. Rybal'chenko. The Electrocapillary Behavior of Unsaturated Alicyclic and Aliphatic Hydrocarbons	109
A. M. Chaikin and A. M. Markevich. Determination of the Thermal Conductivity Coefficients of Gases and Gaseous Mixtures	116
V. K. Semenchko and Ya. V. Egupov. Second-Order Phase Transitions and Critical Phenomena. VIII.	121
Yu. S. Lipatov, V. A. Kargin and G. A. Slonimskii. Orientation Studies in High Polymers. 3. The Effect of Orientation on the Softening Temperature of Amorphous Polymers	131
U. Dombrovskaya, Yu. A. Pentin, V. M. Tatevskii, Ya. Dombrovskii and N. K. Kochetkov. An Infra-Red Absorption Study of the Tautomerism of Alkyl- β -Aminovinyl Ketones	135

I. E. Ampilogov, A. N. Kharin and I. S. Kurochkina. A Study of Longitudinal Transport in the Flow of Solutions through a Non-Sorbing Charge	141
A. I. Shatenshtein, G. V. Peregubov, E. A. Izrailevich and V. R. Kalinachenko. The Synthesis of Some Deuterated Aromatic Hydrocarbons and Their Raman Spectra	146
M. M. Shelechnik. Temperature Distribution in a Reaction Column for Processes Proceeding in the Region of Diffusion Kinetics.	152
A. N. Frumkin and N. S. Poyanovskaya. Electrocapillary Phenomena in Solutions of Thallium and Cadmium Salts. II.	157
G. A. Martinyuk and A. I. Shlygin. The Mechanism of the Electrooxidation and Electroreduction of Some Compounds on Platinum. I.	164
V. A. Arslambekov. On the Kinetics of the Interaction between Gases and Metallic Surfaces	170
A. T. Vartanyan and I. A. Karpovich. The Semiconductor Properties of Phthalocyanines. I.	178

Experimental Methods and Techniques

S. V. Gorbachev and N. I. Gusev. The Effect of the Form and the Size of the Electrode Surface on the Polarization in the Anodic Dissolution of Copper	188
R. Kh. Bushtein and L. A. L'arin. An Apparatus for Measuring Contact Potential Differences by the Condenser Method	194

Communications to the Editor

Ya. P. Stradyn and L. K. Lepin'. On the Polarographic Wave of Aluminum	196
S. V. Trachuk and <u>N. N. Voronin</u> . The Electroreduction of Oxygen on a Porous Chromium Cathode	201

Chronicle

L. A. Nikolaev. Ivan Alexeevich Kablukov	204
--	-----

Статьи, направляемые в Журнал физической химии, должны удовлетворять следующим требованиям:

1. Статьи должны быть изложены в наиболее сжатой форме, совместимой с ясностью изложения, и тщательно отредактированы в рукописи.

2. Статьи, излагающие результаты работ, проведенных в учреждениях, должны обязательно иметь направление учреждения.

В конце статьи автором должно быть указано название научного учреждения, в котором произведена работа.

3. Статья обязательно должна быть подписана автором, причем инициалы и фамилия автора должны быть четко повторены на машинке. К статье должны быть приложены адрес автора, место его работы, № телефонов для переговоров.

4. Статьи присылаются в редакцию в двух экземплярах, четко переписанные на машинке без помарок и вставок, на одной стороне листа, через два интервала, с оставлением с левой стороны листа поля и 4 см. Страницы рукописи должны быть пронумерованы по порядку, без литерных наращений (т. е. 7, 8, 9, и т. д. а не 7, 7а, 8, 9, 9а, 9б и т. д.).

5. Формулы и буквенные обозначения величин должны быть вписаны четко и ясно от руки. Особенное внимание следует обращать на тщательное изображение индексов и показателей степеней. Показатели и другие надстрочные знаки отмечаются скобкой \sim , а подстрочные — скобкой $\substack{~$.

Необходимо делать ясное различие между заглавными и строчными буквами, для чего заглавные буквы подчеркнуть снизу двумя черточками (например, O), а строчные двумя черточками сверху (например, o). 0 (ноль) оставлять без подчеркивания. Это особенно относится к таким буквам, как с и С, к и К, р и Р, и и U, з и Z, v и V, w и W. Греческие буквы нужно обводить красным карандашом.

6. Рисунки должны быть выполнены на белой бумаге или на кальке, тушью. Подписи и обозначения на рисунках должны быть сделаны карандашом. В тексте обязательно указать место для рисунков, вынося номер рисунка на поле. На обороте каждого рисунка должны быть поставлены фамилия автора, заглавие статьи, страница, к которой относится рисунок. Подписи к рисункам и фотографиям должны быть собраны на отдельном листе, прилагаемом к рукописи.

7. Следует избегать повторения одних и тех же данных в таблицах, графиках и тексте статьи.

8. Места, предназначенные к набору петитом, должны быть отмечены вертикальной чертой на полях.

9. Ссылки на литературу должны быть собраны в конце статьи в виде списка и заключать инициалы и фамилию автора в подлиннике, название журнала, том (подчеркнуть снизу), страницу и год, а для книг: инициалы и фамилию автора, точное название книги, наименование издательства, место и год издания.

В тексте ссылки на литературу обозначаются порядковой цифрой в квадратных скобках. Категорически не допускаются ссылки на не опубликованные работы (кроме диссертаций). Иностранные фамилии и термины даются в тексте в русской транскрипции, а в перечне литературы — в оригинальной транскрипции.

10. Не следует употреблять сокращенных слов, кроме общепринятых (т. е., и т. п., и т. д.).

Надлежит придерживаться следующих сокращений: килограмм — кг; грамм — г; грамма-молекула — г-моль; миллиграммолекула — мг-моль; метр — м, дециметр — дм; сантиметр — см; миллиметр — мм; литр — л; миллилитр — мл; квадратный сантиметр — см²; кубический сантиметр — см³; орто-, мета-, пара-, о-, м-, и n-; нормальный — N, децинормальный — 0,1 N; молярный — M; температура кипения — т. кип.; температура плавления — т. пл.

11. Статью обязательно заканчивать формулировкой выводов. Выводы должны содержать не оглавление разделов работы, а краткое изложение ее итогов; кроме выводов представлять резюме на английском языке, можно писать по-русски; в этом случае перевод будет выполнен редакцией.

12. В случае представления двух или более статей одновременно необходимо указать желательный порядок их помещения.

13. Статьи, не отвечающие перечисленным требованиям, возвращаются автором для переработки.

14. В присылаемой корректуре исправляются только типографские ошибки, никакие изменения и добавления не допускаются.

15. В случае направления автору статьи для согласования внесенных редакцией изменений сохраняется первоначальная дата поступления статьи в редакцию, но при возвращении статьи автору для серьезной переработки и исправления датой представления считается дата принятия редакцией к публикации.

16. Редакция высылает автору бесплатно 50 отдельных оттисков статьи.

Несоблюдение перечисленных условий задерживает печатание статьи.

Непринятые рукописи авторам не возвращаются.

ВНИМАНИЮ ПРЕПОДАВАТЕЛЕЙ И НАУЧНЫХ РАБОТНИКОВ ВЫСШЕЙ ШКОЛЫ!

С 1957 года началось издание нового журнала «Научные доклады высшей школы» по разделу «Химия и химическая технология», в котором будут помещаться статьи, содержащие наиболее существенные результаты новых исследований в различных областях химии и химической технологии. Статьи должны иметь объем не более 6 страниц на машинке (через два интервала) и 4 рисунков.

Журнал имеет следующие отделы:

1. Физическая химия
2. Неорганическая химия
3. Органическая химия
4. Аналитическая химия
5. Химия и технология высокомолекулярных соединений
6. Химия и технология силикатов
7. Технология неорганических веществ
8. Технология органических веществ
9. Химическая технология топлива
10. Процессы и аппараты химических производств

Журнал будет выходить 4 раза в год при объеме каждого номера 15 печатных листов.

Редколлегия журнала призывает всех преподавателей и научных работников вузов принять активное участие в работе журнала путем публикации в нем результатов своих важнейших работ.

Рукописи статей просьба присылать по адресу: Москва, Д-47, Мигусская пл., 5/2, МХТИ им. Менделеева, редакции журнала «Научные доклады высшей школы». Статьи присылаются в редакцию вместе с рекомендацией кафедры вуза о ее публикации в журнале.

Редколлегия

ОРДЕНА ТРУДОВОГО КРАСНОГО ЗНАМЕНИ
НАУЧНО-ИССЛЕДОВАТЕЛЬСКИЙ ФИЗИКО-ХИМИЧЕСКИЙ ИНСТИТУТ
имени Л. Я. КАРПОВА

ОБЪЯВЛЯЕТ КОНКУРС

на соискание премии им. А. Н. БАХА за лучшую работу в области
физической химии.

Размер премии — 7500 рублей.

Премия им. А. Н. Баха присуждается за оригинальные выдающиеся исследования в области физической химии, опубликованные в предыдущие 3 года, содержащие новые открытия, наблюдения или обобщения, имеющие крупное научное значение.

Премии им. А. Н. Баха могут быть удостоены исключительно ученые труды советских граждан, их авторских коллективов и советских учреждений. Работы могут представляться научными обществами, научно-исследовательскими учреждениями, ведомствами, общественными организациями и отдельными учеными СССР.

Работы представляются на русском языке в 3 экземплярах, отпечатанные на пишущей машинке или типографским способом.

Работы надо направлять на имя директора ордена Трудового Красного Знамени Научно-исследовательского Физико-химического института им. Л. Я. Карпова (Москва, ул. Обуха, 10) с надписью «На соискание премии им. А. Н. Баха».

Срок представления работ — до 15 апреля 1958 года.